



5.2. LÍNEA BASE AMBIENTAL

5.2.1. METODOLOGÍA

5.2.1.1. GENERALIDADES

La Línea Base Física (LBF) describe las características físicas del área de influencia del proyecto de ampliación del Aeropuerto Internacional Jorge Chávez, el cual está ubicado en el distrito del Callao, Provincia Constitucional del Callao, muy cerca del litoral de la costa central, al norte de la desembocadura del río Rímac, a altitudes entre los 6 y 53 msnm, presentando un paisaje de topografía llana, clima árido, niveles freáticos superficiales o poco profundos y en rápido proceso de urbanización.

Las disciplinas que se desarrollan en la LBF se organizan en las siguientes secciones:

5.2 Línea Base Física

- 5.2.1. Metodología
- 5.2.2. Meteorología, clima y zonas de vida
- 5.2.3. Calidad de Aire y niveles de ruido ambiental
 - 5.2.3.1. Calidad de aire
 - 5.2.3.2. Niveles de ruido ambiental
- 5.2.4. Geología y geomorfología
- 5.2.5. Geotecnia
- 5.2.6. Fisiografía
- 5.2.7. Paisaje
- 5.2.8. Suelo y capacidad de uso mayor
 - 5.2.8.1 Clasificación de Suelos
 - 5.2.8.2 Clasificación de Suelos según su capacidad de Uso Mayor
 - 5.2.8.3 Uso Actual del Suelo
- 5.2.9. Calidad de Suelos
- 5.2.10. Hidrología, hidrografía e hidrogeología
- 5.2.11. Calidad del Agua
- 5.2.12. Riesgos Naturales
- 5.2.13 Síntesis de la Línea Base Física

Estas secciones incluyen textos por disciplina, acompañados de sus correspondientes mapas temáticos, registros fotográficos, información existente y análisis de laboratorio, en caso corresponda.

5.2.1.2. METODOLOGÍA

La LBF se desarrolló a lo largo de tres fases de actividades: fase inicial de gabinete, fase de campo y fase final de gabinete.





5.2.1.2.1. Fase inicial de gabinete

En esta fase se realizó la revisión y sistematización de la información bibliográfica y cartográfica existente relacionada con los aspectos físicos. Algunas disciplinas de la LBF han acumulado documentación importante sobre el área estudiada, pero la mayoría solo cuenta con informaciones fragmentarias y heterogéneas. Geología, por ejemplo, cuenta con publicaciones que cubren completamente el área de influencia (Carta Geológica Nacional del INGEMMET, a escala 1:100 000), pero son muy escasos los estudios geomorfológicos o hidrológicos.

Las actividades en esta fase comprendieron también la planificación de los trabajos de campo, que contempla la definición de las rutas de reconocimiento y el ajuste de los puntos de muestreo. Asimismo, la adquisición y procesamiento de información meteorológica. En lo que respecta al ajuste de la red de muestreo (ubicación precisa de los puntos de muestreo) se realizó en base al reconocimiento de imágenes satelitales disponibles, y tomando en cuenta los criterios estipulados en los protocolos vigentes aplicables en cada caso.

5.2.1.2.2. Fase de campo

En esta fase se procedió a levantar información primaria directamente del área de influencia, mediante reconocimientos visuales, entrevistas con los pobladores locales y mediciones relacionadas con aspectos del medio físico. Aspecto central de esta fase es la colecta de muestras para la caracterización física, química y microbiológica de los aspectos ambientales: agua superficial y sedimentos, agua subterránea, aire, ruido ambiental y suelo.

En esta fase se incluyen también los análisis de laboratorio que, en los casos relacionados con calidad ambiental, se realizaron en un laboratorio acreditado ante INACAL.

La evaluación en campo para la LBF se realizó en una sola temporada y fue llevada a cabo entre los meses de julio y octubre de 2017.

5.2.1.2.3. Fase final de gabinete

Al terminar los trabajos de campo, se realizó el procesamiento de los datos recogidos en campo y proporcionados por el laboratorio, para luego desarrollar los análisis y síntesis correspondientes. Los procedimientos de procesamiento y análisis de los datos se precisan en las generalidades de cada capítulo de la LBF; asimismo, se detallan en cada caso las citas bibliográficas de las fuentes empleadas.

Finalmente, se procedió a elaborar los informes y mapas finales, con sus correspondientes anexos, datos complementarios y conclusiones finales de cada disciplina.





5.2.2. METEOROLOGÍA, CLIMA Y ZONAS DE VIDA

5.2.2.1. GENERALIDADES

En esta sección se realizará la caracterización del clima del área de influencia del proyecto, al cual en adelante denominaremos área de estudio; incidiéndose en el análisis del comportamiento de los principales parámetros meteorológicos (precipitación, temperatura, humedad y vientos), los cuales influyen en los aspectos antropogénicos, bióticos y abióticos.

Para la caracterización del clima se consideran los datos de la estación Aeropuerto Internacional Jorge Chávez (AIJCH), administrada por Corporación Peruana de Aeropuertos y Aviación Comercial (CORPAC), la cual, por la proximidad, altitud, exposición, etc. es representativa del área de estudio.

5.2.2.2. FACTORES CLIMÁTICOS

El área de estudio se ubica en la costa central del Perú, hacia el extremo oeste de la ciudad de Lima, próxima al mar. Las características climáticas de esta región, en general, son propias del desierto costero peruano, que consiste en una aridez intensa y permanente, y una variabilidad térmica que, combinada con la variabilidad de la humedad relativa, determina la sucesión de dos estaciones anuales: una estación cálida en verano y una estación templada en invierno. Dos factores son determinantes para que ocurra este clima: el Anticiclón del Pacífico Sur, que, al proporcionar estabilidad al aire de toda la vertiente occidental del país, es el gran causante de su aridez generalizada, y la Corriente Peruana (o de Humboldt), corriente marina de aguas frías que influencia fuertemente el clima costero, sobre todo entre otoño y primavera, al encapsular la circulación litoral mediante el mecanismo de la inversión térmica, causante de la presencia casi permanente de una capa de nubes estratiformes a 400-600 m.s.n.m., provocando no solo una reducción de la temperatura y de las horas de sol sino también el incremento sustancial de la humedad relativa, hasta niveles cercanos a la saturación durante el invierno.

5.2.2.3. PARÁMETROS METEOROLÓGICOS

A continuación, se presenta el análisis de los parámetros meteorológicos de la estación AIJCH, los cuales se muestran en tablas y gráficos de precipitación, temperatura, humedad y vientos.

En el Cuadro 5.2.2-1 se presentan los datos, así como los periodos de la información meteorológica y en el Anexo 5.2.2-1 se presentan la información meteorológica utilizada.





Datos de la Estación Meteorológica Aeropuerto Internacional Jorge Chávez Cuadro 5.2.2-1 (AIJCH).

Estación	Coorde	enadas	Altitud	Período de	Darámetros meteoralágicos
ESIACION	Latitud	Longitud	(msnm)	Registro	Parámetros meteorológicos
	Aeropuerto Internacional	77°07′13,8″	13	1970-2013*/ 2014-2016**	Precipitación total mensual
Aoronuorto					Temperatura media mensual
Internacional					Temperatura mínima media mensual
Jorge Chávez	12°00′18,1″			1979-2013*/2014-2016**	Temperatura máxima media mensual
Chavez					Humedad relativa media mensual
					Velocidad y dirección del viento

Fuente:

* Estudio de Impacto Ambiental Aeropuerto Internacional Jorge Chávez **Corporación Peruana de Aeropuertos y Aviación Comercial S.A (CORPAC).

Elaboración: Walsh Perú S.A. 2017





Figura 5.2.2-1 Ubicación de la Estación Aeropuerto Internacional Jorge Chávez



Fuente: Google Earth, 2017.

5.2.2.3.1. Precipitación

El área de estudio se ubica en una región extremadamente desértica, donde las precipitaciones son muy escasas y si se presentan como garúas durante los meses invernales, aunque son muy débiles





en intensidad. Como se puede apreciar en el siguiente Cuadro 5.2.2-2 la precipitación total anual apenas llega a los 4,8 mm. Durante los meses de junio a septiembre son dominantemente nubosos, durante el cual de presentan la mayoría de las precipitaciones (generalmente a modo de lloviznas finas), eventualmente aparecen días soleados. A partir de octubre la presencia de lloviznas disminuye progresivamente hasta fines de año, en que se inicia la época seca con el verano. Sin embargo, la presencia de precipitaciones no desaparece por completo, sino que ocurren en forme aislada o puntual durante estos meses.

En el cuadro se observa que las precipitaciones se presentan en muy pequeñas proporciones durante los meses veraniegos de diciembre a marzo, estas se deben a la influencia de las precipitaciones que ocurren en las zonas andinas y que pasan a estas regiones costeras, principalmente por su cercanía a la región andina, estas se caracterizan principalmente por tener muy corta duración.

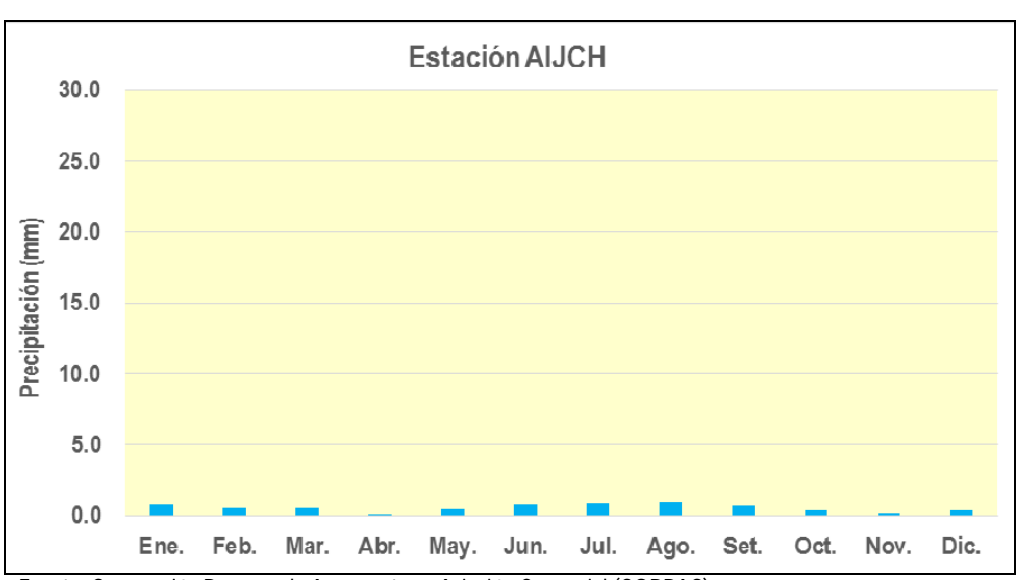
Cuadro 5.2.2-2 Precipitación Total Mensual (mm) – estación AIJCH

Precipitación	Ene	Feb	Mar	Abr	May	Jun	Jul	Ago	Sep	Oct	Nov	Dic	Anual
Máxima	10,5	2,9	2,5	0,7	3,2	4,8	3,3	6	6,7	2,9	1,5	1,8	
Promedio	0,8	0,6	0,5	0,1	0,5	0,8	0,9	1,0	0,7	0,4	0,2	0,4	4,8
Mínima	0,0	0,0	0,0	0,0	0,0	0,0	0,0	0,0	0,0	0,0	0,0	0,0	

Elaboración: Walsh Perú S.A. 2017

Fuente: Corporación Peruana de Aeropuertos y Aviación Comercial (CORPAC)

Figura 5.2.2-2 Régimen pluviométrico mensual - Estación AIJCH.



Fuente: Corporación Peruana de Aeropuertos y Aviación Comercial (CORPAC).

5.2.2.3.2. Temperatura

La temperatura media mensual que registra la estación, no presenta cambios intempestivos a lo largo del año. Presenta los valores más bajos durante los meses de julio a setiembre, y los valores máximos medios se presentan en los meses veraniegos llegando inclusive hasta los 23,4 °C en el mes de febrero. La temperatura media multianual en dicho período es de 19,6 °C.





No obstante, con respecto a las temperaturas máximas medias en la estación Aeropuerto Jorge Chávez superan los 19 °C, presentando valores más altos entre los meses de diciembre hasta abril, con valores que llegan hasta los 27 °C en los meses de enero y febrero.

Las temperaturas mínimas medias en la zona de estudio no superan los 20° generalmente, las temperaturas más bajas se presentan durante los meses de junio a octubre (con variaciones de 16,4 y 15,4 °C), tal como se muestra en el Cuadro 5.2.2-3. En la Figura 5.2.2-3 se presenta el régimen de temperaturas anuales.

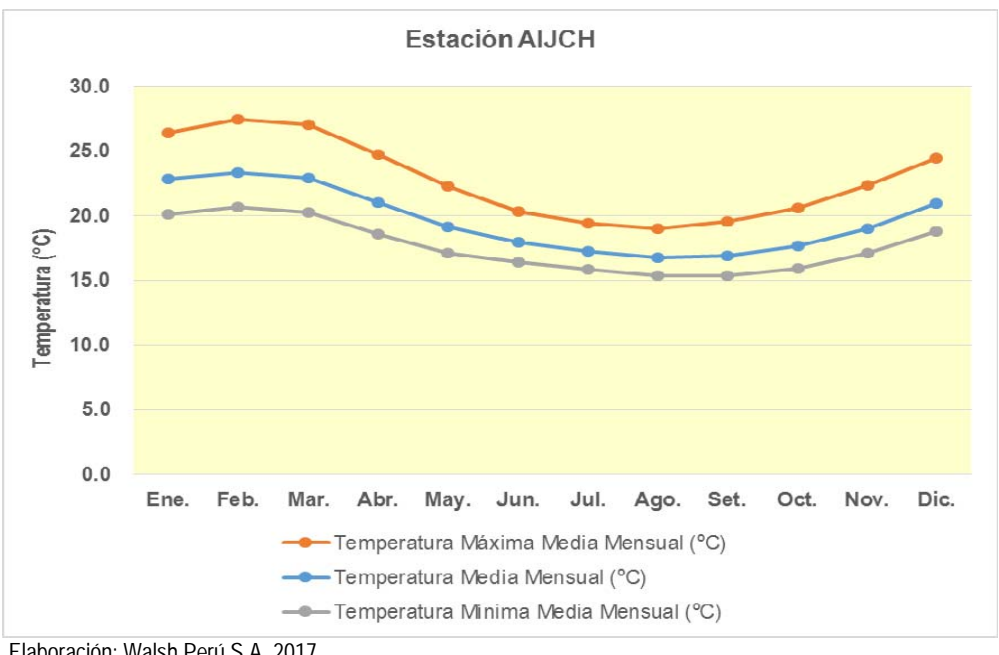
Cuadro 5.2.2-3 Temperatura media mensual, máxima media y mínima media - estación AIJCH.

Parámetro	Ene	Feb	Mar	Abr	May	Jun	Jul	Ago	Set	Oct	Nov	Dic	Anual
T° Máxima Media (°C)	26,4	27,4	27,0	24,8	22,3	20,4	19,4	19,0	19,5	20,6	22,3	24,5	22,8
T° Media Mensual (°C)	22,8	23,4	22,9	21,0	19,1	18,0	17,2	16,7	16,9	17,7	19,0	21,0	19,6
T° Mínima Media (°C)	20,1	20,7	20,3	18,6	17,1	16,4	15,8	15,4	15,4	16,0	17,1	18,8	17,6

Elaboración: Walsh Perú S.A. 2017

Fuente: Corporación Peruana de Aeropuertos y Aviación Comercial (CORPAC).

Figura 5.2.2-3 Temperatura media mensual, máxima media y mínima media - estación AIJCH.



Elaboración: Walsh Perú S.A. 2017

Fuente: Corporación Peruana de Aeropuertos y Aviación Comercial (CORPAC).

5.2.2.3.3. **Humedad Relativa**

De acuerdo a la Figura 5.2.2-4, la humedad relativa en el área de estudio es alta, alcanzando inclusive el 90 % en algunos meses del año (mes de mayo del 2013), generalmente la humedad relativa máxima se encuentra por encima del 85 %, los valores más altos se registran en los meses de mayo a setiembre donde las temperaturas son más bajas.





El promedio mensual de humedad relativa en el área de estudio fluctúa entre 79 y 83 %. Durante los meses de enero a marzo el porcentaje de humedad promedio anual es casi constante, es decir sin una variación significativa, incrementándose progresivamente de abril a noviembre, para luego descender en diciembre. En el Cuadro 5.2.2-4 se presentan los valores promedios del porcentaje de humedad.

Los porcentajes más bajos de la humedad relativa fluctúa entre los 72 y 79 %, los valores más bajos se presentan el mes de junio y julio.

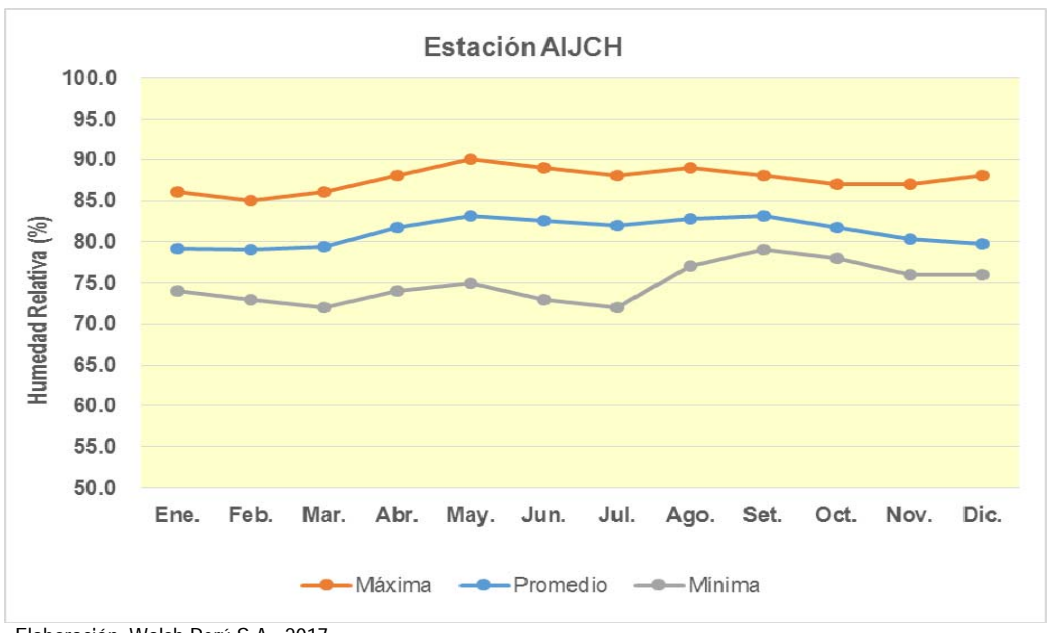
Cuadro 5.2.2-4 Humedad relativa media mensual (%) - estación AIJCH.

Humedad Relativa	Ene	Feb	Mar	Abr	May	Jun	Jul	Ago	Sep	Oct	Nov	Dic
Máxima	86,0	85,0	86,0	88,0	90,0	89,0	88,0	89,0	88,0	87,0	87,0	88,0
Media	79,2	79,1	79,4	81,8	83,2	82,5	81,9	82,8	83,1	81,7	80,3	79,7
Mínima	74,0	73,0	72,0	74,0	75,0	73,0	72,0	77,0	79,0	78,0	76,0	76,0

Elaboración: Walsh Perú S.A. 2017

Fuente: Corporación Peruana de Aeropuertos y Aviación Comercial (CORPAC).

Figura 5.2.2-4 Variación de la Humedad Relativa - estación AIJCH.



Elaboración: Walsh Perú S.A.; 2017

Fuente: Fuente: Corporación Peruana de Aeropuertos y Aviación Comercial (CORPAC)

5.2.2.3.4. Vientos

Los vientos predominantes en el área de estudio son los alisios y las brisas de mar debido a su cercanía al mar; en general los primeros soplan en dirección paralela al litoral peruano (S-SE) mientras que los segundos soplan preferentemente en direcciones perpendiculares al litoral local (que en el caso de la ciudad de Lima, presenta una orientación S-SW).

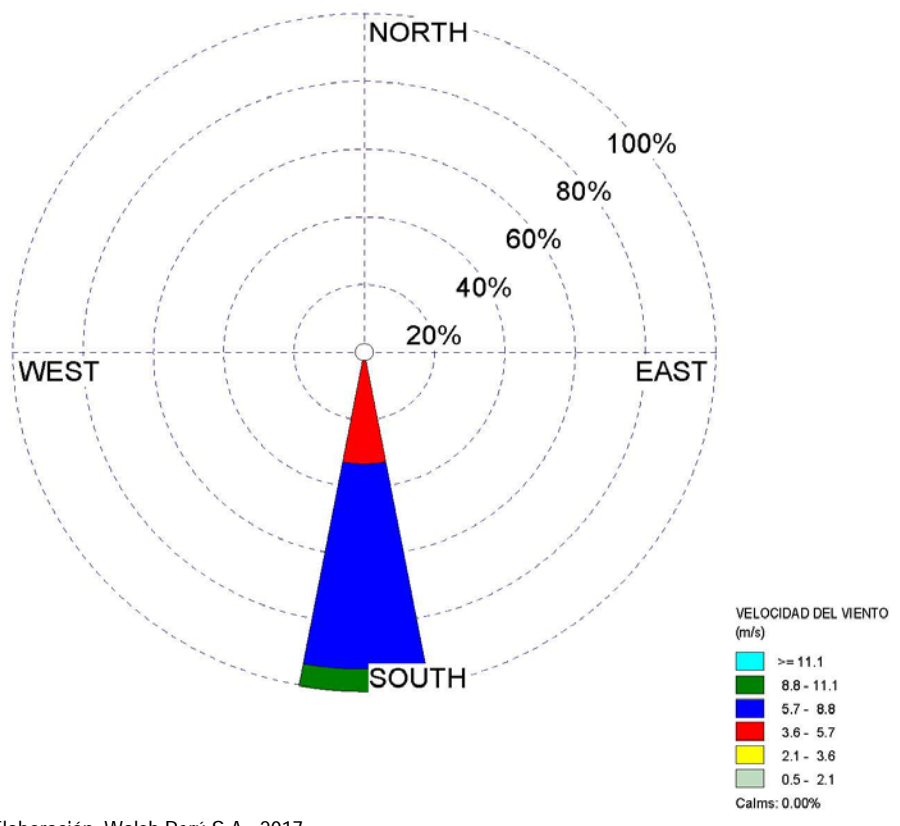
Para el análisis de este parámetro se utilizaron datos de la estación Aeropuerto Internacional Jorge Chávez, cuyos registros se grafican en la Figura 5.2.2-5, donde se observa que la dirección





predominante de los vientos es sur (S), con una mayor proporción de velocidades entre 5,7 - 8,8 m/s y una menor proporción de 3,6 - 5,7 m/s. De acuerdo a la escala de clasificación de Beaufort, todos estos vientos se denominan como brisas leves a moderadas.

Figura 5.2.2-5 Rosa de Vientos: Estación Aeropuerto Internacional Jorge Chavez



Elaboración: Walsh Perú S.A.; 2017

Fuente: Fuente: Corporación Peruana de Aeropuertos y Aviación Comercial (CORPAC).





5.2.2.4. CLASIFICACIÓN CLIMÁTICA

5.2.2.4.1. Clasificación de Köppen

En la región y por consiguiente en el área de estudio del AIJCh las precipitaciones anuales son prácticamente inexistentes, la temperatura se presenta cálida (17 a 27 °C). Bajo estas condiciones, se define para el área de estudio un tipo climático **Bw**: Desértico (árido).

5.2.2.4.2. Zonas de vida

De acuerdo al Mapa Ecológico del Perú¹, el área de estudio se ubica en el Desierto Desecado Subtropical.

Desierto Desecado Subtropical

Esta se caracteriza por presentar temperaturas superiores a 17° C y 22,2° C, la precipitación máxima es de 44 milímetros. Según el diagrama de Holdridge, el promedio de evaporación potencial total por años varía entre 32 y 64 veces el valor de la precipitación, por lo tanto, se ubica en la provincia de humedad: DESECADO.

¹ Instituto Nacional de Recursos Naturales (INRENA). Mapa Ecológico del Perú. Guía Explicativa, Lima, Perú. 1995.





5.2.3. CALIDAD DEL AIRE, NIVELES DE RUIDO AMBIENTAL Y VIBRACIONES

La presente sección muestra las condiciones actuales de calidad del aire, niveles de ruido ambiental y Vibraciones en el área de influencia donde se desarrollará la Modificación del Estudio de Impacto Ambiental del "Aeropuerto Internacional Jorge Chávez". Para obtener la información que permitió caracterizar el área de influencia, se llevó a cabo el muestreo de parámetros indicadores de calidad en sitios representativos. La información obtenida fue complementada con resultados de fuentes secundarias, extraídas de estudios ambientales realizados en la misma zona y que cuentan con la aprobación de las autoridades correspondientes.

5.2.3.1. CALIDAD DEL AIRE

5.2.3.1.1. Generalidades

La calidad del aire se determina mediante la concentración o intensidad de contaminantes presentes en la atmósfera. Los contaminantes atmosféricos que causan el deterioro del medio, consisten, en una gran variedad de gases, vapores y partículas. Algunos de los contaminantes más comunes del aire son gases inorgánicos (especialmente óxidos de nitrógeno, azufre y carbono); vapores orgánicos de varios tipos; y partículas emitidas directamente a la atmósfera, formadas por procesos químicos atmosféricos.

Por lo general, las partículas finas y gruesas, provienen de diferentes fuentes y tienen distintos mecanismos de formación, aunque es probable que haya cierta superposición debido a su diferencia de densidad, las partículas gruesas serán depositadas en el suelo con mayor rapidez, mientras que las partículas finas, necesitaran más tiempo.

Entre las diferentes fuentes de emisiones a la atmósfera podemos distinguir dos grandes tipos: las fuentes fijas y las fuentes móviles, las cuales se describen a continuación:

• Fuentes móviles

Incluyen las diversas formas de transporte y equipos (camionetas, automóviles, camiones, aviones, volquetes, cargadores frontales, equipamiento de plantas industriales, etc.) utilizados en el proyecto y fuera de él, que por su operación puedan generar emisiones contaminantes a la atmósfera. En la zona del proyecto, una fuente principal de contaminación de aire es el parque automotor, pues produce grandes cantidades de monóxido de carbono (CO) y cantidades menores de óxidos de nitrógeno (NO_x) y compuestos orgánicos volátiles (COV), SO₂, y NO_x, producidos durante la combustión.

Fuentes fijas

Derivadas de la generación de energía eléctrica y de actividades industriales tales como: la industria química, textil, alimentaria, maderera, metalúrgica, metálica, manufacturera y procesadora de productos vegetales y animales, entre otras. Las emisiones derivadas de la combustión utilizada para la generación de energía o vapor, dependen de la calidad de los combustibles y de la eficiencia de los quemadores, mantenimiento del equipo y de la presencia de equipo de control al final del proceso (filtros, precipitadores y lavadores, entre otros). Los principales contaminantes asociados a la combustión son partículas, SO₂, NO_x, CO₂, CO e hidrocarburos. Se pueden mencionar entre las





industrias muy cercanas al Aeropuerto: RAMSA (oeste), IEQSA (este) y Astilleros en la zona de A.H. Los Ferroles, entre otros.

En el área de influencia del AIJCh, existen aspectos de origen natural o antrópico, que pueden influenciar en la calidad del aire. En ese sentido, como factores naturales se puede mencionar, la Topografía que es un factor físico que influye en la dispersión de los contaminantes y los factores meteorológicos (vientos, temperatura y humedad). Por otro lado, están los factores antropogénicos como la emisión de NOx, CO y material particulado, causado por la combustión de vehículos livianos y pesados que circulan alrededor del AIJCh, así como los malos olores que proceden de los residuos sólidos producto de los desechos domésticos e industriales que afectan directamente la zona norte (Junta Vecinal Los Ferroles, Asociación Residencial La Taboada, Alameda Portuaria II Etapa), la zona oeste (AA.HH. Acapulco, AA.HH. Sarita Colonia, AA.HH. Tiwinza, AA.HH y Ampliación Tiwinza), la zona suroeste (Av. Néstor Gambeta, AA.HH. San Antonio, AA.HH. 3 de Marzo) y la zona sur (AA.HH. Gambeta Baja Este, AA.HH. Gambeta Baja Oeste y AA.HH. Santa Rosa, AA. HH. José Olaya) del AIJCh.

Los parámetros evaluados fueron: Partículas menores a 10 micras (PM₁₀), partículas menores a 2.5 micras (PM_{2.5}), Plomo (Pb) en PM₁₀, Dióxido de azufre (SO₂), Dióxido de nitrógeno (NO₂), Monóxido de Carbono (CO), Ozono Troposférico (O₃), sulfuro de Hidrogeno (H₂S) y Benceno. De la misma forma, la evaluación comprendió el análisis de parámetros meteorológicos como: humedad relativa, temperatura ambiental, presión atmosférica, dirección y velocidad del viento.

Para la presente línea base de Calidad de aire se ha hecho uso de información primaria y secundaria. Esta última procedente de programas de monitoreo con antigüedad no mayor de cinco años.

5.2.3.1.2. Estándares de comparación

Para la evaluación de la calidad del aire se empleó los Estándares de Calidad Ambiental para Aire, aprobados mediante el D. S. Nº 003-2017-MINAM. Esta norma es un referente obligatorio para el diseño y aplicación, en la elaboración de los instrumentos de gestión ambiental; establecen los niveles permisibles de concentración de cada contaminante en el aire como cuerpo receptor, y establecen si presenta algún riesgo significativo para la salud de las personas o al ambiente.

El Cuadro 5.2.3-1 presenta los ECA-Aire según D. S. Nº 003-2017-MINAM.

Cuadro 5.2.3-1 Estándares de Calidad Ambiental para Aire, D. S. Nº 003-2017-MINAM.

Parámetro	Periodo	Valor	Criterios de Evaluación	
Dióxido de Azufre (SO ₂)	24 horas	250 μg/m³	NE más de 7 veces al año	
Material Particulado con diámetro	24 horas	100 μg/m³	NE más de 7 veces al año	
menor a 10 micras (PM ₁₀)	Anual	50 μg/m³	Media aritmética anual	
Material Particulado con diámetro	24 horas	50 μg/m³	NE más de 7 veces al año	
menor a 2,5 micras (PM _{2,5})	Anual	25 μg/m³	Media aritmética anual	
Monóxido de Carbono (CO)	8 horas	10 000 μg/m³	Media aritmética móvil	
Monoxido de Carbono (CO)	1 hora	30 000 μg/m³	NE más de 1 vez al año	
Dióxido de Nitrógeno (NO ₂)	Anual	100 μg/m³	Media aritmética anual	
Dioxido de Miliogerio (NO2)	1 hora	200 μg/m³	NE más de 24 veces al año	





Parámetro	Periodo	Valor	Criterios de Evaluación	
Ozono (O ₃)	8 horas	100 μg/m³	Máxima media diaria NE más de 24 veces al año	
	Mensual	1.5 µg/m³	NE más de 4 veces al año	
Plomo (Pb) en PM ₁₀	Anual	0.5 μg/m³	Media aritmética de los valores mensuales	
Sulfuro de Hidrogeno (H ₂ S)	24 horas	150 µg/m³	Media aritmética	
Benceno	Anual	2 μg/m³	Media aritmética anual	

Fuente: D. S. Nº 003-2017-MINAM. Elaborado por Walsh Perú S.A. 2018.

5.2.3.1.3. Metodología

Los equipos utilizados para la medición de material particulado (PM_{2.5} y PM₁₀), fueron de alto volumen (Hi Vol); las concentraciones de gases (CO, NO₂, O₃, H₂S, SO_{2 y} benceno) fueron registradas mediante el método denominado tren de muestreo. Los equipos empleados cuentan con la aprobación de la Agencia Americana de Protección Ambiental (USEPA) y se encuentran debidamente calibrados según normas técnicas nacionales e internacionales, lo cual garantiza la calidad de los resultados.

El muestreo y los ensayos, fueron llevados a cabo por el laboratorio acreditado ante la entidad gubernamental INACAL; AGQ Perú S.A.C. Este laboratorio cuenta con personal cualificado y amplia experiencia en trabajos de este tipo. La metodología de análisis basado en la USEPA y el tipo de equipo requerido para cada parámetro evaluado se detalla en el Cuadro 5.2.3-2.

Cuadro 5.2.3-2 Metodología y equipos para calidad de aire

Parámetros	Equipos Utilizados	Método de Análisis	Norma de Referencia	Material Empleado	
SO ₂		Espectro UV-VIS.	EPA Method 40 CFR Ch. I Pt. 50, App. A-2. 2010.		
CO		Espectro UV-VIS. PP-202. Rev. 03. 2015.(Validado)			
NO ₂	Tren de muestreo	Espectro UV-VIS.	ASTM D1607-91 (2011).	Soluciones	
O ₃		Espectro UV-VIS. PP-201. Rev 3. 2015.(Validado)		Absorbentes	
H ₂ S		Espectro UV-VIS.	PP-203. Rev 3. 2015.(Validado)		
Benceno		Cromatografía CG/MS.	ASTM D 3687-07.		
PM _{2.5}		Gravimetría.	PP-209.	Ciltura el a	
PM ₁₀	Muestreador de alto	Gravimetría.	NTP 900.030. 1ª Edición. 2003.	Filtro de Fibra de	
Pb	Volumen (Hi-Vol.)	Espectro ICP-OES	EPA/625/R-96/010a. Method IO-3.4. 1999	Vidrio	
Meteorología	Estación Meteorológica Portátil		ASTM D5741-96(2011). Standard Practice for Characterizing surface wind using a wind vane and Rotating Anemometer.		

Fuente: Informe de Ensayo MIT-17/00392- AGQ Perú S.A.C.

Elaborado por Walsh Perú S.A. 2018.

Los certificados de calibración de los equipos utilizados se encuentran en el Anexo 5.2.3.1-1.





5.2.3.1.4. Puntos de muestreo

A. Criterios de ubicación de puntos

Los criterios para la selección de la ubicación de los puntos de muestreo de calidad de aire, fueron los siguientes:

- Ubicación de las principales instalaciones y áreas del AIJCH.
- Ubicación de las poblaciones influenciadas por las futuras actividades proyectadas en el AIJCH y situadas en zonas donde se presenta mayor densidad poblacional.
- Las condiciones meteorológicas de la zona de estudio (dirección y velocidad de viento predominante).
- Características fisiográficas más representativas que influyen sobre los puntos de muestreo, respecto a la ubicación del AIJCH.
- Accesibilidad y seguridad en las zonas donde se emplazarían los puntos de muestreo propuestos.
- Fuentes de emisión que se encuentran alrededor; entre ellas se encuentran las fuentes fijas como las industrias de harina de pescado y fundidoras, etc., y las denominadas fuentes móviles como el tránsito vehicular terrestre y aéreo.
- Calles y lugares más transitados, (Av. Néstor Gambeta, Morales Duárez y Ovalo Centenario).

Asimismo, se tomó en consideración la escala de representatividad, indicada en el "Protocolo de Monitoreo de la Calidad del Aire y Gestión de los datos - DIGESA 2005". Esta escala es una herramienta de ayuda para establecer los objetivos del muestreo y localización física de los puntos de muestreo.

El Cuadro 5.2.3-3 presenta la red de muestreo para calidad del aire, conformada por información primaria y secundaria, a saber:

Cuadro 5.2.3-3 Red de muestreo de calidad del aire

Puntos de muestreo	Fecha de muestreo	Descripción		Coordenadas (UTM-WGS 84) Zona 18 L					
			Este (m)	Norte (m)					
Información Pri	nformación Primaria								
Modificación del Estudio de Impacto Ambiental LAP – Julio 2017									
AIR-5	Jul 2017	AA.HH. Acapulco- situado a 700 m de la Av. Néstor Gambeta.	267 387	8 670 265					
AIR-6	Jul 2017	Junta vecinal Los Ferroles-situado entre la Calle Los Ferroles y Centenario.	267 682	8 672 387					
AIR-7	Jul 2017	AA.HH. Santa Rosa-situado a 10 m de la Av. Morales Duarez.	270 175	8 667 939					
Información Sec	cundaria								
	Progr	rama de Monitoreo de Calidad de Aire de LAP ⁽²⁾ – Marzo 20	13						
CA-01 Cabecera 33	Mar 2013	Ubicado en el techo de la zona llamada cabecera 33	270 752	8 668 446					
CA-02 Gran Techo	Mar 2013	Ubicado en el techo de la zona llamada como Gran techo	270 403	8 670 052					





Puntos de muestreo	Fecha de muestreo	Descripción	Coordenadas (UTM-WGS 84) Zona 18 L							
			Este (m)	Norte (m)						
CA-03 Bloque Sanitario	Mar 2013	Ubicado en el techo de las oficinas del bloque sanitario	269 961	8 670 802						
CA-04 Cabecera 15	Mar 2013	Ubicado en el techo de la zona llamada cabecera 15, cerca de las oficinas de Corpac y a la planta de tratamiento de aguas residuales	269 115	8 672 036						
	Modificación del Estudio de Impacto Ambiental LAP ⁽¹⁾ – Junio 2014									
AIR-1	Jun 2014	Al Lado oeste del AIJCH, cerca de la puerta de acceso papa Golf, colindante con la av. Néstor Gambeta.	268 614	8 668 946						
AIR-2	Jun 2014	Al norte de la propiedad del AIJCh Urb. Alameda Gertuaña.	269 450	8 672 296						
AIR-3	Jun 2014	Al sur de la propiedad del AIJCh - AAHH 200 millas.	271 238	8 668 279						
AIR-4	Jun 2014	Al suroeste del AIJCh.	271 511	8 669 004						
Programa d	e Monitoreo a	lel Proyecto Mejoramiento de la Av. Néstor Gambeta, Tram	o IIIB ⁽³⁾ – Feb	rero 2017						
ECA 01	Feb 2017	Entrada del proyecto "Túnel Callao", al frente de la entrada a Sarita Colonia.	268 253	8 669 975						
ECA 02	Feb 2017	Caseta de Vigilancia.	268 294	8 670 773						
ECA 03	Feb 2017	A 250 m de la Av. Fertisa, frente a la central de Acero.	268 439	8 671 562						
ECA 04	Feb 2017	Final del Tramo del proyecto "Túnel Callao".	268 459	8 672 354						

Fuentes

Elaborado por Walsh Perú S.A. 2018.

Los puntos de muestreo para calidad del aire ejecutado en julio del 2017 como parte de la LB para la MEIA del AIJCH (información primaria), son tres, situados principalmente en poblaciones que estarían influenciadas por las futuras actividades proyectadas en el AIJCH. En el Volumen III Mapa LBF-12 se muestra la ubicación espacial de los puntos evaluados en el área de influencia y las fichas de campo se presentan en el Anexo 5.2.3.1-2. Dichos puntos se han ubicado tomando en cuenta el protocolo de monitoreo de calidad de aire, considerando criterios tales como la dirección de viento, los componentes generadores, receptores sensibles y la morfología de la zona. Al estar ubicado en la costa, la posición de los puntos de muestreo cubre ampliamente la dispersión de los contaminantes.

5.2.3.1.5. Evaluación de resultados

A. Parámetros Meteorológicos

La concentración de los contaminantes atmosféricos depende fundamentalmente de las condiciones de dispersión de la atmósfera. Es decir, el transporte en el aire depende del estado de la atmósfera y de las condiciones meteorológicas (turbulencias atmosféricas, velocidad y dirección del viento, etc.). Existe una relación entre la intensidad del viento y los niveles de concentraciones de los contaminantes. La dispersión aumenta con la velocidad y la turbulencia del viento. Estos fenómenos

^{(1):} LAP 2016-Actualización del Estudio de Impacto Ambiental del Aeropuerto Internacional Jorge Chávez. Elaborado por Walsh Perú S. A. Aprobado mediante R. D. N° 043-2016-MTC/16.

^{(2):} Programa de Monitoreo Ambiental de la Actualización del Estudio de Impacto Ambiental del Aeropuerto Internacional Jorge Chávez.

^{(3):} Programa de Monitoreo Ambiental de la Evaluación Ambiental Preliminar del Proyecto "Mejoramiento de la Av. Néstor Gambeta-Callao Tramo III B", aprobado mediante R. D. N° 363-2015-MTC/16.





atmosféricos provocan acumulación, en zonas próximas a las fuentes de emisión o transporte a zonas más o menos alejadas.

Debido a la importancia de los parámetros meteorológicos en la dispersión de contaminantes, se llevó a cabo el registro de estos, en paralelo con los muestreos de calidad del aire. El registro tuvo una duración de 24 horas por cada punto donde se registraron valores máximos, mínimos y promedios. El Cuadro 5.2.3-4 muestra los registros de la evaluación realizada en el mes de julio del 2017.

Cuadro 5.2.3-4 Parámetros meteorológicos.

PARÁMETROS	DESCRIPCIÓN	AIR-5	AIR-6	AIR-7
	Máximo	19.8	21.6	22.2
Temperatura (°C)	Mínimo	18.6	18.0	17.8
	Promedio	19.2	18.8	19.1
	Máximo	81.0	90.0	86.0
Humedad Relativa (%)	Mínimo	74.0	67.0	65.0
	Promedio	78.0	82.0	79.0
Dirección del Viento	Predominante	SSE	SSE	SW
	Máximo	3.1	4.0	2.1
Velocidad del Viento (m/s)	Mínimo	Calma	Calma	Calma
	Promedio	1.8	2.2	0.9

Fuentes: Informe de Ensayo MIT-17/00392 – AGQ Perú S.A.C.- 2017

Elaborado por Walsh Perú S.A. 2018.

El Cuadro 5.2.3-5 muestra los registros obtenidos en la evaluación realizada por Walsh, para la línea de base de la AEIA del AIJCH, aprobado en el año 2015 y el Cuadro 5.2.3-6 muestra los resultados del Programa de monitoreo de LAP del año 2014.

Cuadro 5.2.3-5 Resultados de parámetros meteorológicos (Evaluación 2014 - Walsh Perú)

Parámetros	Doscrinción		Estaciones	de Muestreo	
Parametros	Descripción	AIR-1	AIR-2	AIR-3	AIR-4
	Máxima	23.2	23.2	23.2	23.2
Temperatura (°C)	Mínima	19.4	18.4	19.4	18.1
•	Promedio	20.0	20.3	20.5	20.2
	Máxima	78	85	78	89
Humedad Relativa (%)	Mínima	66	66	61	66
	Promedio	75.5	74.8	70.5	76.0
Dirección del Viento	> Predominancia	SE	SE	SE	SE
	Máximo	4.5	5.4	5.4	5.4
Velocidad del Viento	Mínimo	2.2	2.2	2.7	2.2
	Promedio	3.1	3.6	3.3	3.3

Fuente: LB de AEIA de AIJCH, aprobado en el año 2015

Elaborado por Walsh Perú S.A. 2018.

Cuadro 5.2.3-6 Resultados de parámetros meteorológicos (LAP)

		Estaciones de Monitoreo						
Parámetros	Descripción	CA-01 Cabecera 33	CA-02 Gran Techo	CA-03 Bloque Sanitario	CA-04 Cabecera 13			
Tommoratura (0C)	Máxima	20.8	20.8	22.0	22.0			
Temperatura (°C)	Mínima	18.9	18.9	19.1	19.1			





	Promedio	19.4	19.4	19.6	19.6
Humedad Relativa	Máxima	86.0	86.0	86.0	86.0
	Mínima	73.0	73.0	73.0	73.0
(%)	Promedio	79.0	79.0	79.0	79.0
Dirección del Viento	> Predominancia	SSE	SSE	SSE	SSE
Velocidad del	Máxima	3.6	3.6	3.6	3.6
Velocidad dei Viento (m/s)	Mínima.	0.0	0.0	0.0	0.0
viento (m/s)	Promedio	1.9	1.9	2.1	2.1

Fuente: Programa de Monitoreo Ambiental de la Actualización del Estudio de Impacto Ambiental del Aeropuerto Internacional Jorge Chávez, aprobado mediante R. D. N° 043-2016-MTC/16. "Programa de Monitoreo Ambiental (PMA) de LAP – 2014" Elaborado por Walsh Perú S.A. 2018.

La temperatura ambiental o del aire es un parámetro que varía con la hora del día y con la estación del año. En todos los puntos de muestreo se registraron máximos valores en horas de la tarde, entre las 12:00 y las 16:00 horas, siendo el máximo valor 22.2 °C (punto de muestreo AIR-7, AA.HH. Santa Rosa), los mínimos valores se registraron en horas de la madrugada y primeras horas de la mañana, entre las 00:00 y las 06:00 horas, siendo el mínimo valor 17.8 °C (punto de muestreo AIR-7) ubicado al Sur del AIJCh. Asimismo, se puede precisar que estos valores registrados son propios de la estación de invierno para la costa peruana, temporada templada.

El descenso de la humedad relativa se ve afectado conforme avanzan las horas de sol y por el incremento de la temperatura en el aire. Los valores de humedad se amplían lentamente hasta alcanzar sus máximos valores en las primeras horas de la mañana. Este fenómeno se explica porque durante el día la temperatura es alta, provocando que el vapor de agua y la capacidad de retención de humedad del aire disminuyan. En general en los puntos de muestreo, los valores de humedad relativa registraron los mínimos valores durante la mañana, entre las 02:00 horas y las 09:00 horas, siendo el mínimo valor 65 % (punto de muestreo AIR-7); mientras los máximos valores se registraron durante la tarde y noche, entre las 17:00 y las 00:00 horas, siendo el máximo valor 90 % (punto de muestreo AIR-6, AA.HH. Acapulco).

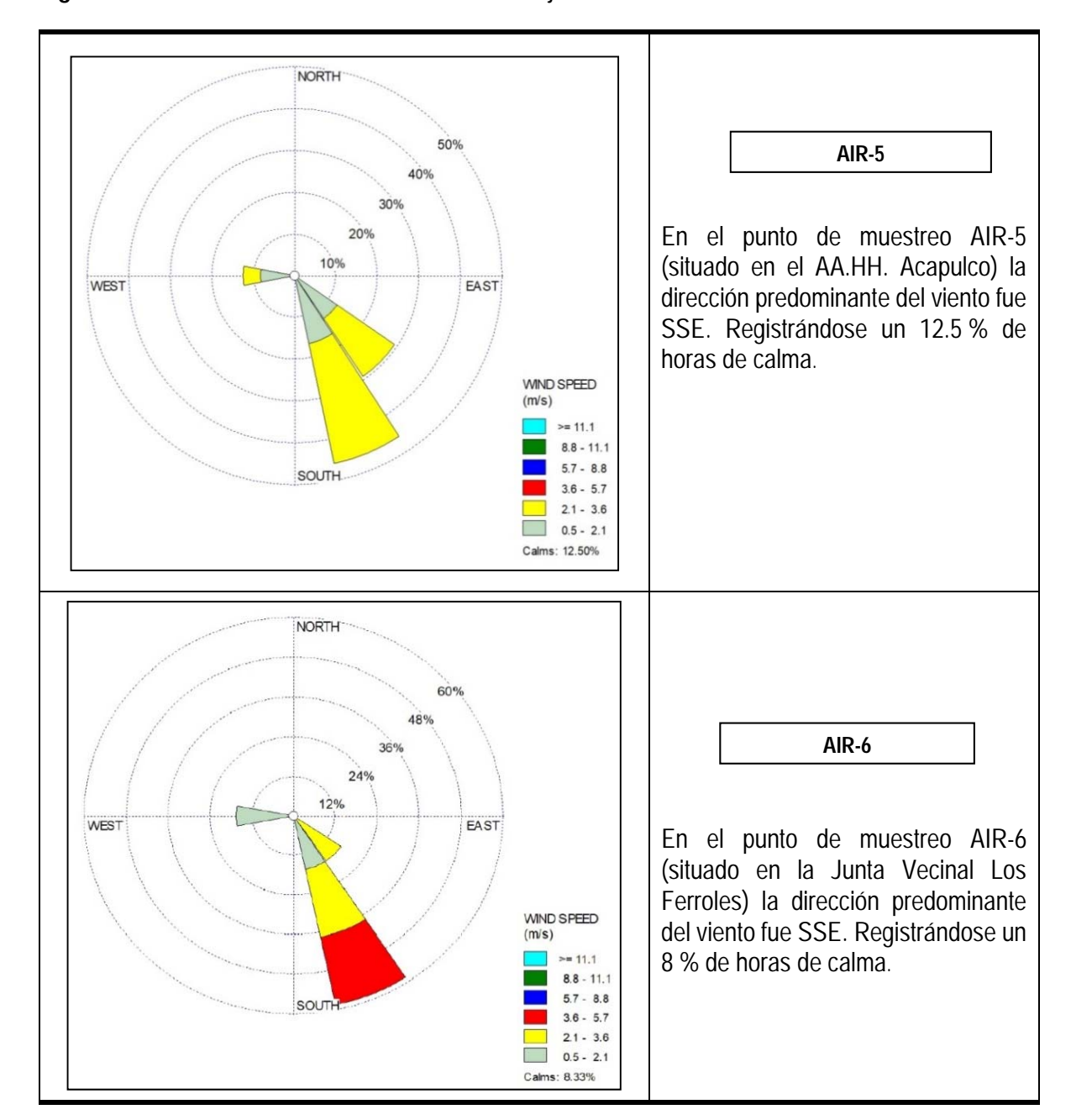
Por otro lado, los registros de viento en todos los puntos de evaluación, presentaron mayor porcentaje de ocurrencia para velocidades promedios entre 2.2 – 0.9 m/s.

En la Figura 5.2.3-1, se presentan las rosas de vientos elaboradas con información horaria de velocidad y dirección del viento; las gráficas indican la distribución de velocidades del viento en diferentes direcciones (desde donde sopla el viento). Los registros horarios de parámetros meteorológicos son mostrados en el Anexo 6.1.2-2.



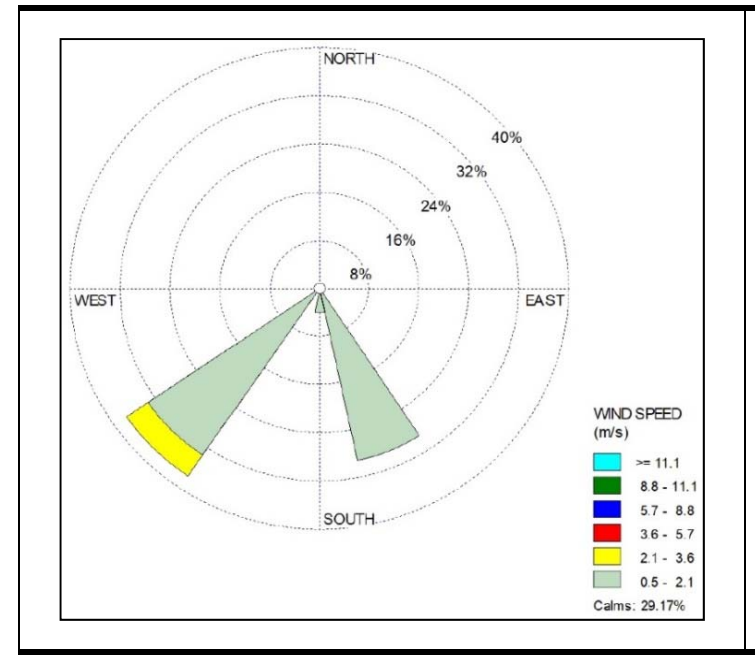


Figura 5.2.3-1 Rosas de vientos – Walsh Perú, julio del 2017.









AIR-7

En el punto de muestreo AIR-6 (situado en la AA. HH. Santa Rosa) la dirección predominante del viento fue SW. Registrándose un 29.1 % de horas de calma.

Fuente: Informe de Ensayo MIT-17/00392– AGQ Perú S.A.C. Elaborado por Walsh Perú S.A. 2018.

B. Parámetros de Calidad del Aire

El Cuadro 5.2.3-7 muestra la información obtenida en los puntos de muestreo de calidad de aire, durante las temporadas de evaluación. Los resultados están expresados en microgramos por metro cúbico (µg/m³) y son comparados con la normativa ambiental vigente.

Los informes de ensayo de laboratorio se encuentran en el Anexo 5.2.3.1-3.



Parámetros de calidad del aire Cuadro 5.2.3-7

	ECA-Aire		100	50	1.5	10 000	200	250	150	100	2
	AIR-7 ⁽⁴⁾	Jul-17	54	30.2	< 0.0070	1823	< 4.0	< 13.0	< 2	< 20	< 0.40
•	AIR-6(4)	Jul-17	61	40.6	0.0197	< 735	< 4.0	< 13.0	< 2	< 20	< 0.40
nplada	AIR-5(4)	Jul-17	99	42.7	0.0171	2 462	< 4.0	< 13.0	< 2	< 20	09:0
Temporada templada	AIR-4(3)	jun-14	24.11	18.76	600.0	4572	< 3.502	< 13.72	< 2.372	< 1.725	9.0 >
Tempo	AIR-3(3)	jun-14	37.13	31.17	0.025	3425	< 3.502	< 13.72	< 2.372	< 1.725	9.0 >
	AIR-2 ⁽³⁾	jun-14	21.79	16.77	0.024	5853	< 3.502	< 13.72	< 2.372	< 1.725	> 0.6
	AIR-1 ⁽³⁾	jun-14	28.09	24.77	0.011	1012	< 3.502	< 13.72	< 2.372	< 1.725	9.0 >
	ECA-04(2)	feb-17	79.1	49.2	< 0.002	1229	7.95	< 3.70	< 0.692	< 1.3	< 0.17
Ī	ECA-03(2)	feb-17	51.00	22.4	< 0.002	< 3.70	1.49	1092	< 1.30	< 0.692	< 0.17
	ECA-02 ⁽²⁾	feb-17	62.9	31.8	< 0.002	1078	4.1	< 3.70	< 0.692	< 1.3	< 0.17
Temporada cálida	CA-03(1) CA-04(1) ECA-01(2)	feb-17	77.8	45.7	< 0.002	1678	69.6	< 3.70	< 0.692	< 1.3	< 0.17
Tempo	CA-04 ⁽¹⁾	mar-13	38.71	35.91	0.08	9.09	23.9	6.9	4	140	
-	CA-03 ⁽¹⁾	mar-13	20.93	17.05	90:0	106.8	24.8	8.3	3.2	122.1	
Ī	CA-02(1)	mar-13	27.71	12.97	0.02	264.7	13.5	12.7	4.5	85.5	
	CA-01(1)	mar-13	52.38	3.35	0.02	6.79	52.9	8.3	3.1	110.3	
	Unidades		hg/m³	µg/m³	₁m/m³	hg/m³	hg/m³	hg/m³	hg/m³	hg/m³	hg/m³
	Parámetros Unidades		PM ₁₀	PM _{2.5}	Pb	00	NO_2	SO ₂	H ₂ S	03	Benceno

Fuentes:

(1): Programa de Monitoreo Ambiental de la Actualización del Estudio de Impacto Ambiental del AUCH.

(2): Programa de Monitoreo Ambiental de la Evaluación Ambiental Preliminar del Proyecto "Mejoramiento de la Av. Néstor Gambeta- Callao Tramo III B", aprobado mediante R. D. N° 363-2015-MTC/16.

3). Línea de Base de la Actualización del Estudio de Impacto Ambiental del ALJCH. Elaborado por Walsh Perú S. A. Aprobado mediante R. D. N° 043-2016-MTC/16.

(4): Informe de ensayo MIT-17/00392- AGQ Perú S.A.C. Julio 2017

Elaborado por Walsh Perú S.A. 2018.





Partículas Menores a 10 micras (PM₁₀)

El material particulado respirable presente en la atmósfera de nuestras ciudades en forma sólida o líquida (polvo, cenizas, hollín, partículas metálicas, cemento y polen, entre otras) se puede dividir, según su tamaño, en dos grupos principales. A las de diámetro aerodinámico igual o inferior a los 10 µm o 10 micrómetros (1 µm corresponde a la milésima parte de un milímetro) se las denomina PM10 y a la fracción respirable más pequeña, PM2.5. Las partículas PM10 se pueden definir como aquellas partículas sólidas o líquidas de polvo, cenizas, hollín, partículas metálicas, cemento ó polen, son generadas a partir de la actividad de las construcciones, de los incendios naturales o por el polvo levantado por el viento. Se depositan en la superficie por acción gravitatoria con mayor facilidad que las finas, y por lo tanto, sus efectos se manifiestan principalmente cerca del lugar donde fueron emitidas.

Los registros de PM_{10} en los puntos de muestreo evaluados mostraron concentraciones por debajo del ECA-Aire (100 μ g/m³). Los puntos que presentaron las mayores concentraciones se encuentran ubicados en la zona donde se desarrolló el proyecto "Mejoramiento de la Av. Néstor Gambeta" durante la temporada cálida. Estos lugares están rodeados por suelos descubiertos que presentan material suelto en su superficie, y por acción del viento este material es levantado y dispersado en las zonas aledañas a la fuente.

Además, se observa que los mayores registros ocurren en temporada cálida debido a la ausencia de precipitaciones. La Figura 5.2.3-2 muestra las concentraciones de PM₁₀ en los puntos de muestreo.

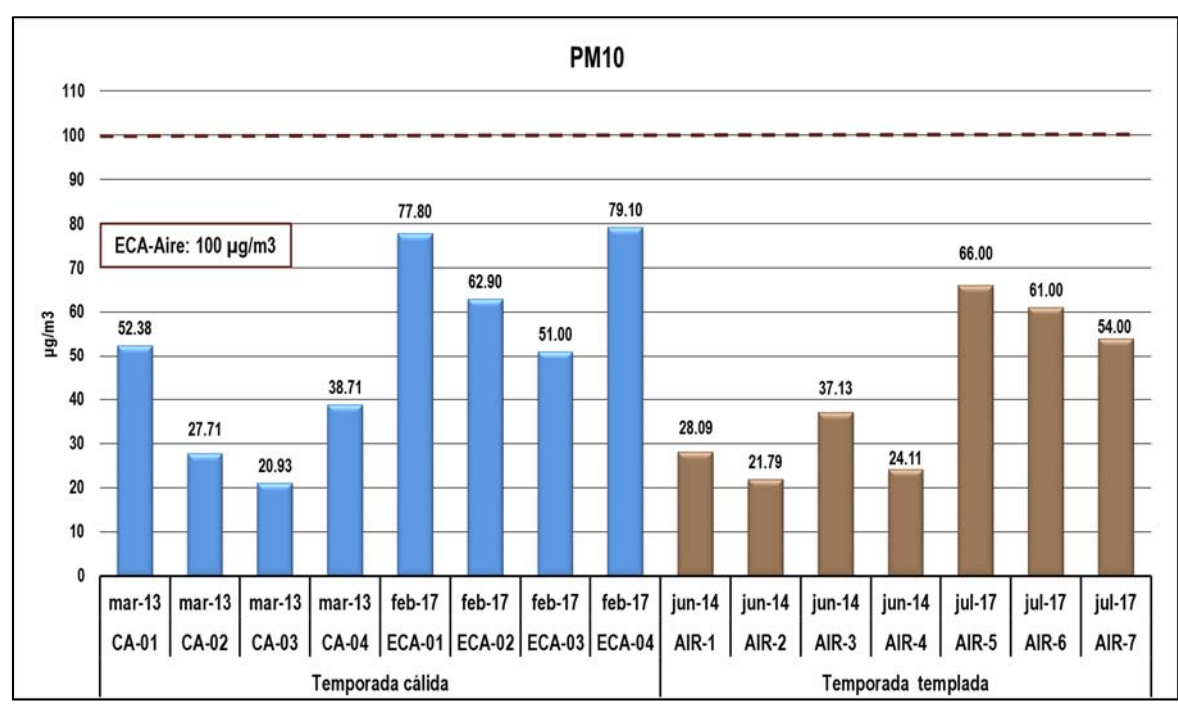


Figura 5.2.3-2 Concentraciones de PM₁₀.

Elaborado por Walsh Perú S.A. 2018.





Partículas Menores a 2,5 micras PM_{2,5}

Las partículas en suspensión de menos de 2.5 micras (PM2.5) parecen ser un mejor indicador de la contaminación urbana, esto es debido a que, por un lado, su origen es antropogénico en una alta proporción, puesto que las PM_{2.5} en buena medida provienen de las emisiones de los vehículos automotores diesel del parque automotor que circula en las avenidas aledañas. Por otro lado, los efectos que tienen sobre nuestra salud son muy graves, por su gran capacidad de penetración en las vías respiratorias. Las partículas finas generalmente son emitidas por fuentes de combustión y originadas por los precursores gaseosos, pueden permanecer en el aire durante semanas y meses y por consiguiente pueden ser transportadas en la atmósfera a grandes distancias.

Las $PM_{2.5}$ en los puntos de muestreo siguieron el mismo patrón de comportamiento que las PM_{10} , presentando las mayores concentraciones en los puntos que colindan con la Av. Néstor Gambeta. En todos los puntos evaluados las concentraciones de $PM_{2.5}$ cumplen con el ECA-Aire (50 μ g/m³); sin embargo, en algunos puntos (ECA-01 y ECA-04), si bien no se supera el estándar, se presentan valores cercanos a él. Además, se observa que los mayores registros ocurren en temporada cálida debido a la ausencia de precipitaciones. La Figura 5.2.3-3 muestra las concentraciones de $PM_{2,5}$ en los puntos de muestreo.

PM 2.5 49.20 45.70 42.70 ECA-Aire: 50 µg/m3 40.60 35.91 31.80 31.17 30.20 24 77 22.4 18.76 17.05 16.77 12.97 3.35 mar-13 mar-13 mar-13 feb-17 feb-17 feb-17 feb-17 jun-14 mar-13 jun-14 jun-14 jun-14 jul-17 jul-17 jul-17 CA-01 | CA-02 CA-03 | CA-04 | ECA-01 | ECA-02 | ECA-03 | ECA-04 AIR-1 AIR-2 AIR-3 AIR-4 AIR-5 AIR-6 AIR-7 Temporada cálida Temporada templada

Figura 5.2.3-3 Concentraciones de PM_{2.5}

Elaborado por Walsh Perú S.A. 2018.

Plomo (Pb)

El Pb se libera al ambiente principalmente a través de las emisiones de los vehículos que usan gasolina con tetra etilo de Pb y de las emisiones de material particulado resultante de la extracción, transporte, manipulación y almacenamiento de minerales de plomo.





En los puntos evaluados se encontró concentraciones de Pb que cumplen con el ECA-Aire (1.5 μ g/m³). El valor más alto fue hallado en el punto CA-04, este punto está ubicado en la zona norte del AIJCH. La Figura 5.2.3-4 muestra las concentraciones de Pb obtenidos en los puntos de muestreo

Plomo en PM10 0.09 0.08 0.08 0.06 0.06 ECA-Aire: 1,5 µg/m3 0.05 Hg 0.04 0.03 0.024 0.025 0.02 0.02 0.020 0.017 0.02 0.011 0.009 0.01 0.00 mar-13 mar-13 mar-13 mar-13 jun-14 jul-17 jul-17 jun-14 jun-14 jun-14 CA-02 CA-04 AIR-1 AIR-2 AIR-5 CA-01 CA-03 AIR-3 AIR-4 AIR-6 Temporada cálida Temporada templada

Figura 5.2.3-4 Concentraciones de Pb.

Elaborado por Walsh Perú S.A. 2018.

Gases y benceno

Las emisiones de gases contaminantes se relacionan con la actividad industrial, los vehículos motorizados y la actividad humana. El Dióxido de Nitrógeno (NO_2) es un producto derivado de los procesos de combustión y se suele encontrar en la atmósfera íntimamente asociado con otros contaminantes primarios, como las partículas ultra finas, también es precursor del ozono, con el que coexiste junto con varios otros oxidantes generados en procesos fotoquímicos. Los valores medidos para este gas, cumplen con el ECA-Aire ($200~\mu g/m^3$) para 1 hora, en la temporada templada no se hallaron niveles detectables.

El Dióxido de Azufre (SO_2) es un gas producido por la combustión de combustibles fósiles que contienen azufre como el carbón y el petróleo y por varios procesos industriales, como la fundición de metales no ferrosos, la producción de ácido sulfúrico y la conversión de pulpa en papel. Los resultados de SO_2 en los puntos de muestreo arrojaron los mayores valores en la temporada cálida, el mayor valor alcanzó los 12.7 $\mu g/m^3$ pero muy inferior a su ECA (250 $\mu g/m^3$) para 24 horas.

El Sulfuro de Hidrógeno (H_2S) proviene naturalmente por la descomposición de materia orgánica. Por otro lado, cuando la combustión se efectúa con defecto de oxígeno, el azufre de los combustibles fósiles se transforma en H_2S , el cual se oxida rápidamente a SO_2 . En los puntos de muestreo de la temporada templada no se detectaron concentraciones de H_2S al igual que SO_2 . Los valores en la temporada cálida cumplen con el ECA-Aire ($150 \mu g/m^3$) para 24 horas.





El Monóxido de Carbono (CO) es un gas producido por la combustión incompleta de combustibles fósiles como gas, gasolina, kerosene, carbón, petróleo o madera, los automóviles con motores de ignición a chispa, son una de las principales fuentes de emisión de CO. Las concentraciones medidas en los puntos de muestreo estuvieron por debajo de su ECA-Aire (10 000 μ g/m³) para 8 horas. Los mayores valores fueron registrados en los puntos más próximos a la Av. Elmer Faucett esto se explica por la alta densidad de vehículos motorizados que transitan por esta vía principal. La Figura 5.2.3-5 muestra las concentraciones de CO en los puntos de muestreo.

Monóxido de Carbono (CO) ECA-Aire: 10 000 µg/m3 5853.0 6000 4572.0 5000 4000 3425.0 3000 2462.0 1823.0 1678.0 1229.0 1078.0 1092 1012.0 jun-14 jun-14 feb-17 feb-17 feb-17 jun-14 jun-14 jul-17 jul-17 feb-17 ECA-01 ECA-02 ECA-03 ECA-04 AIR-1 AIR-2 AIR-3 AIR-4 AIR-5 AIR-7 Temporada cálida Temporada templada

Figura 5.2.3-5 Concentraciones de CO.

Elaborado por Walsh Perú S.A. 2018.

El Ozono (O₃) se forma en la atmósfera mediante reacciones fotoquímicas en presencia de luz solar y contaminantes precursores, como los óxidos de nitrógeno (NOx) y diversos compuestos orgánicos volátiles (COV). Se destruye en reacciones con el NO₂ y se deposita en el suelo. Como se puede observar en los resultados, las únicas excedencias producidas fueron tres lecturas de ozono (O₃), en puntos ubicados dentro del área de operaciones del aeropuerto. Mientras que, en las inmediaciones urbanas (localidades), se registran lecturas menores al límite de detección. Como es conocido el ozono troposférico es un contaminante secundario de origen antropogénico, producto de los procesos fisicoquímicos que se producen en la atmósfera (smog fotoquímico) influenciada por la meteorología y el relieve terrestre que condicionan enormemente los procesos de dispersión y transporte de estos contaminantes, es decir, no emitido directamente por ninguna fuente, sino producido a partir de otros contaminantes denominados precursores (óxidos de nitrógeno (NO_x) y diversos compuestos orgánicos volátiles (COV), en presencia de radiación.

Los puntos de muestreo durante la temporada templada presentaron niveles no detectables de O₃; sin embargo, las mediciones en la temporada cálida en marzo del año 2013, mostraron dos puntos con excedencia sobre el ECA-Aire (100 µg/m³) para 8 horas, estos puntos se ubican colindantes a la AV. Elmer Faucett, probablemente debido a la reacción de COV y compuestos nitrogenados con la radiación solar que es mayor en la temporada cálida, elevando así el valor del ozono.





El Benceno forma parte de los denominados Compuestos Orgánicos Volátiles (COVs) y su presencia en la atmósfera se debe principalmente de emisiones provocadas por la actividad humana en las ciudades. La fuente más común es el uso del automóvil en las ciudades, la evaporación de gasolinas y gasóleos, la producción de diferentes compuestos químicos, las emisiones procedentes de la combustión incompleta del carbón y de productos derivados del petróleo, y la manufactura de pinturas o su utilización por cualquier tipo de industria. No se detectó concentraciones de Benceno en los puntos de muestreo, por lo tanto cumplen con su ECA-Aire (2 μg/m³).

5.2.3.1.6. Estudios de Calidad de Aire realizados por otras instituciones en la zona de estudio

En el marco del Programa Nacional de Vigilancia Sanitaria de Calidad de Aire de la DIGESA, la Dirección Regional de Salud (DIRESA) del Callao realiza un estudio de la calidad de aire en el período 2012 al 2015. El Cuadro 5.2.3-8 muestra la ubicación de los puntos de evaluación para calidad del aire considerados por la DIGESA, dentro de su Programa de Vigilancia.

Cuadro 5.2.3-8 Puntos de evaluación para calidad del aire

Punto de evaluación	Ubicación
E-1 DIRESA Callao	Jr. Colina N° 879, Bellavista, Callao.
Centro Salud San Joaquín	Bellavista
Centro Salud Altamar	La Perla

Elaboración: Walsh Perú S.A., 2018.

Los resultados obtenidos se presentan en los cuadros 5.2.3-9 y 5.2.3-10.

Cuadro 5.2.3-9 Concentraciones de material particulado y gases (2012-2015) – Punto E-1.

Dorómo	troc		Punto E-1	DIRESA		ECA
Paráme	uos	Año 2012	Año 2013	Año 2014	Año 2015	(µg/m³)
	Mínimo	14.85	15.36	25.53	23.74	100
PM ₁₀ (μg/m³)	Máximo	76.60	35.32	38.54	46.28	100
(pg/m)	Promedio	42.50	25.29	29.67	32.06	50
	Mínimo	9.03	12.00	22.64	22.98	Ε0
PM _{2.5} (μg/m³)	Máximo	39.58	29.99	32.31	26.30	50
(µg/m)	Promedio	19.81	22.84	25.65	24.61	25
	Mínimo	0.19	4.38	2.77	3.19	200
NO ₂ (μg/m³)	Máximo	8.23	14.18	12.66	10.55	200
(pg/m)	Promedio	1.66	8.19	7.38	6.11	100
	Mínimo	7.91	6.11	5.64	6.77	
SO ₂ (µg/m³)	Máximo	16.52	13.43	7.85	8.39	250
(μ9/111 /	Promedio	11.04	7.53	6.63	7.60	

Fuente: DIRESA 2011-2015. Programa Nacional de Vigilancia Sanitaria de Calidad del Aire. Lima – Callao.

http://www.digesa.sld.pe/depa/pral2/lima.asp

Elaboración: Walsh Perú S.A., 2018.





Cuadro 5.2.3-10 Concentraciones promedio (2012-2015), PM₁₀ y Pb - Región Callao.

Ubicación	Punto de evaluación		netros /m³)
	evaluacion	PM ₁₀	Plomo
Distrito Bellavista	San Joaquín	36	0.03
DISTITIO DEIIAVISTA	DIRESA Callao	30	0.03
Distrito La Perla	C. S. Altamar	32	0.03
EC	A	100	1.5

Fuente: DIRESA 2011-2015. Monitoreo de Calidad Sanitaria de Aire en la Región Callao. Consulta: 21 de noviembre de 2016.

http://www.diresacallao.gob.pe/wdiresa/documentos/ftp/SaludAmbiental/CalidadAire/Mapa_C

<u>alidad_Aire_Callao_Web.pdf</u> Elaboración: Walsh Perú S.A., 2018.

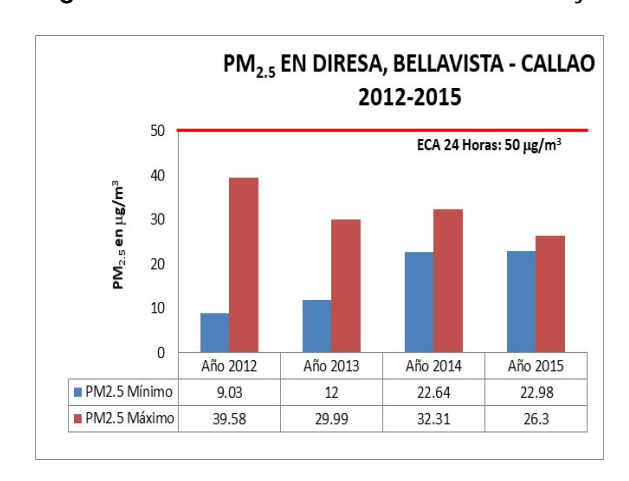
Las concentraciones de las PM_{10} en los puntos evaluados muestran concentraciones por debajo de los ECA para periodos diarios (24 horas) y anuales. En el punto de la DIRESA (Bellavista) el máximo valor diario ocurrió en el año 2012 alcanzando los 76.6 μ g/m³ (Cuadro 5.2.3-9); mientras que, en los puntos más próximos al proyecto (San Joaquín y Altamar), los valores se mantienen entre 30 y 36 μ g/m³ (Cuadro 5.2.3-10).

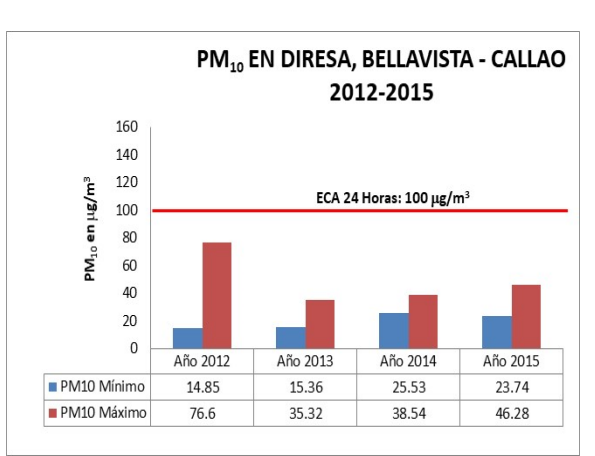
En el caso de las PM_{2.5}, los máximos valores registrados en el punto de la DIRESA, tanto para el distrito de La Perla y Bellavista, NO excedieron el ECA de 50 µg/m³ durante el periodo registrado de 2012-2015. Las fuentes de estas partículas en la zona, son en su mayoría de origen antropogénico, debido a que provienen principalmente de las emisiones de vehículos que utilizan combustible diésel.

Las concentraciones de plomo determinadas en el material particulado, mostraron valores por debajo de ECA establecido en 1.5 μ g/m³. Característica anual para ambos distritos en estudio (Bellavista y La Perla).

La Figura 5.2.3-6 (a y b) representan gráficamente las concentraciones de PM_{2.5} y PM₁₀ en el punto de la DIRESA.

Figura 5.2.3-6 Concentraciones de PM_{2.5} y de PM₁₀





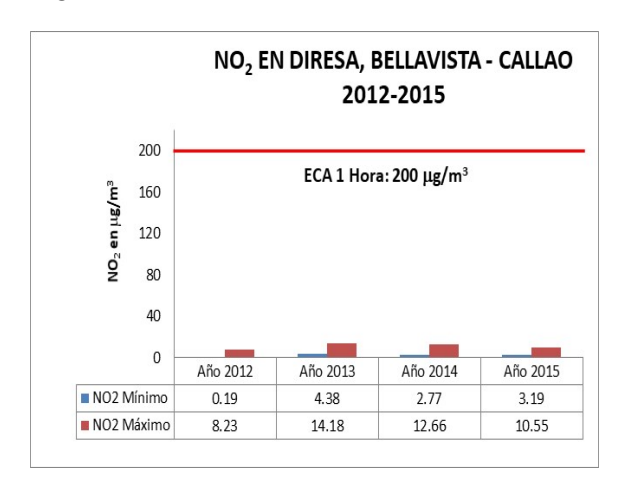
Las concentraciones de NO₂ y SO₂ tuvieron valores por debajo de sus estándares correspondientes. El SO₂ tuvo su mayor valor en el año 2012 y el NO₂ en el año 2013.

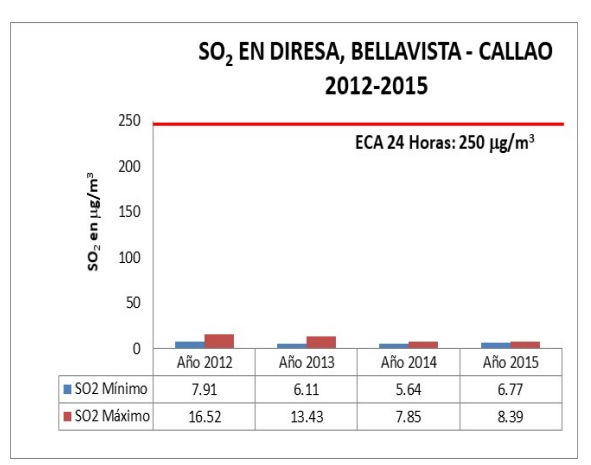




La Figura 5.2.3-7 grafican las concentraciones de NO₂ y SO₂ en el punto de la DIRESA.

Figura 5.2.3-7 Concentraciones de NO₂.





Así mismo, de la información presentada por el Programa Nacional de Vigilancia Sanitaria de Calidad de Aire de la DIGESA, que contempla los distritos de Bellavista y La Perla (en el Callao) y en comparación con los estándares de calidad, se determina que estos valores registrados están por debajo de los ECAs para calidad de Aire y según estos resultados no habría riesgos sanitarios para la salud de las personas.

5.2.3.1.7. Conclusiones

Del estudio realizado para el desarrollo del capítulo de Calidad de Aire para la MEIA del Aeropuerto Jorge Chávez, se concluye, que habiendo evaluado los resultados obtenidos con la norma vigente D.S. 003-2017-MINAM, se cumple con los estándares de calidad estipulados en la norma, tanto en material particulado (PM₁₀ y PM _{2,5}) al igual que para el contenido de gases y benceno. Otro aspecto importante de mencionar es que la red de monitoreo existente para el Aeropuerto Jorge Chávez, posee, suficiencia de puntos, esta información ha sido utilizada en este estudio, pero además, se ha complementado con más puntos de evaluación por la nueva área incluida, es decir, se ha complementado con puntos de muestreo representativos para la zona proyectada.

Cabe mencionar que en el año 2013 se ha producido lecturas con excedencias en Ozono. Este parámetro se refiere al ozono troposférico. El ozono siendo un contaminante secundario, no se produce directamente, pues se genera por acción de reacciones fotoquímicas en la atmósfera. Su presencia está estrechamente relacionada al NO. Como es sabido los aviones a reacción, emiten, principalmente: Dióxido de carbono (CO₂), vapor de agua (H₂O), óxidos de nitrógeno (NO_x), monóxido de nitrógeno (N₂O), óxidos de azufre (SO₂), hidrocarburos y partículas, entre otros. Los aviones emiten óxidos de nitrógeno al quemar combustible a altas temperaturas en los motores de reacción. Los NO se producen del nitrógeno molecular y el oxígeno molecular, posteriormente el NO se oxida generando el NO₂. El monóxido y el dióxido de nitrógeno guardan una reacción de equilibrio en la troposfera, mediante el ciclo fotolítico de los óxidos de nitrógeno. Aunque los NO_x tienen un tiempo sin ser modificado, denominado tiempo de residencia, posteriormente parte se transforma en nitratos y precipitan. Así mismo es responsable de la presencia de ozono, ya que el ozono troposférico se forma a partir de una reacción con luz solar en presencia de NO_x y compuestos orgánicos volátiles. Esta reacción es más frecuente en verano, ya que la luz del sol es el motor de la reacción fotoquímica. Las lecturas en cuestión se han producido en el mes de marzo 2013 y podemos observar también que





hay lecturas altas de NO₂ pero que no sobrepasan el ECA. En los años posteriores no se produjeron valores mayores, todos reportaron menores al límite de detección.

5.2.3.2. RUIDO AMBIENTAL

5.2.3.2.1. Generalidades

Se llama contaminación acústica al exceso de sonido que altera las condiciones normales del ambiente en una determinada zona. Si bien el ruido no se acumula, traslada o mantiene en el tiempo como otros contaminantes, también puede causar grandes daños en la calidad de vida de las personas si no se controla adecuadamente. El ruido puede estar asociado a actividades naturales y antrópicas que produce efectos negativos sobre la salud auditiva, física y mental de las personas. Además cabe mencionar, que ruidos muy altos podrían generar desplazamiento de las especies nativas, afectando las variedades autóctonas.

El ruido proviene de una gran variedad de fuentes, pero principalmente podemos mencionar las siguientes causas:

• Fuentes móviles

- Tráfico vehicular (sumado el mal estado de las pistas, que generan movimiento de los vehículos de transporte pesado, los cuales generan ruido)
- Aglomeración de personas
- Transporte aéreo
- Transporte ferroviario

Fuentes fijas

- Actividad humana: sonidos estridentes de origen doméstico
- Obras en construcción civil
- Industrias

En cuanto a la afectación a la salud de las personas, la Organización Mundial de la Salud (OMS) considera 85 decibelios como el límite superior deseable del ruido. No es algo desconocido que el ruido ambiental se ha incrementado considerablemente en la ciudad de Lima y Callao en los últimos años, debido al crecimiento económico y poblacional. En 2015, el Organismo de Evaluación y Fiscalización Ambiental (OEFA) monitoreó el ruido en diversos puntos de Lima y se comprobó que en más del 90 % de los casos el ruido supera los estándares de calidad ambiental establecidos para ruido a través del D.S. Nº 085-2003-PCM.

El tráfico aéreo puede ser una fuente de ruido principalmente en el entorno cercano al aeropuerto. El problema se agrava cuando en las proximidades del aeropuerto existen zonas densamente pobladas de viviendas precarias.

Además de las aeronaves, existen otras fuentes de ruido asociadas de naturaleza muy diversa en los entornos aeroportuarios: autobuses y vehículos de tráfico interno, servicios de mantenimiento, sistemas de carga y descarga, servicios mecánicos de las terminales, etc.

El ruido producido por los focos industriales es muy variado en intensidad y frecuencia, ya que proviene de innumerables fuentes emisoras diferentes, y depende de múltiples factores, como pueden





ser las características y condiciones de la maquinaria productora del ruido. También cabe destacar el ruido originado en áreas de construcción, tanto de infraestructuras como de edificación.

Los receptores sensibles (población cercana) en la zona del proyecto, son las áreas urbanas que se encuentran aledañas a la zona del proyecto. Las áreas urbanas, en contraste con lo rural, se caracterizan por su gran densidad poblacional, por albergar todo tipo de actividades industriales, comerciales y de servicios, por estar interconectadas y por sus formas de vida social, que implican relaciones personales más anónimas y empleos más especializados. En el distrito del Callao no existe población rural, pero en algunas de sus zonas, incluyendo sectores del All del proyecto, residen poblaciones en espacios peri- urbanos.

El Cuadro 5.2.3-11 presenta las 46 localidades y la distancia entre el centroide del polígono que las representa y el principal componente existente del Aeropuerto: la pista de aterrizaje. Dichas ubicaciones se pueden verificar en el Volumen III Mapa LBS-01 en la sección de Línea de Base Social del presente estudio.





Cuadro 5.2.3-11 Localidades del Área de Influencia Indirecta

Provincia	Distrito	Zona		Localidad	Distancia al extremo de la pista de aterrizaje existente (metros)
			1	Urb. Los Portales del Aeropuerto	642
			2	Urb. Los Portales del Aeropuerto II Etapa	682
		Zona Norte	3	Asociación Residencial La Taboada	745
		-Colindante al AlJCh	4	Urb. Alameda Portuaria I Etapa	570
		ui / ii o o ii	5	Urb. Aero Residencial Faucett	564
			6	Urb. Alameda Portuaria II Etapa	584
			7	Urb. Las Garzas	1 253
			8	Urb. Los Lirios	1 100
		Zona Norte	9	Urb. La Quilla	1 083
		- Frente al AIJCh	10	Urb. Las Fresas	725
		71.5011	11	Urb. 7 de Agosto	1 175
			12	Cooperativa 7 de Agosto II Programa PNP	1 073
		Zona	13	Agrupación Habitacional Grimanesa	962
		Centro -	14	A.H. Bocanegra Sector IV	1 100
		Frente al	15	A.H. Bocanegra Sector V	1 162
		AlJCh	16	A.H. Aeropuerto	788
			17	A.H. 200 Millas	557
			18	A.H. 25 de Febrero	652
Callao	Callao		19	A.H. 1º de Julio	521
			20	A.H. El Progreso	587
			21	A.H. Señor de Luren	645
			22	A.H. Nueva Esperanza	658
			23	A.H. Hijos de Moradores 25 de Febrero	650
			24	A.H. El Buen Pastor	553
			26	A.H. Andrés Avelino Cáceres	2 085
		Zona Sur -	27	Asociación René Núñez del Prado	2 205
		Colindante	28	Urbanización Popular Valentín Paniagua	2 193
		al AlJCh	29	Asociación de Vivienda Ongoy	2 195
			30	Asociación 3 de Marzo	2 182
			31	A.H. San Antonio	2 154
			32	A.H. Mariscal Ramón Castilla	1 752
			33	A.H. Gambetta Baja Este	1 305
			34	A.H. Gambetta Baja Oeste	997
			35	A.H. Santa Rosa	818
			36	A.H. Todos Unidos	735
			37	A.H. José Olaya	809
			38	A.H. Manuel Dulanto	1 020

Elaborado por Walsh Perú, 2018





El presente capítulo tiene como objetivo evaluar los niveles de ruido ambiental (horario diurno y nocturno) en el área de estudio. La información obtenida en campo, se complementó con registros procedentes de otros estudios ejecutados en la zona, entre estos se encuentran el Programa de Monitoreo Ambiental de la EVAP del Proyecto "Mejoramiento de la Av. Néstor Gambeta - Callao, Tramo III B", la línea base de la Actualización del Estudio del Impacto Ambiental del AIJCH y el monitoreo realizado por la empresa INERCO ACÚSTICA para el Estudio de Ruido emitido por Aeronaves y Actualización del Modelamiento Aeropuerto Internacional Jorge Chávez, Lima Perú - 2017.

5.2.3.2.2. Estándares de comparación

Los resultados de los niveles de ruido registrados en el ambiente fueron comparados con los Estándares Nacionales de Calidad Ambiental para Ruido establecidos en el D.S. N° 085-2003-PCM. Estos niveles fueron determinados con el fin de proteger la salud humana. Los estándares de comparación, considera como parámetro el nivel de presión sonora continuo equivalente con ponderación A (LA eqT) y toman en cuenta las zonas de aplicación y horarios, que se establecen en el Cuadro 5.2.3-12.

Cuadro 5.2.3-12 Estándares Nacionales de Calidad para Ruido, D. S. Nº 085-2003-PCM

Zonas de Aplicación	Valores Expre	sados en L AeqT ⁽¹⁾
Zonas de Apricación	Horario Diurno ⁽²⁾	Horario Nocturno ⁽³⁾
Zona Residencial	60	50
Zona Comercial	70	60
Zona Industrial	80	70

(1) LAeqT: Nivel de Presión Sonoro Continuo Equivalente con Ponderación A

(2) De 07:01 a 22:00 (3) De 22:01 a 07:00

Fuente: D. S. Nº 085-2003-PCM. Elaborado por Walsh Perú S.A. 2018.

Zona Residencial: Área autorizada para el uso identificado con viviendas o residencias, que permiten la presencia de alta, medias y bajas concentraciones poblacionales.

Zona Comercial: Área autorizada por el gobierno local correspondiente para la realización de actividades comerciales y de servicios.

Zona Industrial: Área autorizada para la realización de actividades industriales

La Municipalidad Provincial del Callao, aprueba mediante el Instituto Metropolitano de Planificación, el Plan de Desarrollo Urbano de la Provincia Constitucional del Callao 2011 – 2022. En el Tomo III, Capítulo VI: Instrumentos de Gestión Urbana., se aprecia el plano de zonificación de la Provincia Constitucional del Callao. La zonificación acústica del área de influencia se realizó a partir de la clasificación de usos de suelos determinada por las autoridades municipales.

De acuerdo a la ubicación de los puntos de medición, se utilizó como valores de comparación los establecidos para Zona Residencial, Zona Comercial y Zona Industrial, ya que los puntos se encuentran localizados en un amplio sector.





5.2.3.2.3. Metodología

Las mediciones de ruido ambiental se realizaron de acuerdo a lo establecido en los Estándares Nacionales de Calidad Ambiental para ruido (D.S Nº 085-2003-PCM), que a su vez cita como referencia la Normas ISO serie 1996 (ISO/NTP 1996-1:2007 Acústica - Descripción, medición y valoración del ruido ambiental. Parte 1: Índices básicos y procedimientos de valoración. ISO 1996-2:2007 Acoustics - Description, measurement and assessment of environmental noise - Part 2: Determination of environmental noise levels).

Las mediciones de niveles de ruido fueron realizadas con dos sonómetros, los cuales se describen en el Cuadro 5.2.3-13. Los periodos de medición en cada punto fueron de 20 minutos para mediciones puntuales y 24 horas para mediciones continuas. El periodo de 24 horas fue dividido en 15 horas horario diurno y 9 horas en el horario nocturno, (Diurno: 07:01 a 22:00 horas y Nocturno: 22:01 a 7:00 horas). En el Anexo 5.2.3.2-1 se muestra los certificados de calibración de los sonómetros empleados.

Cuadro 5.2.3-13 Características técnicas de los sonómetros.

Equipo	Marca	Modelo	Serie	Rango de medición	Fecha de calibración
Sonómetros	Cirrus	CR:800B	C19675FB	50 – 140 dB	01/03/2017
Sonometros	Larson Davis	Sound Track LxT®	2806	50 – 140 dB	09/09/2016

Fuente: Manual de equipo Elaborado por Walsh Perú S.A. 2018.

5.2.3.2.4. Puntos de medición

Las mediciones efectuadas por Walsh Perú S.A. se llevaron a cabo en seis (06) puntos, de los cuales cuatro (04) se realizaron de manera puntual; y dos (02) de manera continua (24 horas). En las zonas que no se efectuaron medición, se complementó con información secundaria.

A. Criterios de ubicación de puntos

- Criterio de clasificación establecida por el ECA Ruido: Industrial, comercial o residencial.
- Criterio de dirección del viento debido a que, a través de éste, la propagación del ruido puede variar. Se cubren los frentes alrededor del Aeropuerto.
- Criterio de selección de áreas representativas de acuerdo a la ubicación de la fuente generadora de ruido y en donde dicha fuente genere mayor incidencia en el ambiente exterior, por ejemplo, en las localidades como áreas sensibles.
- Criterio de selección de la ubicación considerando la fuente emisora y del receptor.
- Criterio de representatividad por cada punto de monitoreo previamente establecido
- Criterio de tiempo de muestreo: puntual y continuo; el muestreo puntual se ha llevado a cabo en horario diurno y nocturno (lecturas de 15 minutos), y el muestreo continuo se ha llevado a cabo en horario diurno y nocturno, con 15 y 9 horas respectivamente.

Ver Cuadro 5.2.3-14 y Cuadro 5.2.3-15 que presenta las coordenadas y descripción de los lugares donde se llevó a cabo la medición de los niveles de ruido (Información primaria); además de estar especificadas en las fichas de campo en el Anexo 5.2.3.2-2 y el Volumen III Mapa LBF-13 con la distribución espacial de la red de muestreo utilizada (información primaria y secundaria).



■Walsh

Puntos de medición para ruido ambiental - Puntual. Cuadro 5.2.3-14

			Coord	Coordenadas
Puntos de	Fecha de	Documentation	(UTM-	(UTM-WGS 84)
medición	medición	Descripcion	Zon	Zona 18 L
			Este (m)	Norte (m)
Información Primaria	n Primaria			
		Modificación del Estudio de Impacto Ambiental LAP – Julio 2017 ⁽¹⁾		
R-20	Jul-17	Junta vecinal Los Ferroles-situado entre la Calle Los Ferroles y Centenario.	267 682	8 672 387
R-21	71-luį	AA.HH. Daniel Alcides Carrión- Parque frente al colegio I.E. 5136 Fernando Belaunde Terry	267 454	8 671 423
R-23	71-Iuj	Agrupación Max Newbauer- ubicado en la Av. Néstor GambetaA 450 m del puente Gambeta.	268 410	8 668 936
R-24	71-Iuj	AA. HH. Andrés Avelino Cáceres – situado en el cruce de la Av. Gambeta y la Av. Morales Duarez.	268 459	8 668 309
Informaciór	Información Secundaria			
		Programa de Monitoreo Ambiental - Actualización del Estudio de Impacto Ambiental LAP- Junio 2014 ⁽²⁾		
RA-5	Jun-14	Al Nor-Oeste del Aeropuerto, cercano a la Av. Gambeta.	268 229	8 671 249
RA-6	Jun-14	Al Interior del Aeropuerto, colindante con la AV. Néstor Gambeta.	268 385	8 6 7 0 0 6 8
RA-7	Set 2016	Lado Sur-Oeste al Interior del Aeropuerto, colindante con la AV. Néstor Gambeta.	269 611	8 668 245
RA-8	Jun-14	Al Interior del Aeropuerto, colindante con el lado Sur-Oeste de la Plataforma.	270 404	8 668 537
RA-12	Jun-14	Al Este del Aeropuerto, AA.HH Boca Negra.	271 014	8 669 958
RA-14	Jun-14	Al Nor-Este del Aeropuerto, cruce de la Av. Alejandro Bertello con la Calle Los Cedros.	270 306	8 672 187
RA-15	Jun-14	Frente a la puerta Ingreso al Aeropuerto para personal autorizado.	270 411	8 670 320
RA-18	Set 2016	En el estacionamiento del Aeropuerto, cercano al hotel Costa Sol.	270 555	8 670 058
		Estudio de Ruido emitido por Aeronaves y Actualización de Modelamiento del Aeropuerto Internacional Jorge Chavez 2017®	(3)	
P-01	71-vou	Pque. Medalla Milagrosa - Av. Los Patriotas Cdra 8. Intersección con la cll. Chongoyape	270 991	8 664 526
P-02	nov-17	Pque. Astete - Av. de los insurgentes con jr. Boca del Río y el psj. Lomitos	270 991	8 665 123
P-03	nov-17	Pque José Santos Chocano - Av.Paseo de los Andes y CII. capitán Carrillo, G Stiglich Álvarez y Bahía San Nicolas	271 262	8 665 202
P-04	nov-17	Pque. Héroes del Canepa - "1", "2" y pasaje A	268 826	8 673 006
P-05	nov-17	Pque. Miguel Grau - Manuel Elías Bonemaison-Nicolas Dueñas-Grumete Mejía	269 729	8 666 087
P-06	nov-17	Pque. del Libro - Duillo Poggi, Ponce, Quiñones y "9"	270 276	8 664 425
P-07	nov-17	Pque. Ayacucho - Hernando de magallanes, Solitario de Sayan, Américo Vespicio y José Aguilar	271 632	8 664 056
P-08	nov-17	Pque. El Águila - Pedro Donofrio, Alejandro Ferreyros	271 586	8 666 539
P-09	nov-17	Int Apto, Rivera Rímac - Terreno Interno del APTO. A 100 m del punto de despegue de la pista, frente al edificio Corpac	270 846	8 668 540
P-10	nov-17	Pque. José Abelardo Quiñones - Entre las calles Intisuyo, Collasuyo, Contisuyo y Chinchaysuyo	271 987	8 664 533
P-11	nov-17	Int Apto, Cabecera 15 - Terreno Interno del APTO. Frente a piletas de tratamiento de aguas residuales	269 178	86 672 038
P-12	nov-17	Int Apto, Isla de seguridad central (extreo E de pista) - Costado de Pista de aterrizaje. 250 m de centro de pista. Próximo a zona de estacionamiento	270 078	8 670 419
P-13	71-vou	Pque. Bertoloto - 1ra cuadra de boulevard Bertolotto, frente a casa de cultura San Miguel	273 697	8 662 396
P-14	71-vou	Pque. Carabobo - Chacabuco, Maypú, Bocayá y carabobo	271 632	8 664 056
P-15	71-vou	Pque. santa Cecilia - Zorrales, Calandrias, Gruyas y Reyezuelos	272 067	8 666 017
P-16	may-17	Pque. La Amistad - Guillermo More "26E", "6F" y "26"	271 100	8 666 062
P-17	nov-17	Interior Apto., rivera de Río Rímac extremo SO de la pista de aterrizaje - Terreno interno de Apto. 60 m de Río Rímac	269 966	8 668 257
P-18	nov-17	Interior Apto., cerca de carretera Nestor Gambeta - Terreno interno de Apto. Costado camino perimetral. A 90 m de pista Nestor Gambeta	268 514	8 669 755
P-19	nov-17	Pque. el Rocío - Av Caomandante Pérez Salmóncuadra 9 y calle 1	270 700	8 666 747
P-20	nov-17	Pque. (sin nombre) - Callae 3 (calle 17) cuadra 2-calle 9-calle 9b-calle 25	270 411	8 666 166
Fuentes:				

Puntos de medición para ruido ambiental - Continuo. Cuadro 5.2.3-15

Puntos de medición	Fecha de medición	Descripción	Coorde (UTM-M Zona	Coordenadas (UTM-WGS 84) Zona 18 L
			Este (m)	Norte (m)
Información Primaria	aria			
		Modificación del Estudio de Impacto Ambiental LAP – Julio 2017 ⁽¹⁾		
R-22	Jul 2017	AA.HH. Acapulco- situado a 700 m de la Av. Néstor Gambeta.	267 387	8 670 265
R-25	Jul 2017	AA.HH. Santa Rosa-situado a 10 m de la Av. Morales Duarez.	270 175	8 667 939
Información Secundaria	ındaria			
		Programa de Monitoreo Ambiental - Actualización del Estudio de Impacto Ambiental LAP- Junio 2014®	2014(2)	
RA-1	Jun 2014	Al lado Oeste del Aeropuerto, cerca de la puerta de ingreso del lado de la Av. Gambeta.	268 613	8 668 946
RA-3	Jun 2014	Al lado sur de la propiedad del Aeropuerto, AA.HH 200 millas.	271 230	8 668 279
RA-4	Jun 2014	Al lado Norte de la propiedad del Aeropuerto, Urb. Alameda del Aeropuerto.	269 450	8 672 296
		Programa de monitoreo del proyecto mejoramiento de la Av. Néstor gambeta, tramo IIIB- febrero 2017®	2017(3)	
ECR-01	Feb 2017	Entrada del Proyecto Túnel Callao, al frente de la entrada Sarita Colonia.	268 238	8 670 348
ECR-02	Feb 2017	Caseta de Vigilancia.	268 353	8 670 796
ECR-03	Feb 2017	A 200 m de la Av. Fertisa, frente a la central de acero.	268 462	8 671 552
ECR-04	Feb 2017	Final del Tramo del Proyecto, Túnel Callao.	268 530	8 672 248
3				

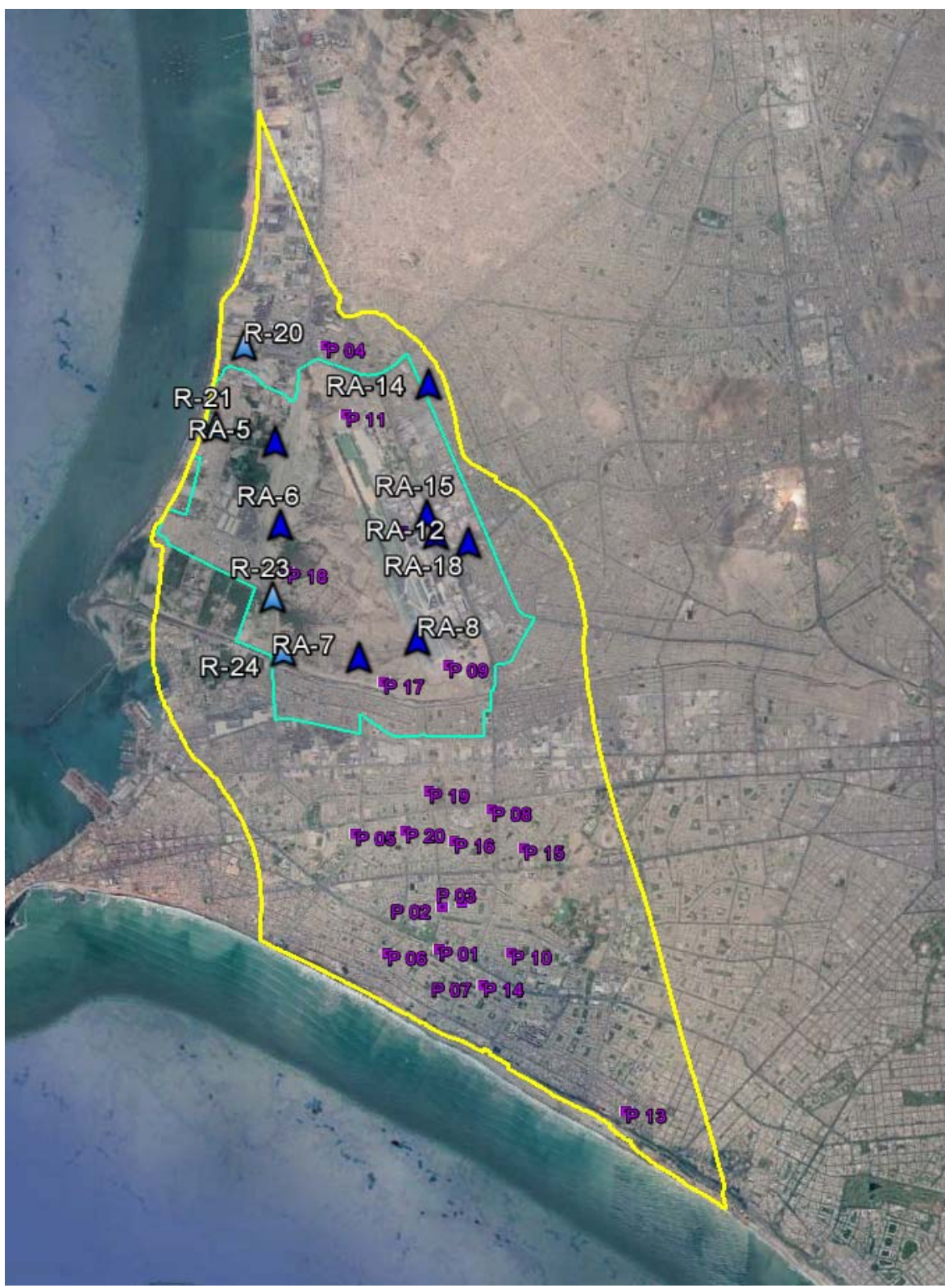
⁽¹⁾ Monitoreo del MEIA LAP - julio 2017.
(2) Actualización del Estudio de Impacto Ambiental del Aeropuerto Internacional Jorge Chávez. Elaborado por Walsh Perú S. A. Aprobado mediante R. D. N° 043-2016-MTC/16.
Elaborado por Walsh Perú S.A. 2018

Fuentes; ⁽¹⁾ Monitoreo del MEIA LAP - julio 2017
⁽²⁾ Actualización del Estudio de Impacto Ambiental del Aeropuerto Internacional Jorge Chávez. Elaborado por Walsh Perú S. A.
Aprobado mediante R. D. N° 043-2016-MTC/16.
⁽³⁾: Programa de Monitoreo Ambiental de la Evaluación Ambiental Preliminar del Proyecto "Mejoramiento de la Av. Néstor Gambeta- Callao Tramo III B", aprobado mediante R. D. N° 363-2015-MTC/16.
Elaborado por Walsh Perú S. A. 2018





Figura 5.2.3-8 Red de muestreo para mediciones puntuales



Elaborado por Walsh Perú S.A. 2018





Figura 5.2.3-9 Red de muestreo para mediciones continuas



Elaborado por Walsh Perú S.A. 2018





B. Sustento de ubicación de puntos de muestreo de ruido ambiental puntual

R-20: Junta vecinal Los Ferroles-situado entre la Calle Los Ferroles y Centenario

Punto de muestreo situado cerca de la intersección entre la Av. Los Ferroles con Av. Centenario – Callao. Ubicado a 1 582 m, medidos desde el extremo más cercano de la pista de aterrizaje existente hacia el centroide del polígono de la localidad. Este punto evalúa el frente norte de la zona del proyecto, hacia donde se ha extendido el All. Este punto es importante porque en la etapa de construcción se ubicará muy cerca un depósito el desmonte. Así mismo en esta dirección se ubicará la nueva pista de aterrizaje y estará expuesta a ruido. El punto es representativo de zona urbana, con presencia de actividades industriales, tráfico vehicular y actividades propias de la población.







R-21: AA.HH. Daniel Alcides Carrión- Parque frente al colegio I.E. 5136 Fernando Belaunde Terry

Punto situado en la parte noroeste de la zona del proyecto, a 1 631 m, medidos desde el extremo más cercano de la pista de aterrizaje existente hacia el centroide del polígono de la localidad. Este punto evalúa una zona urbana sensible, comprendida por viviendas y colegios. Hacia esta zona se proyecta el depósito de desmonte de la etapa de construcción. Y en la etapa de operación, quedará cercana a la nueva pista de aterrizaje. El punto es representativo de zona urbana, con presencia de actividades industriales, tráfico vehicular y actividades propias de la población.

R-23: Agrupación Max Newbauer- ubicado en la Av. Néstor Gambetta. A 450 m del puente Gambetta.







Punto situado en la parte suroeste de la zona del proyecto, a 1 159 m, medidos desde la el extremo más cercano de la pista de aterrizaje existente hacia el centroide del polígono de la localidad. Este punto evalúa zona urbana sensible, expuesta al ruido y vibraciones que se producen por la Av. Néstor Gambetta y así mismo esta localidad estará cercana a la planta de chancado proyectada en el área de aeropuerto en la etapa de construcción. Y en la etapa de operación quedará cercana a la nueva pista de aterrizaje. El punto es representativo de zona urbana, con presencia de actividades industriales, tráfico vehicular y actividades propias de la población.











R-24: AA. HH. Andrés Avelino Cáceres – situado en el cruce de la Av. Gambeta y la Av. Morales Duárez

Punto situado en la parte sur de la zona del proyecto a 2 085 m, medidos desde el extremo más cercano de la pista de aterrizaje existente hacia el centroide del polígono de la localidad. Este punto evalúa zona urbana sensible, expuesta al ruido y vibraciones que se producen por la carretera Morales Duárez y así mismo esta localidad estará cercana a la planta de chancado proyectada en el área de aeropuerto en la etapa de construcción. Y en la etapa de operación quedará cercana a la nueva pista de aterrizaje. El punto es representativo de zona urbana, con presencia de actividades industriales, tráfico vehicular y actividades propias de la población.







C. Sustento de ubicación de puntos de muestreo de ruido ambiental continuo

R-22: AA.HH. Acapulco- situado a 700 m de la Av. Néstor Gambetta

Punto situado en la parte oeste de la zona del proyecto a 2 195 m, medidos desde la el extremo más cercano de la pista de aterrizaje existente hacia el centroide del polígono de la localidad. Este punto evalúa zona urbana sensible, expuesta al ruido y vibraciones que se producen por la carretera Morales Duárez. Es importante medir de manera continua el nivel de ruido ambiental, ya que es un punto considerado netamente en zona residencial y servirá como punto de control para verificar el impacto de las operaciones futuras del aeropuerto en las localidades alrededor del punto R-22. El punto es representativo de zona residencial, con presencia de actividades industriales, tráfico vehicular y actividades propias de la población.







R-25: AA.HH. Santa Rosa-situado a 10 m de la Av. Morales Duárez

Punto situado en la parte oeste de la zona del proyecto a 818 m, medidos desde la el extremo más cercano de la pista de aterrizaje existente hacia el centroide del polígono de la localidad. Este punto





evalúa zona urbana sensible, expuesta al ruido y vibraciones que se producen por la carretera Morales Duárez. Es importante medir de manera continua el nivel de ruido ambiental, ya que es un punto considerado netamente en zona residencial y servirá como punto de control para verificar el impacto de las operaciones futuras del aeropuerto en las localidades cercanas del punto R-25. El punto es representativo de zona residencial, con presencia de actividades industriales, tráfico vehicular y actividades propias de la población.







D. Resultados de Ruido en el Programa de Monitoreo Ambiental del Aeropuerto Internacional Jorge Chávez

A continuación, se presenta los resultados obtenidos de monitoreo de Ruido ambiental en los años 2016 (I y II semestres), 2017 (I y II semestres) y 2018 (I semestre), ejecutados por LAP. Los puntos a presentar son: 1) Lectura puntual RA-07 y RA-18 y Lectura continua RA-03 y RA-04. Ver cuadro de descripción. Estos resultados se contrastarán con la línea base de la AEIA (2014-2015) con línea base de la MEIA (2017-2018) del Aeropuerto Iternacional Jorge Chávez.

Como se puede apreciar en los cuadros 5.2.3-16, los valores reportados en los años 2014, 2016, 2017 y 2018, de **monitoreo puntual** han sido variables, no hay una tendencia fija. Sin embargpo, se puede concluir que la estación RA-18 de medición Puntual (Estacionamiento del Aeropuerto, cercano al hotel Costa Sol) ha registrado constantemente valores que sobrepasan el ECA- Ruido Residencial, en la línea de base de la AEIA, en el programa de monitoreo ambiental y en la línera de base de la MEIA (actual), aunque este punto esta ubicado dentro del aeropuerto y consideramos que debe evaluarse la posibilidad de su comparación con ECA-comercial y/o Industrial. Ver la vista en planta de la ubicación del puntos RA-18.





Cuadro 5.2.3-16 Ruido Ambiental Puntual

			Coordenadas		PROGRAMA DE MONITOREO AMBIENTAL DE LAP						Línea de Base AEIA		Línea d ME				
		(UTM-WGS 84) Zona 18 L			Mediciones Puntuales L A eqT (dBA)												
Código de Puntos	Descripción			Diurno (07:01 a 22:00 horas)			Nocturno (22:01 a 7:00 horas)				Diurno	Nocturno	Diurno	Nocturno			
		Este (m)	Norte (m)	2016 (I)	2016 (II)	2017 (I)	2017 (II)	2018 (I)	2016 (l)	2016 (II)	2017 (I)	2017 (II)	2018 (I)	jun-14	jun-14		
RA-7	Lado Sur-Oeste al Interior del Aeropuerto, colindante con la Av. Néstor Gambetta. A 160 m del AA.HH. más cercano		8 668 245	58	61.1	49.3	44.7	44.9	59.5	48.7	47.7	44	43.3	64.2	48.4	59.2 (set 2016)	60,4 (set 2016)
RA-18	En el estacionamiento del Aeropuerto, cercano al hotel Costa Sol	270 555	8 670 058	71.6	63.9	63.6	63.1	66.2	69	61.5	61.9	62.6	64	62.7	59.3	75.8 (mar-2017)	74.3 (mar 2017)

Horario Diurno: 07:01 a 22:00 horas Horario Nocturno: 22:01 a 7:00 horas

ECA Zona Residencial: Diurno 60 dBA y Nocturno 50 dBA

ECA Zona Comercial: Diurno 70 dBA y Nocturno 60 dBA ECA Zona Industrial: Diurno 80 dBA y Nocturno 70 dBA

Cuadro 5.2.3-17 Ruido Ambiental Continuo

			Coordenadas (UTM-WGS 84) Zona 18 L		PROGRAMA DE MONITOREO AMBIENTAL DE LAP							Línea de Base AEIA		Línea d ME			
		•			Mediciones Continuas L A eqT (dBA)												
Código de Descripción				Diurno			Nocturno				Diurno	Nocturno	Diurno	Nocturno			
Puntos	·	Este (m)	Norte (m)	2016 (l)	2016 (II)	2017 (I)	2017 (II)	2018 (I)	2016 (I)	2016 (II)	2017 (I)	2017 (II)	2018 (I)	jun-14	jun-14	jun-14	jun-14
RA-3	Al lado Oeste del Aeropuerto, cerca de la puerta de ingreso del lado de la Av. Gambetta.	271 230	8 668279	56.5	62.8	58.7	58.4	57.9	53.2	54.8	61.6	61.6	51.9	64.9	64.0	64.9	64
RA-4	Al lado Norte de la propiedad del Aeropuerto, Urb. Alameda del Aeropuerto.	269 450	8 672 296	62.8	59.6	56.6	50.5	57	60	58.7	57.4	49.5	46.9	64.6	65.0	64.6	65

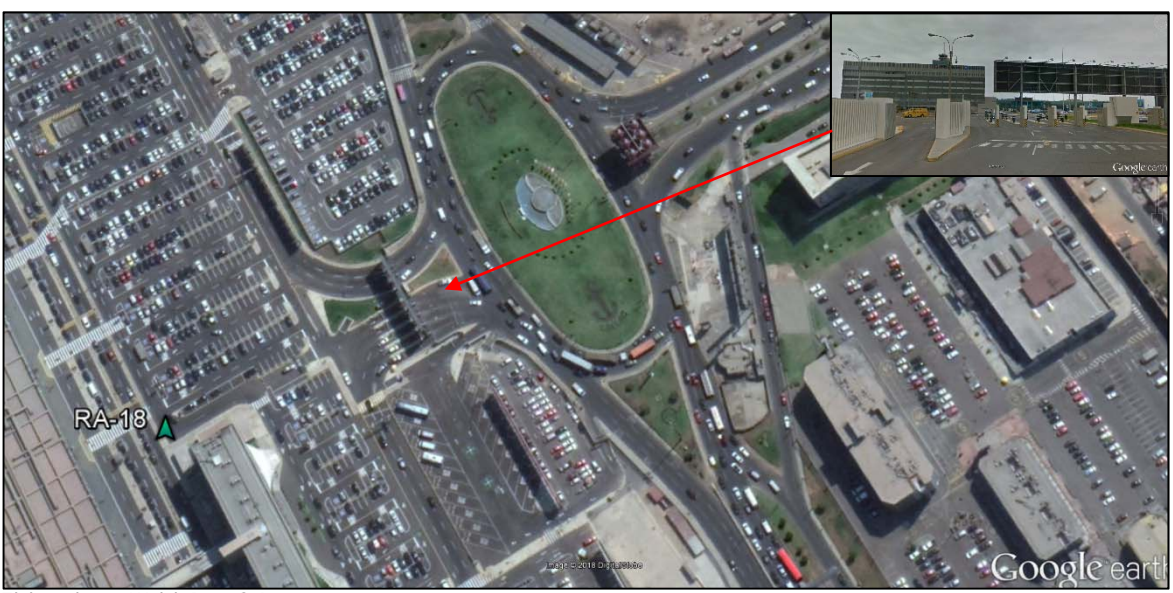
Horario Diurno: 07:01 a 22:00 horas Horario Nocturno: 22:01 a 7:00 horas

ECA Zona Residencial: Diurno 60 dBA y Nocturno 50 dBA ECA Zona Comercial: Diurno 70 dBA y Nocturno 60 dBA ECA Zona Industrial: Diurno 80 dBA y Nocturno 70 dBA Elaborado por Walsh Perú S.A. 2018





Figura 5.2.3-10 Ubicación del punto de monitoreo de Ruido ambiental RA-18



Con respecto a los registros obtenidos en el punto RA-7, se puede apreciar que en el monitoreo de los años 2017 y 2018, incluso parte del 2016, los valores han estado acorde al ECA-Residencial.

Figura 5.2.3-11 Ubicación del punto de monitoreo de Ruido ambiental RA-7



Elaborado por Walsh Perú S.A. 2018

En el caso de los resultados de **monitoreo continuo**, el punto RA-3 ubicado al lado Oeste del Aeropuerto, cerca de la puerta de ingreso del lado de la Av. Gambetta, reporta en el Monitoreo de LAP y en las líneas de base de la AEIA y de la MEIA valores muy variables, pero se puede concluir que los registros de horario diurno se presentan en su mayoría acordes al ECA –Residencial.





Figura 5.2.3-12 Ubicación del punto de monitoreo de Ruido ambiental RA-3



En el caso del Punto RA-4, ubicado al lado norte de la propiedad del Aeropuerto, Urb. Alameda del Aeropuerto reporta en el Monitoreo de LAP y en las líneas de base de la AEIA y de la MEIA valores muy variables, pero se puede concluir, que al igual que en el caso anterior, los registros de horario diurno se presentan en su mayoría acordes al ECA –Residencial y que incluso en los dos últimos semestres (2017-II y 2018-I) se ha reportado valores en horario nocturno que está acorde con el ECA-Residencial.

Figura 5.2.3-13 Ubicación del punto de monitoreo de Ruido ambiental RA-4



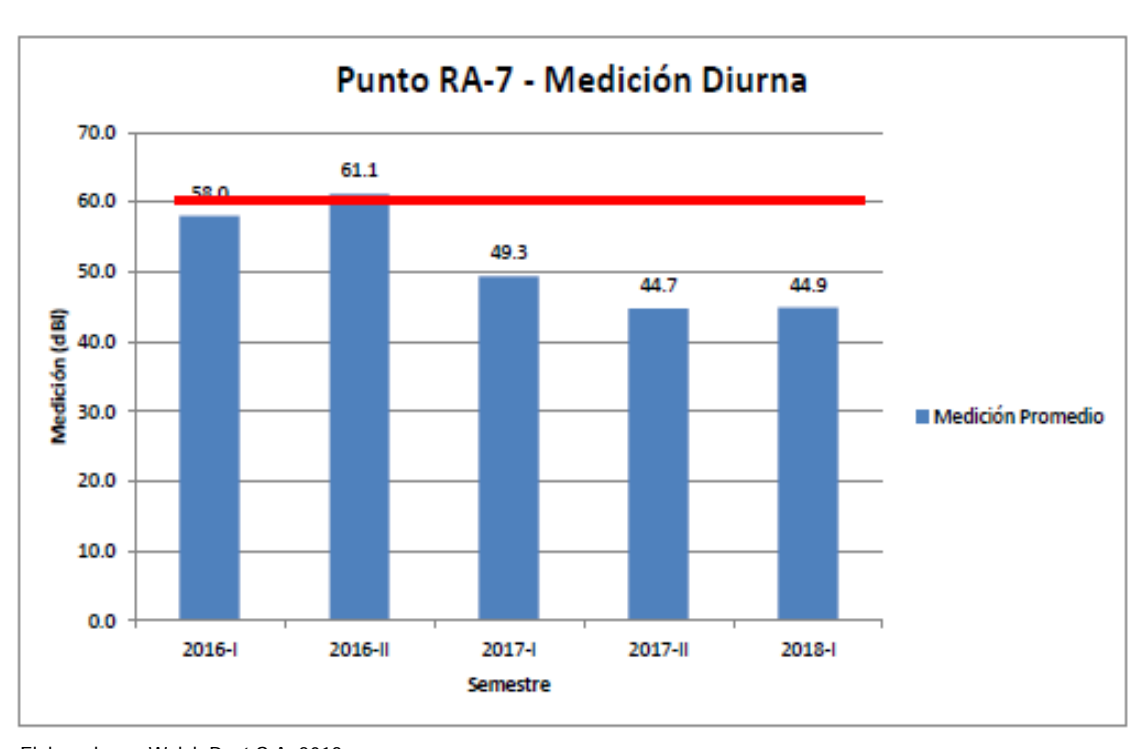






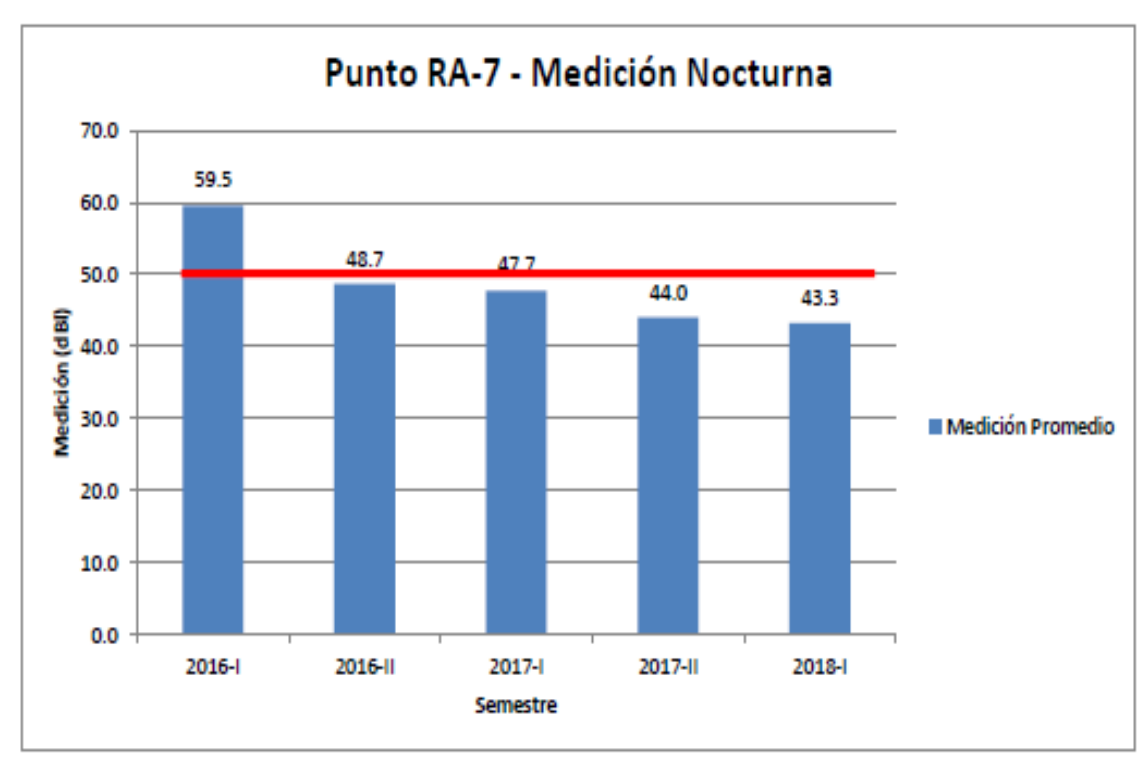
Figura 5.2.3-14 Histogramas de Medición Puntual

Punto RA-7

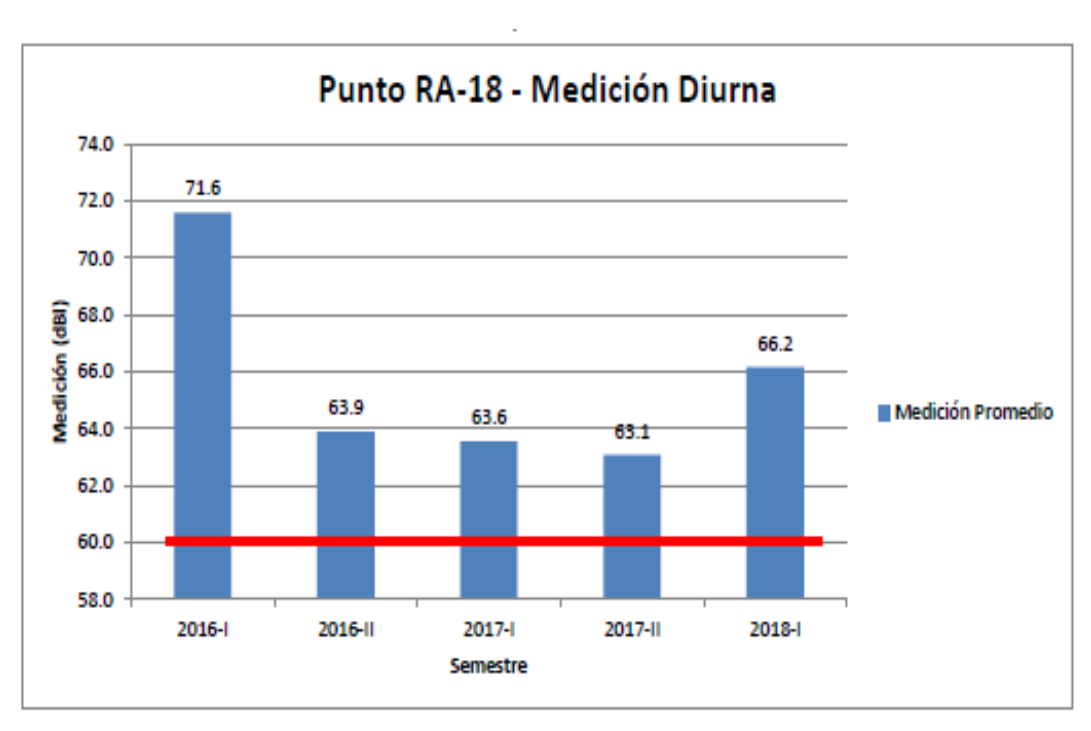








Punto RA-18







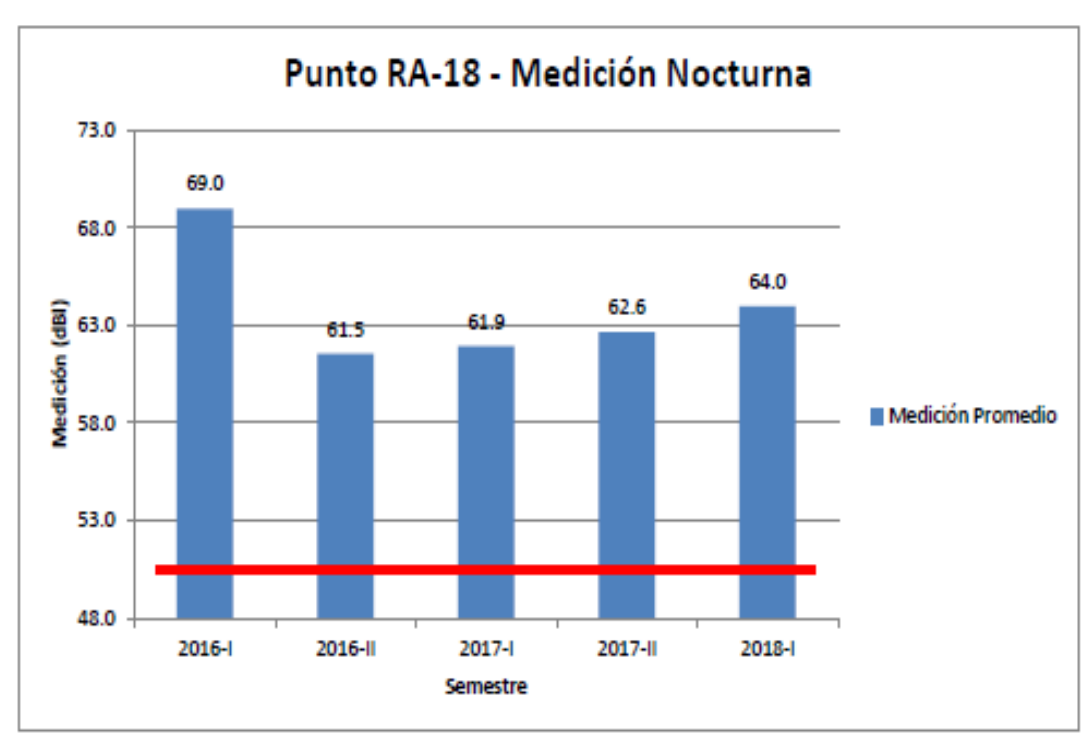
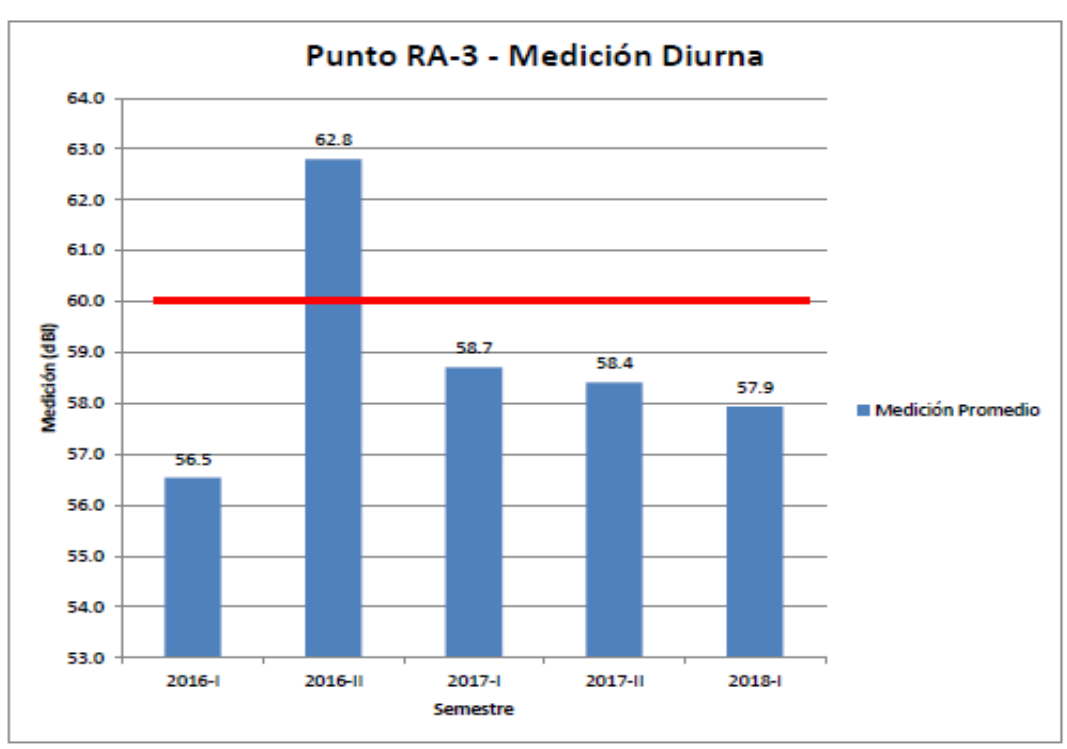


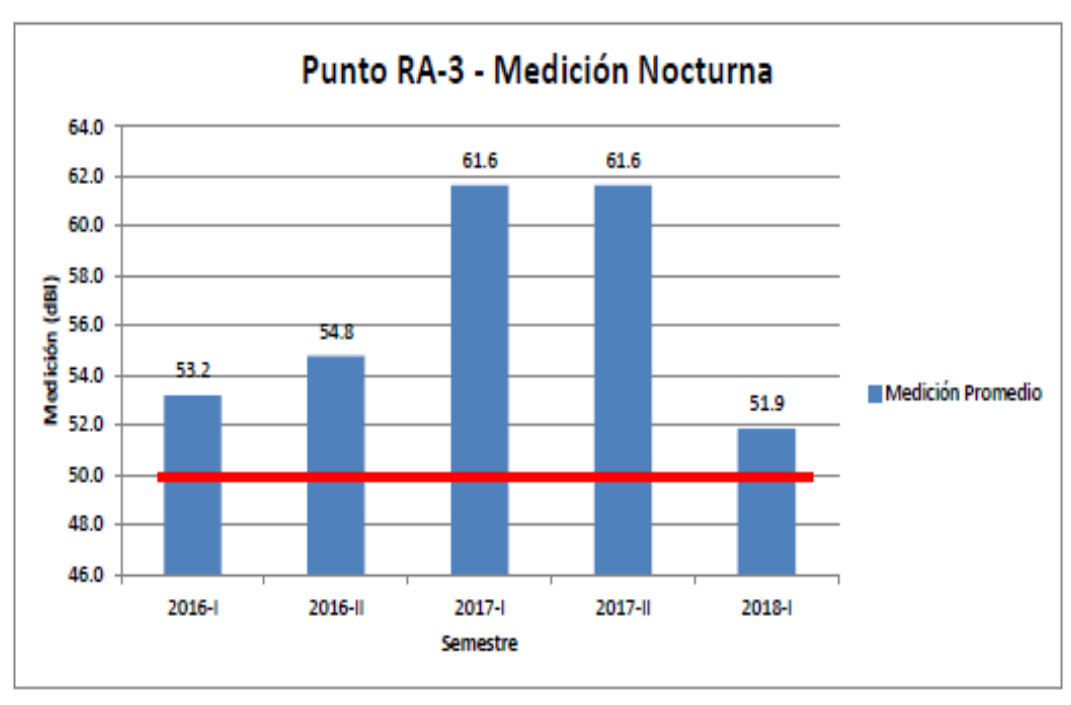
Figura 5.2.3-15 Histogramas de Medición Continua

Punto RA-03

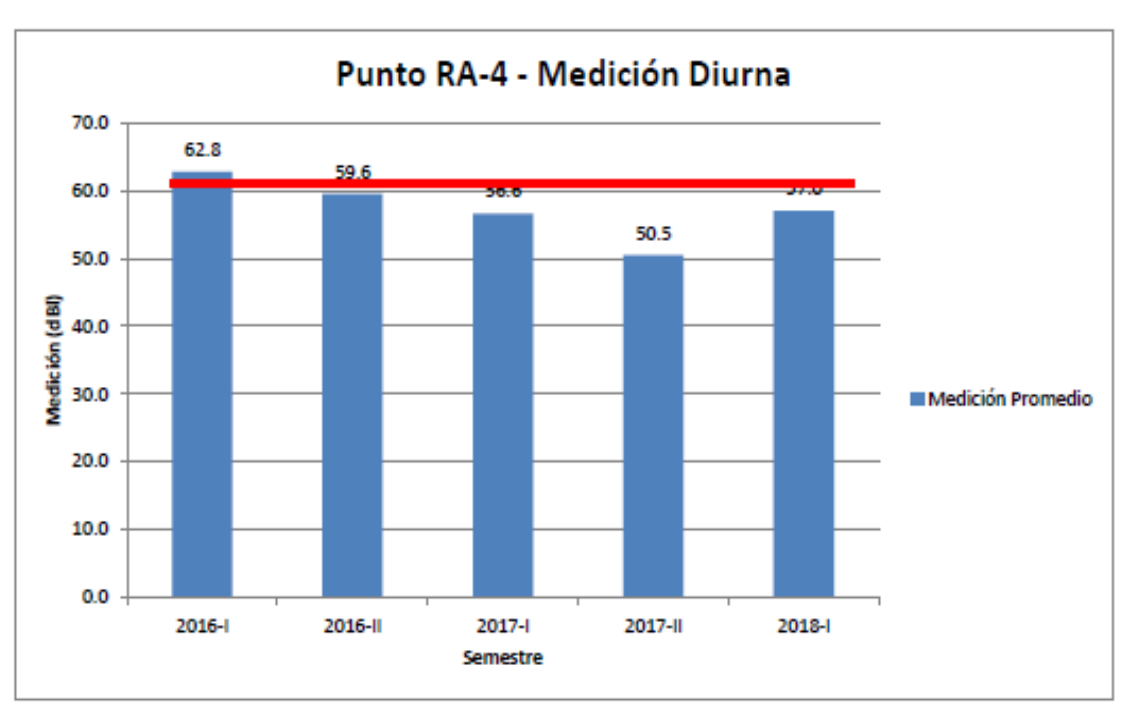






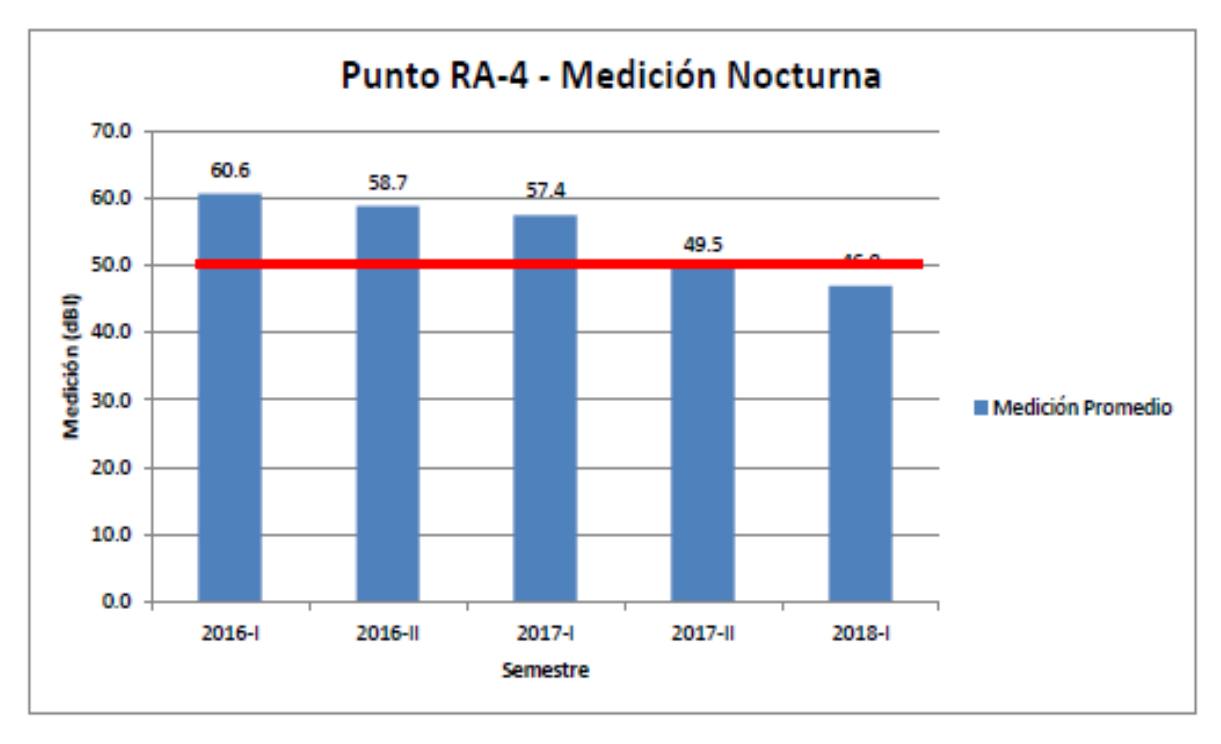


Punto RA-04













5.2.3.2.5. Evaluación de resultados

A. Mediciones Puntuales

El Cuadro 5.2.3-18, muestra los niveles de ruido ambiental correspondientes a las mediciones continuas realizadas por Walsh Perú S.A. en el mes de julio del 2017 (información primaria), y los puntos de medición situado en el área de influencia, que se encuentran en instrumentos de gestión aprobados (información secundaria).

Los reportes de los Informes de ensayo de laboratorio se adjuntan en el Anexo 5.2.3.2-3.

Cuadro 5.2.3-18 Ruido ambiental – Mediciones puntuales.

				Mediciones	s puntuales		
Dumtoo da	e medición	Diurno	(07:01 a 22:0			no (22:01 a 7:	00 horas)
Pullos de	emedicion	L Max	L Min	L A eqT	L Max	L Min	L A eqT
		(dBA)	(dBA)	(dBA)	(dBA)	(dBA)	(dBA)
Información P	rimaria						
	Medic	iones efectua		h para la MEIA l	LAP ⁽¹⁾ – Julio		
R-20	Jul-17	89.50	53.50	60.20	79.60	57.00	62.40
R-21	Jul-17	86.50	49.30	61.60	96.30	46.00	66.20
R-23	Jul-17	94.30	49.30	73.80	106.30	51.80	77.20
R-24	Jul-17	110.70	61.00	79.70	93.60	53.40	73.70
Información S							
Progi	<u>rama de Monito</u>	reo Ambienta	l de la Actuali	zación del Estu	idio de Impac	to Ambiental	LAP ⁽²⁾
RA-5	Jun-14	68.50	47.40	62.80	72.40	61.80	68.40
RA-6	Jun-14	53.50	52.30	52.60	57.00	54.40	56.00
RA-7	Set 16	80.30	54.40	59.20	63.20	57.70	60.40
RA-8	Jun-14	62.30	59.90	61.40	48.30	46.00	47.20
RA-12	Jun-14	71.50	48.00	61.10	79.50	55.80	60.30
RA-14	Jun-14	68.80	55.40	62.50	69.60	44.60	54.90
RA-15	Jun-14	66.10	65.60	65.80	64.20	64.00	64.10
RA-18	Mar-17	88.90	66.90	75.80	90.20	63.90	74.30
Estudio de R	uido emitido po	or Aeronaves ₋		ón de Modelami ez 2017	iento del Aero	puerto Intern	acional Jorge
P-01	Nov-17	61	55.3	59.3	57.1	47.9	55.2
P-02	Nov-17	64.7	58.1	61.8	62	44.2	58.5
P-03	Nov-17	64.6	56.7	62.4	59.1	47.1	57.3
P-04	Nov-17	67.9	60.8	63.9	66.6	59.1	63.8
P-05	Nov-17	67.8	59.5	62.3	62.1	43.4	57.2
P-06	Nov-17	65	57.9	62.1	62.1	41.8	56.7
P-07	Nov-17	63.2	55.3	58.1	63.2	47.3	57.1
P-08	Nov-17	71	63.8	67	65.6	45.8	60.9
P-09	Nov-17	76.2	68.7	72.6	74.4	63.4	70.9
P-10	Nov-17	65.8	57.2	61	58.9	44.8	55.9
P-11	Nov-17	76.9	68.8	74.3	74.1	66.4	71.8
P-12	Nov-17	83.4	76.6	80.7	84.2	72.8	79.1
P-13	Nov-17	65.7	60.5	62.7	60.2	46.7	57.5
P-14	Nov-17	66.1	54.8	60	55.2	42	52.9
P-15	Nov-17	68.4	60	65.8	62.8	55.2	60.6
P-16	May-17	66.4	60.6	63.4	62.9	38.4	58.6
P-17	Nov-17	63.1	59	61.6	63.2	46	58.7
P-18	Nov-17	58.8	55	57.3	57.2	52.8	54.8
P-19	Nov-17	70	61	64.5	62.1	44.4	59.7





	Puntos de medición P-20 Nov-17			Mediciones	s puntuales			
Duntos do			(07:01 a 22:0	00 horas)	Nocturno (22:01 a 7:00 horas)			
Fullios de			L Min (dBA)	L A eqT (dBA)	L Max (dBA)	L Min (dBA)	L A eqT (dBA)	
P-20			57.7	62.8	60.7	42.6	58.1	
ECA – Zona	ECA – Zona Residencial		·				50	
ECA - Zona Comercial		Diurno		70	Nocturno		60	
ECA - Zona Industrial				80			70	

Fuentes:

Elaborado por Walsh Perú S.A. 2018

En la Figura 5.2.3-16 se representa resultados de mediciones puntuales diurnas obtenidas en los puntos ubicados en zona comercial y zona residencial¹. En la Figura 5.2.3-17 se presenta resultados de mediciones puntuales nocturnas obtenidas en los puntos ubicados en zona comercial y zona residencial.

En referencia a la Zona Residencial, horario diurno, medición puntual, los puntos que cumplen el ECA (60 dB) son RA-6 y el RA-27, probablemente porque se encuentran lejos de los factores antes mencionados. En el horario nocturno, medición puntual todos los puntos sobrepasan el nivel indicado por el ECA (50 dBA), a excepción del punto RA-8 ubicado al Interior del Aeropuerto, colindante con el lado Sur-Oeste de la Plataforma. La mayoría de puntos evaluados están situados en zonas pobladas, (calles, avenidas transitadas, y parques) y cerca al Aeropuerto (tráfico Aéreo), aumentando los niveles de ruido ambiental. Ver Figura 5.2.3-16 y Figura 5.2. 3-17.

En referencia a la Zona Comercial, en horario diurno los puntos R-23, R-24, y RA-18 superan el ECA (70 dBA), los dos primeros están a la altura del Túnel Gambeta y el RA-18 se encuentra en zona del estacionamiento del Aeropuerto, cercano al hotel Costa Sol. En el horario nocturno, en el momento de la medición los puntos RA-6, RA-14 y el RA-8 no superaron el ECA (60 dBA), el primero ubicado en la zona agrícola, interior del aeropuerto, colindante con la av. Néstor Gambeta, el segundo ubicado al Nor este del aeropuerto, y el tercero Al Interior del Aeropuerto, colindante con el lado Sur-Oeste de la Plataforma, todos los demás puntos sobrepasaron el ECA nocturno para zona comercial.

En referencia a la Zona Industrial (no graficada), en horario diurno los doce (12) puntos de medición cumplen con el ECA (80 dBA). En el horario nocturno; los puntos R-23, R-24, y RA-18 superan el ECA (70 dBA) los dos primeros están a la altura del Túnel Gambeta y el RA-18 se encuentra en zona del estacionamiento del Aeropuerto, cercano al hotel Costa Sol.

El registro de ruido más elevado en el horario diurno se dio en el punto R-24 (situado en el cruce de la Av. Néstor Gambeta y Morales Duárez), este efecto es principalmente debido al tránsito vehicular, muy fluido en esa zona. Y el registro más elevado en el horario nocturno fue en el R-23, igualmente situado en el cruce de la Av. Néstor Gambeta y Morales Duárez.

^{(1):} Informe de ensavo N° MIT-17/00392 AGQ Perú S.A.C.

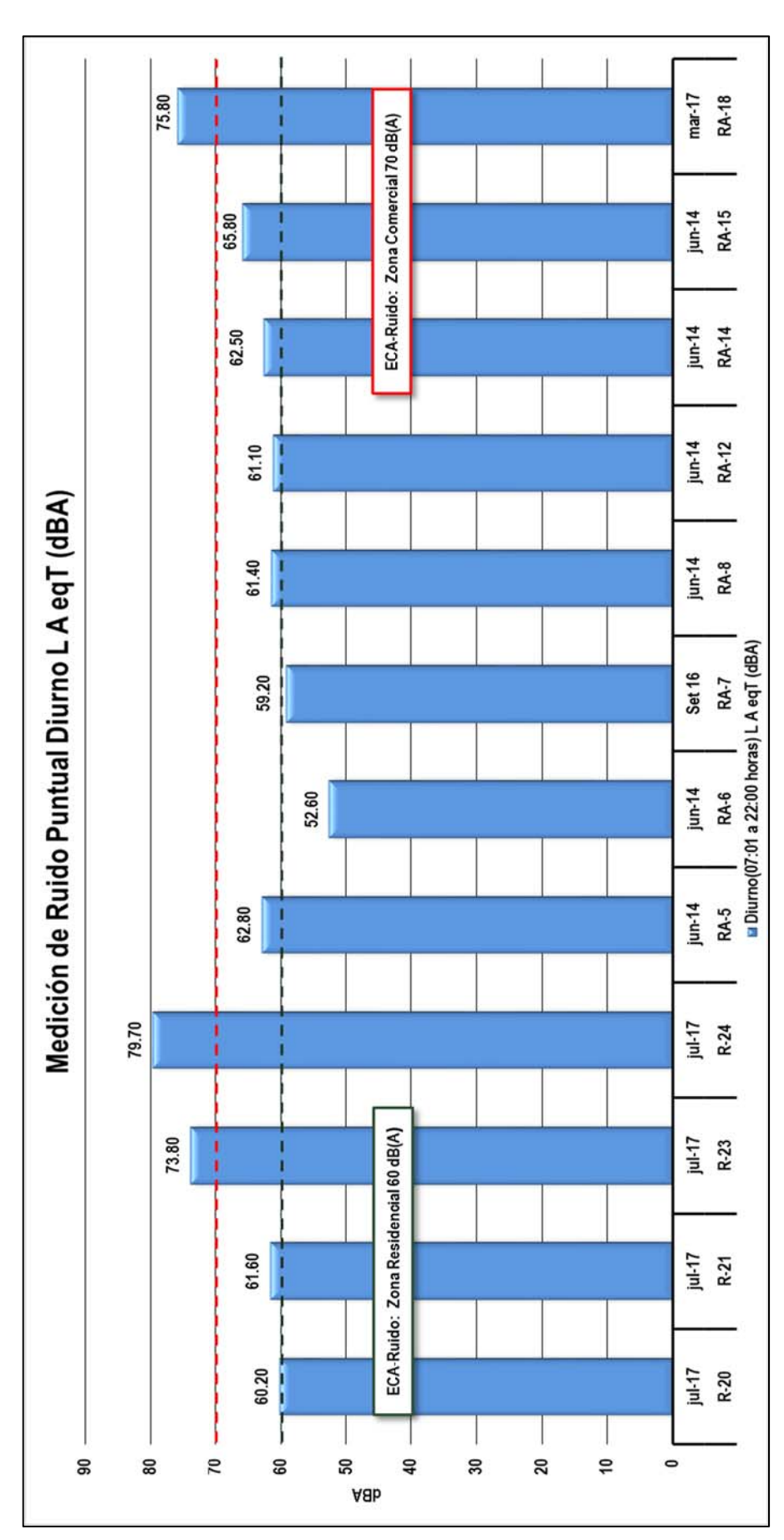
 $^{^{(2)}}$: Informe de ensayo N° 17968/2014 - ALS CORPLAB; Informe de ensayo N° OP1700506-B - SGS; e Informe de ensayo N° OP1600810 - SGS

Ubicación de puntos en base al Mapa de Zonificación Urbana (N°21) -2011- Actualización de la Microzonificación Ecológica Económica de la Provincia Constitucional del Callao-Oficina de Acondicionamiento Territorial



■Walsh

Figura 5.2.3-16 Niveles de ruido diumo – Mediciones puntuales

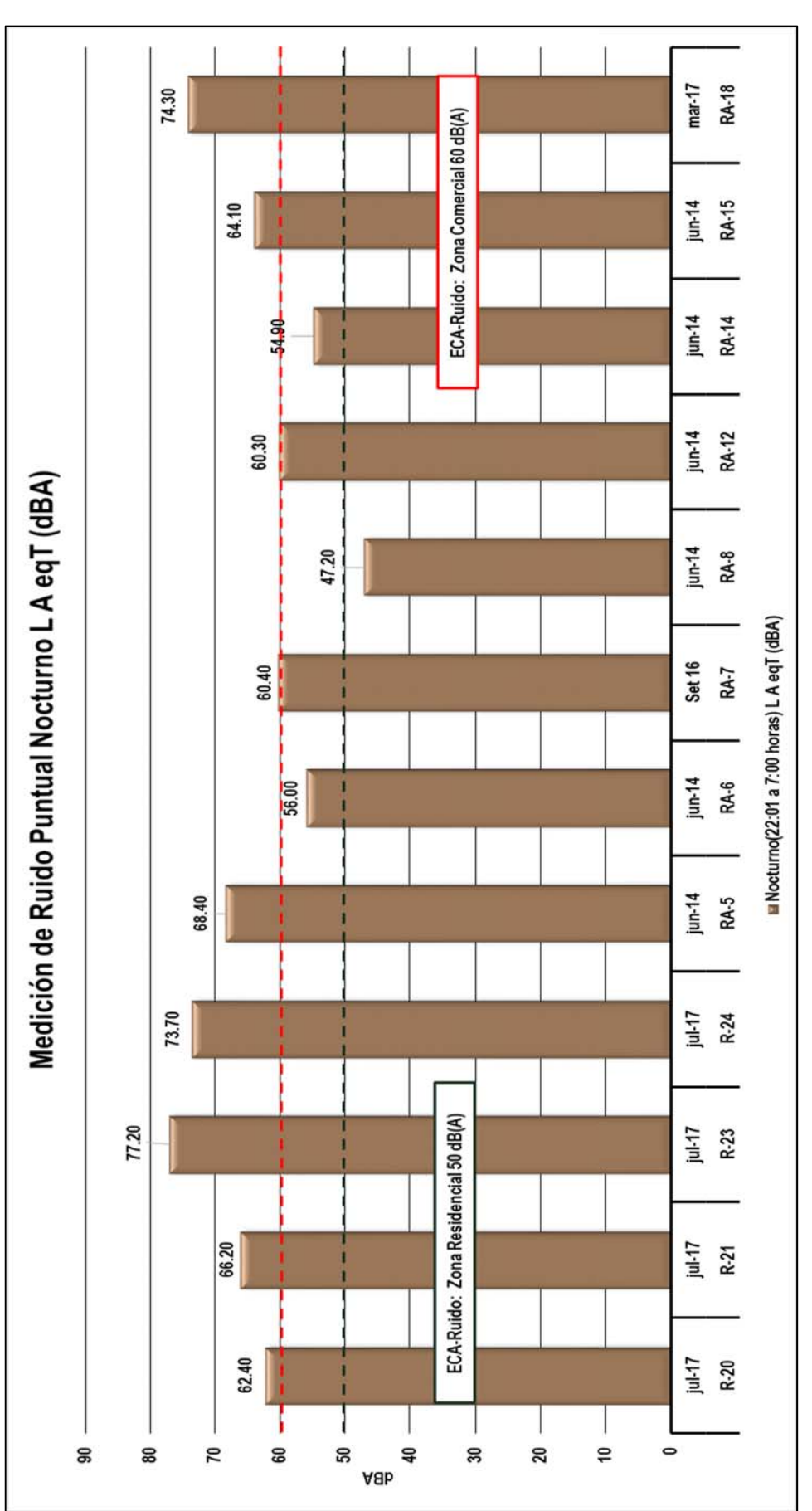


Elaborado por Walsh Perú S.A. 2018



Figura 5.2.3-17 Niveles de ruido nocturno – Mediciones puntuales

■Walsh



Elaborado por Walsh Perú S.A. 2018.





En referencia a los resultados del monitoreo realizado por la empresa INERCO ACÚSTICA para el Estudio de Ruido emitido por Aeronaves y Actualización del Modelamiento Aeropuerto Internacional Jorge Chávez, Lima Perú - 2017. Sobre los valores presentados en el Cuadro 5.2.3-16, sobre los puntos del P-01 hasta el P-20 (distribuidos en los distritos San Miguel, la Perla, Callo, Bellavista y Lima) registrando valores que en su mayoría sobrepasan el ECA residencial. Las características de las estaciones están descritas en el Cuadro 5.2.3-14. Los distritos en mención corresponden a zona mixta, ya que gran parte es zona urbana, zona de actividades comercias y actividades industriales. Este estudio se realizó con el objetivo de es la Actualización del Estudio de Ruido producido por las operaciones aeroportuarias que se realizan desde y hacia el Aeropuerto Internacional Jorge Chávez de la Ciudad de Lima mediante el desarrollo de modelos teóricos de predicción sonora que permitan evaluar el cumplimiento de los límites de ruido ambiental establecidos por el Decreto Supremo 085-2003 - PCM - Reglamento de Estándares Nacionales de Calidad Ambiental para Ruido. Los resultados del estudio, concluyen:

La campaña de ensayos acústicos realizada ha puesto de manifiesto la superación de los estándares de calidad ambiental para ruido establecido en el Decreto Supremo 085-2003 en la mayor parte de todos los puntos de medida realizados (promedio de 4 dBA de superación durante el día y 8 dBA durante la noche). Sin embargo, no es posible atribuir la superación de los niveles límite al ruido de aeronaves exclusivamente, puesto que los trabajos de campo muestran una clara de influencia del ruido de tráfico rodado y otras fuentes urbanas (ruido industrial o doméstico). A través del modelo de predicción, la contribución del ruido de aviones ha podido ser estimada, demostrándose que fundamentalmente la actividad del aeropuerto contribuiría a la superación de los niveles sonoros en el periodo nocturno (6 dBA de superación promedio) en los puntos de medida seleccionados. Los Mapas de Divergencias proporcionados con el presente estudio, permiten evaluar la superación de los estándares de calidad ambiental para toda el área de afección, considerando exclusivamente el ruido del tráfico aéreo.

Los resultados de la campaña de ensayos realizados han permitido avanzar en la identificación de eventos sonoros asociados al sobrevuelo de aviones (gracias al registro in situ de los eventos sonoros por parte de los técnicos) y a la cuantificación de la aportación sonora del ruido aéreo especialmente en aquellos puntos de monitoreo más cercanos en el aeropuerto.

De esta forma, se ha puesto de manifiesto que el muestreo espacial realizado es suficientemente extenso y abarca áreas donde el reconocimiento del paso de aviones es difícilmente reconocible bien por su escasa influencia sonora, bien por los elevados niveles de ruido de fondo. Una vez llevado a cabo un análisis de detalle de reconocimiento de paso de aviones en este estudio, se recomienda en un futuro reducir el muestreo espacial, concentrando los esfuerzos en aquellos puntos de monitoreo que se han identificado como más representativos (puntos 2, 4 8 y 9).





B. Mediciones Continuas

Las mediciones continuas, son los que registran con mayor detalle las distintas fuentes de presión sonora, y dependiendo del entorno, se puede explicar el origen del ruido.

El Cuadro 5.2.3-19, muestra los niveles de ruido ambiental correspondientes a las mediciones continuas realizadas por Walsh Perú S.A. en el mes de julio del 2017 (información primaria), y los puntos de medición situado en el área de influencia, que se encuentran en los distintos instrumentos de gestión aprobados (información secundaria).

En la Figura 5.2.3-18 se representan resultados de mediciones continuas diurnas obtenidas en los puntos ubicados en zona comercial y zona residencial. En la Figura 5.2.3-19 se presenta resultados de mediciones continuas nocturnas obtenidas en los puntos ubicados en zona comercial y zona residencial. Así mismo haremos mención de la comparación con zona industrial. Los reportes de los laboratorios se adjuntan en el Anexo 5.2.3.2-3.

Cuadro 5.2.3-19 Ruido ambiental – Mediciones continuas

				Mediciones	continuas		
Puntos de	modición	Diurno	o(07:01 a 22:00		1	no(22:01 a 7:0	0 horas)
Funtos de	IIICUICIOII		<u> </u>				•
		L Max (dBA)	L Win (aBA)	L A eqT (dBA)	L Max (dBA)	L Min (aba)	LA eqT (dBA)
Información	Primaria						
	I	Mediciones efec	tuadas por Wa	Ish para la MEIA	LAP ⁽¹⁾ – Julio	2017	
R-22	jul-17	85.7	35.3	53.90	66.8	30.2	46.8
R-25	jul-17	88.6	27.8	67.00	88.0	35.3	63.7
Información	Secundaria						
	Programa de	Monitoreo Amb	iental - Actuali	ización del Estud	dio de Impacto	Ambiental LA	P (2)
RA-1	jun-14			53.80			49.50
RA-3	jun-14			64.90			64.00
RA-4	jun-14			64.60			65.00
Programa	de Monitore			Ambiental Prelim		cto "Mejoramie	ento de la Av.
		Néstor Ga	mbeta- Callao	Tramo III B"(3)- I	ebrero 2017		T
ECR-01	feb-17	82.2	55.30	76.00	80.5	38.2	66.3
ECR-02	feb-17	72.5	53.2	71.60	70.7	24.2	63.5
ECR-03	feb-17	87.5	45.7	70.20	70.3	28.7	55.2
ECR-04	feb-17	76.9	54.3	72.30	69.6	33.9	65.3
ECA – Zona	ECA – Zona Residencial 60				50		
ECA - Zona	Comercial	Diur	rno	70	Nocturno		60
ECA - Zona	a Industrial			80			70

^{(1):} Informe de ensayo N° OP1700506-B – SGS

La mayoría de puntos evaluados están situados en zonas pobladas, (calles, avenidas transitadas, y parques) y cerca al Aeropuerto (tráfico Aéreo), aumentando los niveles de ruido ambiental. Los

^{(2):} Programa de Monitoreo Ambiental de la Actualización del Estudio de Impacto Ambiental del Aeropuerto Internacional Jorge Chávez. Elaborado por Walsh Perú S. A. Aprobado mediante R. D. N° 043-2016-MTC/16.

^{(3):} Programa de Monitoreo Ambiental de la Evaluación Ambiental Preliminar del Proyecto "Mejoramiento de la Av. Néstor Gambeta-Callao Tramo III B", aprobado mediante R. D. N° 363-2015-MTC/16. Elaborado por Walsh Perú S.A. 2018.





resultados obtenidos se han comparado con el Estándares de calidad establecidos para Zona Residencial, Zona Comercial y Zona Industrial.

En referencia a la Zona Residencial, en horario diurno todos los puntos evaluados superan el ECA (60 dBA), a excepción de los puntos R-22 y RA-1, ubicados en AA.HH. Acapulco y al lado Oeste del Aeropuerto actual, cerca de la futura puerta de ingreso del lado de la Av. Gambeta, respectivamente. En el horario nocturno todos los puntos evaluados superan el ECA (50 dBA) a excepción de los puntos R-22 y RA-1 antes mencionados.

En referencia a la Zona Comercial en horario diurno, los puntos ECR-01, ECR-02, ECR-03 y ECR-04 superan el ECA (70 dBA), los cuatro puntos están ubicados a lo largo del Av. Néstor Gambeta. En el horario nocturno, todos los puntos evaluados superan el ECA (60 dBA), a excepción de R-22 y RA-1, ubicados en AA.HH. Acapulco y Al lado Oeste del Aeropuerto actual y el punto ECR-03, ubicado en A 200 m de la Av. Fertisa, frente a la central de acero.

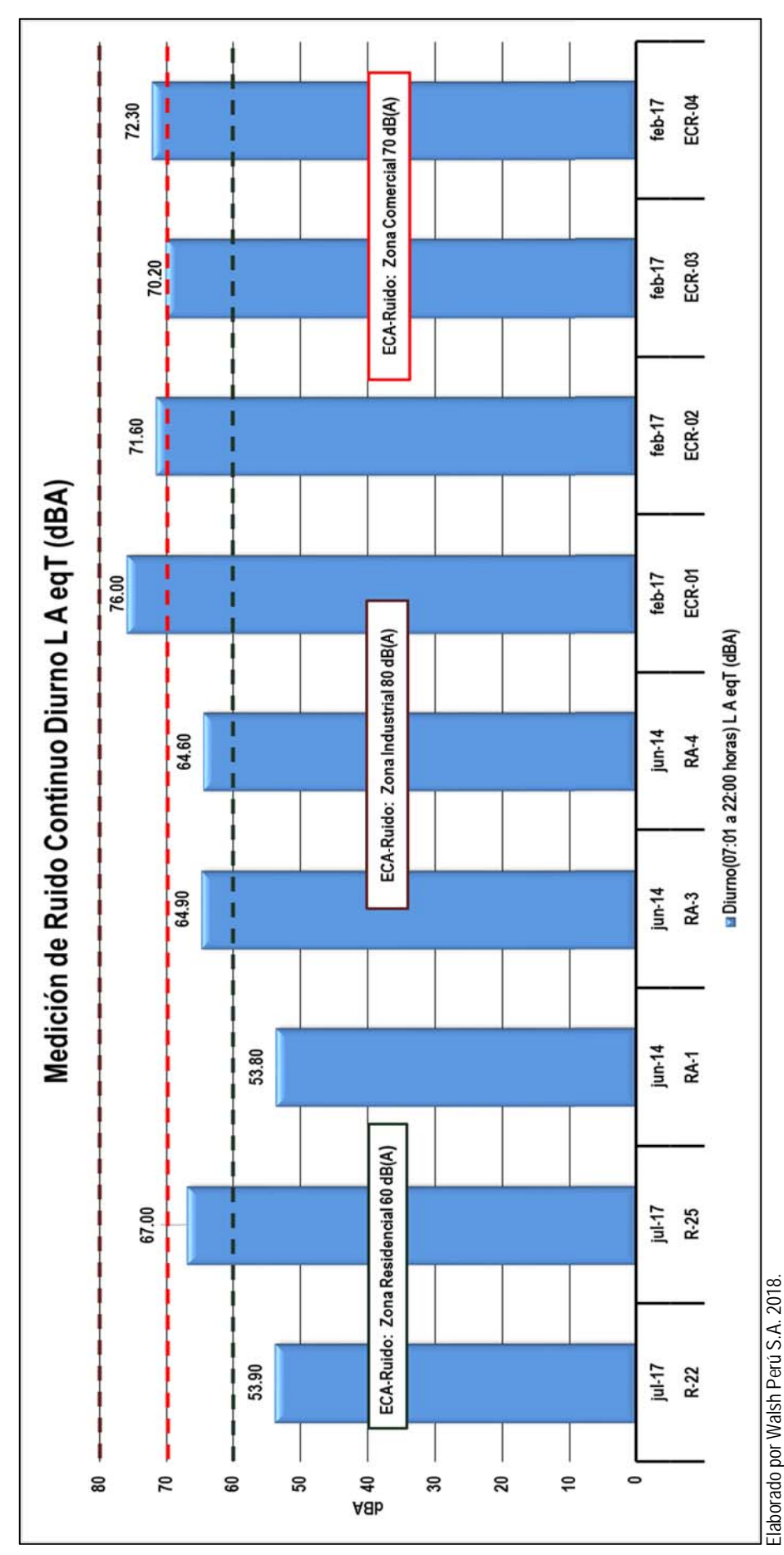
En referencia a la Zona Industrial en horario diurno, los puntos ECR-01, ECR-02, ECR-03 y ECR-04 superan el ECA (70 dBA), los cuatro puntos están ubicados a lo largo del Av. Néstor Gambeta. En el horario nocturno, todos los puntos evaluados superan el ECA (60 dBA), a excepción de R-22 y RA-1, ubicados en AA.HH. Acapulco y Al lado Oeste del Aeropuerto actual y el punto ECR-03, ubicado en A 200 m de la Av. Fertisa, frente a la central de acero.

El registro de ruido más elevado en el horario diurno y nocturno se dio en el punto ECR-01 (Entrada del Proyecto Túnel Callao, al frente de la entrada Sarita Colonia), este efecto es principalmente debido al tránsito vehicular, muy fluido en esa zona.



■Walsh

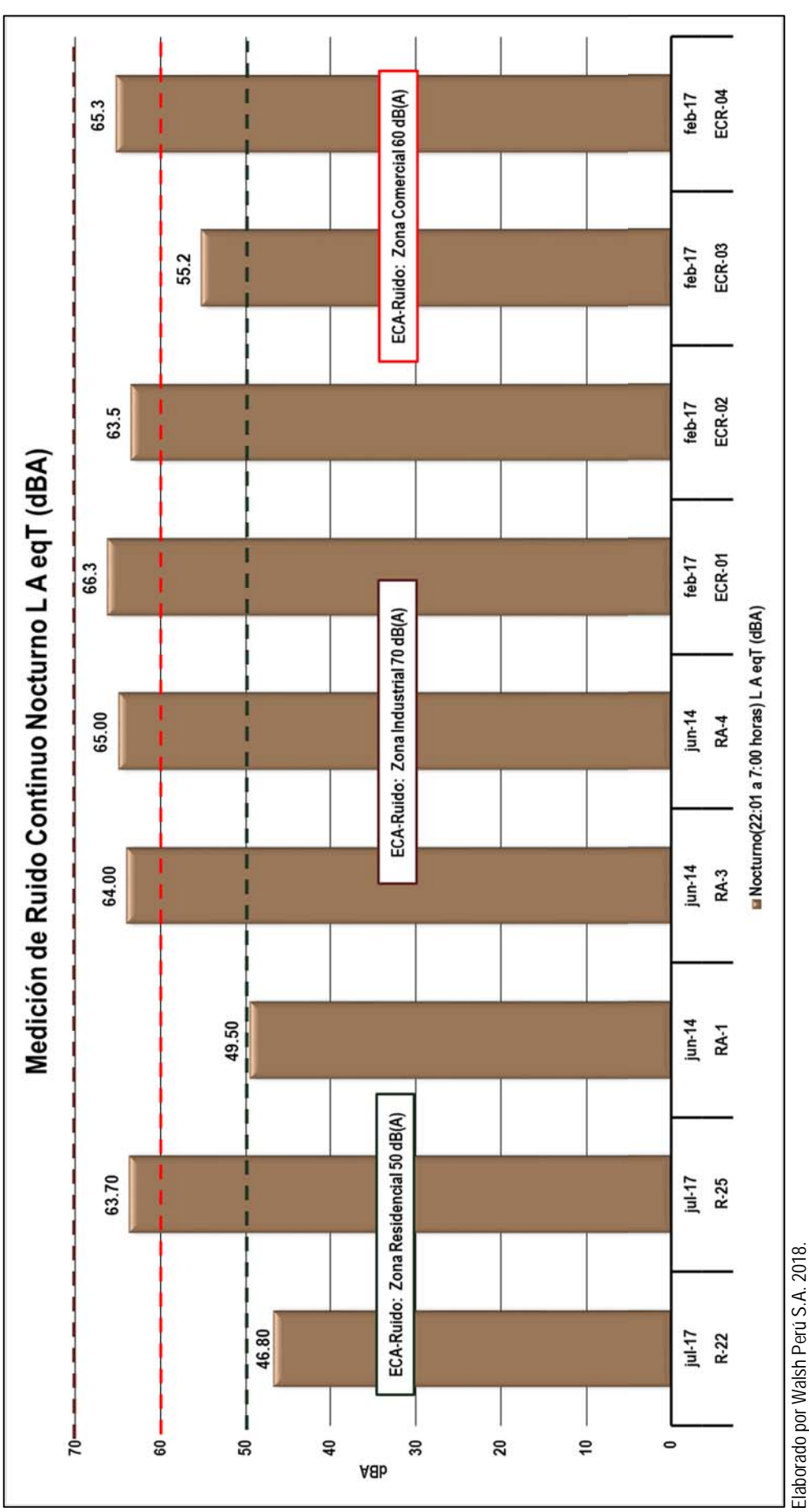
Niveles de ruido diurno - Mediciones continuas Figura 5.2.3-18





Niveles de ruido nocturno - Mediciones continuas Figura 5.2.3-19

■Walsh







B.1. Registro Horario-Mediciones Continuas (R-22 y R-25)

El nivel de presión sonora en el punto de medición (R-22), registro el valor más alto a las 09:01 a.m. (57,7 dBA), manteniéndose relativamente constante, salvo en horas de la madrugada (alrededor de 3.01 a.m. hasta las 6:01 a.m.) que reporto los valores más bajos, ver Figura 5.2.3-20. El comportamiento de estos valores probablemente, sea deba a que en horas de la madrugada, el tráfico vehicular no está en su punto máximo, la mayor densidad de vehículos (ocurre alrededor de las 7:00 a.m.) y llega a su punto máximo a las 09:01 a.m., esto explica las distintas variaciones del nivel de presión sonora.

En el punto de medición (R-25), registró el valor más alto a las 21:01 p.m. (77,6 dBA), manteniéndose relativamente constante, salvo en horas de la madrugada (alrededor de las 6:01 a.m.) que reporto el valor más bajo (43,7 dBA), ver Figura 5.2.3-21. Este punto de medición se encuentra en la Av. Morales Duarez, aquí el comportamiento es diferente, el pico más alto (medición registrada a las 21:01 p.m.) probablemente se deba a que en este lugar se produjo un mayor tráfico aéreo y vehículos terrestres, no se presenta actividades que se pueda atribuir un origen diferente a los mencionados.

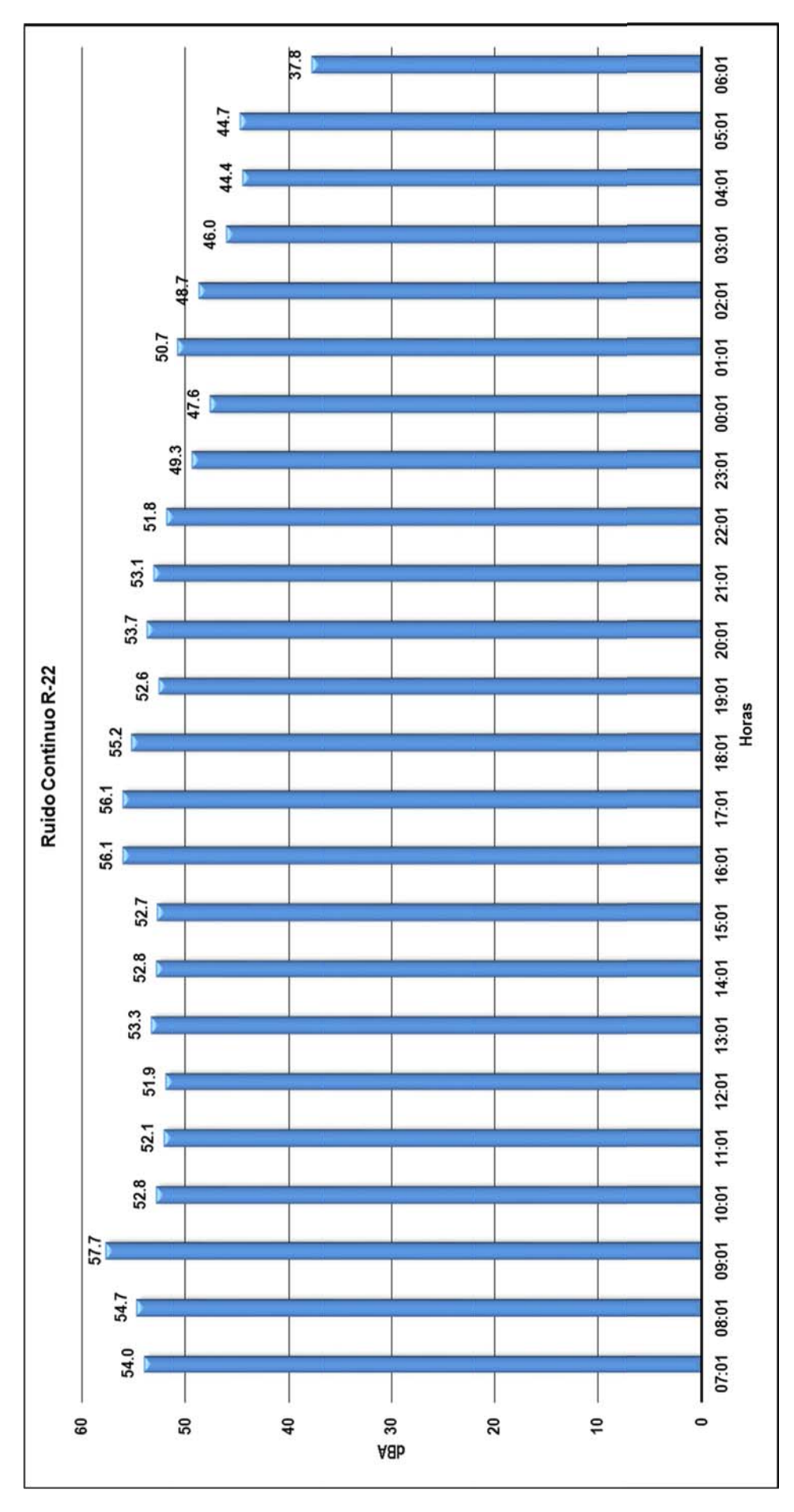
El registro de mediciones continuas (R-22 y R-25), indican que los registros más bajos de ruido ocurren en horas de la mañana (alrededor de las 6:00 a.m.).

El nivel de presión sonora en el punto de medición (R-22), registró el valor más alto a las 09:01 a.m. (57,7 dBA), manteniéndose relativamente constante, salvo en horas de la madrugada (alrededor de 3:01 a.m. hasta las 6:01 a.m.) que reporto los valores más bajos. (Ver Figura 5.2.3-20). El comportamiento de estos valores probablemente, sea deban a que en horas de la madrugada, el tráfico vehicular no está en su punto máximo, la mayor densidad de vehículos (ocurre alrededor de las 7:00 a.m.) y llega a su punto máximo a las 09:01 a.m., esto explica las distintas variaciones del nivel de presión sonora.

En el punto de medición (R-25), registro el valor más alto a las 21:01 p.m. (77,6 dBA), manteniéndose relativamente constante, salvo en horas de la madrugada (alrededor de las 6:01 a.m.) que reporto el valor más bajo (43,7 dBA), ver Figura 5.2.3-21. Este punto de medición se encuentra en la Av. Morales Duarez, aquí el comportamiento es diferente, el pico más alto (medición registrada a las 21:01 p.m.) probablemente se deba a que en este lugar se produjo un mayor tráfico aéreo y vehículos terrestres, no se presenta actividades que se pueda atribuir un origen diferente a los mencionados. El registro de mediciones continuas (R-22 y R-25), indican que los registros más bajos de ruido ocurren en horas de la mañana (alrededor de las 6:00 a.m.).



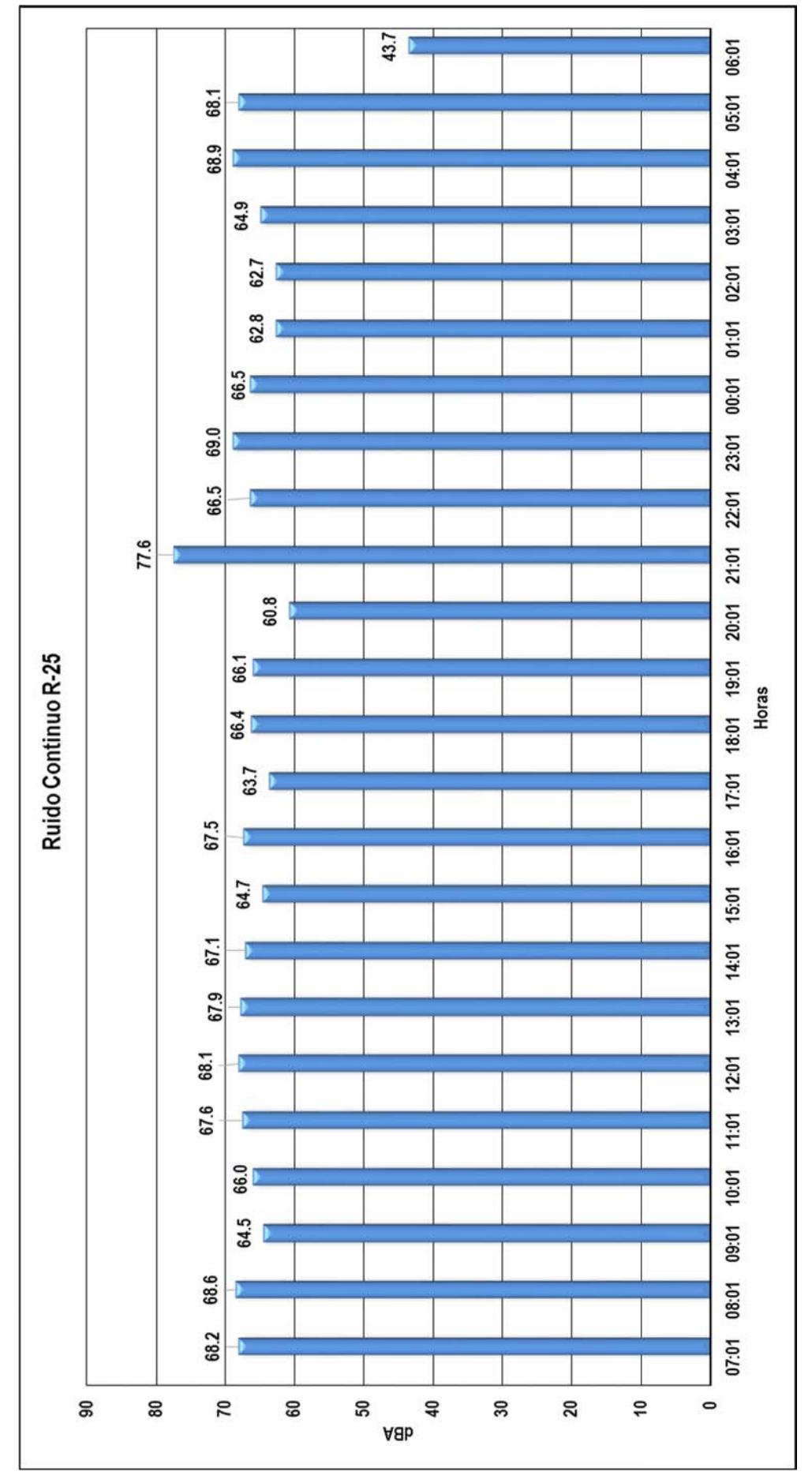
Figura 5.2.3-20 Comportamiento del ruido en el punto R-22- Periodo de 24 horas



Elaborado por Walsh Perú S.A. 2018.



Figura 5.2.3-21 Comportamiento del ruido en el punto R-25-- Periodo de 24 Horas







5.2.3.2.6. Conclusiones

El ruido puede estar asociado a actividades naturales y antrópicas que produce efectos negativos sobre la salud auditiva, física y mental de las personas. Los ruidos muy altos podrían generar desplazamiento de las especies nativas, afectando las variedades autóctonas.

El nivel de ruido ambiental se ha evaluado en referencia a la norma vigente D.S. N° 085-2003-PCM. La red de monitoreo de ruido ambiental existente para el Aeropuerto Jorge Chavez, es una red con suficiencia de puntos, la cual se ha complementado con información puntual (medida de ruido diurno y nocturno) y mediciones continuas (24 horas), en puntos de representativos situados en las nuevas poblaciones de la zona del proyecto.

Los resultados obtenidos indican en las mediciones de Niveles de Ruido Ambiental, que la zona de estudio, está afectada por el ruido generado a partir de la actividad industrial, el parque automotor muy activo, el ruido que generan los aviones y el ferrocarril central. Cabe señalar, que el área de estudio alberga avenidas principales muy concurridas, donde se puede observar de las unidades de transporte el mal uso de bocinas y falta de mantenimiento de sus unidades, sumado a ello el incremento exhaustivo de la actividad comercial en los últimos años. Actualmente, el ruido es uno de los problemas más importantes que preocupa a la población, por los efectos negativos en la salud que puede causar en las personas.

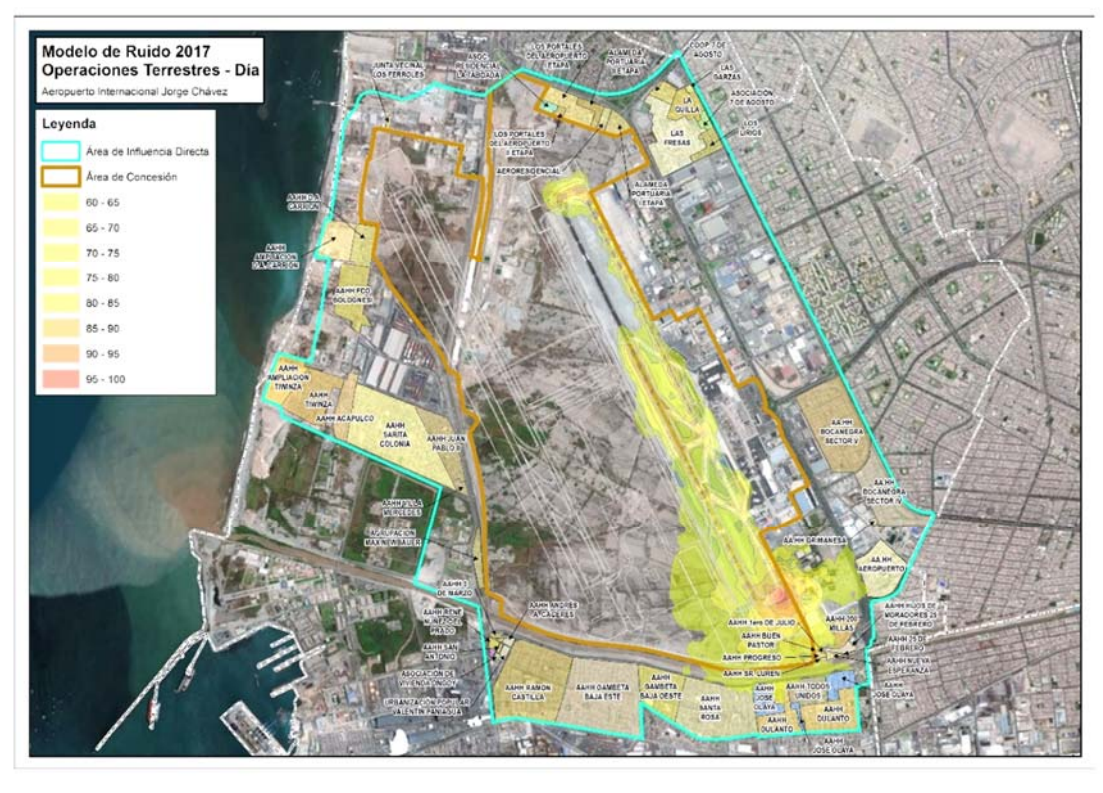
Las excedencias producidas en ruido en la zona de estudio relacionadas a las actividades del Aeropuerto específicamente se puede discriminar haciendo uso de estudios de los Modelamientos de ruido; "Estudio Acústico de las Operaciones de Tierra del Aeropuerto Internacional Jorge Chávez año 2017", realizados por la empresa INERCO. De este estudio y traslapando las mediciones en zonas urbanas, podemos señalar el siguiente análisis, en base a su comparación con el ECA residencial (D.S. Nº 085-2003-PCM) en horario diurno 60 dB, y en horario nocturno 50 dB.

- El Estudio Acústico para <u>ruido diurno,</u> revela zonas con proyección a registros mayores a 60 dB, A.H. Aeropuerto, A.H. 200 Millas, A.H. 1ro de Julio, A.H. Progreso, A.H. Señor de Lurén, A.H. Todos Unidos, A.H. Dulanto, A.H. José Olaya y A.H. Santa Rosa. Ver Figura 5.2.3-22 Actualmente los valores de ruido registrados en estas zonas son mayores a 60 dB en el día (RA3 = 64.9 dB y RA25 = 67.0 dB). Con lo cual, el ruido que se percibe está influenciado por las pruebas de motores en el periodo diurno.
- El Modelamiento para <u>ruido nocturno</u>, revela zonas con proyección de registros mayores a 50 dB, A.H. 200 Millas, A.H. 1ro de Julio y A.H. El Buen Pastor. Ver figura 5.2.3-23 En estas zonas los valores de ruido registrados son mayores a 50 dBA en la noche (RA3= 64.0 dB).





Figura 5.2.3-22 Localidades y resultados de modelamiento de Ruido Diurno



Fuente: INERCO

Figura 5.2.3-23 Localidades y resultados de modelamiento de Ruido Nocturno



Fuente: INERCO





5.2.3.3. VIBRACIONES

5.2.3.3.1. Generalidades

'Vibración' es el término utilizado para describir la oscilación, la reciprocidad u otro movimiento periódico de un cuerpo forzado a salir del equilibrio. Un nivel bajo de vibración es una característica normal del entorno y, por lo general, no es perceptible para la mayoría de las personas. Cuando se supera este bajo nivel de fondo, la vibración puede causar molestias y reacciones adversas por parte de la comunidad.

5.2.3.3.2. Estándares de Comparación

Los límites dependientes de la frecuencia tienen la capacidad de tratar con precisión los peligros presentados por la vibración del suelo y se consideran la base para mejores prácticas. Los criterios particulares dependientes de la frecuencia se deben informar con las mediciones. Todos los límites que se dan en esta sección son las velocidades pico de las partículas componentes, tal como se utilizan en las normas y pautas internacionales. La clasificación del tipo de estructura puede ser difícil; en caso de duda, se debe aplicar un límite más conservador de la descripción más cercana en la tabla de daños estructurales.

BS (BRITISH STANDARDS INSTITUTION) 6472 – 1992 "GUIDE TO EVALUATION OF HUMAN EXPOSURE TO VIBRATION IN BUILDINGS (1 HZ TO 80 HZ)"

Es una guía que proporciona parámetros simples de evaluación en cuanto a la exposición de los humanos a las vibraciones, estableciendo que funciona para cuando la fuente de vibración está entre 8-80 Hz y también si las vibraciones de ésta son continuos o intermitentes; las evaluaciones se puntualizan solo para edificios residenciales y solo se hace mención del nivel de vibraciones preferentes y máximas a las que pueden estar expuestas las personas, ya sea durante el día o durante la noche; de manera igual como lo hacen otras normas también toma como parámetro de evaluación a la velocidad máxima de la partícula.

Esta norma proporciona orientación en la respuesta humana a la construcción de la vibración. General, la vibración del edificio debe medirse en términos de aceleración. En algunos casos, como los eventos impulsivos, puede ser conveniente medir en términos de velocidad de partícula para que se puedan identificar los valores máximos.

Una técnica adecuada es registrar el tiempo de las cuales se puede determinar posteriormente cualquier valor deseado, aunque es aceptable llevar a cabo evaluación de campo con la instrumentación adecuada.

Cuadro 5.2.3-20 Límites de vibración del suelo para la comodidad humana

Categoría	Período	Vibración co	ntinua (mm/s)	Vibración intermitente e impulsiva (mm/s)			
outogoria	1 011040	Preferido	Máximo	Preferido	Máximo		
Docidonaial	Noche	0.28	0.56	8.6	17		
Residencial	Durante el día	0.4	0.4	2.8	5.6		

Elaborado por Walsh Perú, 2018





5.2.3.3.3. Metodología

Se utilizó una metodología *BS (BRITISH STANDARDS INSTITUTION) 6472 – 1992 "GUIDE TO EVALUATION OF HUMAN EXPOSURE TO VIBRATION IN BUILDINGS (1 HZ TO 80 HZ)"* estándar británico elaborada por el Comité de Política de Normas de Ingeniería Mecánica (GME) que incluyera las recomendaciones de la normativa internacional, de tal manera que al momento de la medición y de la evaluación estuviera todo lo necesario desde el punto de vista de los diferentes criterios.

Las mediciones de vibración normalmente son tomadas en una superficie. En algunas circunstancias, las mediciones pueden hacerse afuera de la estructura, o en alguna superficie que no sean puntos de entrada al sujeto humano. Donde se hacen las mediciones que no sean en el punto de entrada de la vibración al cuerpo debe hacerse una asignación para la transferencia entre el punto de medición y el punto de entrada de la superficie.

Algunos de los puntos a considerar son los siguientes:

- Selección de los lugares de medición.
- Selección de parámetros a medir.
- Características del movimiento a medir.
- Condiciones Ambientales.
- Tiempo de medición.
- Numero de mediciones Las mediciones se llevaron a cabo con Analizadores de Vibraciones Tipo 1 Marca DELTA OHM y modelo hd2030 y Acelerómetros Triaxiales marca DELTA OHM y modelo 3143D1. Además, de otros instrumentos cómo GPS, entre otros.

Los certificados de calibración se encuentran en el Anexo 5.2.3.3-1.

5.2.3.3.4. Puntos de Mediciones

La red de muestreo de vibraciones ubica puntos de medición representativos alrededor de la zona proyectada de la nueva pista de aterrizaje y cercanos a la pista de aterrizaje existente, como parte de la línea de base ambiental de la MEIA del AIJCh. Se ha tomado en cuenta factores que potencialmente podría generar vibraciones, por ejemplo; componentes auxiliares como: la planta de chancado, planta de asfalto y planta de concreto, así como los receptores; áreas urbanas (AA.HH.) donde se identificó que el material predominante en las paredes de las viviendas es la madera (AA.HH El Buen Pastor, Hijos de Moradores 25 de febrero, Señor de Luren, 1ero de Julio y la Asociación de Viviendas Max Neubauer), las cuales estarían expuestas a las actividades de construcción (impacto por vibración).

Cuadro 5.2.3-21 Ubicación de las estaciones de mediciones Puntual de Vibración

PUNTO	LOCALIDAD	UTM WG	S 84-18L	ch4	A(8)	Aeq
PUNTO	LOCALIDAD	NORTE	ESTE	(mm/s)	(mm/s)	(mm/s)
V - 01	ASOC. RESIDENCIAL LA TOBOADA	8672471	268988	0.273	0.027	0.199
V - 02	JUNTA VECINAL LOS FERROLES	8672302	267679	247	0.042	0.254
V - 04	AA. HH VILLA MERCEDES	8669500	268187	0.123	0.037	0.126
V - 06	AA. HH RENE NUÑEZ DEL PRADO	8668243	268488	0.214	0.041	0.250
V - 07	AA. HH RAMON CASTILLA	8667922	268915	0.245	0.039	0.265
V - 08	AA. HH SANTA ROSA	8667850	270092	0.210	0.249	0.108
V - 10	AA. HH 200 MILLAS	8668385	271320	0.287	0.039	0.268

Ch4: Valor pico durante el tiempo de medición.

A(8): Valor proyectado a 8 horas.





Aeq: Valor equivalente durante la medición. Elaborado por Walsh Perú, 2018.

Cuadro 5.2.3-22 Ubicación de las estaciones de medición Continuo de Vibración

PUNTO	LOCALIDAD	UTM WG	S 84-18L	ch4	A(8)	Aeq
PUNTO	LOCALIDAD	NORTE	ESTE	(mm/s)	(mm/s)	(mm/s)
V - 03	AA. HH DANIEL ALCIDES CARRION	8 671 376	267 483	0.329	0.042	0.260
V - 05	AGRUPACIÓN MAX NEWBAUER	8 668 847	268 354	0.252	0.058	0.132
V - 09	HIJOS DE MORADORES 25 DE FEBRERO	8 668 166	271 114	0.236	0.055	0.141
V - 11	PISTA DE ATERRIZAJE LADO SUR	8 668 355	270 549	4360	0,058	0.058
V - 12	PISTA DE ATERRIZAJE LADO NORTE	8 671 922	268 776	0.476	0.051	0.174

Ch4: Valor pico durante el tiempo de medición.

A(8): Valor proyectado a 8 horas.

Aeq: Valor equivalente durante la medición.

Elaborado por Walsh Perú, 2018.

En el Volumen III Mapa LBF-15 se muestra la ubicación espacial de los puntos evaluados en el área de influencia y las fichas de campo se presentan en el Anexo 5.2.3.3-2.





5.2.3.3.5. Evaluación de Resultados

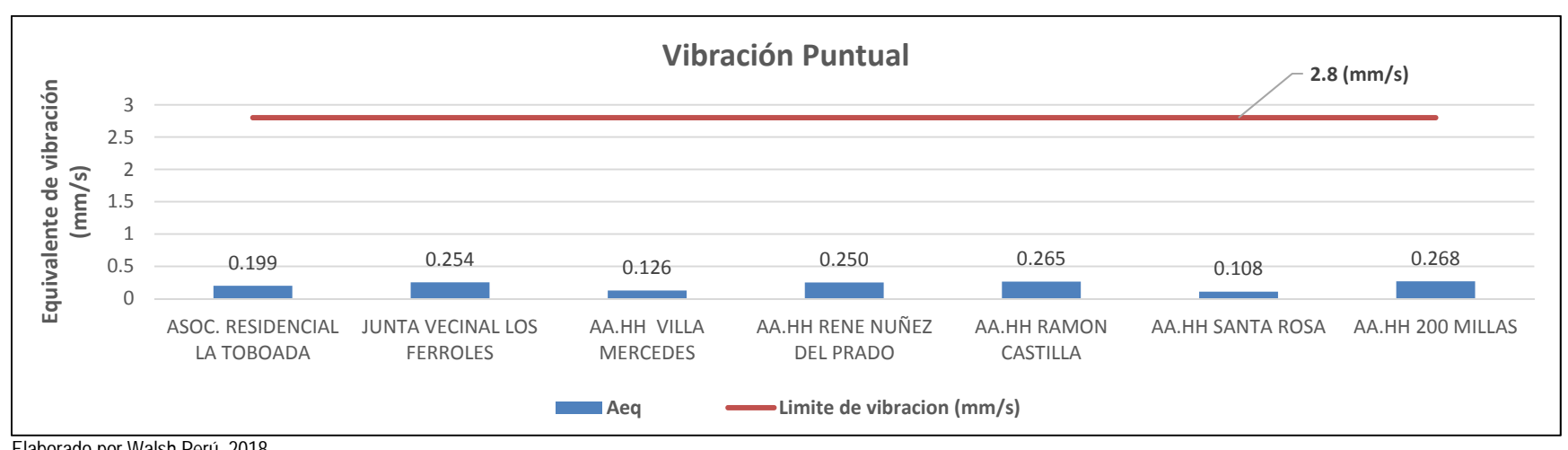
A. Medición Puntual

Cuadro 5.2.3-23 Resultados de las estaciones de medición Puntual de Vibración.

		UTM WGS	S 84-18L		Límite de	
PUNTO	LOCALIDAD	NORTE	ESTE	Aeq (mm/s)	Vibración (mm/s)	Condición
V - 01	ASOC. RESIDENCIAL LA TOBOADA	8672450	269057	0.199	2.8	CUMPLE
V - 02	JUNTA VECINAL LOS FERROLES	8672362	267679	0.254	2.8	CUMPLE
V - 04	AA. HH VILLA MERCEDES	8669500	268187	0.126	2.8	CUMPLE
V - 06	AA. HH RENE NUÑEZ DEL PRADO	8668243	268488	0.250	2.8	CUMPLE
V - 07	AA. HH RAMON CASTILLA	8668171	268921	0.265	2.8	CUMPLE
V - 08	AA. HH SANTA ROSA	8667850	270092	0.108	2.8	CUMPLE
V - 10	AA. HH 200 MILLAS	8668385	271320	0.268	2.8	CUMPLE

Aeq: Valor equivalente durante la medición. Elaborado por Walsh Perú, 2018.

Figura 5.2.3-6 Comportamiento de medición Puntual de Vibración.



Elaborado por Walsh Perú, 2018.

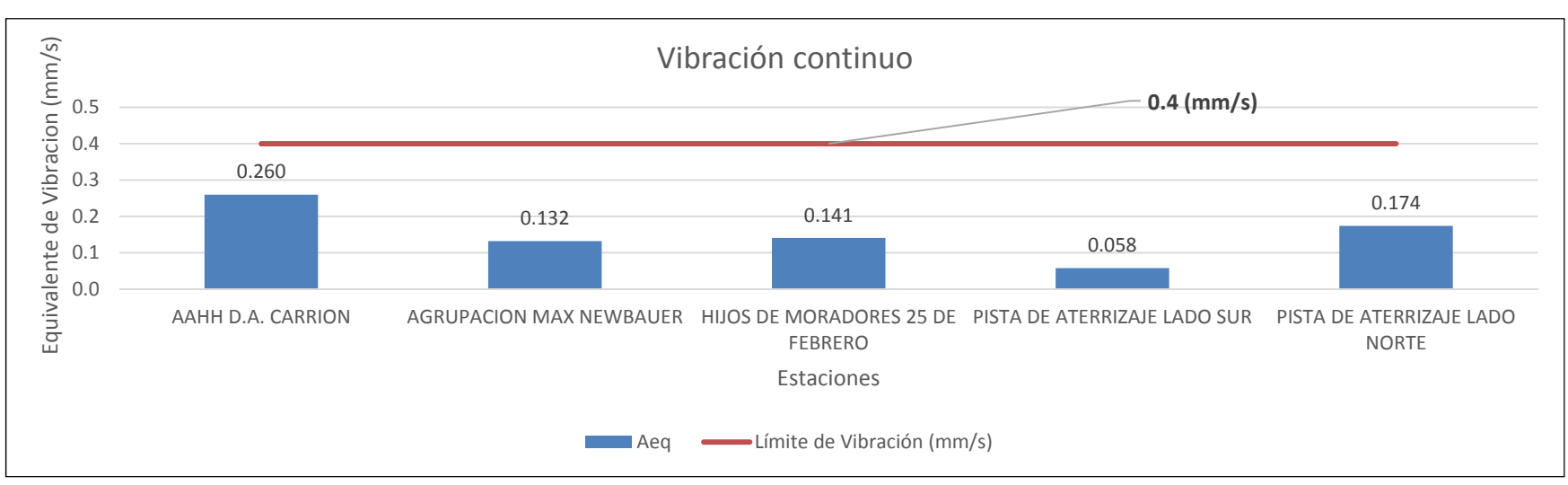
B. Medición Continuo

Cuadro 5.2.3-24 Resultados de las estaciones de medición Continuo de Vibración

PUNTO	LOCALIDAD	UTM WG	S 84-18L	Aca (mm/c)	Límite de Vibración	Condición
PUNTO	LOCALIDAD	NORTE	ESTE	Aeq (mm/s)	(mm/s)	Condicion
V - 03	AA. HH D.A. CARRION	8671376	267483	0.260	0.4	CUMPLE
V - 05	AGRUPACIÓN MAX NEWBAUER	8668847	268354	0.132	0.4	CUMPLE
V - 09	HIJOS DE MORADORES 25 DE FEBRERO	8668166	271114	0.141	0.4	CUMPLE
V - 11	PISTA DE ATERRIZAJE LADO SUR	8667355	270549	0.058	0.4	CUMPLE
V - 12	PISTA DE ATERRIZAJE LADO NORTE	8671905	268770	0.174	0.4	CUMPLE

Aeq: Valor equivalente durante la medición. Elaborado por Walsh Perú, 2018.

Figura 5.2.3-25 Comportamiento de medición Continuo de Vibración



Elaborado por Walsh Perú, 2018





Los informes de ensayo de laboratorio se encuentran en el Anexo 5.2.3.3-3.

5.2.3.3.6. Conclusiones

En el Aeropuerto Internacional Jorge Chávez, las actividades (afluencia de vehículos y tráfico de aviones) se intensifican alrededor de las 5:30 horas a 12:01 horas y 15.00 horas a 18:00 horas.

El nivel equivalente de vibración Puntual en las estaciones de monitoreo, registró valores por debajo del Límite de Vibración 2.8 mm/s, manteniéndose relativamente constante. (Ver Figura 5.2.3-12).

El nivel equivalente de vibración continuo en las estaciones de monitoreo, registró valores muy por debajo del Límite de Vibración (0.4 mm/s), manteniéndose relativamente constante. (Ver Figura 5.2.3-13).

Conclusiones específicas

El nivel de Vibración puntual en el punto de medición (V-01), ubicado en Asociación Residencial La Taboada, registró un valor 0.199 mm/s a las 10:25 a.m. el 15 de junio del 2018, (Ver Figura 5.2.3-24). El comportamiento de este valor se debe a que, en horas de la mañana, es constante el tráfico aéreo, y vehicular. Ver Anexo 5.2.3.3-2 de fichas de campo, en que se evidencian las condiciones existentes durante la medición.

El nivel de Vibración puntual en el punto de medición (V-02), ubicado en Junta Vecinal Los Ferroles registró un valor 0.254 mm/s a las 10:00 a.m. el 15 de junio del 2018, (Ver Figura 5.2.3-24). El comportamiento de este valor de debe a que, en horas de la mañana, es constante el tráfico aéreo y vehicular liviano. Ver Anexo 5.2.3.3-2 de fichas de campo, en que se evidencian las condiciones existentes durante la medición.

El nivel de Vibración puntual en el punto de medición (V-04), ubicado en Asentamiento Humano Villa Mercedes registró un valor 0.126 mm/s a las 10:20 a.m. el 14 de junio del 2018, (Ver Figura 5.2.3-24). El comportamiento de este valor se debe a que, en horas de la mañana, es constante el tráfico aéreo y tránsito vehicular liviano y pesado esporádico. Ver Anexo 5.2.3.3-2 de fichas de campo, en que se evidencian las condiciones existentes durante la medición.

El nivel de Vibración puntual en el punto de medición (V-06), ubicado Asentamiento Humano Rene Núñez del Prado registró un valor 0.250 mm/s a las 09:45 a.m. el 13 de junio del 2018, (Ver Figura 5.2.3-24). El comportamiento de este valor se debe a que, en horas de la mañana, es constante el tráfico aéreo y tránsito vehicular esporádico. Ver Anexo 5.2.3.3-2 de fichas de campo, en que se evidencian las condiciones existentes durante la medición.

El nivel de Vibración puntual en el punto de medición (V-07), ubicado en Asentamiento Humano Ramón Castilla registró un valor 0.265 mm/s a las 10:15 a.m. el 13 de junio del 2018, (Ver Figura 5.2.3-24). El comportamiento de este valor se debe a que, en horas de la mañana, es constante el tráfico aéreo, tránsito peatonal y vehicular. Ver Anexo 5.2.3.3-2 de fichas de campo, en que se evidencian las condiciones existentes durante la medición.

El nivel de Vibración puntual en el punto de medición (V-08), ubicado Asentamiento Humano Santa Rosa registró un valor 0.108 mm/s a las 10:40 a.m. el 13 de junio del 2018, (Ver Figura 5.2.3-24). El comportamiento de este valor se debe a que, en horas de la mañana, es constante el tráfico aéreo,





tránsito peatonal y vehicular liviano. Ver Anexo 5.2.3.3-2 de fichas de campo, en que se evidencian las condiciones existentes durante la medición.

El nivel de Vibración puntual en el punto de medición (V-10), ubicado Asentamiento Humano 200 Millas, registró un valor 0.268 mm/s a las 10:40 a.m. el 14 de junio del 2018, (Ver Figura 5.2.3-24). El comportamiento de este valor se debe a que, en horas de la mañana, es constante el tráfico aéreo, tránsito peatonal y tránsito vehicular liviano. Ver Anexo 5.2.3.3-2 de fichas de campo, en que se evidencian las condiciones existentes durante la medición.

El nivel de Vibración continuo en el punto de medición (V-03), ubicado en Asentamiento Humano Daniel Alcides Carrión registró un valor 0.260 mm/s a las 10:00 a.m. el 14 de junio del 2018, (Ver Figura 5.2.3-25). El comportamiento de este valor de debe a que, en horas de la mañana, es constante el tráfico aéreo, tránsito peatonal y vehicular liviano. Ver Anexo 5.2.3.3-2 de fichas de campo, en que se evidencian las condiciones existentes durante la medición.

El nivel de Vibración continuo en el punto de medición (V-05), ubicado Agrupación Max Newbauer registró un valor 0.132 mm/s a las 09:05 a.m., (Ver Figura 5.2.3-25). El comportamiento de este valor se debe a que, en horas de la mañana, es constante el tráfico aéreo, tránsito vehicular liviano, pesado y tránsito peatonal. Ver Anexo 5.2.3.3-2 de fichas de campo, en que se evidencian las condiciones existentes durante la medición.

El nivel de Vibración continuo en el punto de medición (V-09), ubicado de Hijos de Moradores 25 de febrero, registró un valor 0.141 mm/s a las 08:30 a.m. el 14 de junio del 2018, (Ver Figura 5.2.3-25). El comportamiento de este valor se debe a que, en horas de la mañana, es constante el tráfico aéreo, tránsito vehicular liviano, pesado. Ver Anexo 5.2.3.3-2 de fichas de campo, en que se evidencian las condiciones existentes durante la medición.

El nivel de Vibración continuo en el punto de medición (V-11), ubicado pista de aterrizaje de aviones lado sur registró un valor 0.058 mm/s a las 14:00 horas el 14 de junio del 2018, (Ver Figura 5.2.3-25). El comportamiento de este valor se debe a que en horas de la tarde es constante el tránsito de aviones en despegue y aterrizaje. Ver Anexo 5.2.3.3-2 de fichas de campo, en que se evidencian las condiciones existentes durante la medición.

El nivel de Vibración continuo en el punto de medición (V-12), ubicado en la pista de aterrizaje de aviones lado norte, registró un valor 0.174 mm/s a las 07:30 a.m. el 15 de junio del 2018, (Ver Figura 5.2.3-25). El comportamiento de este valor sé que en horas de la mañana el flujo de aviones es constante en despegue y aterrizaje. Ver Anexo 5.2.3.3-2 de fichas de campo, en que se evidencian las condiciones existentes durante la medición.





5.2.4. GEOLOGÍA Y GEOMORFOLOGÍA

5.2.4.1. **GEOLOGÍA**

La evaluación geológica del área de influencia se ha realizado en base a la información publicada por el Instituto Geológico Minero y Metalúrgico (INGEMMET) en su cuadrángulo geológico de Lima (24-i y 25 i), en la fotointerpretación de imágenes de satélite Landsat 7 TM y Google Earth de alta resolución de las principales unidades litológicas. El área de influencia que en adelante denominaremos área de estudio del proyecto se asienta básicamente sobre los depósitos aluviales del río Rímac.

5.2.4.1.1. Geología Local

En esta sección se describe brevemente la geología de la zona en que se ubica el proyecto, la misma que se encuentra en el amplio abanico aluvial depositado por el río Rímac a lo largo del tiempo geológico (3 millones de años aproximadamente). Las relaciones espaciales están representadas en el Volumen III Mapa Geológico (LBF-01) y en el Cuadro 5.2.4-1 se representa los depósitos presentes en el área de estudio, cuya composición litológica está dominada por depósitos cuaternarios de tipo aluvial, que fueron acarreados por el río Rímac.

Cuadro 5.2.4-1 Columna estratigráfica

Era	Sistema	Serie	Unidad	Símbolo	Descripción
ojico		Holoceno (Reciente)	Depósito Aluvial Reciente	Qr-al	Cantos y gravas subredondeadas.
Cenozoico	Cuaternario	Pleistoceno	Depósito Aluvial Pleistocénico	Qp-al	Conglomerados, cantos de diferentes tamaños. Gravas angulosas.

Elaboración: Walsh Perú S.A.: 2017

El área de estudio se constituye por acumulaciones clásticas, algunos recientes, transportados y depositados por acción del agua. Consisten de materiales sueltos de bloques y gravas redondeadas a sub-redondeadas de litología diversa y cuyas dimensiones fluctúan mayormente entre 0,05 y 0,40 metros, estos fragmentos rocosos se encuentran englobados entre gravillas, arenas, limos y arcillas.

El área de estudio se emplaza en su totalidad sobre la planicie aluvial, depositada por el antiguo cauce del río Rímac, que conforman los depósitos aluviales recientes y pleistocénicos, los que se describen a continuación:

a) Depósitos Aluviales Recientes (Qr-al)

Estos depósitos están restringidos a las franjas estrechas de las márgenes del río Rímac. Predominan materiales gruesos compuestos de cantos y gravas subredondeadas con buena selección en algunos casos de matriz arenosa.





b) Depósitos Aluviales Pleistocénicos (Qp-al)

Los depósitos aluviales pleistocénicos se encuentran formando el cono defectivo del Rímac. Casi la totalidad del área de estudio se ubica sobre estos depósitos aluviales. La composición de estos depósitos comprende conglomerados conteniendo cantos de diferentes tipos de rocas, principalmente intrusivos y volcánicos, con presencia de gravas, envueltos en una matriz arenolimo-arcillosa.

5.2.4.1.2. Geología Estructural

La geología estructural que ha controlado el modelado del área está influenciada por el gran anticlinal de Lima (pliegue de gran extensión longitudinal, extendiéndose desde el Morro Solar hasta cerca de Ancón), que ha deformado en gran magnitud el paquete de estratos que constituyen el pre-Pleistoceno (areniscas, conglomerados, arcillitas). Por tal razón el flanco occidental del mismo posee un buzamiento promedio SW, es decir hacia la línea de mar. Asimismo, este plegamiento constituye una de las más importantes estructuras de la zona originando, en menor escala, fallas de arrastre, así como sistemas de fallas de rumbo N-S que poseen un comportamiento normal, formadas como efecto secundario por la colisión de las placas oceánica y continental. El dislocamiento regional por bloques fallados ha originado una fosa tectónica entre Lima y Callao, que favorece la acumulación de sedimentos aluviales heterogéneos.

5.2.4.2. GEOMORFOLOGÍA

En esta sección se evalúan los aspectos geomorfológicos de las áreas de influencia del proyecto (directa e indirecta), en adelante área de estudio. La evaluación geomorfológica se centra en dos aspectos: primero, la caracterización del relieve, que describe las unidades y clases morfológicas existentes existentes en base a sus alturas, pendientes predominantes, niveles de disección y materiales superficiales; segundo, la geodinámica externa, que describe los procesos erosivos en curso, considerando su génesis y niveles de intensidad que se presentan. Debido a que tiene una importancia práctica, puesto que es en la superficie terrestre donde se desarrollan la mayor parte de las intervenciones humanas las cuales pueden tener repercusiones negativas, que en ciertos casos comprometen no solamente la calidad del medio ambiente y de los recursos naturales, sino incluso la seguridad física de este Proyecto. Ambos aspectos se consideran dentro de un marco explicativo físico geográfico que permite su mejor comprensión de su morfogénesis.

Políticamente el área de estudio comprende los políticamente los distritos Callao, Carmen de la Legua Bellavista, La Perla, San Miguel y una parte de los distritos San Martin de Porres, Cercado, Pueblo Libre y Magdalena del Mar.

El área de estudio se emplaza en una planicie donde los rasgos geomorfológicos ya han sido completamente alterados por el proceso de urbanización y emplazamiento de industrias e infraestructura.

Estas planicies corresponden al extenso abanico aluvial del río Rímac, que ha tenido una gran influencia en la formación de estos relieves acumulando materiales acarreados a través de millones de años atrás, sobre el cual se ha desarrollado la Ciudad de Lima en general.

El capítulo, ha sido desarrollado sobre la base del examen y fotointerpretación de imágenes satelitales de libre disponibilidad del servidor *Google Earth*, complementado con observaciones efectuadas directamente en el terreno. Para fines prácticos, se estableció una clasificación de las formas del relieve, las mismas que se aprecian en el mapa fisiográfico a escala 1:25000, que se adjunta (Ver Volumen III Mapa LBF-02).





5.2.4.2.1. Fisiografía

En esta sección se describen las características de las unidades fisiográficas (formas de relieve) identificadas en el área de estudio. Debido a la configuración llana del área de estudio, se ha identificado solo una unidad de paisaje dominante: planicies, el mismo que se subdivide por su forma u origen. En el Cuadro 5.2.4-2 se señala las unidades en que se subdivide este paisaje dentro del área de estudio, así como su incidencia espacial (extensión) en el área evaluada.

De acuerdo a ello, las formas identificadas fueron las siguientes:

Cuadro 5.2.4-2 Unidades de relieve

Unidad de Paisaje	Unidad de Sub-Paisaje	Símbolo
	Lecho fluvial	Lf
Planicies	Planicie aluvial	Pa
Platficles	Acantilados	Ac
	Playas (*)	Ру

Elaboración: Walsh Perú S.A.; 2017

A. Lecho Fluvial (Lf)

Comprende el cauce actual del río Rímac. El cual recorre en dirección general de este a oeste hasta su desembocadura en el Océano Pacífico. Está conformado por materiales sedimentarios que van desde arenas medias a gravas gruesas, guijarros, etc. Este tramo es más o menos amplio, sin embargo, el desnivel del lecho con respecto a la terraza no es mayor de 3 o 4 metros, por lo que se han construido tramos de defensa ribereña para hacer frente a los fuertes caudales de verano.



Fotos 1,2 y 3. Defensas ribereñas (1), construídas a lo largo del cauce del río Rímac, protege las vías (Av. Morales Duárez) y viviendas contiguas; Cauce actual (2) y (3) Vista longitudinal, desde el puente en el cruce de las Av. Néstor Gambetta y Morales Duárez. se puede observar el lecho fluvial, y la unidad contigua, cuyo desnivel no supera los 4 m.

^(*) Playas: sector litoral, modificado por el material de desmonte depositado e infraestructura presente.





B. Planicies aluviales (Pa)

Las planicies aluviales constituyen parte del gran cono aluvial del río Rímac, cuya depresión fue rellenada por materiales aluviales de diferente granulometría y diferentes edades. Son planicies adyacentes a la ribera del río; en el área de estudio se emplazan por el sur hasta el distrito Magdalena y por el norte el distrito del Callao; las pendientes son casi planas a ligeramente inclinadas (menor a 10%), esta generalmente están entre 5 y 6 m más altas con respecto al cauce del río, por lo que en la mayoría de los casos en estos sectores específicos contiguos al cauce se les han construido defensas ribereñas como medidas de protección, para evitar inundaciones durante la época de crecidas del río y épocas de ocurrencia del Fenómeno del Niño.



Fotos 4 y 5. Planicies aluviales disturbadas, que corresponde a la zona agrícola de la ex hacienda San Joaquín, zona de ampliación del AIJCH. En estas se pueden observar las modificaciones del relieve debido a la actividad agrícola, así como parches de vegetación natural (de humedales).

C. Acantilados (Ac)

Esta unidad está ubicada al sur del área de estudio, comprende una franja bastante delgada de 50 a 200 m de ancho, corresponde a la zona más pegada al mar de los distritos Magdalena del Mar y San Miguel.

Esta unidad se caracteriza por presentar un desnivel de aproximadamente 40 m de altura entre las planicies aluviales y el litoral. Las cuales se han generado por la acción erosiva del mar durante millones de años atrás. En la actualidad está zonas está bastante intervenida debido a que se han construido infraestructura vial y áreas de recreación correspondientes al proyecto de la Costa Verde. Ver la fotografía 6.







Fotos 6. Acantilados, en la fotografía podemos observar la franja correspondiente a los acantilados y contiguos a ello las playas totalmente modificadas por la acción humana. El desnivel de estos acantilados se estima que son de unos 40 m de altura en este sector.

5.2.4.2.2. Morfogénesis

En este acápite, se describen los procesos morfogenéticos que dieron origen a la configuración actual del relieve. En tal sentido, cabe señalar que la evolución geotectónica de la Cordillera de los Andes ha dado lugar a la conformación de la planicie costera, región caracterizada por su relieve llano y árido y configuración alargada, intersectada en algunos por valles costeros cubiertos por un manto de material aluvial, en forma de abanicos deyectivos como es el caso del valle del río Rímac. A continuación, se presentan sintéticamente los diversos episodios morfogenéticos acontecidos en la región evaluada:

Morfogénesis Terciaria

El Terciario es un periodo que se inicia con el levantamiento del territorio andino a una posición definitivamente continental, mientras que la franja costera era afectada por reiteradas etapas de transgresiones y regresiones. Así mismo, este periodo se vio acompañado de intensa actividad magmática y volcánica, que deformó la secuencia rocosa, formando la estructura conocida como el "anticlinal de Lima", que es la plataforma sobre la que se emplazan los materiales aluviales de los valles del Rímac y Chillón.

Morfogénesis Cuaternaria

Durante el Cuaternario, se producen en la región procesos de levantamiento de la costa que dan lugar a nuevas etapas de transgresiones y regresiones que originaron los depósitos de arenas, coquinas y conglomerados, que conforman las extensas planicies que se exponen como terrazas levantadas, como consecuencia de la interacción entre el tectonismo regional, isostasia y las oscilaciones eustáticas del nivel del mar. Además, el rápido levantamiento cortical, determinó la configuración actual del borde litoral y el brusco incremento de las pendientes, con el consiguiente desarrollo de procesos erosivos e incisión fluvial, los cuales formaron múltiples cuencas torrenciales costeras que fraccionaron las estribaciones andinas y depositaron potentes paquetes de sedimentos aluviales en las partes bajas que llegaron a constituir las pampas y valles costeños.





Finalmente, desde que el territorio andino alcanzó sus altitudes actuales, las condiciones climáticas de la región costera han sido siempre áridas, sin variaciones extremas. Este es un período en que los procesos de erosión y deposición son activos, produciéndose la acumulación moderna de los depósitos aluviales, eólicos, coluviales y marinos (éste último fuera del área de estudio).

5.2.4.2.3. Morfodinámica

Si bien el área de estudio presenta una condición estable, por la casi no existencia de procesos geodinámicos en ninguna de las unidades de relieve descritas, se puede decir que en el cauce (lecho fluvial) del río Rímac se identifican procesos geodinámicos de intensidad baja, que no configuran un mayor peligro a la estabilidad física del relieve.

Erosión Fluvial

La erosión fluvial se manifiesta tanto por la erosión de cauces y riberas, como por los desbordes e inundaciones de áreas adyacentes a los cauces. En este tramo del río Rímac, la erosión fluvial es un proceso de leve intensidad, en los que la erosión mecánica sigue activa, pero empieza a actuar la sedimentación. Eventualmente, el caudal del río puede incrementarse notablemente, durante la temporada de lluvias en la región andina, identificándose procesos de erosión lateral y socavamiento en el lecho fluvial. Es el caso de la inundación de la zona del AAHH Nestor Gambetta que afectó la zona en 1994, aunque en este evento el factor decisivo fue la acumulación indiscriminada de desmontes en el cauce urbano del río que provocó la acumulación de caudales y su rápido desembalse.

Hidromorfismo

La faja situada al oeste de la Av. Gambetta, hasta una distancia de entre 1,5 y 2 km del litoral, es topográficamente la más baja de toda la planicie aluvial (por debajo de los 10 m de elevación). Por ello, tiene una propensión a presentar una napa freática elevada, que incluso aflora en superficie, formando humedales. Si bien gran parte de esta faja ha sido utilizada como área de disposición de rellenos o área agrícola, permitiendo luego la habilitación urbana, en algunos sectores subsisten humedales fragmentados.





5.2.5. GEOTECNIA

5.2.5.1. GENERALIDADES

Este capítulo describe las condiciones geotécnicas del suelo de las áreas donde se emplazan los nuevos componentes del proyecto (área de influencia directa). Se enfatiza la caracterización Geotécnica en el ámbito del área de influencia directa puesto que los componentes del proyecto se son puntuales y el objetivo es conocer las condiciones mecánicas de los suelos que soportarán las distintas estructuras que formarán parte del proyecto de ampliación del AIJCh. Esta caracterización se ha realizado a partir del reconocimiento de campo, de los estudios in-situ y métodos indirectos (MASW) para sus diversos componentes del proyecto. Los trabajos de campo se realizaron se realizaron entre marzo del 2017 y julio del 2017 por el consorcio RS&H-COSAPI.

5.2.5.2. EXPLORACIONES GEOTÉCNICAS

El programa de exploración geotécnica consistió en la ejecución de estudios geofísicos (MASW), calicatas y perforaciones¹, estos estudios nos han permitido obtener una secuencia representativa de los estratos subyacentes a la zona investigada, permitiendo preparar un perfil estratigráfico del subsuelo. La ubicación de las calicatas y perfiles se muestra en los estudios realizados por el consorcio RS&H-COSAPI¹.

Adicionalmente al programa de exploración en campo se extrajeron suficientes muestras representativas de los estratos de suelos detectados, se tomaron muestras de suelos inalteradas y alteradas todas ellas representativas de los estratos subyacentes y que servirán de fundación para la infraestructura del Proyecto. Además, los ensayos de laboratorio cumplieron con las Normas Técnicas Peruanas (NTP) o las de la American Section of the International Association for Testing Materials (ASTM).

Estudio Geofísico de Refracción Sísmica y MASW

El consorcio RS&H-COSAPI fue encargado la realización de los ensayos geofísicos de refracción sísmica y MASW y MAM para el "Diseño Para La Expansión Del Aeropuerto Internacional Jorge Chávez", se ejecutaron 32 líneas sísmicas distribuidas adecuadamente en el área de emplazamiento del proyecto con la finalidad de definir la estratigrafía del terreno así como la compacidad del mismo en función de la velocidad de propagación de ondas compresionales.

En esta zona se incluyen las áreas de terreno conformado por un estrato superficial de suelos granulares finos y suelos arcillosos, cuyas potencias varían entre 3.0 y 10.0 m. Subyaciendo a estos estratos se encuentra la grava aluvial o grava coluvial.

a. Ensayos de refracción sísmica

El Ensayo de Refracción Sísmica consiste en medir los tiempos de viaje de las ondas compresionales (ondas P), generada por una fuente de energía impulsiva a unos puntos localizados a diferentes distancias a lo largo de la línea denominados shot.

_

RS&H/COSAPI. 2017. Estudio Geotécnico con Fines de Pavimentación (Diseño para la expansión del Aeropuerto Internacional Jorge Chavez). RS&H/COSAPI. 2017. Estudio Geotécnico con Fines de Cimentación (Diseño para la expansión del Aeropuerto Internacional Jorge Chavez). RS&H/COSAPI. 2017. Estudio Geofísico de Refracción Sísmica y MASW (Diseño para la expansión del Aeropuerto Internacional Jorge Chavez).





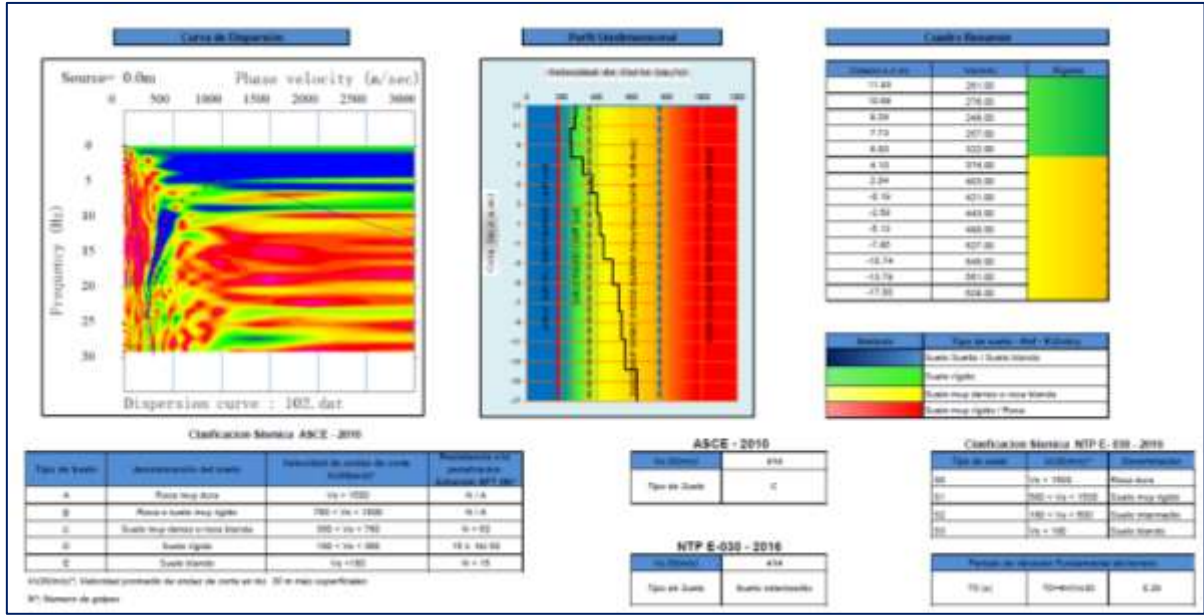
La fuente de energía es generalmente producida por el golpe de una comba. La energía es detectada, amplificada, y registrada mediante un proceso de conversión análogo digital de tal manera que puede determinarse su tiempo de arribo en cada punto. El instante del impacto "Tiempo cero", también es registrado conjuntamente con las vibraciones del suelo que arriban de los geófonos. Por lo tanto, en general, los datos consisten en tiempos de viaje y distancias, siendo el tiempo de viaje el intervalo entre el "Tiempo cero" y el instante en que el geófono empieza a responder a la perturbación.

b. Ensayo MASW

Este método de campo fue desarrollado en los años 90s por Choon Park y colaboradores. El ensayo MASW es un método activo de exploración geofísica que permite obtener el perfil unidimensional del suelo en función de la propagación de las ondas de corte "Vs". El ensayo consiste en registrar los tiempos de viaje de las ondas de corte (ondas S), generada por una fuente de energía impulsiva a unos puntos localizados en cada extremo del tendido de la línea.

Los ensayos geofísicos se realizaron a fin de caracterizar el terreno en función a la velocidad de propagación de ondas de corte Vs, así como también determinar los parámetros elásticos del terreno.

Figura 5.2.5-1 Análisis de Ondas Superficiales en Arreglos Multicanal (MASW)-MASW-01

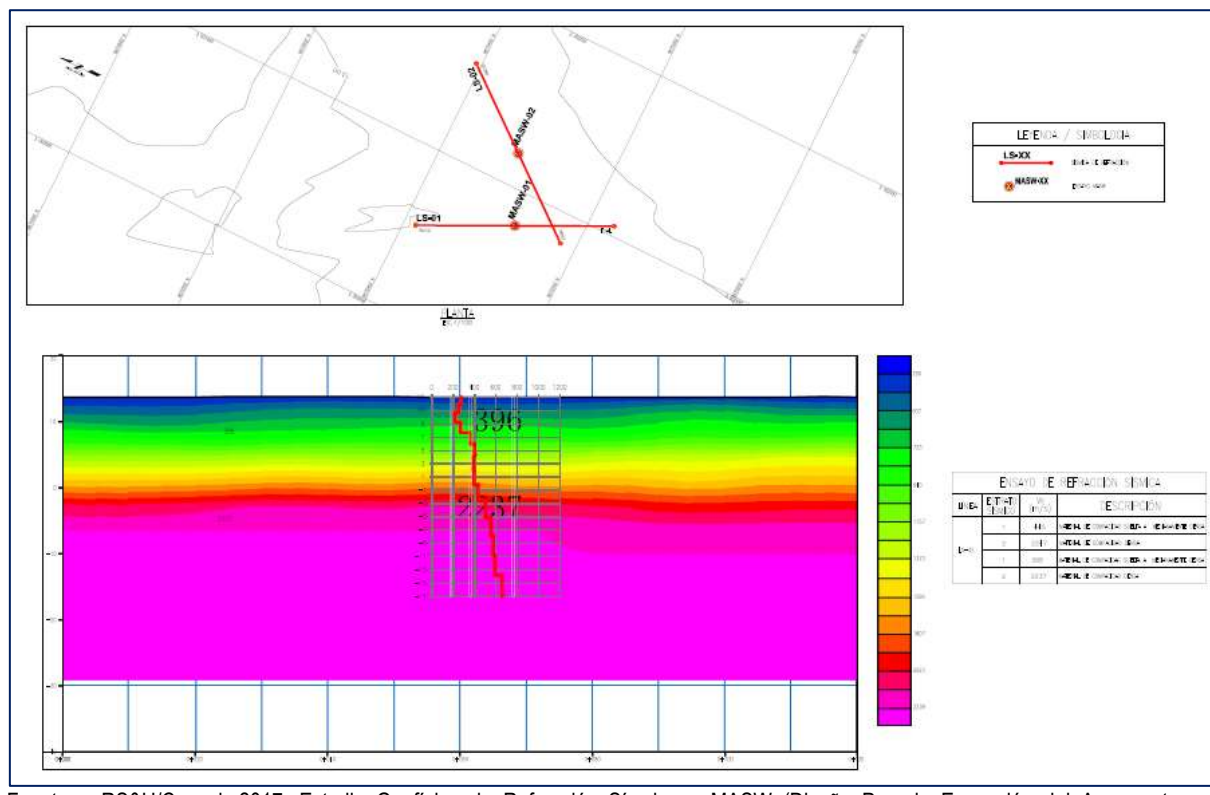


Fuente: RS&H/Cosapi. 2017. Estudio Geofísico de Refracción Sísmica y MASW (Diseño Para la Expansión del Aeropuerto Internacional Jorge Chávez). Anexo C Perfil Unidimensional.



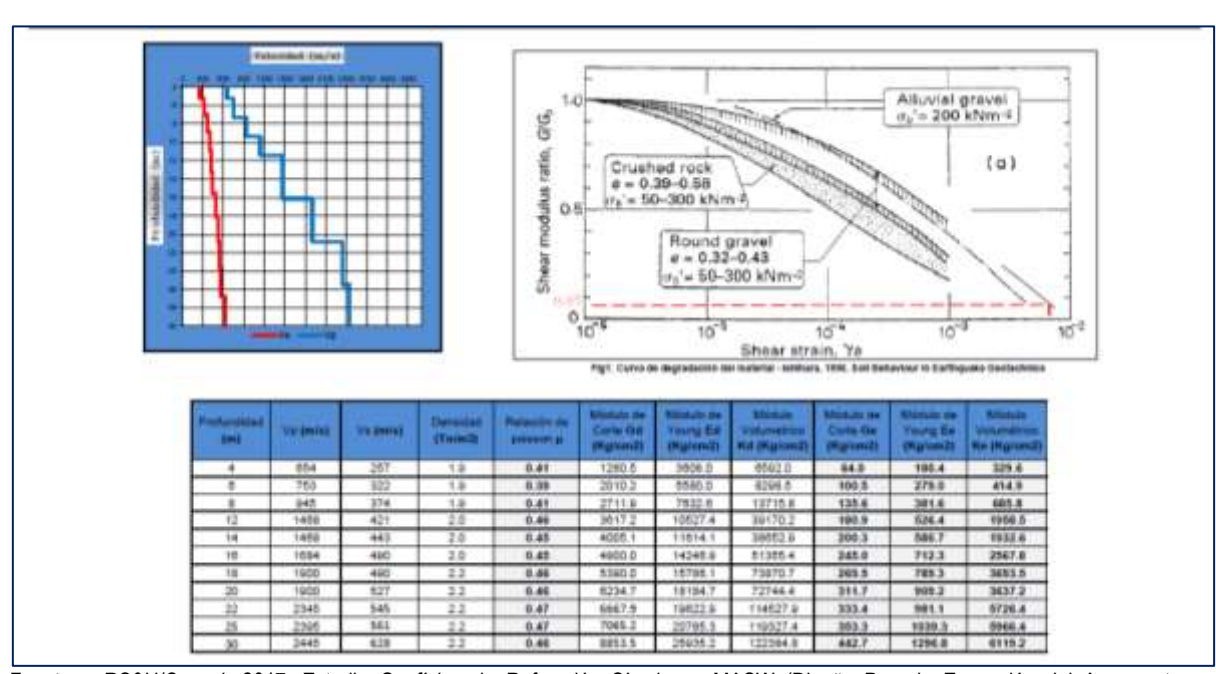


Figura 5.2.5-2 Plano de Planta y Perfil Geofísico



Fuente: RS&H/Cosapi. 2017. Estudio Geofísico de Refracción Sísmica y MASW (Diseño Para la Expansión del Aeropuerto Internacional Jorge Chávez).

Figura 5.2.5-3 Parámetros Elásticos del Terreno MASW-01/LS-01



Fuente: RS&H/Cosapi. 2017. Estudio Geofísico de Refracción Sísmica y MASW (Diseño Para la Expansión del Aeropuerto Internacional Jorge Chávez). Anexo D Parámetros Elásticos.





c. Ensayo MAM

El ensayo MAM o Análisis de Microtrepidaciones en Arreglos Multicanales, consiste en registrar las vibraciones ambientales en arreglos predeterminados y mediante el análisis de dispersión e inversión de ondas permite definir el perfil unidimensional de ondas de corte. Los ensayos MASW y MAM integrados permiten obtener profundidades de análisis hasta los 100m.

El ensayo MAM registra las vibraciones del suelo producidas por fuentes naturales o artificiales conformadas tanto por ondas de cuerpo como superficiales, aunque básicamente por ondas Rayleigh y Love, que están afectadas por la estructura geológica del sitio donde se mide.

| Scotter | Other | Plant | Pl

Figura 5.2.5-4 Análisis de Microtrepidaciones en Arreglo Multicanal. MAM-01

Fuente: RS&H/Cosapi. 2017. Estudio Geofísico de Refracción Sísmica y MASW (Diseño Para la Expansión del Aeropuerto Internacional Jorge Chávez). Anexo C Perfil Unidimensional.

Excavación de calicatas

Las calicatas son pozos verticales que se excavan en el lugar donde se quiere información directa del subsuelo. Permiten la toma de muestras alteradas e inalteradas y datos del perfil estratigráfico. Al término de la toma de muestras y registro de información del perfil estratigráfico se rellenó la calicata con el mismo material de excavación hasta alcanzar el nivel de terreno natural.

Las calicatas se excavaron utilizando herramientas manuales hasta alcanzar la profundidad de investigación requerida. Para la medición de la profundidad de las calicatas se utilizó una mira topográfica telescópica de 4m de longitud.

Auscultación Dinámica con Cono Tipo Peck

La auscultación dinámica con cono tipo Peck consiste en hincar en el terreno una barra perforada de aproximadamente 2 pulgadas de diámetro (AW-45 mm), provista en su parte inferior de una punta cónica de 2.5 pulgadas de diámetro y un ángulo de 60° en el vértice.





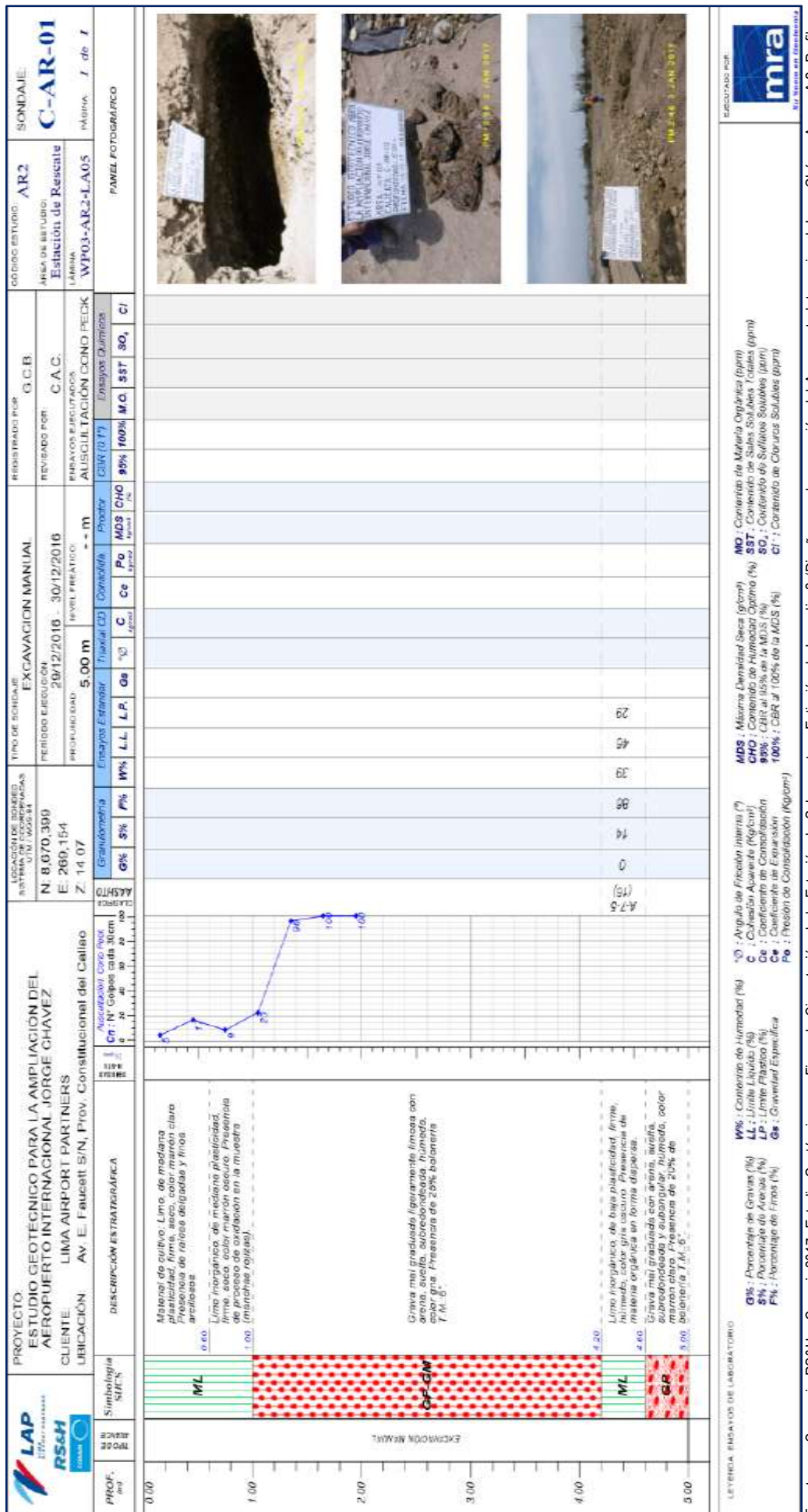
La hinca se efectúa en forma continua, empleando un martillo de 140 libras de peso y 30 pulgadas de altura de caída, registrándose el número de golpes requeridos por cada 15 cm de penetración; se finaliza la prueba cuando se alcanza la profundidad previamente establecida o se supera 100 golpes para una penetración de 30 cm (Cn >100).

En los suelos gravosos de compacidad suelta o con abundante grava fina la auscultación se puede ejecutar hasta alcanzar el rechazo para determinar la profundidad a la cual el estrato gravoso es más compacto. Es posible también que el rechazo ocurra por contacto de la punta del cono con cantos rodados o bolonerías.

Las auscultaciones se ubican próximas a las calicatas. En las auscultaciones realizadas se alcanzó el rechazo (Cn > 100) a una profundidad variable de 1,95 m a 4,65 m.



Calicata y Auscultación Dinámica con Cono Tipo Peck Figura 5.2.5-5



Consorcio RS&H y Cosapi, 2017, Estudio Geotécnico con Fines de Cimentación de la Estación de Salvamento y Extinción de Incendio 2 (Diseño para la expansión del Aeropuerto Internacional Jorge Chávez-Anexo A.2. Perfil Estratigrafico de Calicatas). Fuente:



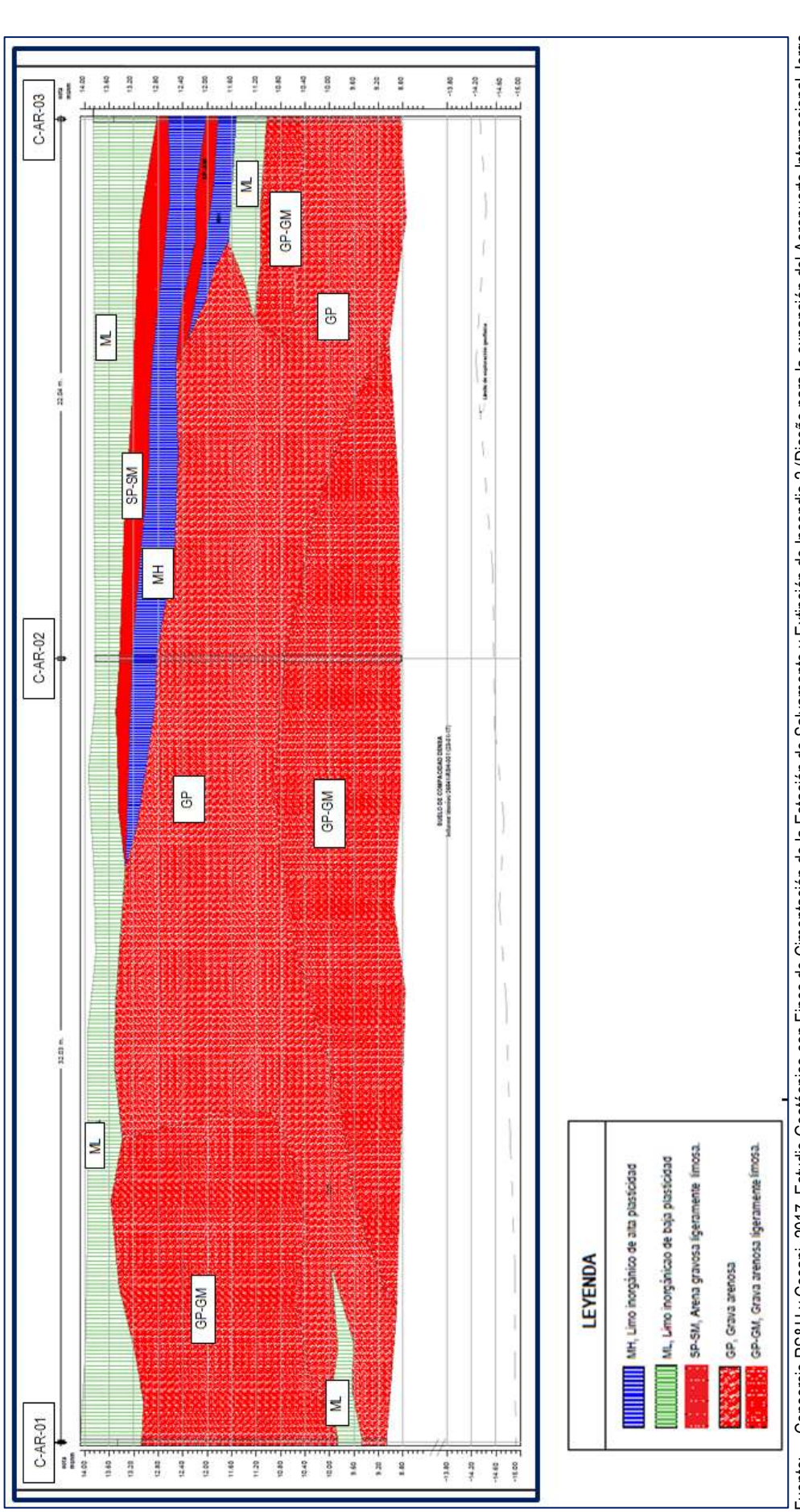


5.2.5.3. SECCIONES GEOTÉCNICAS

De la interpretación de las calicatas y perforaciones se generan secciones geotécnicas, en estas se representan las diversas capas o materiales reconocidos en campo y laboratorio (SUCS).



Figura 5.2.5-6 Perfil de Sección Geotécnica



Consorcio RS&H y Cosapi, 2017, Estudio Geotécnico con Fines de Cimentación de la Estación de Salvamento y Extinción de Incendio 2 (Diseño para la expansión del Aeropuerto Internacional Jorge Chávez-Anexo A.1. Planos y Perfiles Geotécnicos/A.1.4 Perfil Geotécnico C-C'). Fuente:





5.2.5.4. RESULTADOS

- El área de influencia directa se encuentra dentro de los límites de influencia del cono deyectivo cuaternario del río Rímac en el cual predomina un conglomerado formado por gravas y cantos rodados principalmente.
- En el área de influencia se tiene superficialmente un suelo de cultivo limoso de espesor 0,25 a 0,7 m y subyacente intercalaciones de suelos limosos (ML) y arenosos (SP, SP-SM) medianamente densa que se extiende hasta una profundidad variable de 1 m a 3,4 m. Por debajo, se emplaza un suelo gravoso (GP y GP-GM) pobremente gradada con pocos finos limoso de compacidad suelta hasta 0.6 m de penetración en el estrato y medianamente densa en profundidad, con bolonería 5 % a 25 % de tamaño máximo 4" a 6". Según el perfil sísmico el suelo es rígido hasta 6 m y muy denso hasta 30 m.
- En el área de influencia se encontraron rellenos antrópicos, mezcla de suelos gruesos y finos con restos de materiales de construcción y demolición. Estos rellenos no son aptos para ningún tipo de construcción y deben ser eliminados anticipadamente al inicio de las excavaciones o cortes para evitar la contaminación de los suelos. Los suelos finos superficiales que anteriormente fueron utilizados como terrenos de cultivo contienen raíces y también deben ser eliminados antes construir los terraplenes.





5.2.6. FISIOGRAFÍA

La caracterización del relieve en el área de influencia se presenta a manera de sección (5.2.4.2.1), complementando el capítulo 5.2.4 Geología y Geomorfología. En esta describen las principales unidades de relieve, denominadas bajo el enfoque de paisaje; que configuran el área de influencia, y se presentan en el Volumen III Mapa Fisiográfico (LBF-02) a escala 1:25000.





5.2.7. PAISAJE

5.2.7.1. GENERALIDADES

En el presente capítulo se evalúa el paisaje del área de influencia directa (en adelante área de estudio) debido a que es donde ocurrirán los principales cambios en el paisaje por la presencia de nueva infraestructura que se proyecta, y que de alguna manera podría cambiar el Paisaje. No se considera la evaluación del Paisaje en el ámbito del área de influencia indirecta puesto que la afectación del proyecto en estas áreas es principalmente por el ruido que causaría la llega y salida de los aviones y el alcance visual hacia los componentes del proyecto es muy baja debido a la distancia y las construcciones que no permiten la amplitud de la visibilidad.

La definición del paisaje corresponde a escenarios visuales cuyas características están determinadas básicamente por los elementos del relieve, clima, infraestructura y cobertura vegetal. Por ello se definen cuencas visuales sobre unidades ecológicas características (para este caso, corresponde básicamente a áreas urbanas), con la finalidad de establecer su valor escénico (calidad visual) y su grado de vulnerabilidad ante las intervenciones relacionadas con el proyecto (fragilidad visual), a partir del análisis de los resultados de estas dos variables se define la capacidad de absorción visual frente al desarrollo del proyecto. La evaluación de estos tres niveles de análisis se basa en el análisis de matrices adaptadas de metodologías utilizadas internacionalmente.

El área de estudio se ubica en la región Callao, al oeste de la ciudad de Lima, comprendiendo una zona urbana periférica que experimenta un proceso de urbanización acelerado que se inició desde los años 50 del siglo pasado, en detrimento de las zonas agrícolas que en la actualidad prácticamente han desaparecido. Esta área metropolitana se encuentra en la costa central del país, que posee uno de los climas más áridos del mundo, con precipitaciones casi inexistentes y temperaturas estacionales que varían por término medio entre 17 y 23 °C mensuales y que, por su cercanía a la corriente fría del Perú presenta también altos porcentajes de humedad relativa. En suma, se puede definir al paisaje como un área urbana litoral sobre un medio llano y árido.

5.2.7.2. ANÁLISIS DE ACCESIBILIDAD VISUAL

Por ubicarse en una zona urbana las vías contiguas al área de influencia directa del proyecto serían potencialmente zonas de observación, con amplia visibilidad; sin embargo, en este estudio se hace un análisis en las zonas de mayor tránsito vehicular y densidad poblacional. Para la elección de los puntos de observación se consideraron dos criterios, el primero es *la distancia*, pues a medida que aumenta ésta la accesibilidad visual disminuye. En consecuencia, se elabora una zonificación del área de influencia según el método Steinitz, el cual se determina en función de mayor o menor distancia a la influencia visual del proyecto. El segundo criterio es la existencia de áreas de concentración visual que para nuestro caso se enfoca en el análisis de la nueva infraestructura, desde puntos de observación definidos, de quienes transiten a diario por las vías contiguas y los pobladores de la zona.

Basados en estos criterios se establecen cuatro (04) cuencas visuales para el proyecto, se describen a continuación:





A. Cuenca Visual 1 (CV1)

El punto visual se ubica en la intersección de la Av. Morales Duárez con la Av. Santa Rosa, este punto visual (CV1) se considera debido a la proyección del nuevo puente Santa Rosa, para el acceso al terminal. Por su ubicación, los principales observadores son los pobladores, del A.H. Santa Rosa; transeúntes y pasajeros, que transitan a diario por estas avenidas.

Esta cuenca visual presenta una vista parcial, pues la accesibilidad visual está condicionada en primer plano: a la distancia por la amplitud del cauce del río Rímac; y en segundo plano, las defensas ribereñas, que se presentan a manera de barreras visuales; estos elementos no permitirían una completa visualización de los componentes proyectados, en este caso el nuevo acceso. Cabe resaltar que la amplitud de la cuenca visual podría modificarse acorde a la altitud y punto de observación, en caso se presenten edificaciones mayores a 4 pisos, modificando el nivel de alcance visual a medio, debido a la configuración topográfica, propio de las planicies.



Fotos 1 y 2: **(1)** Vista hacia el Norte, desde la Av. Santa Rosa, hacia el área proyectada para el nuevo acceso; **(2) Vista parcial**, se destaca la amplitud del cauce, cuya distancia hacia el A.H. Santa Rosa es considerable, logrando que se reduzca el campo de visibilidad (Coordenadas: 269 638 E y 8 668 090 N).

En los cuadros siguientes, se presentan en detalle los componentes físicos y arquitectónicos relacionados con el paisaje de esta cuenca visual.





Cuadro 5.2.7-1 Componentes Biofísicos – Cuenca Visual 1

Componentes	Características Principales				
Relieve	Dominan las planicies, con pendientes menores a 2 %.				
Suelo y roca	Se evidencian suelos y roca, en el sector del lecho fluvial, vista de defensas ribereñas.				
Agua	esencia del río Rímac.				
Vegetación	Muy escaza.				
Fauna	Por lo general la fauna no es visible, se evidencian algunas especies de aves adaptadas al hábitat urbano.				
Clima	Clima seco y árido				
Actuación antrópica	El paisaje es antrópico, dominado y completamente modificado por las actividades humanas que se desarrollan en esta zona urbana.				

Elaboración: Walsh Perú S.A., 2017.

Cuadro 5.2.7-2 Componentes Arquitectónicos – Cuenca Visual 1

Componentes	Características Principales			
Forma	Percepción tridimensional del terreno, predominan las formas horizontales.			
Escala - Espacio	Percepción del espacio abierto, de mediana incidencia visual. Se puede manejar relativamente la escala por parte del observador.			
Línea	En el primer plano destacan los ejes horizontales, los que están marcados por configuración de la urbe, los bordes de las líneas se presentan poco definidos.			
Color	Los colores dominantes en orden son: tonalidades del gris y marrón claro, el contraste es algo marcado con las viviendas contiguas.			
Fondo escénico	El fondo escénico está dominado por las características arquitectónicas, el relieve y el cielo.			

Elaboración: Walsh Perú S.A., 2017.

B. Cuenca Visual 2 (CV-2)

El punto visual se ubica en la intersección de la Av. Morales Duárez con la Av. Néstor Gambetta, este punto visual (CV2), se encuentra contiguo al área proyectada para almacenes de carga y nuevo acceso; cabe resaltar que este punto fue considerado debido a que la zona presenta un alto flujo vehicular en donde transitan vehículos públicos, privados y de carga pesada. La cuenca visual se muestra una vista panorámica reducida debido a que se presenta una topografía irregular del terreno, de depósito de material de conglomerados, que se presenta en primer plano a manera de barrera visual. Conforme se avanza unos metros, la vista es más amplia, desde donde se puede observar parte del área proyectada para la segunda pista de aterrizaje.





Fotos 3 y 4. Vista desde la Av. Néstor Gambeta, con una dirección hacia el Noreste, se presenta una cuenca visual parcial debido a las la topografía irregular del terreno (acumulación de material conglomerado), que se presenta como barrera visual. (Punto visual en coordenadas: 268 438 E y 8 668 570 N).

Cuadro 5.2.7-3 Componentes Biofísicos

Componentes	Características Principales				
Relieve	Predominan los terrenos planos y se identifica la presencia de montículo de material conglomerado.				
Suelo y roca	mplios sectores de suelos, de las planicies aluviales, del Ex fundo San Joaquín.				
Agua	o se identifica ningún cuerpo de agua.				
Vegetación	Se identifica vegetación de matorrales.				
Fauna	Por lo general la fauna no es visible, salvo algunas especies de aves adaptadas al hábitat urbano.				
Clima	Clima seco y árido				
Actuación antrópica	El paisaje está dominado por la vegetación, más o menos densa en este sector, y el relieve.				

Elaboración: Walsh Perú S.A., 2017.





Cuadro 5.2.7-4 Componentes Arquitectónicos

Componentes	Características Principales				
Forma	Percepción bidimensional del terreno. Además, se presenta una vista que muestra sectores de cierta altitud y otras horizontales.				
Escala - Espacio	percepción del espacio es relativamente amplia. El observador escasamente pued nejar la escala del paisaje.				
Línea	En el primer plano destacan los ejes horizontales que están definidos por el contacto entre el relieve (planicies) y el cielo.				
Color	Los colores dominantes en orden son: beige, celeste y verde oscuro; muestran contrastes algo marcados.				
Fondo escénico	El fondo escénico está dominado la forma del relieve y el cielo.				

Elaboración: Walsh Perú S.A., 2017.

C. Cuenca Visual 3 (CV3)

El punto visual presenta una dirección visual hacia el Este, donde los principales observadores serían los pobladores de los A.H. Juan Pablo II y Villa Mercedes y transeúntes, específicamente desde del puente peatonal (cerca de la Av. El Emisor y Néstor Gambetta), desde donde se tiene una vista panorámica del área de ampliación del AIJCH. Cabe resaltar que desde este sector se presenta la cuenca visual de mayor amplitud, sin embargo, se debe hacer referencia a ciertos construcciones y componentes que obstaculizan la vista (desde el nivel del suelo), además de elementos como: torres de alta tensión, postes de luz y cableado.



Fotos 5 y 6. Vista panorámica, hacia el este desde el puente peatonal en coordenadas 268 305 E y 8 669 574 N (CV3). (5) Futura área proyectada para la segunda pista de aterrizaje y terminal.





Cuadro 5.2.7-5 Componentes Biofísicos

Componentes	Características Principales				
Relieve	Planicies aluviales				
Suelo y roca	Se observan extensos sectores de suelo descubierto.				
Agua	No se identifica ningún cuerpo de agua.				
Vegetación	Presencia de vegetación de matorrales, más o menos densa.				
Fauna	Por lo general la fauna no es visible, salvo algunas especies de aves adaptadas al habitad urbano.				
Clima	Clima seco y árido				
Actuación antrópica	Muy alta.				

Elaboración: Walsh Perú S.A., 2017.

Cuadro 5.2.7-6 Componentes Arquitectónicos

Componentes	Características Principales				
Forma	Percepción tridimensional del terreno, con escenarios cercanos y lejanos. Predominan las				
	formas horizontales de los primeros planos.				
Escala - Espacio La percepción del espacio es relativamente amplia. Se puede manejar la esc					
Locala Lopacio	del observador.				
Línea	En el primer plano destacan los ejes horizontales que están definidos por el relieve y las construcciones.				
Color	Los colores dominantes en orden son: el gris, el marrón claro y el celeste; muestran contrastes poco marcados.				
Fondo escénico	El fondo escénico está dominado la forma del relieve, las viviendas, las vías y el cielo.				

Elaboración: Walsh Perú S.A., 2017.

D. Cuenca Visual 4 (CV4)

El punto de observación se ubica en la calle Los Ferroles (en coordenadas 267 908 E y 8 672 251 N), que corresponde al sector industrial. Este paisaje es observado por los vecinos y trabajadores de las empresas en la zona, principalmente.

La cuenca visual permite una visión parcial, en dirección sureste, hacia la zona proyectada de componentes, sin embargo, se presentan a manera de barrera visuales algunas construcciones, que se encuentran en franco deterioro y almacenes. Algunos árboles, se presentan a manera de parches, en espacios reducidos, pero no aportan mayor realce a la vista. El paisaje es pobre en cuanto a las características arquitectónicas debido fundamentalmente al escaso contraste de color y forma; y desde el aspecto biofísico, no sobresale ningún componente tanto físico, como biológico (especies de flora y fauna).





Foto 7: Cuenca visual de calle Los Ferroles, el primer plano que está conformado por las construcciones de almacenes e industrias en la zona. (Coordenadas de CV4: 267 908 E y 8 672 251 N).

Cuadro 5.2.7-7 Componentes Biofísicos

Componentes	Características Principales				
Relieve	Planicies aluviales, modificado por la presencia de infraestructura.				
Suelo y roca	Solo en algunos sectores se presentan suelos descubiertos.				
Agua	No se identifica ningún cuerpo de agua.				
Vegetación	Muy escasa vegetación, algunos árboles				
Fauna	Por lo general la fauna no es visible, salvo algunas especies de aves adaptadas al habitad urbano.				
Clima	Clima seco y árido				
Actuación antrópica	Muy alta.				

Elaboración: Walsh Perú S.A., 2017.

Cuadro 5.2.7-8 Componentes Arquitectónicos

Componentes	Características Principales				
Forma	Escenarios cercanos y lejanos. Predominan las formas horizontales de los primeros planos.				
Escala - Espacio	La percepción del espacio es reducida. Se puede manejar la escala por parte del observador.				
Línea	En el primer plano destacan los ejes horizontales que están definidos por el relieve y las construcciones.				
Color	Los colores dominantes en orden son: el marrón claro, gris y blanco; muestran contrastes poco marcados.				
Fondo escénico	El fondo escénico está dominado la forma del relieve, las construcciones, la vía y el cielo.				

Elaboración: Walsh Perú S.A., 2017.

5.2.7.3. CALIDAD VISUAL DEL PAISAJE

Para el análisis de la calidad visual del paisaje se utilizó una adaptación del método indirecto propuesto por *Bureau of Land Management* (BLM, 1980), denominado Matriz para la evaluación de





la calidad visual del paisaje. Esta metodología se basa en la evaluación independiente de los principales componentes del paisaje y en las cualidades intrínsecas del espacio visual. En los cuadros siguientes, se presentan el detalle de los criterios y puntuación considerando en el método BLM, y la clasificación de evaluación de la calidad visual. En el Anexo 5.2.7-1 se presenta los criterios de valoración y puntuación para evaluar la calidad visual del paisaje, BLM y las clases utilizadas para evaluar la calidad Visual. La metodología se presenta en el Anexo 5.2.7-2.

Cuadro 5.2.7-9 Resultados de la Calidad Visual del Paisaje.

Elementos	CV1	CV2	CV3	CV4
Relieve	1	1	1	1
Vegetación	1	1	1	1
Fauna	1	1	1	1
Agua	3	0	0	0
Color	1	1	1	1
Fondo escénico	1	1	1	1
Rareza	1	1	1	1
Actuación humana	0	0	0	0
TOTAL	9	6	6	6

Elaboración: Walsh Perú S.A., 2017.

Se obtiene que todas las cuencas visuales se encuentran calificadas como clase C, calificada como BAJA, cuyos rasgos del relieve, fauna, color, agua y fondo escénico contribuyen en gran medida para esta calificación, es decir presentan áreas con BAJA calidad estética, pues corresponden a paisajes completamente modificados, del medio urbano.

5.2.7.4. FRAGILIDAD Y CAPACIDAD DE ABSORCIÓN DEL PAISAJE

La fragilidad visual constituye una característica intrínseca, dependiente de las condiciones del medio. Por ello se considera una propiedad que ayuda a la localización de posibles actividades que se quieran desarrollar en ese mismo medio con el mínimo impacto visual. Para evaluar la fragilidad de cada una de las unidades de paisaje se plantea un modelo que depende de dos tipos de factores:

Factores biofísicos: componen las características básicas del paisaje, que condicionan la modificación del tipo y carácter del mismo. Son los que van a amortiguar o realzar las alteraciones visuales. Las variables del medio que intervienen en este factor son principalmente la vegetación y usos del suelo; y las características geomorfológicas son relativamente estáticas, salvo cambios por acciones antrópicas o por catástrofes naturales.

Factores de Visibilidad: son los que hacen referencia a la accesibilidad visual del paisaje, en función de su visibilidad intrínseca (intervisibilidad) y la visibilidad adquirida (variables antrópicas) que influyen en las características del mismo en términos de facilidad al acceso y/o atractivo de ser visto.

La capacidad de absorción visual (CAV) debe ser entendida como inversamente proporcional a la fragilidad de un paisaje. En este sentido, la CAV se define como la capacidad del paisaje para acoger actuaciones propuestas sin que se produzcan alteraciones en su carácter visual. Para el análisis de la fragilidad o grado de vulnerabilidad de los paisajes a los cambios que se puedan introducir, se ha considerado la metodología de Yeomans (1986), el que consiste en asignar





puntajes a un conjunto de factores del paisaje considerados definitorios en las características del paisaje. Luego de obtener la valoración nominal (Nom) y numérica (Num) sobre la capacidad de absorción, esta se suma y finalmente se define el valor final.

De acuerdo con la aplicación metodológica a las características del medio y del proyecto, se procedió a evaluar la capacidad de absorción, considerando los factores de análisis correspondiente, a fin de determinar la escala de absorción.

Cuadro 5.2.7-10 Valoración de los factores determinantes de la CAV la cuenca visual considerada.

Factores	CV1		CV2		CV3		CV4	
ractores	NOM.	NUM.	NOM.	NUM.	NOM.	NUM.	NOM.	NUM.
Pendiente (P)	Alto	3	Alto	3	Alto	3	Alto	3
Erosionabilidad (E)	Medio	2	Alto	3	Alto	3	Alto	3
Potencial Estético (R)	Bajo	1	Bajo	1	Bajo	1	Bajo	1
Diversidad de Vegetación (D)	Bajo	1	Bajo	1	Bajo	1	Bajo	1
Contraste de Color (V)	Medio	2	Medio	2	Medio	2	Bajo	1
Actuación Humana (C)	Alto	3	Alto	3	Alto	3	Alto	3
Promedio	27		3	0	3	0	2	7

Elaboración: Walsh Perú S.A., 2017.

Estimación del CAV para los paisajes asociados al proyecto:

La determinación de la fragilidad y capacidad de absorción del paisaje se realizó por cuencas visuales, obteniéndose como valoración: **ALTA**, es decir, que en todas las cuencas visuales presentan "alta capacidad de absorción", dado que está configurado por un paisaje propiamente antrópico, por lo cual presenta una alta capacidad de absorción y adaptabilidad a la incorporación de nuevas edificaciones de los componentes (y futuras modificaciones).

5.2.7.5. ANÁLISIS DE SENSIBILIDAD

Para este análisis se considera la metodología establecida por Ramos (1980), para lo cual se integran los resultados de calidad y fragilidad visual, el resultado de esta integración se conoce como sensibilidad o grado de restricción de un paisaje. El detalle de esta metodología se presenta en el Anexo 5.2.7-2 y los resultados se visualizan en el Cuadro 5.2.7-11.





Cuadro 5.2.7-11 Análisis de Sensibilidad del Paisaje.

Cuenca	Sensibilidad Visual	Calidad Visual	C.A.V.
CV1	Clase 4	Baja	Alta
CV2	Clase 4	Baja	Alta
CV3	Clase 4	Baja	Alta
CV4	Clase 4	Baja	Alta

Elaboración: Walsh Perú S.A., 2017.

Del Cuadro 5.2.7-11 se concluye, que todas las cuencas evaluadas son de **Clase 4**, es decir presentan una capacidad de adaptación **ALTA** ante modificaciones e incorporaciones en la estructura del paisaje urbano y nuevos componentes; característica asociada a la baja calidad del paisaje, debido al fuerte grado de intervención antrópica en la zona, de condiciones arquitectónicas muy pobres y carentes de estética, además de ser muy heterogénea.





5.2.8. SUELOS Y CAPACIDAD DE USO MAYOR DE LA TIERRA

5.2.8.1. SUELOS

El presente capitulo contiene información básica del área de influencia, sobre el componente edáfico, elemento fundamental para la caracterización del medio físico. El estudio fue elaborado en base al trabajo de campo, recolección de muestras de suelo y su posterior análisis de laboratorio. El suelo es un recurso natural que debe ser estudiado por medio de su perfil, constituido por diferentes capas u horizontes. El perfil muestra el grado de evolución del suelo, resultado de la acción conjunta de sus factores de formación (material parental, clima, organismos, relieve y tiempo). El estudio del perfil y de las características ecogeográficas del lugar permite una mejor comprensión del recurso proporcionando información útil dentro del contexto de una evaluación ambiental.

Los criterios y técnicas metodológicas empleadas se han ceñido a las normas y lineamientos generales que establece el Reglamento para la Ejecución de Levantamiento de Suelos del Perú, aprobado mediante Decreto Supremo N°013-2010-AG, así como para la clasificación taxonómica de los suelos se utilizó el Keys of Soil Taxonomy (doceava Edición, 2014), del Departamento de Agricultura de los Estados Unidos de Norteamérica, complementándose con el Manual de Levantamientos de Suelos (Soil Survey Manual, 1993). Para la interpretación práctica del potencial de tierras se ha utilizado el Reglamento de Clasificación de Tierras del Perú, aprobado mediante Decreto Supremo Nº 017-2009-AG.

5.2.8.1.1 Clasificación De Suelos

5.2.8.1.1.1. Clasificación de Suelos de acuerdo a su Origen

Una de las formas de caracterizar a los suelos es de acuerdo a su origen, es decir, evaluando el material parental del que se desarrollaron o se formaron los suelos. Para el área de influencia se han identificado suelos derivados de materiales aluviales.

a) Suelos derivados de materiales aluviales

Se encuentran en planicies (de terrazas) aluviales medias y bajas, y son de escaso desarrollo genético. Presentan textura media, fertilidad química media a baja, son moderadamente profundos a profundos, sin pedregosidad superficial natural y drenaje bueno a moderado.

Asimismo es preciso señalar que gran parte del área del área de influencia áreas disturbadas y cubiertas por edificaciones correspondientes a la zona urbana de Lima y el Callao en general.

5.2.8.1.1.2. Clasificación de Suelos de acuerdo al Sistema del Soil Taxonomy

El régimen de temperatura del suelo se mide a 50 cm de profundidad, asumiéndose que es igual a la temperatura del aire más 1 °C (Departamento de Agricultura de los Estados Unidos, 1993). El área de influencia se encuentra en la zona de vida desierto desecado Subtropical, lo que otorga al suelo un régimen de humedad ústico y de temperatura térmico.





A. Unidades Taxonómicas

Dentro del área de influencia se han identificado un (01) orden, un (01) suborden, un (01) gran grupo, dos (02) sub grupos. Para mayor detalle, se han definido dos (02) unidades de suelo a los cuales se les asigna un nombre local. El Cuadro 5.2.8-1, presenta las unidades taxonómicas identificadas, organizadas jerárquicamente.

Cuadro 5.2.8-1 Clasificación Natural de los suelos - Soil Taxonomy¹.

Orden	Sub orden	Gran grupo	Sub grupo	Nombre
Enticolo	Fluvente	Ustifluvents -	Aquic Ustifluvents	Centenario
Entisois	Entisols Fluvents		Typic Ustifluvents	San Agustín

Elaboración: Walsh Perú S.A., 2017.

Adicionalmente se presenta en el Anexo 5.2.8-1 los perfiles modales de cada suelo identificado.

B. Unidades Cartográficas

Para los fines del presente estudio se utilizan ocho (08) fases y rangos de pendiente, los cuales se indican en el Cuadro 5.2.8-2.

Cuadro 5.2.8-2 Fases por pendiente

Término Descriptivo	Rango (%)	Símbolo
Plana o casi a nivel	0 – 2	Α
Ligeramente inclinada	2 – 4	В
Moderadamente inclinada	4 – 8	С
Fuertemente inclinada	8 – 15	D
Moderadamente empinada	15 – 25	Е
Empinada	25 – 50	F
Muy empinada	50 – 75	G
Extremadamente empinada	> 75	Н

Fuente: DS.017-2009-AG.

Elaboración: Walsh Perú S.A., 2017.

Cuadro 5.2.8-3 Unidades Taxonómicas

Consociaciones	Símbolo	Proporción (%)	Fase por	Super	ficie
Consociationes	Cimbolo	1 1000101011 (70)	pendiente	(ha)	%
Centenario	Се	100	Α	46,07	0,83
Con Aquatía	CA	100	Α	276,07	4.95
San Agustín	SA	100	В	171,27	3,07
		Otros			
Materiales misceláneos	Ma	100	Α	155,06	2,78
iviateriales miscelarieos	teriales misceláneos Ms 100 B	В	19,61	0,35	
Ríos y Área	s no edáficas (Z	Zonas Urbanas)		4913,49	88,03
	Total	·		5581,58	100,00

Elaboración: Walsh Perú S.A., 2017.

_

¹ United States & Department of Agriculture Handbook 1993 Soil Survey Manual





Suelo Centenario (Ce)

Pertenece al subgrupo Aquic Ustifluvents porque presenta dentro de uno a más horizontes dentro de los 50 cm de la superficie de suelo mineral, condiciones Redox con croma de dos o menos y también condiciones ácuicas en algún momento del año. En uno o más horizontes dentro de los 150 cm de la superficie de suelo mineral, un color value en húmedo de cuatro o más. Está conformado principalmente por la unidad edáfica Centenario, en sus fases por pendiente plana o casi a nivel (0 a 2 %). Presenta una secuencia de horizontes Ap-C1-C2; son suelos derivados de materiales aluviales, se ubican en terrazas bajas (zona de humedales). Presentan permeabilidad moderada y drenaje moderado.

La capa superficial, se caracteriza por presentar horizonte Ap, de color gris muy oscuro (10YR 3/1), en húmedo; presenta textura franca, con presencia de gravas y gravillas en 5 a 10 %; reacción moderadamente básica (pH=7,99); porcentaje medio de materia orgánica (2,94); una C.E._(1:1) de 2,22 dS/m, estimando una C.E. en extracto de saturación de 4,44 dS/m lo cual indicaría ser moderadamente salino; con una CIC media (16,96 meq/100g); una saturación de bases por suma de cationes de 100 %. Calcáreo total alto (16,70 %). Contenido de fósforo alto (84,6 ppm) y de potasio bajo (87 ppm).

El material subyacente no presenta estructura, textura franca a franco limosa; de color gris muy oscuro a pardo amarillento (10YR 3/1 a 10YR 4/4), en húmedo; presenta una reacción moderadamente básica (pH=7,84 a 8,13); porcentaje medio a bajo de materia orgánica (2,56 a 0,17); una C.E.(1:1) de 1,01 a 1,29 dS/m, estimando una C.E. en extracto de saturación de 2,02 a 2,58 dS/m lo cual indicaría ser moderadamente salino; con una CIC media (15,36 a 10,72); una saturación de bases por suma de cationes de 100 %. Presenta moteaduras de 25 a 30 %, de color rojo amarillento en húmedo (5YR 5/6).

Suelo San Agustín (SA)

Pertenece al subgrupo Typic Ustifluvents porque presenta deposiciones recientes de material de origen aluvial y no presenta contacto lítico o paralítico dentro de los 25 cm de suelo superficial. Está conformado principalmente por la unidad edáfica San Agustín, en sus fases por pendiente plana o casi a nivel (0 a 2 %) y ligeramente inclinada (2 a 4 %). Presenta una secuencia de horizontes Ap-AC-C2-2C3-3C4; son suelos derivados de materiales aluviales, se ubican en terrazas bajas. Presenta permeabilidad moderada y drenaje bueno a moderado.

La capa superficial, se caracteriza por presentar horizonte Ap, de color pardo grisáceo (10YR 5/2), en seco; presenta textura franca, con presencia de gravas y gravillas en 10 a 15 %; reacción ligeramente básica (pH=7,81); porcentaje bajo de materia orgánica (1,81); una C.E.(1:1) de 1,31 dS/m, estimando una C.E. en extracto de saturación de 2,62 dS/m lo cual indicaría ser ligeramente salino; con una CIC baja (12,80 meq/100g); una saturación de bases por suma de cationes de 100 %. Calcáreo total medio (3,40 %). Contenido de fósforo alto (61,6 ppm) y de potasio medio (108 ppm).

La capa subyacente representa una capa de transición entre el Horizonte Ap y el C; textura franca; de color pardo (10YR 5/3), en seco; presenta una reacción moderadamente básica (pH= 8,13); porcentaje bajo de materia orgánica (1,30); una C.E.(1:1) de 0,39 dS/m, estimando una C.E. en extracto de saturación de 0,78 dS/m lo cual indicaría ser muy ligeramente salino; con una CIC baja (14,08); una saturación de bases por suma de cationes de 100 %.





5.2.8.2. CAPACIDAD DE USO MAYOR DE TIERRAS

5.2.8.2.1. Generalidades

La capacidad de uso de una tierra puede definirse como la aptitud natural del suelo para la producción de cultivos, pecuaria, forestal o uso paisajístico (protección) en forma constante bajo tratamientos continuos y usos específicos. De acuerdo al Reglamento de Clasificación de Tierras por su Capacidad de Uso Mayor (Decreto Supremo N°017-2009-AG), las tierras son entidades que involucran tres componentes: clima (zonas de vida), suelo y relieve. Así mismo, en dicho Reglamento se indica que las unidades de tierras son las interpretaciones de las unidades de suelos en términos de su potencial. En la práctica, una unidad de tierra equivale a la interpretación de una unidad cartográfica de suelo.

El indicado reglamento establece un sistema para clasificar las unidades de tierra por su capacidad de uso mayor, esta última definida como la aptitud natural para la producción de especies vegetales en forma constante o temporal, bajo prácticas de manejo continuo y tratamientos específicos. En esta sección se aplica este sistema a las unidades de tierra presentes en el área de influencia.

5.2.8.2.2. Clasificación de Tierras por Capacidad de Uso Mayor

El grupo de capacidad de uso mayor es determinado mediante el uso de las claves de las zonas de vida en correlación con las características edáficas más relevantes para la zonificación agroecológica de un territorio. Esta categoría representa la más alta abstracción del Sistema, agrupa a las tierras de acuerdo a su máxima vocación de uso, es decir, a tierras que presentan características y cualidades similares en cuanto a su aptitud natural para la producción sostenible de tierras aptas para cultivos en limpio (A), tierras aptas para cultivos permanentes (C), tierras aptas para pastos (P), tierras aptas para producción forestal (F) y las tierras de protección (X). En el Cuadro 5.2.8-4 se presenta la superficie y porcentaje que ocupa cada una de las unidades de capacidad de uso mayor de tierras identificadas.

Cuadro 5.2.8-4 Capacidad de Uso Mayor de las Tierras

Cruno	Clase	Cubalaga	Decembration	Supe	rficie
Grupo	Clase	Subclase	Descripción	ha	%
Α	А3	A3s(r)	Suelo San Agustín. Tierras Aptas para cultivos en limpio, con limitaciones por fertilidad y riego.	447,35	8,01
)	ζ	Xsi	Suelo Centenario. Tierras de Protección, con limitaciones por suelo (fertilidad) e inundación.	46,07	0,83
•	Xs Tierras de Protección, materiales misceláneos		174,67	3,13	
	Otros (2	Zonas con Ed	lificaciones e infraestructura Vial, Río)	4913,49	88,03
			Total	5581,58	100,00

Elaboración: Walsh Perú S.A., 2017.

A. Tierras Aptas para cultivos en limpio (A)

Reúne a las tierras que presentan características climáticas, de relieve y edáficas para la producción de cultivos en limpio demandan remociones o araduras periódicas y continuadas del suelo. Estas tierras, debido a sus características ecológicas, también pueden destinarse a otras alternativas de uso, ya sea cultivos permanentes, pastos, producción forestal y protección, en concordancia a las políticas e interés social del Estado, y privado, sin contravenir los principios uso sostenible. Se identificó una clase: tierras aptas para cultivos en limpio de calidad agrológica baja (A3).





Subclase A3s(r)

Se encuentra sobre una planicie (de terraza baja) aluvial con relieves planos a ligeramente inclinados y pendientes menores de 4 %. Presenta limitación únicamente por suelo, debido a una fertilidad baja, en función a los contenidos de materia orgánica (1,81 %). Agrupa al suelo San Agustín en fase por pendiente A y B.

Lineamientos de uso y de manejo agrológico: La aplicación de fertilizantes químicos de tipo nitrogenado, fosfatado y potásico, microelementos, etc., es necesaria para elevar la disponibilidad de nutrientes a los cultivos. Con el fin de mejorar las propiedades físicas y la actividad microbiana, es recomendable la aplicación de estiércol (materia orgánica). Asimismo se deberá asegurar la dotación de aqua en momento oportuno.

B. Tierras de protección (X)

Son aquellas tierras que debido a sus severas limitaciones no permiten establecer en ellas actividades agrícolas, pecuarias o forestales. Si bien este grupo no presenta clase ni subclase, con fines de explicación en el Cuadro 5.2.8-4 se señalan las razones que determinaron incluir a los mencionados suelos como Tierras de Protección.

Tierras de protección Xsi

Estas tierras incluyen al suelo Centenario, su mayor limitación se encuentra en el riesgo de inundación por afloramiento de agua y tsunamis, y la fertilidad baja. Cabe mencionar que estos suelos se encuentran en zonas de humedales.

• Tierras de protección Xs

Dentro del área de influencia se puede evidenciar áreas alteradas sin suelo natural, ya que presentan materiales misceláneos (desmontes variados, desechos orgánicos, materiales aluviales, chatarra, entre otros) que fueron homogenizados y que se encuentran en constante alteración por movimiento y deposición de más materiales. A estas áreas se le otorgó una clasificación de Uso Mayor de Tierras de Xs. Ver panel fotográfico en el Anexo 5.2.8-3.





5.2.8.3. USO ACTUAL DE LA TIERRA

Esta sección tiene por finalidad identificar y caracterizar los diferentes usos de la tierra que se presentan área de influencia ambiental de la ampliación del Aeropuerto Internacional Jorge Chávez (en adelante área de influencia). El área de influencia se encuentra en el sector central de la provincia y distrito de Callao (Provincia Constitucional del Callao), que corresponde a un ámbito urbano. Debido a estas características, se considera para esta clasificación del Uso Actual de la Tierra una adaptación de la metodología del LBCS (Land Based Classification Standards), elaborada por la Asociación de Planificación Americana (APA) en conjunto con otras 6 instituciones federales de los EEUU; además está clasificación se complementa con la presentación de la zonificación considerada en los instrumentos de planificación del Gobierno Local que rige en el área de influencia.

Esta sección se complementa además con el Mapa de Uso Actual de la Tierra LBF-07 (ver Volumen III Mapas) trabajado a escala 1:25 000.

5.2.8.3.1. Categorías de Uso Actual de las Tierras

La clasificación multicriterio de la LBCS está orientada a la generación de una base de datos completa del uso de la tierra, en base a cinco criterios de clasificación: actividades, funciones, estructura, configuración de sitio y propiedad. En este estudio se considera únicamente el criterio de la estructura, ya que permite identificar el componente netamente físico de las formas de ocupación del territorio y adaptarlo mejor a la las categorías de uso en el área de influencia del proyecto.

Cuadro 5.2.8-5 Usos identificados en el área de influencia

Catagorías do uso	Unidades de Uso	Simbología	Superf	icie
Categorías de uso	Offidades de Oso	Simbología	ha	%
	Edificaciones residenciales	Er	2686,89	48,14
	Equipamiento e instalaciones existentes mayores	EqM	363,58	6,51
Áreas urbanas	Zona industrial y comercial	Zic	842,41	15,09
Areas urbanas	Infraestructura Institucional	li	588,02	10,54
	Edificaciones mixtas	Em	60,74	1,09
	Instalaciones relacionadas con el transporte (*)	Tr	313,63	5,62
Áreas sin	Planicies eriazas (antes agrícolas)	Pe	642,96	11,52
infraestructura y otros	Humedales	Hu	46,07	0,83
	Río		37,28	0,67
	Total		5581,58	100,00

(*) Unidades no cartografiables a la escala de trabajo.

Fuente: Trabajo de Campo, Walsh Perú 2017.

Elaboración: Walsh Perú S.A., 2017.





A. Áreas Urbanas

Edificaciones residenciales (Er)

Son las áreas destinadas al uso residencial o de vivienda, y las edificaciones son destinadas para uno o varios núcleos familiares. Por lo general las estructuras son de material noble, en su mayoría pueden observarse viviendas multifamiliares de hasta 3 pisos, y en algunos casos se han instalado en las mismas viviendas, como un medio de ingreso adicional a estos hogares, comercios menores como: tiendas de abarrotes, salones de belleza, entre otros. Estas viviendas corresponden a los AA. HH Juan Pablo II, Villa Mercedes, Gambeta Baja Este, Santa Rosa, Jose Olaya, Aeropuerto, Bocanegra y Las Fresas, entre otros asentamientos de similares características en el área de influencia directa del proyecto, mientras que en las áreas de influencia indirecta del proyecto comprende a las áreas urbanas de los distritos San Martin de Porres, Carmen de la Legua, Bellavista, La Perla, San Miguel y Magdalena del Mar.

Dentro del área de influencia directa también se pudieron identificar sectores de AA.HH, en los cuales imperan las estructuras de materiales precarios (adobes, maderas, módulos prefabricados, etc.), que en su mayoría corresponden a construcciones de 1 piso; entre estos AA.HH, contiguos a la Av. Prolongación Centenario, están: Acapulco, Tiwinza, Franco Bolognesi y Daniel Alcides Carrión.



Fotos 1, 2 y 3. Asentamientos Humanos en el área de influencia directa. En la izquierda (1) viviendas en la Av. Néstor Gambetta, que corresponden al AA.HH Juan Pablo II y (3) de Las Fresas, construcciones de material noble, en su mayoría que corresponde a áreas urbanizadas; En la fotografía (2) viviendas del AA.HH Tiwinza, estructuras de materiales precarios, en su mayoría de 1 piso.





Equipamiento e instalaciones existentes mayores (EqM)

Entre las instalaciones y equipamiento de mayor importancia está el Aeropuerto Internacional Jorge Chávez, el más importante del país y uno de los principales centro de conexión en la región, motivo por el cual el aumento del flujo de pasajeros, carga y correos tienen un crecimiento sostenido.



Foto 4 Vista aérea. Imagen de las instalaciones actuales del AIJCH.

• Zona industrial y comercial (Zic)

Alrededor de las instalaciones del AIJCH se ubican los principales centros e infraestructura relacionada con los servicios de transportes y carga como Lima Cargo City y Centro Aéreo comercial, entre los más importantes y diversas redes comerciales a lo largo de la principal avenida colindante, Elmer Faucett. También se identificaron industrias relacionadas a la producción de envases plásticos, químicos y ensamblaje de electrodomésticos, entre otras que corresponde a industrias menores.

Otro importante sector que alberga centros comerciales e industrias es la Av. Argentina donde podemos encontrar industrias dedicadas a distintos rubros.

Infraestructura Institucional (li)

Está representada por las edificaciones institucionales de carácter público, en sus diversos niveles o secciones. Se incluye las edificaciones del sector salud, educación, municipalidades, ministerios y otras dependencias públicas; también forman parte de esta categoría las instituciones como museos, comisarias, cementerios entre otras.

La principal sede del gobierno regional se encuentra en el área de influencia, así como instituciones policiales, bases militares y centros de Aviación Policial y Aviación Naval. En el sector oeste del área de influencia se encuentran las instalaciones de los Juzgados de la Corte Superior del Callao, Centros de Estudios Criminológicos e instalaciones del INPE.

En esta unidad también se han considerado aquellas centro educativos y toras instituciones de gran envergadura con son: La Universidad Nacional Mayor de San Marcos, La Pontificia Universidad Católica del Perú, Colegio Militar Leoncio Prado, Colegio Claretiano Católico, el Hospital Naval y el Parque de las Leyendas, Cuartel general Naval y el Estadio Migue Grau.





Fotos 5, 6 y 7. Oficinas del Gobierno Regional del Callao y Base FAP del Callao, ubicadas en la Av. Elmer Faucett. **En la Av. Prolog. Centenario (7)**, se ubican los Juzgados de la Corte superior del Callao y las instalaciones del penal del Callao, del INPE.

Edificaciones mixtas (Em)

Las edificaciones mixtas se distribuyen en el sector oeste del área de influencia, contiguo a la franja costera y cerca de empresas relacionadas al servicio de carga. Se pueden identificar almacenes de *containers*, diversas máquinas (embarcaciones antiguas) y equipos diversos, algunos en casi estado de abandono; así como lotes o viviendas ocupadas para productos de reciclaje.

Instalaciones relacionadas con el transporte* (Tr)

Se incluye todo tipo de infraestructura relacionada con el sistema de transporte, como la red vial, estacionamientos públicos, paraderos y grifos. Como la infraestructura presente en las vías principales dentro del área de influencia: Elmer Faucett, Néstor Gambetta, Morales Duárez, Av. Argentina, Av. Oscar Benavides, Av. Venezuela, Av. La Marina y Costa Verde, cuyo tránsito vehicular diario es muy alto.

B. Áreas sin infraestructura y otros

Planicies eriazas (antes agrícolas) Pe

Corresponde a la zona de las planicies aluviales, que pertenecieron al ex fundo San Agustín, tierras que tuvieron uso agrícola, y que actualmente forman parte del área de ampliación directa de las instalaciones del AIJCH. En algunos sectores se pueden identificar montículos con residuos de materiales diversos e infraestructura que correspondía a industrias. También se observan áreas donde el nivel freático se ha elevado, incluso aflorando en superficie. Actualmente no se desarrolla ningún tipo de uso en esta área.





Humedales (Hu)

Corresponde a las formaciones vegetales, que se identifican en el sector de planicies, contiguos a la Av. Néstor Gambetta. Este tipo de vegetación es productos de los afloramientos de agua, de la napa freática cuya profundidad no es muy baja en la zona.



Foto 8. Vista de las planicies aluviales, en estas se pueden identificar los materiales acumulados y sectores con presencia de vegetación.

5.2.8.3.2. Zonificación

A través de la Gerencia de Planeamiento Urbano y Catastro, del Gobierno Regional del Callao, se elaboró el Plan de Desarrollo Urbano periodo 2011- 2022 (distritos del Callao) y Reajuste Integral de la Zonificación de los Suelos de Lima Metropolitana del 2007 (Distritos San Miguel, Magdalena del Mar y San Martin de Porres) instrumentos en el que se establece una zonificación urbana para todos los distritos. Acorde a este instrumento, en el área de influencia se identificaron los siguientes:

Cuadro 5.2.8-6 Zonificación Urbana en el Área de influencia

Zonas	Tipo
Zonas Residenciales	Residencial de Densidad Media - RDM
Zona mixta	Mixta de densidad media - MDM
	Comercio distrital - CD
Zonas comerciales	Comercio metropolitano - CM
	Comercio especializado - CE
Zonas industriales	Industria liviana - IL
Zonas de equipamiento urbano mayor	Equipamiento de educación - E
Zonas recreacionales	Recreación pública - ZRP
Zonas de usos especiales	Usos especiales – OU
Zona de reglamentación especial	Zona de reglamentación especial (3) con problemas de hacinamiento, seguridad física y con programas integrales de renovación urbana - ZRE-3
Zona de Actividades Logísticas	Zona para actividades relacionadas con la carga tanto para el Aeropuerto como para el Puerto - ZAL

Fuente: Plano de Zonificación Urbana del Callao (Act. Según Ordenanzas y Resoluciones), Gerencia de Planeamiento Urbano y Catastro del Callao, diciembre del 2009.





La categorías predominantes son: **Usos especiales (OU)**, que corresponde a las zonas destinadas a actividades político administrativas, institucionales o de servicios públicos, que en algunos casos se han diversificado, como es el caso del aeropuerto y que con esta zonificación se viene reservando el área; y Comercio Metropolitano (CM).

5.2.8.3.3. Conflictos de Uso del Suelos en el Área de Estudio

Para realizar el análisis de los conflictos de uso de los suelos del área de estudio se ha tomado en consideración el mapa de capacidad de uso mayor y el uso actual de los suelos; en este sentido luego del análisis se tiene lo siguiente:

- La mayor parte de la superficie del área de estudio (88,03 %) está ocupado por las edificaciones residenciales, industriales e infraestructura vial.
- Solo el 11,97 % del área de estudio presenta Tierras Aptas para cultivos en limpio de calidad agrológica baja y tierras de protección.

En el cuadro siguiente se presenta el detalle de las observaciones de la comparación de los usos y la capacidad de uso mayor de tierras. Los conflictos de uso del área de estudio se presentan en el Mapa LBF-07.1. (Ver Volumen III Mapas).

Cuadro 5.2.8-7 Conflictos del uso del Suelos en el área de Influencia

Capacidad de Uso Mayor de las Tierras	Uso Actual de la	Conflictos de	lleo	Superl	ficie
Capacidad de Oso Mayor de las Tierras	Tierra	Commictos de	5 030	Ha	%
Tierras Aptas para cultivos en limpio, con limitaciones por fertilidad y riego	Planicies eriazas	Subutilizado	No	447,35	8,01
Tierras de Protección, materiales misceláneos	Planicies eriazas	Adecuado	No	174,67	3,13
Tierras de Protección, con limitaciones por suelo (fertilidad) e inundación.	Planicies eriazas	Adecuado	No	46,07	0,83
Otros (Zonas con Edificaciones e infraestructura Vial,	Río)			4913,49	88,03
TOTAL				5581,58	100,00

Luego del análisis se concluye que los terrenos del área de ampliación del AIJCH, se identificaron Tierras con aptitud agrícola, de baja fertilidad y limitaciones de riego, y Tierras de protección, con serias limitaciones para el desarrollo de actividades. Actualmente no se desarrolla ningún tipo de uso sobre estos terrenos; por lo tanto, son tierras subutilizadas y con uso adecuado, que no implican conflictos en la actualidad.





5.2.9. CALIDAD DE SUELO

El suelo, constituye un recurso natural de gran importancia que desempeña funciones en la superficie terrestre como reactor natural y hábitat de organismos, así como soporte de infraestructura y fuente de materiales no renovables. Las características del suelo son el resultado de una larga evolución hasta alcanzar un equilibrio con las condiciones naturales. Cabe indicar que la calidad de suelos depende de diversos factores ambientales como: la constitución geológica, la fisiografía, la hidrología y el clima, siendo también afectada por actividades antrópicas.

5.2.9.1. ESTÁNDARES DE COMPARACIÓN

Los parámetros a tomar en cuenta para la evaluación de la calidad de suelo, por la actividad que realizará LAP y que son exigidos por la autoridad mediante el D.S. Nº 011-2017-MINAM se describen a continuación. Ver Cuadro 5.2.9-1.

Cuadro 5.2.9-1 Parámetros y estándares para calidad de suelos

		Estándares	de Calidad Ambi	ental para Suelos*
Parámetro	Unidades	Suelo Agrícola	Suelo Residencial/ Parques	Suelo Comercial/ Industrial/ Extractivo
Arsénico	mg/kg	50	50	140
Bario total	mg/kg	750	500	2000
Cadmio	mg/kg	1.4	10	22
Cromo total	mg/kg	**	400	1000
Mercurio	mg/kg	6.6	6.6	24
Plomo	mg/kg	70	140	800
Fracción de Hidrocarburos F2 (C10-C28)	mg/kg	1 200	1 200	5 000
Fracción de Hidrocarburos F3 (C28-C40)	mg/kg	3 000	3 000	6 000

^{*}Decreto Supremo N° 011-2017-MINAM.

Elaborado por Walsh Perú S.A., 2018.

5.2.9.2. METODOLOGÍA DE EVALUACIÓN

Para el establecimiento de la línea base de calidad de suelos en el área de ampliación del AIJCH, se efectuó el levantamiento de información primaria, y la recopilación y procesamiento de información secundaria.

La información primaria se colectó a partir del muestreo de suelo superficial en la ex zona agrícola del área de ampliación del AIJCH (Ver Figura 5.2.9-1). Por otra parte, la información secundaria se recopiló a partir de los estudios presentados en el Cuadro 5.2.9-2.

^{**} El parámetro no aplica para el suelo de uso agrícola.





Figura 5.2.9-1 Ubicación de las zonas de estudio



Elaborado por Walsh Perú S.A., 2018.

Cuadro 5.2.9-2 Fuentes de investigación

Estudio	Año
Informe de Identificación de Sitios Contaminados del Aeropuerto Internacional Jorge Chávez.	2015
Identificación, Caracterización, Evaluación y Cuantificación de Pasivos Ambientales en los Terrenos de Ampliación del Aeropuerto Internacional Jorge Chávez.	2017

Elaborado por Walsh Perú S.A., 2018.

Estos estudios proporcionaron información relevante sobre los resultados de muestreo de suelo superficial¹, para la ex zona agrícola y la ex zona industrial del área de ampliación. Todos los resultados considerados se compararon con los ECA suelos y la evaluación del nivel de fondo.

5.2.9.3. PUNTOS DE MUESTREO

Evaluación de información primaria

El muestreo de calidad de suelo se llevó a cabo, según los lineamientos de la Guía de muestreo de suelos del MINAM (GMS). Para la captación de muestras, se elaboró y ejecutó un plan de muestreo

¹ Muestras analizadas por laboratorios acreditados por INDECOPI 2015 y por INACAL 2017





de suelo, el cual se presenta en el Anexo 5.2.9-3, las fichas de muestreo de suelo superficial se presentan en el Anexo 5.2.9-1.

La ubicación y detalles de los puntos de muestreo se presentan en el Cuadro 5.2.9-3, asimismo el Mapa LBF-14 (ver Anexo III Mapas) presenta la ubicación de los puntos de muestreo evaluados.

Evaluación de información secundaria

El Cuadro 5.2.9-3 presenta los puntos de muestreo secundarios, considerados para la evaluación de la calidad de suelo en el área de estudio. Cabe resaltar que los muestreos de suelo ejecutados para estos estudios siguieron los lineamientos requeridos por la GMS. Ver fichas de muestreo de suelo superficial en el Anexo 5.2.9-1.

5.2.9.4. EVALUACIÓN DE RESULTADOS

Los resultados de muestreo de suelo para evaluación de la calidad de este, como información primaria y la compilación de los resultados de muestreo de suelo superficial como información secundaria se presentan en los cuadros 5.2.9-4 y 5.2.9-5.

Adicionalmente el informe de ensayo y la cadena de custodia se presentan en el Anexo 5.2.9-2.



Cuadro 5.2.9-3 Puntos de muestreo para evaluación de calidad de suelo

■Walsh

Código de área de	Coordenadas	las WGS 84	N° de puntos	Profundidad de	Tipo do mustra	Zona Doforogal
muestreo	Este	Norte	de muestreo	muestreo (cm)	ipo de illuestra	ZOIIA NEIEIEIGIAI
Información Primaria						
		Modificación	del Estudio de Impa	Modificación del Estudio de Impacto Ambiental LAP (Julio 2017)	io 2017)	
SU-01	268 631	8 671 357	10	0 - 10	Compuesta	Ex zona agrícola
SU-02	268 592	8 670 177	10	0 - 10	Compuesta	Ex zona agrícola
SU-03	269 581	8 668 607	10	0 - 10	Compuesta	Ex zona agrícola
Información Secundaria						
Identificación	, Caracterización	ι, Evaluación y Cι	antificación de Pasi≀	vos Ambientales en los	Identificación, Caracterización, Evaluación y Cuantificación de Pasivos Ambientales en los Terrenos de Ampliación del AIJCH (2017)	el AIJCH (2017)
Pasivo código-01	268 231	8 671 727	1	0 - 10	Simple	Ex zona industrial
Pasivo código-05	268 123	8 671 780	1	0 - 10	Simple	Ex zona industrial
Pasivo código-18	267 852	8 671 776	1	0 - 10	Simple	Ex zona industrial
Pasivo código-34	267 964	8 672 076	1	0 - 10	Simple	Ex zona industrial
Pasivo código-41	267 847	8 672 231	1	0 - 10	Simple	Ex zona industrial
Pasivo código-47	267 539	8 672 260	1	0 - 10	Simple	Ex zona industrial
Pasivo código-53	267 559	8 671 700	1	0 - 10	Simple	Ex zona industrial
Pasivo código-54	267 559	8 671 322	1	0 - 10	Simple	Ex zona industrial
Pasivo código-55	267 995	8 671 419	1	0 - 10	Simple	Ex zona industrial
Pasivo código-141	268 679	8 668 444	1	0 - 10	Simple	Ex zona agrícola
MFA-1*	267 999	8 671 160	10	0 - 10	Compuesta	Ex zona industrial
MFA-2*	267 904	8 671 381	10	0 - 10	Compuesta	Ex zona industrial
MFA-3*	267 922	8 672 122	10	0 - 10	Compuesta	Ex zona industrial
		lISC del	Aeropuerto Internaci	IISC del Aeropuerto Internacional Jorge Chávez - (2015)	115)	
ZN-1	269 026	8 672 040	1	0 - 10	Simple	Ex zona agrícola
ZS-28	270 686	8 668 326	1	0 - 10	Simple	Ex zona agrícola
ZA-29	270 322	8 668 671	1	0 - 10	Simple	Ex zona agrícola
ZA-30	269 903	8 669 218	1	0 - 10	Simple	Ex zona agrícola
ZA-31	269 273	202 029 8	1	0 - 10	Simple	Ex zona agrícola

^{*} Muestras para evaluación de nivel de fondo antrópico en la ex zona industrial Elaborado por Walsh Perú S.A., 2018.

Cuadro 5.2.9-4 Resultados de muestreo de suelo superficial - Información primaria

			_				Pa	Parámetros (mg/kg)	λ/kg)		
ŝ	Código	Coordenadas O I M	S O I M WG304	Archine	Doug	ونسامي	o mor	O'allos O'N	Diomo	Fracciones de	Fracciones de hidrocarburos
		Este	Norte	Aiseilico	0	Cadillo		OLONIO		F2	F3
			Modificación del Estudio de Impacto Ambiental LAP (Julio 2017)	Estudio de Ir	npacto Am	biental LA	P (Julio 20	17)			
1	SU-01	268 631	8 671 357	2.56	191.6	0.17	29.1	< 0.010	9.03	00'5>	> 2.00
2	SU-02	268 592	8 670 177	1.09	137	60'0	33.4	< 0.010	6.14	00'5>	> 2.00
3	SN-03	269 581	8 668 607	1.88	168.5	0.15	30.1	< 0.010	8.57	00'5>	> 2.00
ECA 8	ECA suelo comercial/industrial/extractivo (D.S. N° 011-2017	ractivo (D.S. N° 0	11-2017-MINAM)	140	2000	22	1000	24	800	0009	0009
Filanta: Infr	Filente: Informe de ensavo SI IE MIT-17-00392 S-3429-PE SI IE: Suelo AGO	3429-PE SUE SUE	UEV								

Fuente: Informe de ensayo SUE MIT-17-00395 Elaborado por Walsh Perú S.A., 2018.

Cuadro 5.2.9-5 Resultados de muestreo de suelo superficial – Información secundaria

		W MIII sebenapaco	NS SW MIL				Par	Parámetros (mg/kg)	g/kg)		
°	Código	COOLUCIIANA	S O I IVI W G 304	۸۳۰۸	O.i.o	o impo	č	Morourio	Omolo	Fracciones de	Fracciones de hidrocarburos
		Este	Norte	Arsenico	Dallo	Cadimo	Cromo	Mercurio	FIOUR	F2	F3
	Identificación,	Caracterización, L	dentificación, Caracterización, Evaluación y Cuantificación de Pasivos Ambientales en los Terrenos de Ampliación del AIJCH (2017	ificación de l	Dasivos Am	bientales (en los Terre	nos de Am	pliación del	AIJCH (2017)	
4	Pasivo código-01	268 231	8 671727	-					-	7 287.00	15 445.00
2	Pasivo código-05	268 123	8 671780	-					-	677	750
9	Pasivo código-18	267 852	8 671776	-					-	8 443.00	13 286.00
7	Pasivo código-34	267 964	8 672076	-					-	1 420.00	15 750.00
∞	Pasivo código-41	267 847	8 672231	875.39	746.12	67.52	276.774	0.397	86 308.27	_	1
6	Pasivo código-47	267 539	8 672 260	-		-			-	5 221.00	6 492.00
10	Pasivo código-53	267 559	8 671 700	,						12 162.00	34 468.00
7	Pasivo código-54	267 559	8 671 322	19.467	110.337	1.889	51.467	1.775	829.972		ı
12	Pasivo código-55	267 995	8 671 419	,		,	,		-	1 744.00	7 171.00
13	Pasivo código-141	268 679	8 668 444	53.03	622.154	13.55	209.054	0.804	1635.68	-	ı
14	MFA-1	267 999	8 671 160	32.38	124.90	1.42	16.70	0.26	87.23	5>	29.00
15	MFA-2	267 904	8 671 381	42.96	211.8	2.09	28.77	0.26	136.52	2	46
16	MFA-3	267 922	8 672 122	26.47	875.04	22.94	245.74	1.19	1 882.38	205	451
			IISC del Aero	งC del Aeropuerto Internacional Jorge Chávez - (2015)	nacional Jo	rge Cháve	z - (2015)				
17	ZN-1	269 026	8 672 040	22.8	140.8	1.28	< 0.2	•	42.65	< 2	1
18	ZS-28	270 686	8 668 326	45.69	111.8	1.76	< 0.2	-	71.73	< 2	-
19	ZA-29	270 322	8 668 671	57.03	158.2	2.24	22.6	-	192.5	< 2	-
20	ZA-30	269 903	8 669 218	70.36	214.5	2.24	27.77	-	132.9	< 2	-
21	ZA-31	269 273	8 670 707	105.3	306.6	2.85	49.54		173.3	< 2	1
ECA s	ECA suelo comercial/industrial/extractivo (D.S. N° 011-2017-MINAM)	tractivo (D.S. N° 0	11-2017-MINAM)	140	2 000	22	1 000	24	800	2 000	000 9
IISC: Infori	IISC: Informe de identificación de sitios contaminados	aminados									

MFA: muestras de nivel de fondo antrópico en la ex área industrial Fuente: Informe de ensayo 4072/2015 ALS CORPLAB, 2015. Informes de ensayo MA1713162, MA1713442, MA1713182, MA1713836 SGS, 2017. Elaborado por Walsh Perú S.A., 2018.





5.2.9.5. EVALUACIÓN DE LA CALIDAD DE SUELOS

5.2.9.5.1 INFORMACIÓN PRIMARIA – EVALUACIÓN EX ZONA AGRÍCOLA

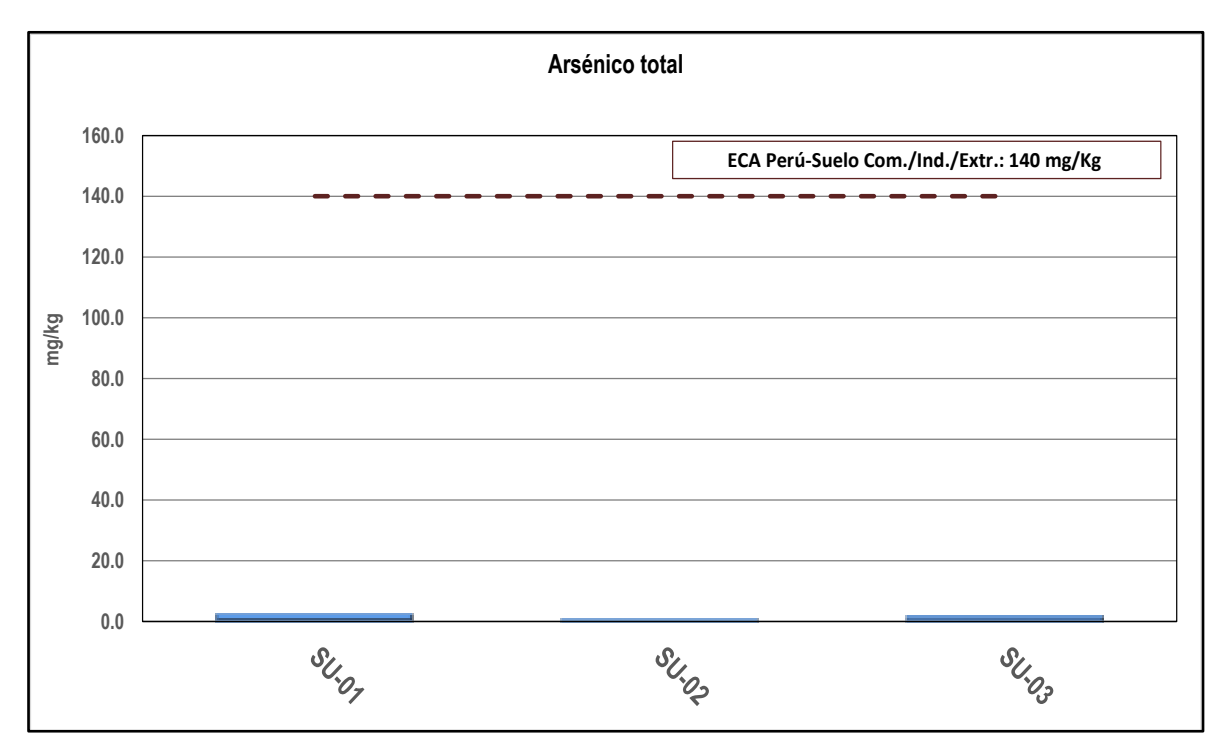
Tal como se registra en los cuadros de características de los puntos muestreados, la información primaria se ha obtenido en la ex zona agrícola del área del proyecto.

Parámetros inorgánicos

Arsénico total

Las concentraciones de Bario Total en las muestras de suelo superficial evaluadas SU-01, SU-02 y SU-03, no excedieron los ECA suelo (140 mg/kg). Ver Figura 5.2.9-2.

Figura 5.2.9-2 Concentración de As total en los puntos de evaluación



Elaborado por Walsh Perú S.A., 2017

Bario total

Las concentraciones de Bario Total en las muestras de suelo superficial evaluadas; SU-01, SU-02 y SU-03, registraron 2.56 mg/kg, 1.09 mg/kg, 1.88 mg/kg, respectivamente, no excediendo el ECA suelo (D.S. 011-2017-MINAM: 2000 mg/kg).

Cadmio total

Las concentraciones de Cadmio Total en las muestras de suelo superficial evaluadas SU-01, SU-02 y SU-03, registraron 0.17 mg/kg, 0.09 mg/kg, 0.15 mg/kg, respectivamente, no excediendo el ECA suelo (D.S. 011-2017-MINAM: 22 mg/kg).

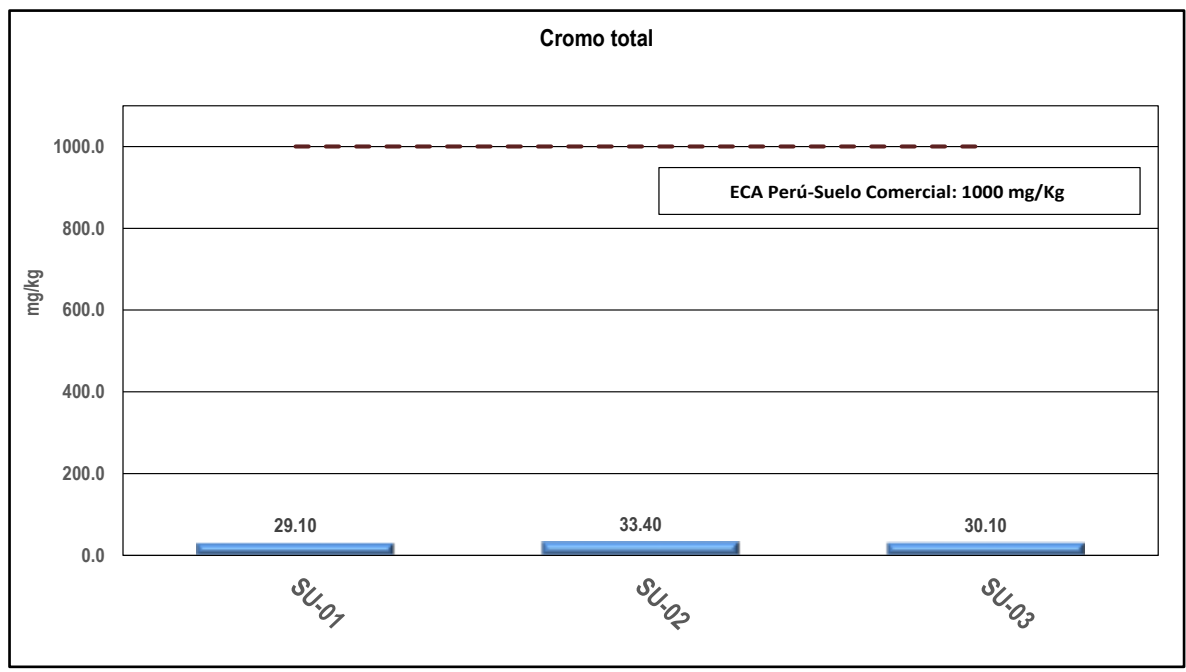




Cromo total

Las concentraciones de Cromo Total en las muestras de suelo superficial evaluadas SU-01, SU-02 y SU-03 registraron 29.1 mg/kg, 33.4 mg/kg, 30.1 mg/kg, respectivamente, no excediendo el ECA suelo (D.S. 011-2017-MINAM: 1000 mg/kg). Ver Figura 5.2.9-3.

Figura 5.2.9-3 Concentración de Cr total en los puntos de evaluación



Elaborado por Walsh Perú S.A., 2018.

Mercurio total

Las concentraciones de Mercurio Total en las muestras de suelo superficial evaluadas SU-01, SU-02 y SU-03 registraron en los tres casos menor a límite de detección del método estandarizado utilizado por el laboratorio acreditado (<0.010). Por tanto no excede el ECA suelo (D.S. 011-2017-MINAM: 24 mg/kg).

Plomo total

Las concentraciones de Plomo Total en las muestras de suelo superficial evaluadas SU-01, SU-02 y SU-03, registraron 9.03 mg/kg, 6.14 mg/kg, 8,57 mg/kg, respectivamente, no excediendo el ECA suelo (D.S. 011-2017-MINAM: 800 mg/kg).

Parámetros orgánicos

Fracciones de hidrocarburos F2

Las concentraciones de Fracciones de hidrocarburos F2, en las muestras de suelo superficial evaluadas SU-01, SU-02 y SU-03, registraron en los tres casos menor a límite de detección del método estandarizado utilizado por el laboratorio acreditado (<5.00 mg/kg). Por tanto no excede el ECA suelo (D.S. 011-2017-MINAM: 5 000 mg/kg).





Fracciones de hidrocarburos F3

Las concentraciones de Fracciones de hidrocarburos F2, en las muestras de suelo superficial evaluadas SU-01, SU-02 y SU-03, registraron en los tres casos menor a límite de detección del método estandarizado utilizado por el laboratorio acreditado (<5.00 mg/kg). Por tanto no excede el ECA suelo (D.S. 011-2017-MINAM: 6 000 mg/kg).

5.2.9.5.2 INFORMACIÓN SECUNDARIA – EVALUACIÓN EX ZONA INDUSTRIAL

La información secundaria proviene de muestreos realizados en la zona ex industrial del área del proyecto.

Parámetros inorgánicos

Arsénico total

Los resultados para evaluación de nivel de fondo antrópico en la ex área industrial (MFA-1, MFA-2 y MFA-3) presentados como información secundaria no superaron ECA suelo. Sin embargo el pasivo código 41 presenta concentraciones que si exceden los ECA suelo, estas concentraciones confirman la existencia de este pasivo. Ver Figura 5.2.9-4.

Arsénico total 1000.0 900.0

Figura 5.2.9-4 Concentración de As total en los puntos de evaluación

800.0 700.0 600.0 500.0 400.0 300.0 ECA Perú-Suelo Com./Ind./Extr.: 140 mg/Kg 200.0 100.0 0.0

Elaborado por Walsh Perú S.A., 2017

Bario total

En todos los casos las muestras de suelo superficial evaluadas no excedieron los ECA suelo para este parámetro.

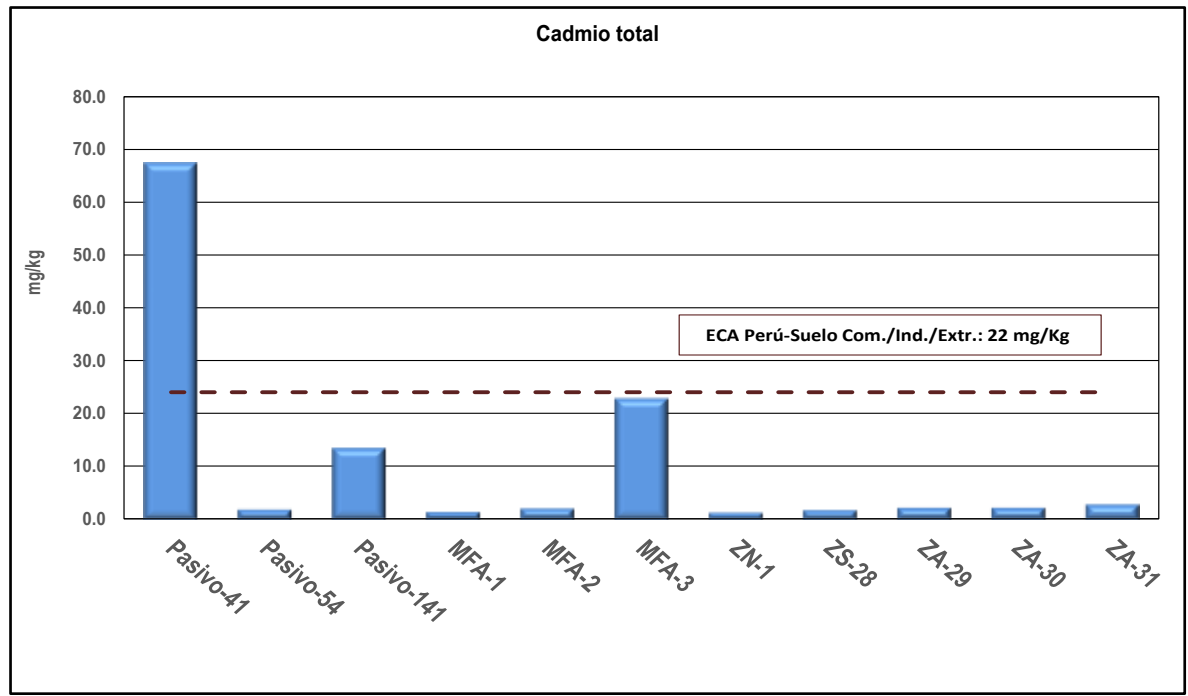




Cadmio total

En este parámetro las muestras SU-01, SU-02 y SU-03 no reportaron excedencias de ECA suelo. Sin embargo, los resultados presentados como información secundaria correspondientes al pasivo código 41 y a la muestra de evaluación nivel de fondo antrópico MFA-3, excedieron el ECA suelo para uso industrial/comercial/extractivo, estas concentraciones confirman la existencia del pasivo 41. Es posible que las concentraciones en MFA-3 se deban a su cercanía con el pasivo 41, ya que el viento pudo transportar partículas del pasivo 41 y depositarlas en el suelo superficial del área MFA-3. Ver Figura 5.2.9-5.

Figura 5.2.9-5 Concentración de Cd total en los puntos de evaluación



Elaborado por Walsh Perú S.A., 2018.

Mercurio total

En todos los casos las muestras de suelo superficial analizadas no excedieron los ECA suelo para este parámetro.

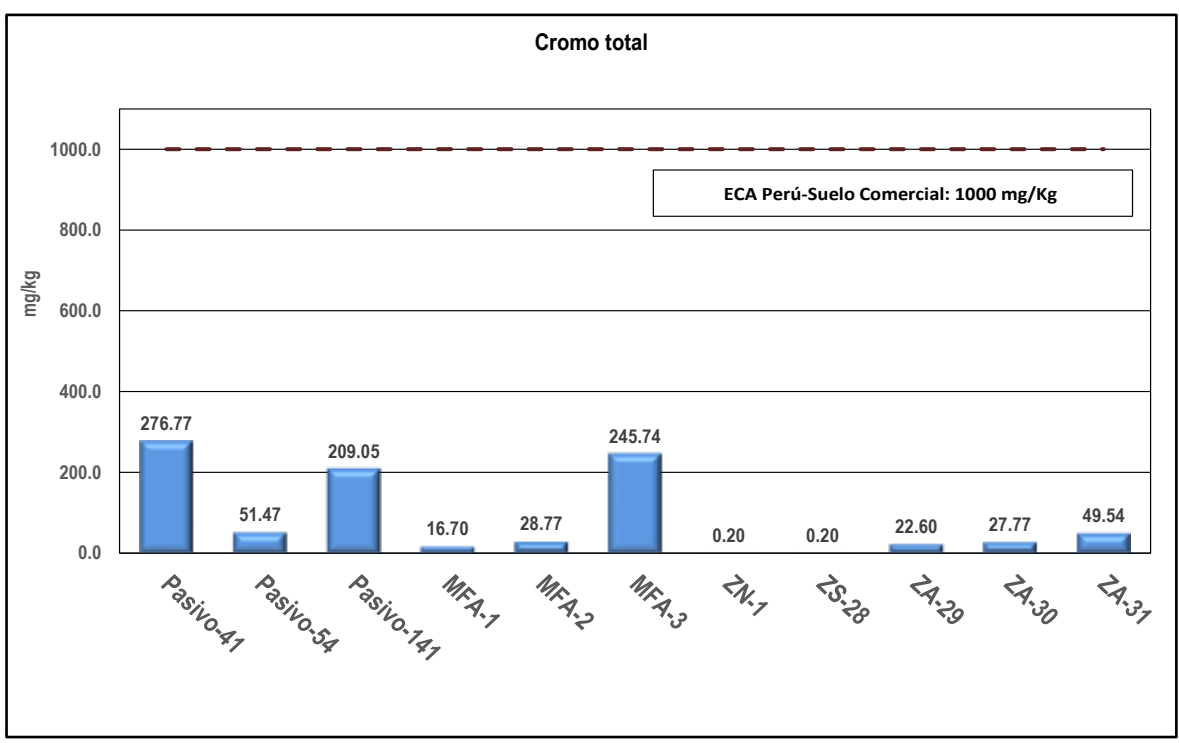
Cromo total

En todos los casos las muestras de suelo superficial evaluadas no excedieron los ECA suelo para este parámetro.





Figura 5.2.9-6 Concentración de Cr total en los puntos de evaluación



Elaborado por Walsh Perú S.A., 2018.

Plomo total

Los resultados presentados como información secundaria correspondientes a los pasivos código 41, 54, 141 y a la muestra de evaluación nivel de fondo antrópico MFA-3, excedieron el ECA suelo para uso industrial/comercial/extractivo, estas concentraciones confirman la existencia de los pasivos código 41, 54 y 141. Ver Figura 5.2.9-7. En particular este gráfico está| realizado en escala logarítmica a fin de que los valores puedan representarse en una magnitud compresible.

Cabe resaltar que el pasivo código 41 está ubicado en la ex zona industrial, en esta área se pueden encontrar restos de baterías en el suelo. Los pasivos código 54 y 141 corresponden a botaderos en la ex zona industrial y ex zona agrícola respectivamente. Ver Fichas de muestreo en el Anexo 5.2.9-1.

Parámetros orgánicos

Fracciones de hidrocarburos F2

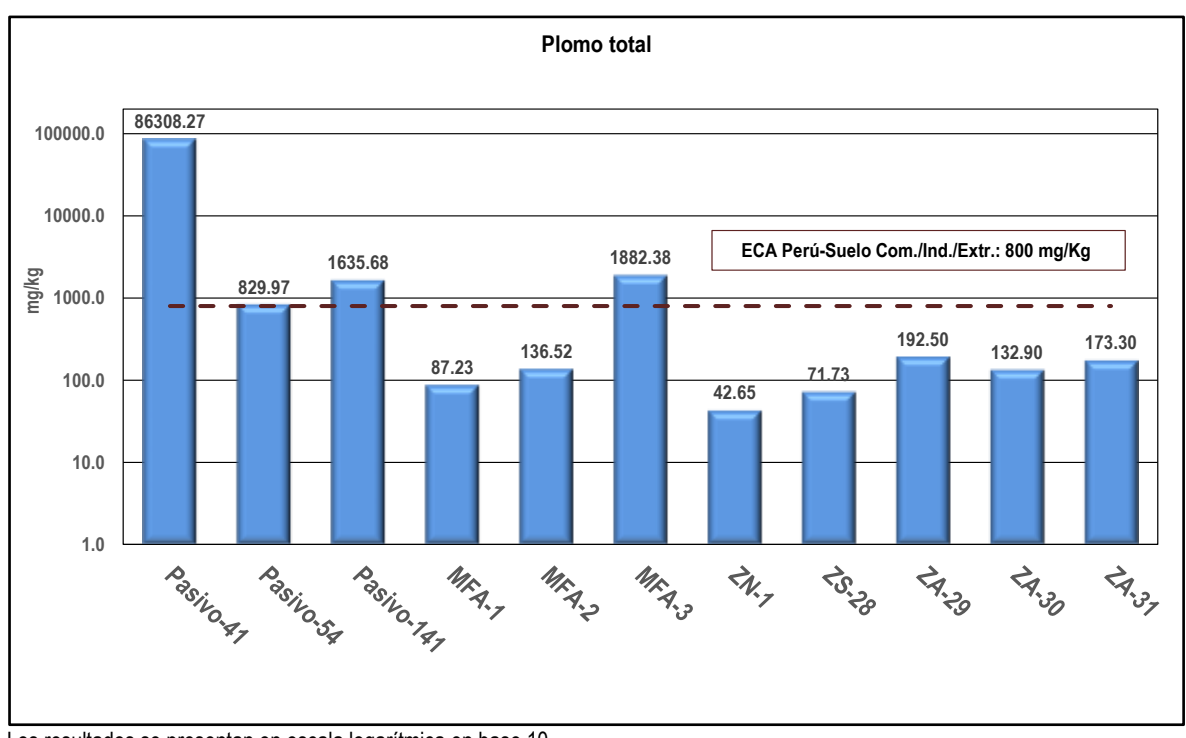
Las muestras correspondientes a los pasivos con códigos: 01, 18, 47 y 53; excedieron los ECA suelo para uso de suelo industrial/comercial/extractivo.

Cabe resaltar que en estos pasivos se pueden visualizar manchas de hidrocarburo en el suelo. Ver Fichas de muestreo en el Anexo 5.2.9-1.



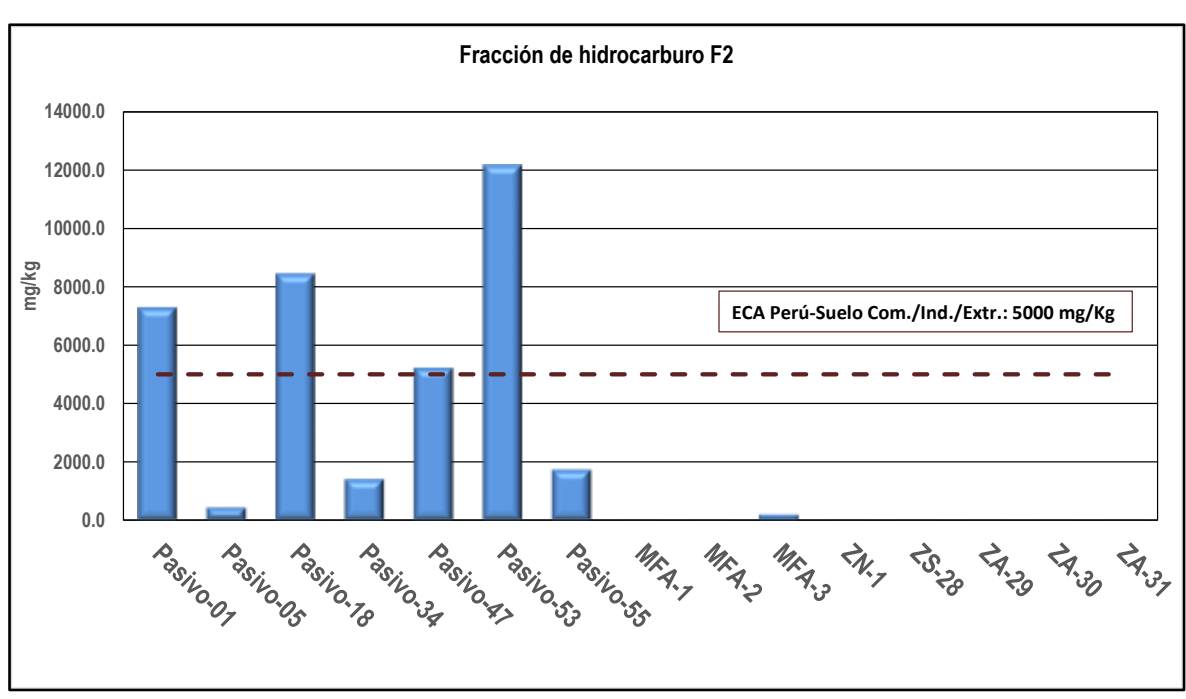


Figura 5.2.9-7 Concentración de Plomo total en los puntos de evaluación



Los resultados se presentan en escala logarítmica en base 10. Elaborado por Walsh Perú S.A., 2018.

Figura 5.2.9-8 Concentración de Fracciones de hidrocarburo F2 en los puntos de evaluación



Elaborado por Walsh Perú S.A., 2018.

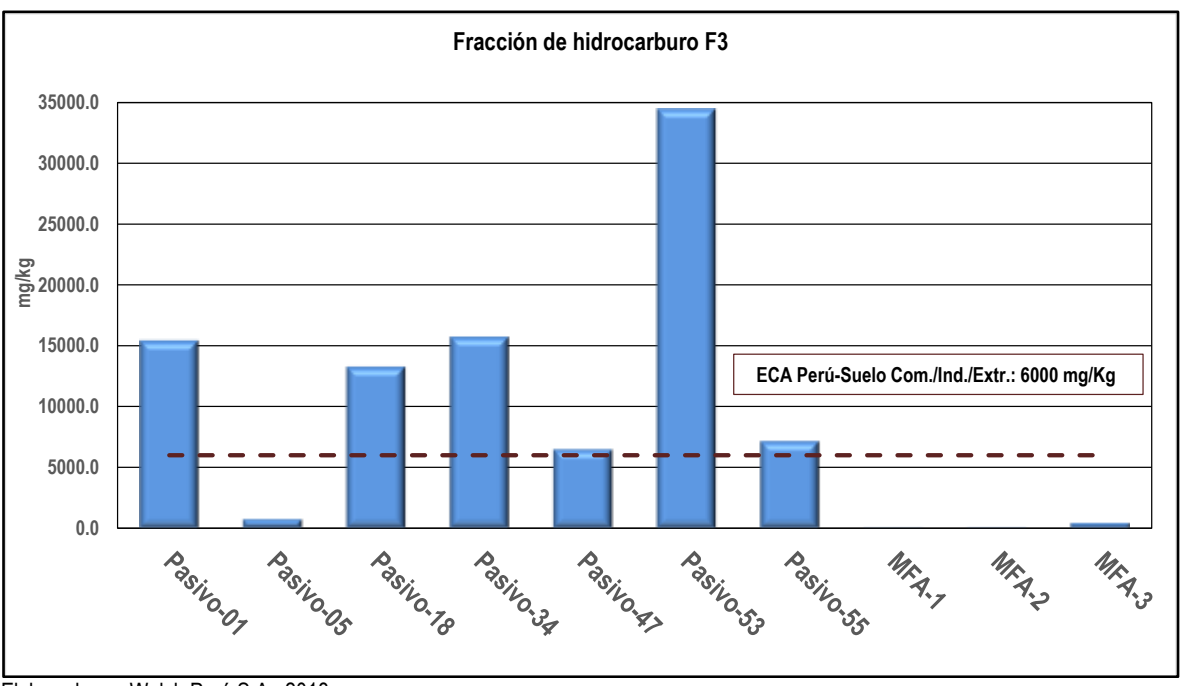




Fracciones de hidrocarburos F3

La evaluación de la información secundaria presentó excedencias en los puntos de muestreo de identificación de los pasivos con códigos 01, 18, 34, 47, 53 y 55.

Figura 5.2.9-9 Concentración de Fracciones de hidrocarburo F3 en los puntos de evaluación



Elaborado por Walsh Perú S.A., 2018.

Cabe resaltar que estos pasivos presentan remanentes de derrames de hidrocarburo sobre el suelo. Ver fichas de muestreo en el Anexo 5.2.9-1.

5.2.9.6. CONCLUSIONES

Información primaria

Las muestras captadas para evaluación de calidad de suelo en la ex zona agrícola (SU-01, SU-02 y SU-03), no presentaron excedencias de los ECA suelo en ninguno de los parámetros evaluados.

Información secundaria

De acuerdo a la información secundaria, en los resultados para la evaluación de nivel de fondo antrópico en la ex zona industrial (pasivos ambientales), los parámetros de plomo total, y fracciones de hidrocarburos F2 y F3 fueron los que superaron los ECAs suelo en la mayor cantidad de estaciones, mientras que en menor cantidad fueron los metales como plomo, cadmio y arsénico. El Cuadro 5.2.9-6 presenta un resumen de las excedencias.



Cuadro 5.2.9-6 Resumen de excedencias de ECA suelo

Código de pasivo	As	рЭ	Cr	Pb	F2	F3	Zona de evaluación	Descripción del pasivo
1				-	X	×	Ex zona industrial	Derrames de hidrocarburos y materiales con hidrocarburos sobre el suelo.
18	,	-	1	1	×	×	Ex zona industrial	Remanentes de derrames de hidrocarburos
34	1	1	1	1	1	×	Ex zona industrial	Suelo con hidrocarburo
41	×	×	1	×	1		Ex zona industrial	Restos de baterías sobre el suelo
47	1	-	1	1	×	×	Ex zona industrial	Suelo con hidrocarburo
53	,	-	1	1	×	×	Ex zona industrial	Remanentes de derrames de hidrocarburos y botadero
54	1	-	1	×	1		Ex zona industrial	Botadero
55	-	-	-	-		×	Ex zona industrial	Remanentes de derrames de hidrocarburos
141	-	-	-	×	-	-	Ex zona agrícola	Botadero
MFA-3		×		×			Ex zona industrial	Área de evaluación de nivel de fondo antrópico
i			١					

Fuente: Elaborado por Walsh Perú S.A., 2018.





5.2.10. HIDROLOGÍA, HIDROGRAFÍA E HIDROGEOLOGÍA

5.2.10.1. HIDROLOGÍA E HIDROGRAFÍA

Este capítulo se desarrolla a partir de un análisis de cuencas hidrográficas, en este caso de la cuenca del río Rímac, la cual se ubica en la vertiente del pacifico, con una altitud que comprende desde los 0 hasta poco más de 5 000 m s.n.m. y que no tiene relación con las obras y operación del proyecto, por lo que al no tener una influencia directa, para el presente estudio hidrológico se ha recurrido a la revisión bibliográfica de estudios existentes, complementado con el reconocimiento del trabajo de campo.

5.2.10.1.1. Estudios de la Cuenca del río Rímac

A. Cuenca del río Rímac¹

La cuenca del río Rímac es una de las cuencas hidrográficas más importantes del país, al encontrarse dentro de ella la capital del Perú, desempeñando un rol vital como fuente de abastecimiento de agua para el consumo humano, agrícola y energético. Se origina en la vertiente occidental de la cordillera de los Andes a una altitud de aproximadamente 5 508 msnm, en el nevado Paca y aproximadamente a 132 km al nor-este de la ciudad de Lima, desemboca en el océano Pacífico. El área total de captación es de 3132 km², que incluye aquella de sus principales tributarios, Santa Eulalia (1097,7 km²) y Río Blanco (193,7 km²), tiene en total 191 lagunas.

Conforme la cuenca se eleva de Lima hacia su fuente en la cordillera, el valle del río varía de un amplio plano costero, sobre el cual se encuentra emplazada la ciudad de Lima; a un perfil de valle bien definido que sirve de soporte a actividades agrícolas y a importantes centros de población tales como Vitarte, Chaclacayo, Chosica, Ricardo Palma y Matucana. En las partes más altas de la cuenca, al Este de Surco (altura de 2 200 m s.n.m.), el valle se vuelve extremadamente angosto con paredes laterales con un talud muy empinado.

B. Evaluación de los Recursos Hídricos en la Cuenca del río Rímac²

Esta evaluación contiene el estudio hidrológico realizado en la cuenca del río Rímac; cuyo objetivo principal es proporcionar información para el ordenamiento y gestión de los recursos hídricos. El estudio contiene aspectos concernientes a la descripción de las características geomorfológicas de la cuenca, climatología, pluviometría, hidrometría, disponibilidad hídrica, modelación y generación de caudales medios mensuales, demandas hídricas, balance hídrico, máximas avenidas y sequías, y la ubicación de las nuevas estaciones hidrométricas en la cuenca del río Rímac.

La cuenca del río Rímac está localizada entre los 11°36'52" y 12°05'47" de latitud Sur y entre los 76°11'05" y 77°04'36" de longitud Oeste. El río Rímac está formado por las subcuencas de los ríos Santa Eulalia y San Mateo que, al unirse a la altura de la ciudad de Chosica, forman el río principal que pasa por la ciudad de Lima.

¹ 1994 Instituto Nacional de Recursos Naturales, Ministerio de Agricultura

² 2010 Autoridad Nacional del Agua, Ministerio de Agricultura





La cuenca como sistema hidrográfico tiene una superficie de drenaje, desde las nacientes hasta la desembocadura al mar de su colector principal, el área de la cuenca es de 3503,95 km2, de la cual 2302,1 km² corresponde a la cuenca húmeda, que representa el 65,7 % sobre los 2500 00 m s.n.m. altitudinalmente se desarrolla desde el nivel del mar hasta los 4700 00 m.s n.m. que corresponde al abra Atincona en Ticlio. En el contorno de la cuenca hay cumbres con más de 4750 m s.n.m. de altitud. Dentro de las cuencas de la costa peruana, la del río Rímac es una de las más explotadas, se han construido centrales hidroeléctricas como: Matucana, Huinco, Callahuanca, Moyopamapa y Huampani. Además del uso principal para el agua potable y de generación de energía, sus aguas satisfacen la demanda de uso agrícola de las áreas cultivables que aún existen en el valle. Con el fin de afianzar el caudal del río Rímac se represó quince (15) lagunas de la cuenca alta del río Santa Eulalia, con un volumen regulado de 77 hm³; y de la Represa de Yuracmayo con 48.30 hm³. Estos recursos son de la cuenca propia del río Rímac. Algunas de estas obras de represamiento fueron construidas a fines del siglo pasado y comienzos del actual. El aporte de lagunas y trasvases está dirigido principalmente al uso energético y poblacional y su regulación es significativa en el periodo de estiaje. El aporte por trasvases y regulaciones del sistema Marcapomacocha (Mantaro) es de 157.05 hm³. El total de sistemas de regulación y trasvases es de 282,35 hm³. (Fuente: EDEGEL).

5.2.10.2. HIDROGRAFÍA

La cuenca del río Rímac, políticamente se encuentra ubicada en su mayoría en el departamento de Lima y en menor proporción en el departamento de Junín, enmarcándose en la provincia de Lima, Huarochirí y Yauli. La superficie total de la cuenca del río Rímac es de 3,503.95 km², compuesto por nueve unidades hidrográficas de nivel 5 (subcuenca Bajo Río Rímac, quebrada Jicamarca, Jicamarca-Santa Eulalia, Río Santa Eulalia, Santa Eulalia-Párac, Quebrada Párac, Párac-Alto Río Rímac, Alto Río Rímac y Río Blanco). La cuenca del río Rímac corresponde a la región de humedad de húmedo-subhúmedo-árido y a la región de temperatura mesotérmico.

La disponibilidad hídrica total anual de la cuenca del río Rímac es de 781,92 hm³, donde el volumen de 642,48 hm³ corresponde al 75 % de persistencia de la estación Chosica y el 139,45 hm³ corresponde al caudal promedio del Túnel Trasandino. La fuente hídrica corresponde a aguas superficiales de la cuenca. La demanda hídrica total actual en la cuenca Rímac es de 635,0 hm³/año, distribuidas en uso agrícola de 105,15 hm³, uso poblacional 501,44 hm³, uso minero 27,46 m³ y uso industrial 0,95 hm³. El uso poblacional es de mayor significancia en la cuenca de estudio. La cuenca del río Rímac presenta déficit hídrico en los meses de junio a noviembre y el superávit en los meses de diciembre a mayo, de la comparación entre la oferta y la demanda hídrica resulta un exceso anual de 146,92 hm³/año.





Figura 5.2.10-1 Ubicación geográfica de la cuenca del río Rímac



Fuente: 2010. Autoridad Nacional del Agua, Ministerio de Agricultura





5.2.10.2.1. Características Morfométricos

La cuenca del río Rímac nace en los andes centrales a una altitud superior a los 4 000 msnm y desemboca en la costa, es decir en apenas un poco más 100 km de recorrido presenta una gran diferencia de altitud. El río está alimentado por tributarios de segundo, tercer y hasta un sexto orden en el que drenan sus aguas hacia el colector principal. A continuación se presenta las características morfométricas de la cuenca del río Rímac.

Cuadro 5.2.10-1 Parámetros geomorfológicos de la cuenca del río Rímac

		Paráme	tros de Forma de l	a Cuenca		
Área (km²)	Perímetro (km)	Longitud (km)	Ancho Promedio (km)	Coeficiente de Compacidad	Factor de Forma	Razón de Circularidad
3503,9	419,5	127,02	27,58	2	0,22	0,25
Parámetros de Relieve de la Cuenca						
Altitud media	Pendiente media (m/m)	Coeficiente de Torrencialidad	Coeficiente Orográfico	Coeficiente de Masividad	Altitud de Frecuencia Media	Altitud más frecuente
2939,87	0,0293	0,3	0,0007	0,0004	3372	Entre 4400 a 5000
Parámetros de la Red Hidrográfica						
Numero de Orden de los ríos	l Densidad	Pendiente media del río principal m/m	Tiempo de Concentración	Altura media del río principal	escurrimien	n media de to superficial ²/km
6	0,5-3,5	0,0445	0,52-4,43	2825	0,94	4-3,0

Fuente: Evaluación de los Recursos Hídricos en la Cuenca del río Rímac

2010 Autoridad Nacional del Aqua, Ministerio de Agricultura

5.2.10.2.2. Caudales

La serie de caudales medios mensuales del río Rímac registrados en la Estación Chosica para el periodo setiembre 1967 a diciembre 2004 fueron utilizados como descriptores de la oferta hídrica media anual del río Rímac:

Caudal medio multianual: 32.0 m³/s

Máximo caudal medio multianual: 140,6 m³/s

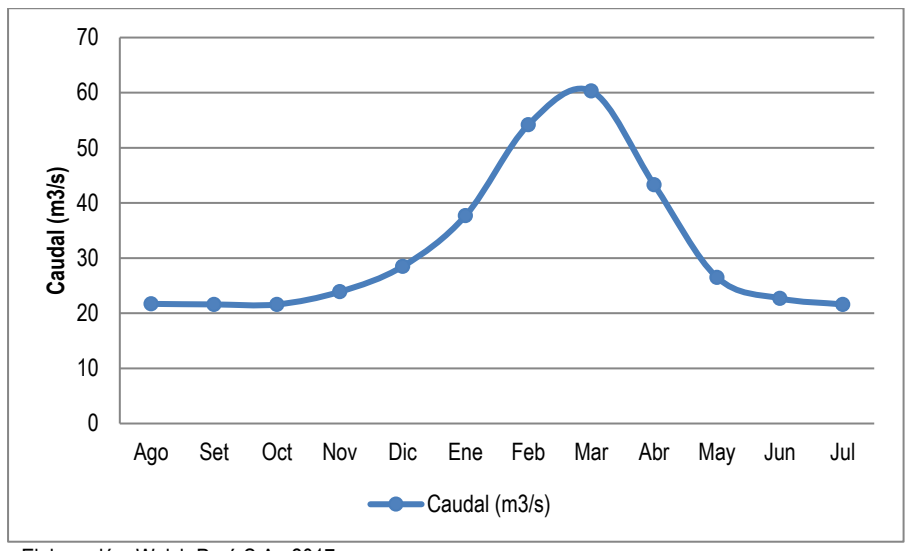
Mínimo caudal medio multianual: 9,6 m³/s

Los valores de los caudales es muy variable ya que responden a las precipitaciones que ocurren sobre todo en las partes medias y altas de la cuenca del río Rímac, así se evidencia años en donde los caudales pueden incrementarse sensiblemente como el ocurrido en marzo del año 1972 con un caudal de 140.6 m³/s, o el ocurrido en el año 1975 del mismo mes en el que el caudal promedio llego hasta 100 m³/s. por otro lado se evidencian meses en donde el caudal está por debajo de 10 m³/s, valores bastante frecuentes en los meses entre junio u agosto. La variación temporal de los caudales medios mensuales del río Rímac se muestra en el Anexo 5.2.10-1.





Figura 5.2.10-2 Régimen anual del caudal promedio del río Rímac



Elaboración: Walsh Perú S.A., 2017

Sin embargo los valores promedios de los caudales son algo más moderados entre cada mes, así se evidencia que los valores más elevados se presentan en los meses de verano estos oscilan entre 35 m³/s (enero) a 60 m³/s (marzo), luego de estos meses de verano los caudales van descendiendo paulatinamente hasta los meses en donde los caudales llegan a estar por debajo de 10 m³/s (junio-agosto), luego de este último mes por la llegada de lluvias, los caudales se irán incrementando paulatinamente, estos caudales van desde 20 a 40 m³/s. producto de todos estos valores se presenta un caudal anual de 32,0 m³/s, todos estos valores evidencian una cuenca relativamente lluviosa en donde los caudales promedios pudieran significar algún riesgo sobre las actividades humanas y sobre todo en las zonas contiguas a las márgenes.

5.2.10.2.3. Máximas avenidas.

Los valores de las máximas avenidas para diferentes periodos de retorno, indican que estas oscilan entre 128,8 a 145,3 m³/s para periodos de retorno entre 25 a 200 años respectivamente.

Cuadro 5.2.10-2 Caudales máximos a nivel del valle del Río Rímac (m³/s)

Periodo de Retorno (años)	Caudales Máximos (m³/s)
25	128,88
50	138,90
75	140,10
100	140,67
200	145,37

Fuente: Evaluación de los Recursos Hídricos en la Cuenca del río Rímac

2010 Autoridad Nacional del Agua, Ministerio de Agricultura





5.2.10.3. HIDROGEOLOGÍA

En esta sección se describen los aspectos hidrogeológicos más relevantes del área de influencia. Dadas las particulares condiciones hidrogeológicas existentes, y se hará particular énfasis en los niveles freáticos, aspecto crítico para el desarrollo del proyecto.

5.2.10.3.1. Aspectos geológico-geomorfológicos

Aspecto geológico

En el área donde se ubica el AIJCH y su zona de ampliación predominan largamente los depósitos aluviales constituidos por materiales acarreados por el rio Rímac. (Plano HG-01, del Anexo 7 del Estudio Hidrogeológico de la MEIA del AIJCH).

Al norte del área de estudio, en el Cerro La Regla se aprecia afloramientos de la Formación Cerro Blanco, al este, en el Cerro Mulería de la Formación Puente Inga y en el Cerro La Milla, se observa el contacto de las Formaciones Ventanilla y Cerro Blanco. Estas formaciones, todas ellas componentes del Grupo Puente Piedra del Cretáceo Inferior, suprayacen a los volcánicos Santa Rosa que constituye la base de la columna geológica de Lima. Sobre estas formaciones se han depositado los aluviones del cono deyectivo, considerándose como el basamento hidrogeológico.

• Aspecto geomorfológico

El sector donde se encuentra el Aeropuerto Internacional Jorge Chávez y su ampliación se ubica en la unidad geomorfológica denominada faja costera formada por los depósitos fluvio-aluviales del cono de deyección del rio Rímac, antes de alcanzar el litoral marino. El ápice de este cono se encuentra en las primeras estribaciones andinas de la Cordillera Occidental a la altura de Ate y su base coincide con la línea costera, parte de la cual ha sido erosionada dando lugar a los acantilados de la Costa Verde.

Limita hacia el sur con los afloramientos del Cerro Morro Solar y hacia el norte cubre parte del abanico del rio Chillón hasta unos 3 kilómetros al norte del Aeropuerto.

La zona es bastante plana, con una pendiente promedio de 1.2 % observándose que, al noreste del área de estudio, emergen pequeños afloramientos de formaciones pre cuaternarios, y un poco más alejados afloramientos de rocas intrusivas.

Los procesos erosivos intensos y las fuertes precipitaciones, ocurridos en las partes altas generaron una gran cantidad de materiales que fueron transportados a las partes bajas y se acumularon formando el cono aluvial, que, según resultados de la investigación geofísica, en el lugar de estudio alcanza espesores del orden de los 200 m.

En general, los materiales acumulados en el cono de deyección, visto a través de cortes y perforaciones existentes, presentan secuencias de estratos decrecientes con dominio de facies conglomeráticas, donde en la parte superior del abanico aluvial, hasta una profundidad de 35m predominan los cantos rodados, heterométricos y polimícticos con matriz arenosa y poca arcilla, aumentando su contenido de sedimentos finos a profundidades mayores.





Las unidades geomorfológicas locales, presentes en el área de estudio, están compuestas por unidad de playa, cono deyectivo, terrazas aluviales, cauce del rio Rímac y humedales.

5.2.10.3.2. Investigaciones hidrogeológicas

En esta sección se presentan los resultados de los estudios e investigaciones realizadas para la caracterización de la litología, granulometría, estructura y determinar las resistividades y espesores de las capas geoeléctricas del suelo, o basamento, en el área de estudio. Esta interpretación está basada en estudios técnicos de la zona y se presenta en el ítem 9.0, del mismo nombre, que forma parte del Estudio Hidrogeológico de la MEIA del AIJCH (Anexo 5.2.10-2).

Prospección geotécnica

Se realizó el estudio de investigación geotécnica³, estas investigaciones se llevaron a cabo por medio de calicatas, perforaciones y ensayos in situ. Las perforaciones rotativas para la instalación de 8 piezómetros (P-PERM-01 al P-PERM-08), de 10 m. de profundidad, distanciados en promedio 500 m.

En el cuadro 5.2.10-3 se presenta la caracterización geotécnica del perfil 17-17' (Plano HG-02, del Anexo 7 del Estudio Hidrogeológico de la MEIA del AIJCH).

Cuadro 5.2.10-3 Unidades geotécnicas del perfil geotécnico 17-17'

Unidad	Suelo	Descripción	SUCS	Posible uso
U0a	Relleno antrópico	Mezcla de suelos con restos de demolición, residuos de materiales de construcción y basura doméstica.		Ninguno
U0b	Suelo de cultivo	Suelos de granulometría fina con raíces.	CL, ML.	Cobertura de taludes.
U1a	Limo y arena	Limos inorgánicos no plásticos y arena.	ML, SM, SC-SM, SP-SM.	Cobertura de taludes.
U1b	Arcilla	Arcilla de mediana plasticidad.	CH, CL, CL-ML.	Ninguno.
U2	Grava	Grava pobremente gradada con arena y boloneria, con finos de baja a nula plasticidad.	GW, GP, GP- GM, GP-GC, GM.	Relleno de terraplenes.

Fuente: Estudio Hidrogeológico de la MEIA del AIJCH. Walsh Perú S.A., 2018.

Prospección geofísica

Se ejecutó con el fin de conocer las características del subsuelo, tanto su naturaleza y estructura, permitiendo estimar la litología de sus diferentes capas, así como de sus respectivas resistividades y espesores.

El método utilizado en la prospección geofísica ha sido el Sondeo Eléctrico Vertical con la configuración Schlumberger, cuyo objetivo fue determinar la presencia de diversos horizontes (acuíferos), a lo largo de las secciones generadas y en ellas diferenciar la litología del suelo, horizontes, resistividad y espesores de capas geoeléctricas y la profundidad del basamento.

-

³ Estudio del Consorcio RS&H/COSAPI





En el trabajo de campo se ejecutaron 31 sondajes eléctricos verticales (SEV)⁴ cuya distribución y ubicación se aprecia en el siguiente gráfico.

Figura 5.2.10-3 Ubicación de los SEVs y sus cortes geoléctricos



Fuente: Estudio Hidrogeológico de la MEIA del AIJCH. Walsh Perú S.A., 2018.

La interpretación de los SEV se presenta en el 9.2 del Estudio Hidrogeológico de la MEIA del AIJCH (Anexo 5.2.10-2). Por los resultados obtenidos se concluye que en la zona prospectada el subsuelo se encontraría bien saturado de agua como para poder desarrollar un programa de perforación de pozos tubulares entre 40 y 60 m. de profundidad.

De los SEVs que se encuentran cerca de la zona del humedal presentan valores de resistividad alta, lo que constituye un depósito saturado de grano grueso y medio que ofrecen una buena permeabilidad.

Inventario de Fuentes de agua

Consistió en la recopilación de información in-situ de las fuentes de agua natural (manantiales o quebradas) y artificial (pozos y piezómetros).

✓ Fuentes de agua superficial:

En la zona de estudio no existen fuentes de agua superficial, tales como ríos, quebradas o canales de regadío, sin embargo, es importante resaltar que al sur y junto al área de estudio se ubica el río Rímac.

⁴ Estudio Hidrogeológico del Consorcio Túnel Gambetta, 2014.





✓ Fuentes de agua subterránea:

Se han identificado y monitoreado veinte (20) piezómetros: Doce (12) piezómetros en los márgenes del túnel Gambetta, construidos por el Consorcio Túnel Callao, con registros a partir de julio del 2014; y ocho (08) piezómetros, ubicados en lo que será la segunda pista del AIJCH, construídos durante los trabajos de investigación geotécnica con fines de pavimentación de la segunda pista y calles de rodaje, cuyos registrados datan desde enero del 2017.

Además, Se han identificado y monitoreados 21 pozos artesanales de concreto como de ladrillo, ubicados en lo que será la segunda pista del AIJCH. Los pozos llevan la codificación P-60, monitoreada a fines de marzo y mayo del 2018

Las coordenadas de las fuentes de agua subterráneas identificadas se presenta en el Cuadro 9-2 del Estudio Hidrogeológico de la MEIA del AIJCH (Anexo 5.2.10-2) y la distribución espacial se presenta en el plano de ubicación de puntos de monitoreo (HG-04, del Anexo 7), del mismo estudio.

De acuerdo con el inventario de fuentes de agua subterránea realizada en mayo de 2018, donde han identificado diferentes pozos (tubulares y artesanales / operativos y abandonados) y piezómetros, donde se ha logrado medir la profundidad del nivel freático; ha permitido construir las isolíneas de las isoprofundidades de la napa.

En el Mapa de Isoprofundidades LBF-08 (ver Volumen III Mapas), se presentan en superposición con los componentes proyectados de la ampliación del aeropuerto; se ha determinado que todas las infraestructuras (excepto la pista de aterrizaje y despegue N°2) estarán ubicadas en zonas donde el nivel freático se encuentra a una profundidad mayor a los 2.5 m, esto quiere decir que los cimientos de dichas infraestructuras no serán impactas por el agua subterránea.

5.2.10.3.3. Unidades Hidrogeológicas

A partir del estudio de prospección geofísica del estudio hidrogeológico del Túnel Gambetta⁵ se presenta cuatro (04) unidades hidrogeológicas que poseen un comportamiento hidráulico particular. Ver Volumen III Mapa Hidrogeológico y Modelo Conceptual (LBF-10).

Unidad Hidrogeológica R1

Corresponde a la capa que va casi desde la superficie del suelo. La capa ha sido identificada con resistividad que varía entre 11 y 60 ohm-m, relacionado a materiales de origen aluvial de grano grueso, medió y fino en estado seco. Su espesor es de 2.00 m aproximadamente.

Unidad Hidrogeológica R2

Se encuentra debajo de la capa superficial, presentando resistividades que varían entre 74 y 130 ohm-m que se relaciona a la ocurrencia de materiales de grano grueso, como: canto rodado, grava, gravilla y arena. Su espesor oscila entre 4.00 m y 20.00 m. Los materiales serian de buena permeabilidad y se encontrarían saturados de agua.

Unidad Hidrogeológica R3

Se ubica subyaciendo al depósito R2, con resistividad que oscila entre 42 y 63 ohm-m, relacionado a materiales de grano medio y fino, como: gravilla, arena y arcilla. Este depósito se encontraría

⁵ Estudio Hidrogeológico del Consorcio Túnel Gambetta, 2014.





también saturado de agua, constituyendo parte del relleno acuífero. Su espesor varía entre 30.00 m y 63.00 m y seria de mediana a alta permeabilidad.

Unidad Hidrogeológica R4

Última capa de la columna litológica prospectada, identificada con valores de menor resistividad; entre 21 y 34 ohm-m asociado a sedimentos compuesto y mezclado principalmente de grano fino, poco permeable como, arena arcilla.

5.2.10.3.4. El acuífero

El reservorio del acuífero yace sobre los depósitos fluvio – aluviales de los ríos Chillón y Rímac, presentándose, así como un acuífero libre; aun cuando hay presencia de una capa de arcilla que pudiese originar que acuífero se comporte como semi cautivo, en general está constituido por depósitos no consolidados del cuaternario, constituido por cantos rodados, grava, arena y arcilla.

Se ha identificado una estructura acuífera con saturación de agua a partir de 3.0 m de profundidad aproximadamente y compuesta por dos depósitos acuíferos (superior e inferior), el superior compuesto por el horizonte R2 que se ubica debajo de la capa de relleno de cobertura aluvial y está constituida por materiales permeables, con un espesor promedio de 15 m, mientras que el inferior está compuesto por el horizonte R3, localizado debajo del horizonte acuífero superior, constituida por materiales menos permeables con un espesor promedio de 50 m. De lo anterior se puede concluir que el espesor promedio del acuífero es de 65 m

A. Características hidráulicas del acuífero

El Estudio Hidrogeológico de MEIA del AIJCH (Anexo 5.2.10-2), para la determinación de las características hidráulicas del acuífero: transmisividad, conductividad hidráulica y coeficiente de almacenamiento, se basa en los estudios anteriores realizados dentro del área del proyecto, como son los estudios de abastecimiento de agua al AIJCH (1973), Tramo 3B del estudio Gambetta (2014) y el estudio de Expansión del AIJCH (2017).

Transmisividad

El coeficiente de transmisividad es especialmente importante porque indica cuánta agua se moverá a través del acuífero y, por lo tanto, es una medida de la capacidad del acuífero para transmitir agua. De acuerdo al Cuadro 5.2.10-4, la transmisividad varía de 753 m²/día a 2400 m²/día, representativo de acuíferos productivos.

Cuadro 5.2.10-4 Valores de transmisividad (T) de 3 estudios inmersos en el área de estudio

Estudio Hidrogeológico	Año	Transmisividad (T)
Captación de aguas subterráneas para el abastecimiento de agua al "Aeropuerto Internacional Jorge Chávez"	1973	1641.6 m²/día
Tramo 3B Túnel Gambetta	2014	2400 m ² /día
Expansión del AIJCH	2017	753.0 m ² /día

Fuente: Estudio Hidrogeológico de la MEIA del AIJCH. Walsh Perú S.A., 2018.

Conductividad hidráulica

La permeabilidad es una medida de la velocidad del agua en el acuífero, se define como el *rate* de flujo de agua en metros cúbicos por segundo que fluye a través de un metro cuadrado del acuífero,





cuando se impone una gradiente unitaria. El valor de la permeabilidad se ha inferido a partir del Cuadro 5.2.10-5 donde muestra una variación 9.9 a 32.8 m/día.

Cuadro 5.2.10-5 Valores de conductividad hidráulica (K) de 3 estudios inmersos en el área de estudio

Estudio Hidrogeológico	Año	Conductividad Hidráulica (K)
Captación de aguas subterráneas para el abastecimiento de agua al "Aeropuerto Internacional Jorge Chávez"	1973	32.8 m/día
Tramo 3B Túnel Gambetta	2014	19.0 m/día
Expansión del AIJCH	2017	9.9 m/día

Fuente: Estudio Hidrogeológico de la MEIA del AIJCH. Walsh Perú S.A., 2018.

Coeficiente de almacenamiento

El coeficiente de almacenamiento es un parámetro que indica el volumen del agua que puede liberar el acuífero, útil en el cálculo de las reservas de las aguas subterráneas.

Para acuíferos, como el del sector de estudio, ella representa la producción específica del material desaguado durante el bombeo; por lo tanto, el coeficiente de almacenamiento indica cuánta agua se encuentra almacenada en la formación con posibilidades de ser removidas por bombeo. El coeficiente de almacenamiento estimado es del 6 % en base los estudios anteriores.

Cuadro 5.2.10-6 Valores de almacenamiento (S) de 3 estudios inmersos en el área de estudio

Estudio Hidrogeológico	Año	Coeficiente de Almacenamiento (S)
Captación de aguas subterráneas para el abastecimiento de agua al "Aeropuerto Internacional Jorge Chávez"	1973	0.05
Tramo 3B Túnel Gambetta	2014	0.06
Expansión del AIJCH	2017	0.06

Fuente: Estudio Hidrogeológico de la MEIA del AIJCH. Walsh Perú S.A., 2018.

5.2.10.3.5. Hidrogeoquímica

Para la ejecución del presente estudio, se han considerado estudios previos sobre la hidroquímica de aguas subterráneas en los alrededores del Aeropuerto Internacional Jorge Chávez. Entre estos se cuentan los siguientes estudios: Expediente Técnico de la ejecución de la obra: "Tramo III B del Proyecto de Mejoramiento de la Av. Néstor Gambetta - Callao" y Modificación del Estudio de Impacto Ambiental del Aeropuerto Internacional Jorge Chávez (octubre, 2017)

Los análisis realizados en laboratorio fueron: aniones, metales totales, metales disueltos, microbiológicos hidrocarburos, PCB's, compuestos fenólicos y ésteres ftalatos. El detalle de los análisis realizados se puede apreciar en la cadena de custodia y los métodos analíticos utilizados por Laboratorio AGQ, en el Anexo 2 del Estudio Hidrogeológico de la MEIA del AIJCH (Ver Anexo 5.2.10-2).

Las ubicaciones de las estaciones de monitoreo se localizan en las coordenadas señaladas en el Cuadro 5.2.10-7. En el Plano HG-09 Ubicación de Puntos de Hidrogeoquímica (ver Anexo 7 del Anexo 5.2.10-2) se puede observar la ubicación del área de estudio y los puntos de muestreo.





Cuadro 5.2.10-7 Ubicación de las estaciones de monitoreo en el estudio hidrogeológico

Código de	Fuente	Zon	a 18 L	Mue	streo
Estación	Fuente	Este (m)	Norte (m)	Fecha	Hora
D-17	Humedal	268323	8671904	30-03-2018	09:00 am.
D-13	Humedal	268150	8671112	30-03-2018	10:00 am.
P-PERM-06	Humedal	268011	8670859	30-03-2018	10:30 am.
P-PERM-08	Humedal	267608	8671740	30-03-2018	11:00 am.
P-PERM-04	Humedal	268455	8669962	30-03-2018	12:15 pm.
AG-03	Agua superficial	267676	8671099	27-03-2018	11:15 pm.
AG-04	Agua superficial	267745	8671014	27-03-2018	09:45 pm.
24	Agua superficial	267638	8671796	09-03-2018	16:15 pm.
25	Agua superficial	267765	8671869	09-03-2018	16:50 pm.
26	Agua superficial	267842	8671744	09-03-2018	17:30 pm.

Caracterización hidrogeoquímica del Agua subterránea

Se desarrolla la caracterización hidrogeoquímica del agua existente en el humedal de la zona de estudio. Se han realizado análisis por medio de diagramas de Piper, Stiff y Pie. Para el desarrollo de estos gráficos, se utilizó el programa AquaChem®.

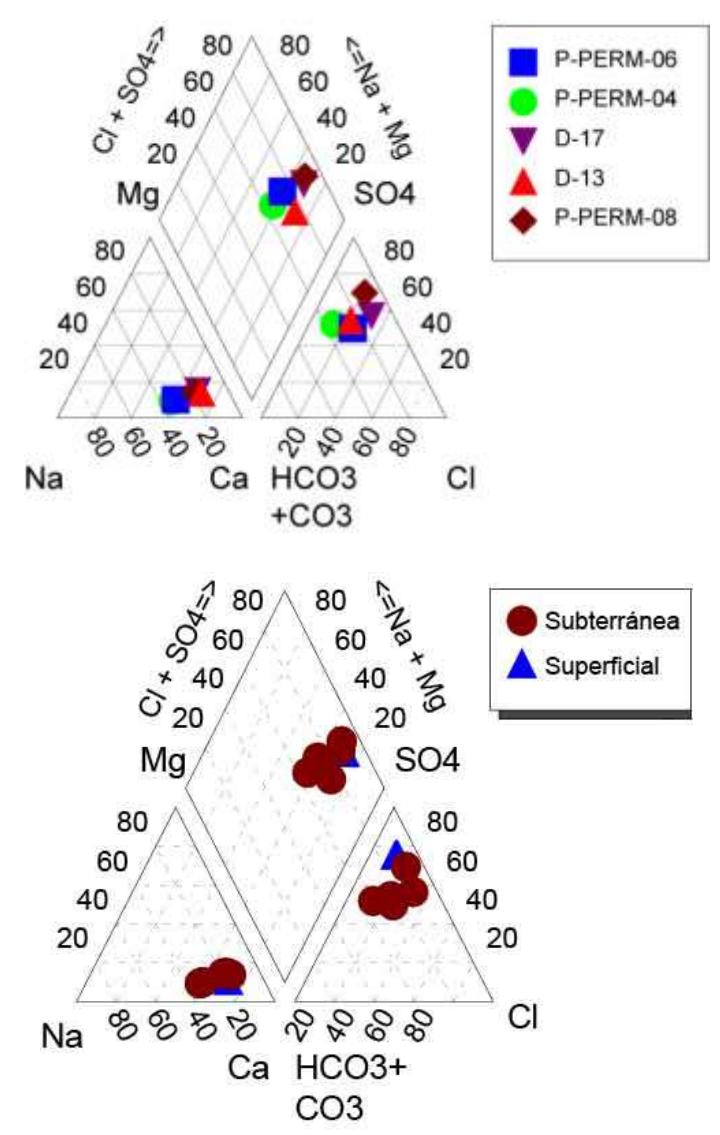
Del mismo programa, se realizó la clasificación hidroquímica del agua superficial y subterránea.

Se observa que, tanto el agua superficial como el agua subterránea existente en la zona de estudio son del tipo sulfatada-cálcica, lo cual se puede comprobar por medio del análisis del diagrama de Piper (Figura 5.2.10-4). Se observa que, en todas las estaciones de monitoreo, las concentraciones de calcio y sulfatos predominan sobre el resto de iones mayoritarios, aun cuando se hace la diferencia entre aguas superficiales y aguas subterráneas.





Figura 5.2.10-4 Diagrama de Piper para el agua del humedal en la zona de estudio



Elaboración: Estudio Hidrogeológico de la MEIA del AIJCH. Walsh Perú S.A., 2018

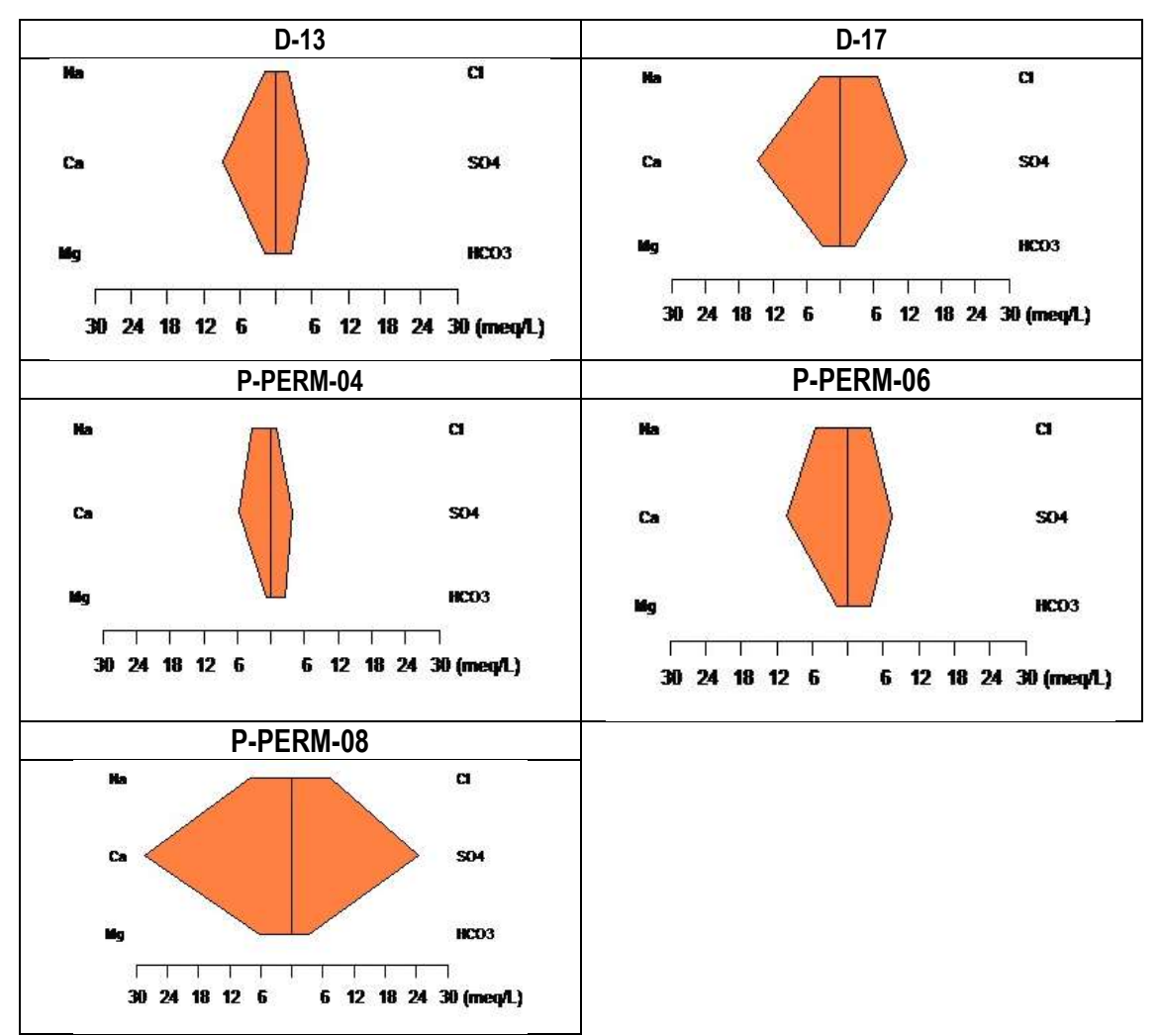
Se observa que, indiscutiblemente, el calcio es el catión predominante sobre el resto de cationes, a pesar que el sodio, en las estaciones P-PERM-04 y P-PERM-06 alcanzan las mayores concentraciones en el área de estudio. Así también, indiscutiblemente, el sulfato es el anión predominante sobre el resto de aniones en el agua subterránea. Para dar más detalle de la distribución de iones mayoritarios, se presenta el plano de Diagramas de Pie (HG-10, del Anexo 7).

Finalmente, del análisis de los Diagramas de Stiff en las estaciones de monitoreo (Figuras 5.2.10-5) y el plano de distribución (HG-11, del Anexo 7), se reafirma la predominancia del calcio y del sulfato en la composición del agua subterránea. Además, se observa una mayor concentración de iones mayoritarios en las estaciones D-17 y P-PERM-08, siendo esta última, la de mayores concentraciones de iones mayoritarios en el agua subterránea.





Figura 5.2.10-5 Diagramas de Stiff en las estaciones de monitoreo

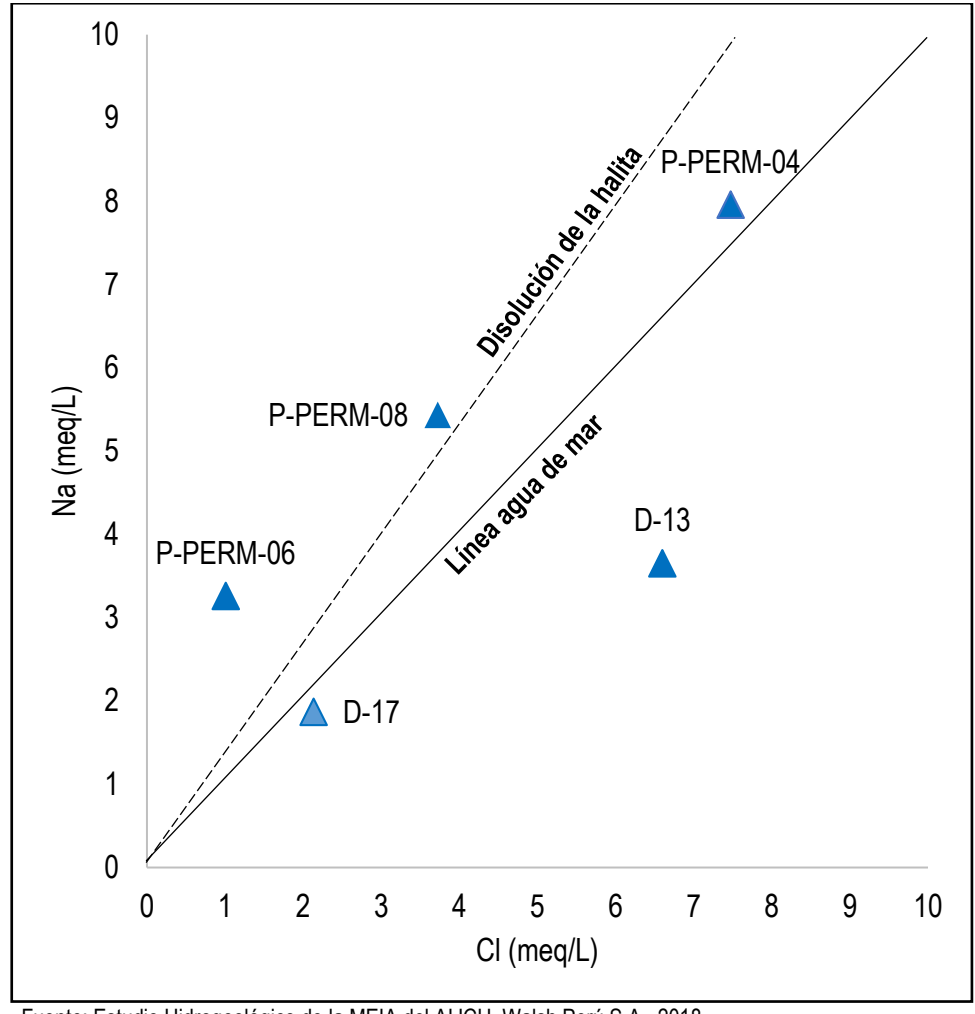


En la Figura 5.2.10-6, se utiliza el diagrama rNa/rCl para determinar la procedencia de los iones sodio y cloro en el agua subterránea. Para ello, se trazaron dos líneas que se correlacionan en una gráfica Cl vs. Na: la primera en relación a la disolución de la halita (ratio de 1:1) y la segunda, en relación al agua de mar (ratio de 0,75). Así, se observan que en la estación de monitoreo P-PERM-04, el agua corresponde a agua de mezcla, con presencia de aporte de cloruros y posible incremento del ion sodio por procesos de intercambio catiónico con las arcillas, que podría indicar aguas con aportes por lavado de materiales salinos. Por otro lado, las aguas subterráneas de los puntos D-13 y D-17 se sitúan por debajo de la línea de agua de mar, donde se evidencia una mayor concentración de cloruros en comparación con el sodio, lo cual muestra que el agua, en estos puntos, no interacciona con sales aportantes de sodio al agua, y que mantiene sus propiedades químicas sin mezclarse con otro tipo de agua, conservando su concentración de cloruros. Por otro lado, los puntos P-PERM-06 Y P-PERM-08 se sitúan por encima de la línea de disolución de la halita, lo cual evidenciaría la disolución de precipitados de sales existentes en minerales, tales como yeso, halita, entre otros.





Figura 5.2.10-6 Diagrama rNa/rCl para el agua subterránea en la zona de estudio



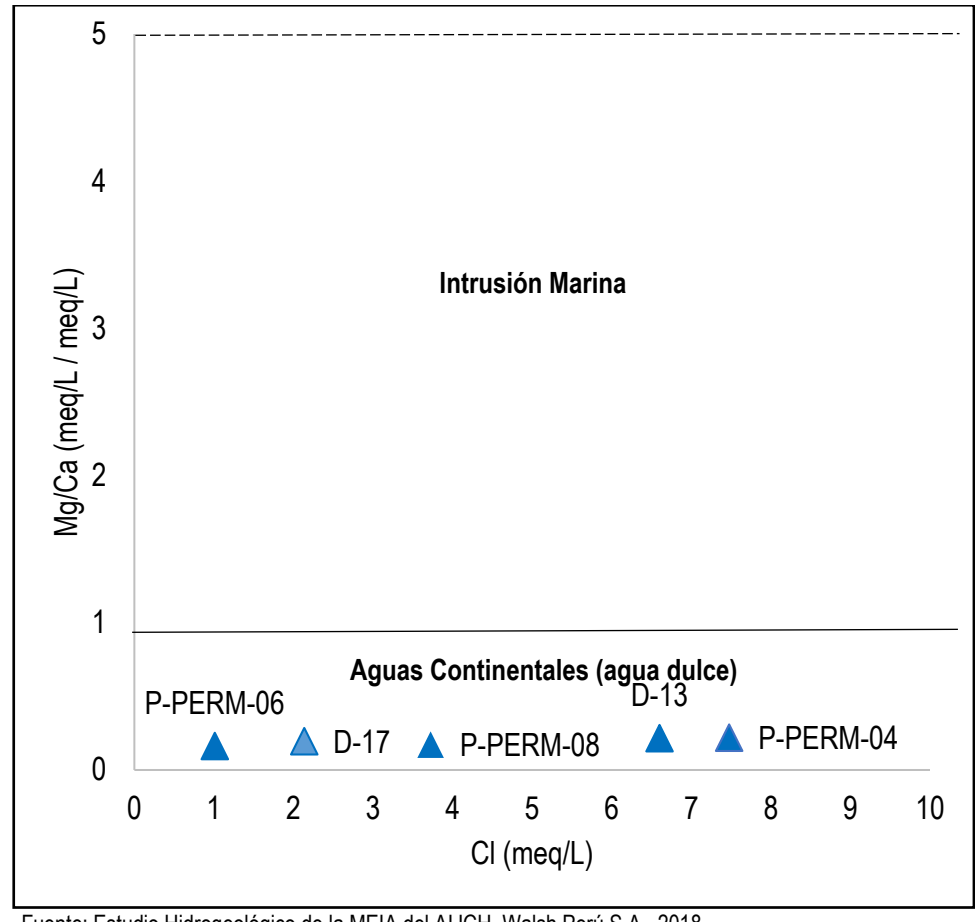
En el gráfico 5.2.10-7, se utiliza el diagrama rMg/rCa (Custodio y Llamas, 1996) para evaluar la posibilidad de intrusión marina o el aporte de las aguas de mar de forma natural, al agua subterránea en la zona de estudio. Se sabe que las aguas continentales presentan valores de ratio rMg/rCa entre 0,2 y 1; y el agua de mar presenta una ratio mayor o igual a 5. Los valores que se encuentran entre 1 y 5 constituyen un índice para determinar la existencia de intrusión salina y/o aporte del agua de mar.

Para el caso del presente estudio, en todas las estaciones de monitoreo, el comportamiento del agua subterránea no evidencia intrusión marina, al presentarse valores menores a la unidad en la relación Mg/Ca, similares a las aguas continentales.





Figura 5.2.10-7 Diagrama rMg/rCa para el agua subterránea de la zona de estudio



Si bien, en el diagrama rMg/rCa (Figura 5.2.10-7) se ha descartado preliminarmente la presencia de intrusión marina en el agua subterránea, con el diagrama rNa/rCl (Figura 5.2.10-6) se evidenció mezcla de aguas continentales y agua de mar para la estación P-PERM-04. Debido a que esta estación de monitoreo presenta la mayor concentración de cloruros en toda la zona de estudio (Ver Anexo 2 del Estudio Hidrogeológico de la MEIA de AIJCH), se puede inferir que, en efecto, existe intrusión marina en este punto, y que, posiblemente la disolución de minerales con calcio y magnesio, hayan alterado el resultado de la evaluación de Mg/Ca para esta estación de monitoreo.

5.2.10.3.6. Balance Hídrico

Esta sección se basada en el ítem 11 del Estudio Hidrogeológico de la MEIA del AIJCH (Anexo 5.2.10-2), del mismo nombre, contempla los principios de conservación de la masa y continuidad, y la ley de Darcy, por tratarse de un régimen laminar que circula lentamente a través de los poros de la formación geológica del acuífero. Para realizar el balance hídrico se tomaron las consideraciones descritas a continuación.





5.2.10.3.6.1. Geometría del acuífero

Se ha considerado un nivel freático con una profundidad media de 11 metros y un espesor saturado productivo de 200 metros, el cual fue determinado por la información recopilada en el estudio hidrogeológico del consorcio Túnel Gambetta (2014), la geología de la cuenca baja del río Rímac, información de los pozos existentes en el área de estudio tomados del inventario de la ANA y SEDAPAL; y los resultados de la interpretación geoeléctrica de 15 sondajes SEVs realizados en el área de estudio para la "Memoria descriptiva para solicitar la Autorización de ejecución de estudio de disponibilidad hídrica subterránea con perforación de pozo exploratorio" (LAP, 2018).

El espesor saturado se ha considerado de acuerdo al potencial del acuífero dado la profundidad de los depósitos aluviales (depósitos cuaternarios permeables), los cuales llegan a tener una potencia de 200 metros en el área de estudio.

Figura 5.2.10-8 Sección geológica A-A' del área de estudio

Fuente: Estudio Hidrogeológico de la MEIA del AIJCH. Walsh Perú S.A., 2018.

Asumiendo un nivel freático constante a lo largo del año, ya que la variación del nivel freático es mínima con respecto a la potencia del espesor saturado estimado, se calcula que el área trasversal del acuífero productivo será de 1'059,200 m². Asimismo, el área superficial del volumen de control es 22'704,502.5 m² y una longitud horizontal de 5,296 m. (Anexo 3, del Estudio Hidrogeológico de la MEIA del AIJCH).

5.2.10.3.6.2. Disponibilidad de Agua subterránea

A partir de capítulo de la hidráulica subterránea, presentado en el ítem 11.2 del del Estudio Hidrogeológico de la MEIA del AIJCH (Anexo 5.2.10-2), que básicamente proviene de estudios anteriores; se determinaron los parámetros hidráulicos a utilizar para los cálculos justificativos del balance hídrico, que básicamente son los promedios tomados de los estudios de Captación de aguas subterráneas para el abastecimiento de agua al Aeropuerto Internacional Jorge Chávez y del estudio Tramo 3B del Túnel Gambetta. A continuación, se resumen dichos valores:

El valor de la Transmisividad calculada dada las características descritas del acuífero detrítico es en promedio: T = 2020.8 m²/día (Transmisividad muy alta).

El valor de la Permeabilidad calculada dada las características descritas del acuífero detrítico es en promedio: K = 25.9 m/día (Permeabilidad Alta).

El valor del coeficiente de almacenamiento calculado dada las características descritas del acuífero detrítico es en promedio: S = 0.053.





Recarga Regional

Al gradiente de presiones en la dirección del flujo, la fórmula de Darcy toma la forma tal como sigue:

Q = KIA

Siendo:

K = 25,90 m/d/a

L = 4306 m

h1 = 25 m

h2 = 7 m

I= 0,00418 (gradiente hidráulica)

 $A = 1'059,200 \text{ m}^2$

A = Esat*Lhor

Esat = 200 m (Espesor saturado productivo promedio del volumen de control)

Lhor = 5,296 m (Longitud horizontal del volumen de control)

Por lo que el caudal resulta en 114,676.97 m3/día. En un año el volumen ascenderá a 41' 857,094.66m3.

Aporte por infiltración del rio Rímac

El tramo del río Rímac que más libertad tiene de liberar por infiltración al acuífero local se considerará a partir del inicio del cono deyectivo del Río Rímac, el cual tiene una longitud de 8350 metros. Asimismo, el caudal de infiltración debido a este aporte asciende a 1.01 m³/s (ver Cuadro 11-1). Siendo 4,534 metros el tramo del río que se superpone a la superficie del volumen de control. Por lo tanto, el caudal que el río aporta al acuífero es de 0.55 m³/s ó 17'295,097.8 m³/año.

Cuadro 5.2.10-8 Entradas de agua al acuífero del Rímac

Entradas	Caudal m³/s
Flujos afluentes de entrada	5.52
Flujos afluentes naturales	0.04
Infiltración del río	1.01
Infiltración por riego	1.34
Fugas de red	4.80
Total	9.71

Fuente: ANA. Diciembre, 2010. "Evaluación de los recursos hídricos en la cuenca del Río Rímac".

Los aportes por fuga de red y aportes por riego se considerand despreciables, ya que en el primer caso el número de viviendas sobre la superficie del volumen de control con respecto al número total de viviendas del casco urbano que cuenta con red de agua y desagüe.; y en el segundo no existen terrenos de cultivo en la zona.

5.2.10.3.6.3. Demanda y salidas del sistema

Se cuenta con información de volúmenes anuales de pozos registrados en el "Inventario Nacional de fuentes de Agua Subterránea" elaborado por la Autoridad Nacional del Agua al 2017, el cual suma un volumen total de 35'548,956.0 m³. En este inventario se han considerado los 02 Pozos (Pozo 1 y Pozo 2) con los que actualmente cuenta el aeropuerto para su abastecimiento.





En el área de estudio se ha tomado en consideración las siguientes salidas del sistema:

Pérdida por aprovechamiento de agua subterránea

Se cuenta con información de volúmenes anuales de pozos registrados en el "Inventario Nacional de fuentes de Agua Subterránea" elaborado por la Autoridad Nacional del Agua al 2017, el cual suma un volumen total de 35'548,956.0 m3. En este inventario se han considerado los 02 Pozos (Pozo 1 y Pozo 2) con los que actualmente cuenta el aeropuerto para su abastecimiento.

Pérdida por descarga al mar

Este volumen se ha estimado el aforo del canal Tiwinza en donde se midió un caudal puntual de 0.73 m3/s y asumiendo que se mantiene constante durante el año, el volumen total anual asciende a 23'052,816.00 m3. (Ver fichas de campo en el Anexo 5, del Estudio Hidrogeológico de la MEIA del AIJCH).

Pérdida por afloramiento de agua subterránea

Este volumen corresponde a las Lagunas que forman parte del Humedal existente en el sector oeste del área de estudio y se ha estimado mediante batimetría. El Cuadro 5.2.10-9 indica el resumen de los resultados obtenidos de los trabajos de batimetría. Las áreas de las tres lagunas hacen un total de 22.81 ha. Así también, las lagunas poseen un tirante máximo entre 1.25 y 2.75 m. La cota del espejo de agua varía entre 2.25 y 2.75 msnm, mientras que la cota mínima de fondo del lecho varía entre 0 y 1 msnm. Estas características han permitido estimar de forma general el volumen de agua almacenada en las tres lagunas, obteniendo un volumen total de 293,443.5 m³.

Cuadro 5.2.10-9 Parámetros hidráulicos de las lagunas.

Zona	Área (ha)	Tirante Máximo de Agua (m)	Cota del espejo de agua (msnm)	Cota mínima de fondo (msnm)	Volumen de Agua (m³)
Laguna Área 1	2.51	1.25	2.25	1.00	18,492.7
Laguna Área 2	8.92	1.25	2.25	1.00	105,460.5
Laguna Área 3	11.38	2.75	2.75	0.00	169,490.3

Fuente: Estudio Hidrogeológico de la MEIA del AIJCH. Walsh Perú S.A., 2018.

Balance Total Neto

Se sumaron todos volúmenes de entrada y salida, obteniéndose una un superávit anual de 0.26 Hm de agua aproximadamente.

Cuadro 5.2.10-10 Volúmenes anuales de entrada al volumen de control

	Entradas	
Ítem	m³	(Hm)
Recarga Regional	41,857,094.66	41.86
Infiltración Río	17,295,097.80	17.30
Total	59,152,192.46	59.15

Fuente: Estudio Hidrogeológico de la MEIA del AIJCH. Walsh Perú S.A., 2018.





Figura 5.2.10-9 Entradas de agua al volumen de control (anual)

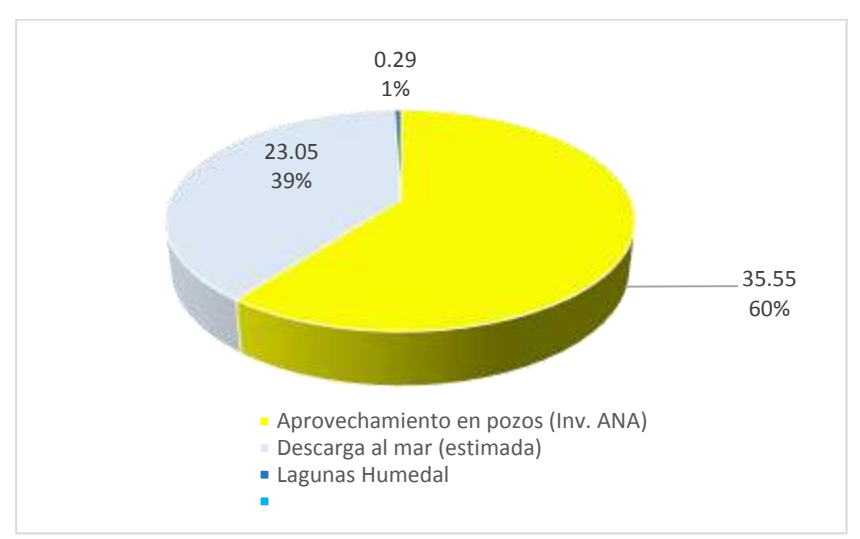


Cuadro 5.2.10-11 Volúmenes anuales de salida del volumen de control

Salidas						
Ítem	m³	(Hm)				
Aprovechamiento en pozos (Inv. ANA)	35,548,956.00	35.55				
Descarga al mar (estimada)	23,052,816.00	23.05				
Lagunas Humedal	293,443.50	0.29				
Total	58,895,215.50	58.90				

Elaboración: Walsh Perú S.A.

Figura 5.2.10-10 Salidas de agua del volumen de control (anual)

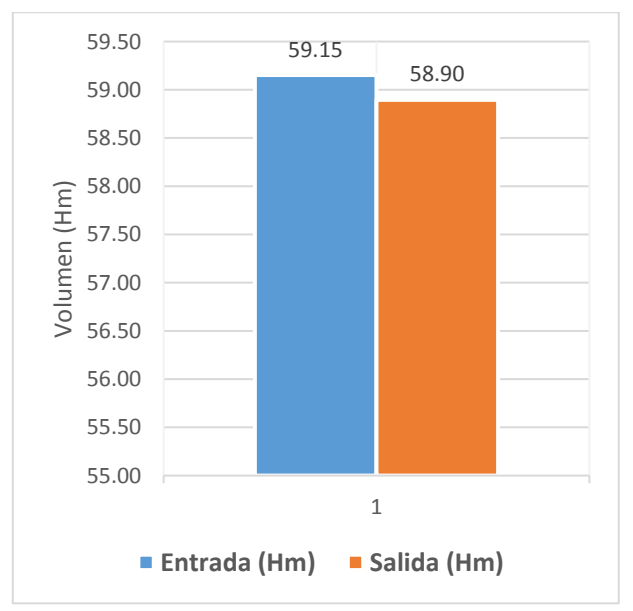


Fuente: Estudio Hidrogeológico de la MEIA del AIJCH. Walsh Perú S.A., 2018.





Figura 5.2.10-11 Balance hídrico anual en Hm de agua



Así mismo se realizó el balance mensualizado, el cual se detalla en el siguiente Cuadro 5.2.10-12.



Cuadro 5.2.10-12 Balance hídrico mensual

	Mes	Ene	Feb	Mar	Abr	Мау	Jun	Jul	Ago	Sep	Oct	Nov	Dic
	Días	31	28	31	30	31	30	31	31	30	31	30	31
	(m³/día)	114,676.97	114,676.97	114,676.97	114,676.97	114,676.97	114,676.97	114,676.97	114,676.97	114,676.97	114,676.97	114,676.97	114,676.97
Recarga regional	(m³/mes)	3,554,986.12	3,210,955.21	3,554,986.12	3,440,309.15	3,554,986.12	3,440,309.15	3,554,986.12	3,554,986.12	3,440,309.15	3,554,986.12	3,440,309.15	3,554,986.12
ويّه مكنوميهانامرا	(m ₃ /seg)	0.5	0.5	9.0	0.5	9.0	0.5	0.5	9.0	0.5	0.5	9.0	0.5
IIIIIIIIIIIIIIIIIIIIIIIIIIIIIIIIIIIIII	(m³/mes)	1,468,898.70	1,326,747.20	1,468,898.70	1,421,514.90	1,468,898.70	1,421,514.90	1,468,898.70	1,468,898.70	1,421,514.90	1,468,898.70	1,421,514.90	1,468,898.70
ENTRADAS	(m³/mes)	5,023,884.82	4,537,702.41	5,023,884.82	4,861,824.05	5,023,884.82	4,861,824.05	5,023,884.82	5,023,884.82	4,861,824.05	5,023,884.82	4,861,824.05	5,023,884.82
Aprovechamiento Pozos (ANA)	(m³/mes)	3,019,226.40	2,727,043.20	3,019,226.40	2,921,832.00	3,019,226.40	2,921,832.00	3,019,226.40	3,019,226.40	2,921,832.00	3,019,226.40	2,921,832.00	3,019,226.40
Descarga al mar (estimada)	(m3/mes)	1,957,910.40	1,768,435.20	1,957,910.40	1,894,752.00	1,957,910.40	1,894,752.00	1,957,910.40	1,957,910.40	1,894,752.00	1,957,910.40	1,894,752.00	1,957,910.40
Lagunas Humedal	(m3/mes)	24,922.60	22,510.73	24,922.60	24,118.64	24,922.60	24,118.64	24,922.60	24,922.60	24,118.64	24,922.60	24,118.64	24,922.60
SALIDAS	(m³/mes)	5,002,059.40	4,517,989.13	5,002,059.40	4,840,702.64	5,002,059.40	4,840,702.64	5,002,059.40	5,002,059.40	4,840,702.64	5,002,059.40	4,840,702.64	5,002,059.40
DAI ANCE	(m³/mes)	21,825.42	19,713.27	21,825.42	21,121.41	21,825.42	21,121.41	21,825.42	21,825.42	21,121.41	21,825.42	21,121.41	21,825.42
DALANCE	(Hm/mes)	0.02	0.02	0.02	0.02	0.02	0.02	0.02	0.02	0.02	0.02	0.02	0.02
OFFICE AND THE PROPERTY OF THE		I VILIVILIA											

Fuente: Estudio Hidrogeológico de la MEIA del AIJCH. Walsh Perú S.A., 2018.

Recarga regional (m³/día) 41,857,094.66 Recarga regional (m³/seg) 17,295,097.70 Infiltración río (m³/mes) 17,295,097.70 ENTRADAS (m³/mes) 59,152,192.36 Aprovechamiento Pozos (ANA) (m³/mes) 35,548,956.00 Descarga al mar (estimada) (m³/mes) 23,052,816.00 Lagunas Humedal (m³/mes) 58,895,215.50 SALIDAS (m³/mes) 58,895,215.50 BALANCE (Hm/mes) 0.26		Mes	VOLUMEN TOTAL
(m³/dia) (m³/mes) (m³/mes) (m³/mes) (m³/mes) (m³/mes) (m³/mes) (m³/mes) (m³/mes) (m³/mes)		Días	(M3/AÑO)
(m³/mes) (m³/seg) (m³/mes) (m³/mes) (m³/mes) (m³/mes) (m³/mes)		(m³/día)	41 857 004 66
(m³/seg) (m³/mes) (m³/mes) (m³/mes) (m³/mes) (m³/mes)	recalga regional	(m³/mes)	41,007,034.00
(m³/mes) (m³/mes) (m³/mes) (m³/mes) (m³/mes) (m³/mes) (m³/mes)	ميَّد ميدُان ميدالكوا	(m³/seg)	12 206 002 20
(m³/mes) (m³/mes) (m³/mes) (m³/mes) (m³/mes)		(m³/mes)	01.180,082,11
(m³/mes) (m³/mes) (m³/mes) (m³/mes) (Hm/mes)	ENTRADAS	(m³/mes)	59,152,192.36
(m3/mes) (m3/mes) (m³/mes) (m³/mes) (Hm/mes)	Aprovechamiento Pozos (ANA)	(m³/mes)	35,548,956.00
(m³/mes) (m³/mes) (m³/mes)	Descarga al mar (estimada)	(m3/mes)	23,052,816.00
(m³/mes) (m³/mes) (Hm/mes)	Lagunas Humedal	(m3/mes)	293,443.50
(Hm/mes)	SALIDAS	(m³/mes)	58,895,215.50
(Hm/mes)	BALANCE	(m³/mes)	256,976.86
		(Hm/mes)	0.26





5.2.10.3.7. Modelo conceptual

El modelo conceptual es la consecuencia de lo encontrado en los estudios hidrogeológicos del consorcio Túnel Gambetta, RS&H/COSAPI y la información de niveles del 2018, la cual constituye la base para los modelos necesarios para diseñar el plan de drenaje y entender el comportamiento del acuífero como el ingreso, salida y circulación del agua.

5.2.10.3.7.1. Características del acuífero

El reservorio del acuífero yace sobre los depósitos fluvio – aluviales de los ríos Chillón y Rímac, presentándose, así como un acuífero libre; aun cuando hay presencia de una capa de arcilla que pudiese originar que acuífero se comporte como semi cautivo, en general está constituido por depósitos no consolidados del cuaternario, constituido por cantos rodados, grava, arena y arcilla, que hacen que el acuífero tenga un alto potencial de extracción de aguas subterráneas, tanto en descenso como en recuperación de las aguas subterráneas.

Del estudio hidrogeológico del Consorcio Túnel Gambetta, se ha identificado una estructura acuífera con saturación de agua a partir de 3.0 m de profundidad aproximadamente y compuesta por dos depósitos acuíferos (superior e inferior), el superior compuesto por el horizonte R2 que se ubica debajo de la capa de relleno de cobertura aluvial y está constituida por materiales permeables, con un espesor promedio de 15 m, mientras que el inferior está compuesto por el horizonte R3, localizado debajo del horizonte acuífero superior, constituida por materiales menos permeables con un espesor promedio de 50 m.

Se ha encontrado que las investigaciones geofísicas de estudios anteriores indican entre 170 a 250 m para el espesor máximo del acuífero, encontrando las mejores características entre los 20 a 90m.

Según los resultados de los estudios anteriores y las investigaciones geofísicas, se puede concluir que el espesor potencial del acuífero en el área de estudio es de 200 m.

5.2.10.3.7.2. Zona de recarga y descarga

La recarga del acuífero principalmente se da por las filtraciones del rio Rímac hacia la zona de AIJCH y en menor influencia por el rio Chillón, así como la recarga urbana de la ciudad de El Callao.

Para comprender el comportamiento de la napa freática se ha elaborado el mapa piezométrico (HG-05), donde el movimiento del flujo se da de mayor a menor carga, por tal motivo en la zona sur del aeropuerto, la dirección del flujo preferencial es de Sur a Norte. Este comportamiento de la dirección del flujo se observa en los planos HG-07 y HG-12 (ver Anexo 7, del Anexo 5.2.10-2 Estudio Hidrogeológico de la MEIA del AIJCH).

La zona de descarga de estas aguas fluye directamente al humedal y hacia la dirección del mar, ello se evidencia en los piezómetros P-PERM-6, P-PERM-7 Y P-PERM-8, pues las cotas del nivel freático se encuentran muy cerca del nivel del terreno, pudiendo observar el afloramiento de estas aguas en dichas zonas produciendo la formación de lagunas.

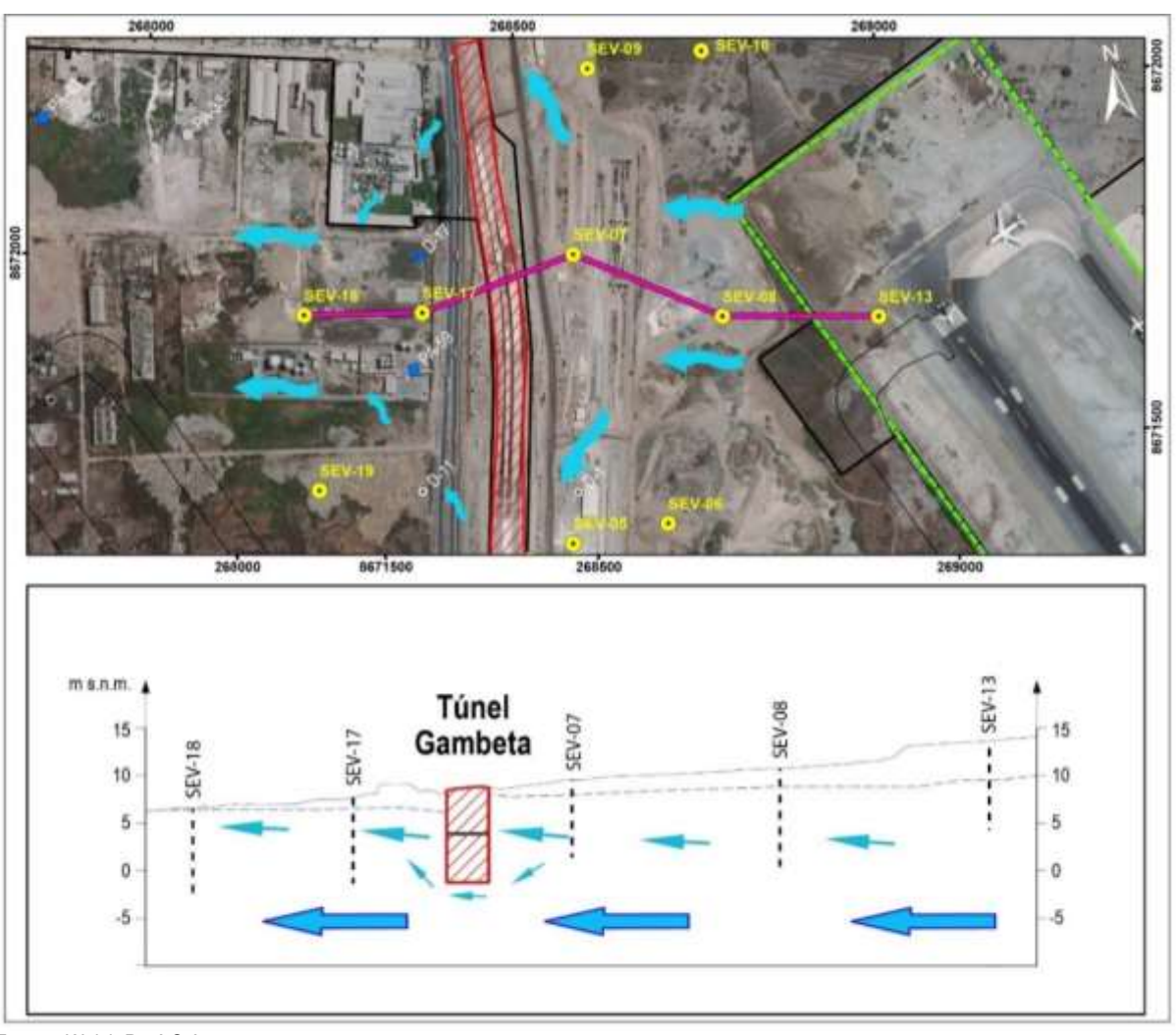
El comportamiento del agua subterránea en la zona del Túnel Gambetta produce un efecto barrera, logrando que las aguas tengan una dirección local horizontal, que bordea el lado este del túnel,





también tiene una dirección local vertical tipo sifón producto de la barrera y la carga hidráulica en el lado este del túnel. Este comportamiento se puede apreciar en la Figura 5.2.10-12.

Figura 5.2.10-12 Perfil geoeléctrico y dirección del flujo



Fuente: Walsh Perú S.A.

Se presenta la representación gráfica del Modelo conceptual en el Volumen III Mapa LBF-10 (Mapa Hidrogeológico y Modelo Conceptual).





5.2.11. CALIDAD DE AGUA Y SEDIMENTOS

5.2.11.1. GENERALIDADES

La información que se presenta en este capítulo corresponde a la caracterización física, química y microbiológica de los cuerpos de agua superficial y sus sedimentos, existentes en el área de influencia de la Modificación de Estudio de Impacto Ambiental del Aeropuerto Internacional Jorge Chávez, a través de la evaluación de puntos de muestreo ubicados de manera homogénea y representativa.

La información que se utilizará en los capítulos es de procedencia primaria y secundaria, y se complementan en referencia a la temporalidad. La información primaria corresponde a la temporada templada y la información secundaria nos proporcionará datos en la temporada cálida.

La información secundaria para agua superficial de río procede del Primer Monitoreo 2014 de la Calidad de Agua Superficial de la Cuenca del Río Rímac realizado por la Autoridad Nacional del Agua (ANA) para calidad de agua superficial. La información secundaria para agua subterránea procede del Informe de Monitoreo Ambiental tramo III_B proyecto de mejoramiento de la Av. Néstor Gambetta (Callao 2016) y los informes de monitoreo de Pozos de Abastecimiento de agua potable en reserva de Sedapal (2014 y 2016) para calidad de agua subterránea. La información secundaria para sedimentos procede del Informe de Evaluación Ambiental en la Cuenca del Río Rímac, realizado por el Organismo de Fiscalización Ambiental (OEFA) para calidad de sedimento en el año 2015.

En el área de influencia se han identificado dos tipos de fuentes hídricas superficiales principales; el río Rímac que es un cuerpo de agua sensible ya que se encuentra en el área de influencia y el humedal situado al interior en la llamada ex zona Industrial.

5.2.11.2. CALIDAD DE AGUA SUPERFICIAL

5.2.11.2.1. Estándares de Comparación

Para la evaluación de estas fuentes de agua se ha tomado como referencia los Estándares Nacionales de Calidad Ambiental para Agua, aprobados recientemente mediante el D.S. Nº 004-2017-MINAM, y considerando la Clasificación de Cuerpos de Agua Superficiales y Marino-Costeros aprobada mediante Resolución Jefatural Nº 202-2010-ANA.

En base a la legislación indicada, los resultados del muestreo de los puntos del río Rímac serán comparados con ECA Categoría 3 "Riego de Vegetales y Bebidas Animales". Para el caso del humedal la categoría que corresponde es la categoría 4 E1 (Conservación de Ambiente acuático).





Cuadro 5.2.11-1 Estándares Nacionales de Calidad Ambiental de Agua - Categoría 3

		D1: Riego o	le vegetales	D2: Bebida de animales
Parámetros	Unidad de medida	Agua para riego no restringido (c)	Agua para Riego restringido	Bebida de animales
FISICO-QUÍMICOS				
Aceites y grasas	mg/L	;	5	10
Bicarbonatos	mg CaCO3/L	5	18	NA
Cianuro wad	mg/L	0	.1	0.1
Cloruros	mg/L	50	00	NA
Color	Color verdadero Escala Pt/Co	100	D(a)	100(a)
Conductividad eléctrica	µS/cm	2.5	500	5 000
Demanda Bioquímica de Oxígeno) (DBO5)	mg/L		5	15
Demanda Química de Oxígeno (DQO	mg/L	4	.0	40
Detergentes (SAAM)	mg/L		.2	0.5
Fenoles	mg/L		002	0.01
Fluoruro	mg/L	0.0	1	NA NA
Nitratos (N-NO3) + Nitritos (N-NO2)	mg/L	11	00	100
Nitritos (N-NO2)	mg/L		0	100
Oxígeno disuelto (valor minimo)			4	≥5
Potencial de Hidrogeno (pH)	mg/L Unidad de pH		- 8.5	6.5 - 8.4
Sulfatos				
	mg/L		000	1 000
Temperatura	°C	Δ	. 3	Δ3
INORGÁNICOS	-	_		
Aluminio (AI)	mg/L		5	5
Arsénico (As)	mg/L	0		0.2
Bario (Ba)	mg/L		.7	NA
Berilio (Be)	mg/L	0	.1	0.1
Boro (B)	mg/L	,	1	5
Cadmio (Cd)	mg/L	0.	01	0.05
Cobre (Cu)	mg/L	0	.2	0.5
Cobalto (Co)	mg/L	0.	05	1
Cromo total	mg/L	0	.1	1
Hierro (Fe)	mg/L		5	NA
Litio (Li)	mg/L	2	.5	2.5
Magnesio (Mg)	mg/L	N	IA	250
Manganeso (Mn)	mg/L	0	.2	0.2
Mercurio (Hg)	mg/L	0.0	001	0.01
Níquel (Ni)	mg/L		.2	1
Plomo (Pb)	mg/L		05	0.05
Selenio (Se)	mg/L		02	0.05
Zinc (Zn)	mg/L		2	24
ORGÁNICOS	my/L	1		
Bifenilos Policlorados				
Bifenilos Policiorados (PCB)	μg/L	<u> </u>	04	0.045
\ /	L μg/L	J 0.	U 1	0.040
PLAGUICIDAS Descritión		1 ^	E	0.5
Paratión	μg/L	1 3	5	35
Organoclorados	n	T	204	
Aldrin	μg/L		004	0.7
Clordano	μg/L		006	7
Dicloro Difenil Tricloroetano (DDT)	μg/L		001	30
Dieldrin	μg/L		.5	0.5
Endosulfán	μg/L		01	0.01
Endrin	μg/L		004	0.2
Heptacloro y Heptacloro Epóxido	μg/L	0.	01	0.03
Lindano	μg/L		4	4
Carbamato				
Aldicarb	μg/L		1	11





		D1: Riego de vegetales		D2: Bebida de animales
Parámetros	Unidad de medida	Agua para riego no restringido (c)	Agua para Riego restringido	Bebida de animales
MICROBIOLÓGICOS Y PARASITOLÓG	ICO			
Coliformes Termotolerantes	NMP/100 ml	1 000	2 000	1 000
Escherichia coli	NMP/100 ml	1 000	NA	NA
Huevos de Helmintos	Huevo/L	1	1	NA

- (a): Para aguas claras. Sin cambio anormal (para aguas que presentan coloración natural)
- (b): Después de filtración simple.
- (c): Para el riego de parque públicos, campos deportivos, áreas verdes y plantas ornamentales, solo aplican los parámetros microbiológicos y parasitológicos del tipo de riego no restringido. NA: Indica que el parámetro no aplica para esta subcategoría.
- Δ 3: significa variación de 3 grados Celsius respecto al promedio mensual multianual del área evaluada.

Elaborado por Walsh Perú S.A. 2018

Cuadro 5.2.11-2 Estándares Nacionales de Calidad Ambiental Para Agua - Categoría 4. Lagunas y Lagos. D. S. N° 004-2017-MINAM

Parámetros	Unidad de medida	E1: Lagunas y lagos
FÍSICO-QUÍMICOS	<u> </u>	
Aceites y Grasas (MEH)	mg/L	5.0
Cianuro Libre	mg/L	0.0052
Color	Pt/Co	20 (a)
Clorofila A	mg/L	0.008
Conductividad	IS/cm	1000
Demanda Bioquímica de Oxígeno (DBO5)	mg/L	5
Fenoles	mg/L	2.56
Fósforo Total	mg/L	0.035
Nitratos (NO3 -) (c)	mg/L	13
Amoniaco total (NH3)	mg/L	(1)
Nitrógeno Total	mg/L	0.315
Oxígeno Disuelto (valor mínimo)	mg/L	≥ 5
Potencial de Hidrógeno (pH)	Unidad de pH	6.5 a 9.0
Sólidos Suspendidos Totales	mg/L	≤ 25
Sulfuros	mg/L	0.002
Temperatura	°C	I 3
INORGÁNICOS		
Antimonio	mg/L	0.64
Arsénico	mg/L	0.15
Bario	mg/L	0.7
Cadmio Disuelto	mg/L	0.00025
Cobre	mg/L	0.1
Cromo VI	mg/L	0.0011
Mercurio	mg/L	0.0001
Níquel	mg/L	0.052
Plomo	mg/L	0.0025
Selenio	mg/L	0.005
Talio	mg/L	0.0008
Zinc	mg/L	0.12
ORGÁNICOS		
I. Compuestos Orgánicos Volátiles		
Hidrocarburos Totales de Petróleo	mg/L	0.5
Hexaclorobutadieno	mg/L	0.0006
BTEX		
Benceno	mg/L	0.05





Parámetros	Unidad de medida	E1: Lagunas y lagos
Hidrocarburos Aromáticos	<u>I</u>	
Benzo(a)pireno	mg/L	0.0001
Antraceno	mg/L	0.0004
Fluoranteno	mg/L	0.001
Bifenilos Policlorados		
Bifenilos Policlorados (PCB)	mg/L	0.000014
PLAGUICIDAS		
Malation	mg/L	0.0001
Paration	mg/L	0.000013
Organoclorados		
Aldrin	mg/L	0.00004
Clordano	mg/L	0.000043
DDT(suma de 4,4-DDD y 4,4-DDE)	mg/L	0.00001
Dieldrin	mg/L	0.000056
Endosulfan	mg/L	0.000056
Endrin	mg/L	0.000036
Heptacloro	mg/L	0.000038
Heptacloro Epóxido	mg/L	0.000038
Lindano	mg/L	0.00095
Pentaclorofenol (PCP)	mg/L	0.001
Carbamato		
Aldicarb	mg/L	0.001
MICROBIOLÓGICOS		,
Coliformes Termotolerantes	NMP/100mL	1 000

⁽a): 100 (para aguas claras). Sin cambio anormal (para aguas que presentan coloración natural).

Elaborado por Walsh Perú S.A. 2018

5.2.11.2.2. Metodología

El monitoreo y análisis siguieron los lineamientos establecidos en el Protocolo Nacional de Monitoreo de la Calidad de los Cuerpos Naturales de Agua Superficial aprobado por la Autoridad Nacional del Agua (ANA) Resolución Jefatural Nº 010-2016-ANA, el Protocolo de monitoreo para calidad de agua de la DGAA-MEM, así como, los protocolos establecidos por la Agencia para la Protección Ambiental de los EE.UU. (EPA, 1992) y el "Standard Methods of Water and Wastewater 21th Edition 2005".

Las muestras recogidas para cada parámetro fueron preservadas según los procedimientos establecidos por el laboratorio acreditado. Los reportes de ensayo emitidos contienen e detalle del método de análisis aplicado e incluye sus respectivos límites de detección para cada uno de los parámetros.

El servicio de muestreo, conservación, preservación de muestras, así como los análisis de parámetros estuvieron a cargo del Laboratorio AGQ Perú S.A.C., acreditado ante el Instituto Nacional de Calidad (INACAL). Ver Anexo 5.2.11.1-1 donde se presenta los certificados de calibración de los equipos utilizados por AGQ Perú S.A.C.

⁽b): Después de la filtración simple.

⁽c): En caso de técnicas analíticas determinen la concentración en unidades de Nitratos-N (NO₃ - -N), multiplicar el resultado por el factor 4,43 para expresarlo en unidades de Nitratos (NO₃ -).

NA: Indica que el parámetro no aplica para esta subcategoría.

 $[\]Delta$ 3: significa variación de 3 grados Celsius respecto al promedio mensual multianual del área evaluada.





Cuadro 5.2.11-3 Metodología de análisis y límites de detección empleados para determinar la calidad del agua superficial (río Rímac) por Laboratorio AGQ.

Parámetro	Unidades	Método de referencia	Límites de detección
pH (Campo)	mg/l	SMEWW 4500-H+ B. 22nd Ed. 2012	2.01 - 12.0 Unidades de pH
Temperatura de la Muestra (Campo)	mg/l	SM 2550 B Ed 22.	4.00 - 50.0 °C
Conductividad (Campo)	μS/cm	SMEWW 2510B. 22nd Ed. 2012.	0.100 - 400 000 μS/cm a 25°C
Oxígeno Disuelto (Campo)	mg/l	EPA Method 360.1	0.030 - 20.0 mg/L O2
Aceites y Grasas	mg/l	PP-226 (BASED ASTM D7066-04).	0.25
Color	mg/l	SMEWW 2120 C. 22nd. Ed. 2012	3
DBO ₅	μg/l	EPA METHOD 8270 D, Rev. 5 2017 (Validado)	1.1
Detergentes Aniónicos	mg/l	SMEWW 5540 C. 22nd Ed. 2012	0.02
DQO	mg/l	SMEWW 5220D. 22nd Ed. 2012	8.00
Nitratos (NO3-N) + Nitritos (NO2-N)	mg/l	PE-2090	0.11
Bicarbonatos	mg/l	SMEWW 2320B. 22nd Ed. 2012	0.0008
Cianuros (WAD)	mg/L	SMEWW 4500-CN- F, I. 22nd Ed. 2012	5.00
Fenoles	mg/L	SMEWW 5530 B,C. 22nd Ed. 2012	0.001
Cloruros	mg/l		0.15
Fluoruros	mg/l		0.10
Sulfatos	mg/l	PE-2090	0.75
Nitratos	mg/l		0.11
Nitritos (como N)	mg/L		0.15
Aluminio	mg/l		0.002
Arsénico	mg/l		0.00003
Bario	mg/l		0.0001
Berilio	mg/l		0.00002
Bismuto	mg/l		0.00002
Boro	mg/l		0.002
Cadmio	mg/l		0.00001
Calcio	mg/l		0.10
Cobalto	mg/l		0.00001
Cobre	mg/l		0.00003
Cromo	mg/l	EDA Mothad 200 9 Day 5 4 (4004)	0.0001
Estaño	mg/l	EPA Method 200.8 Rev.5.4 (1994)	0.0001
Estroncio	mg/l		0.0001
Fósforo	mg/l		0.015
Hierro	mg/l		0.0004
Litio	mg/l		0.0001
Magnesio	mg/l		0.003
Manganeso	mg/l		0.00003
Mercurio	mg/l		0.00003
Molibdeno	mg/l		0.00002
Níquel	mg/l		0.0002
Plata	mg/l		0.00001





Parámetro	Unidades	Método de referencia	Límites de detección
Plomo	mg/l		0.0002
Potasio	mg/l		0.04
Selenio	mg/l		0.0004
Silicio	mg/l		0.2
Sodio	mg/l		0.006
Talio	mg/l		0.00002
Titanio	mg/l		0.001
Uranio	mg/l		0.000003
Vanadio	mg/l		0.0001
Zinc	mg/l		0.01
Coliformes Fecales	NMP/100 ml	SMEWW 9221 E.1. 22nd. Ed. 2012	1.8
Coliformes Totales	NMP/100 ml	SMEWW 9221B 2, 3,4a (1, 3, 4), 4b. 22nd Ed. 2012	1.8
Escherichia Coli	NMP/100 ml	SMEWW 9221 F. 22nd Ed. 2012.	1.8
Huevos de Helmintos	Huevos/I	PP-301	1.00
Enterococos Fecales	NMP/100 ml	SM 9230B Ed.22	1.8

Fuente: Laboratorio AGQ 2017. Elaborado por Walsh Perú S.A. 2018

5.2.11.2.3. Puntos de muestreo

La ubicación de los puntos de muestreo se realizó en gabinete, con ayuda de imágenes satelitales y mapas, basado en imágenes actualizadas del área de influencia (tomando en cuenta la ubicación de los componentes del proyecto, los cuerpos o cursos de agua que existen en la zona del proyecto), posteriormente el punto fue evaluado y verificado en campo, realizándose la toma de muestras en el lugar donde reúnen las condiciones más adecuadas de representatividad, accesibilidad y seguridad.

A) Río Rímac

Las actividades de muestreo en el río Rímac se realizaron en la temporada templada (julio del 2017). La información de calidad de agua en el río, que cubriría la temporada cálida proviene del Informe "Primer Monitoreo Participativo de la calidad de agua superficial de la cuenca del río Rímac realizado por la ANA" (Oficio N° 1596-2014-ANA-AAA-CF-ALA.CHRL). Ver el Cuadro 5.2.11-4, red de muestreo de calidad de agua en el río Rímac.

La distribución gráfica de los puntos de muestreo con relación al área de ubicación del proyecto se muestra en el Volumen III Mapa LBF-11. En el Anexo 5.2.11.1-2 de fichas de campo, se presenta la identificación de los puntos, coordenadas, lugares de referencia y fotos.





Cuadro 5.2.11-4 Red de muestreo de calidad del agua superficial en el río Rímac

Puntos de	Descripción		enadas VGS 84)		
muestreo		Este	Norte		
INFORMACIÓN PRIMARIA					
	MEIA LAP - JULIO 2017 – TEMPORADA TEMPLADA				
AG-01	Río Rímac, aguas abajo del puente proyectado Punto situado a la altura del puente Nestor Gambetta	267 387	8 670 265		
AG-02	Río Rímac, aguas arriba del puente proyectado A 20 m de la Av. Morales Duarez	267 682	8 667 974		
INFORMACIÓN SECUNDARIA					
MONITOREO PARTICIPATIVO ANA- Febrero 2014(*) – TEMPORADA CÁLIDA					
RRima-12(*)	Río Rímac (MI), 200 m aguas abajo del puente Universitaria c/ Av. Morales Duarez. (Parque Chumpitaz)	273 430	8 668 596		
RRima-13(*)	Río Rímac (MI), 20 m aguas arriba del puente Néstor Gambetta	268 443	8 668 505		

^(*)RRima-12 y RRima-13 códigos de la Autoridad Nacional del Agua (ANA). La descripción de los puntos fue obtenida del Informe del Primer Monitoreo Participativo de la calidad de agua superficial de la cuenca del río Rímac. (Oficio N° 1596-2014-ANA-AAA-CF-ALA.CHRL.)

Nota 1: Aclaración de conceptos: Punto de muestreo, corresponde a toma de muestra para una Línea de Base inicial. Punto de monitoreo, corresponde a un punto que está sujeto a un programa de monitoreo establecido a partir de un IGA Elaborado por Walsh Perú S.A. 2018

B) Humedal

Las actividades de muestreo en el humedal de la ex zona industrial se realizaron en la temporada templada (julio del 2017) y temporada cálida (marzo-abril 2018).

La distribución gráfica de los puntos de muestreo con relación al área de ubicación del proyecto se muestra en el Volumen III Mapa LBF-11. En el Anexo 5.2.11.1-2 de fichas de campo, se presenta la identificación de los puntos, coordenadas, lugares de referencia y fotos.

Cuadro 5.2.11-5 Evaluación en Humedal en la ex zona industrial

Puntos	Descripción	Coordenadas	(UTM-WGS 84)
Funtos	Descripcion	Este	Norte
Información P	rimaria		
	Modificación del Estudio de Impacto Ambiental LAP - Julio 20	17 y mayo 2018	
AG-03	Humedal – ex Zona Industrial. A 500 m de Av. Néstor Gambetta	267 676	8 671 099
AG-04	Humedal – ex Zona Industrial. A 400 m de Av. Néstor Gambetta	267 745	8 671 014
AG-05	Ex Zona Industrial. A 450 m de Av. Néstor Gambetta	267752	8671088
AG-06	Ex Zona Industrial. A 530 m de Av. Néstor Gambetta	267694	8 671146
AG-07	Ex Zona Industrial. A 500 m de Av. Néstor Gambetta	267837	8671644

Nota 1: Aclaración de conceptos: Punto de muestreo, corresponde a toma de muestra para una Línea de Base inicial. Punto de monitoreo, corresponde a un punto que está sujeto a un programa de monitoreo establecido a partir de un IGA Elaborado por Walsh Perú S.A. 2018





5.2.11.2.4. Evaluación de resultados

Para el mejor entendimiento del análisis de resultados vamos a dividir su presentación en análisis de resultados de agua superficial en el río y en el humedal de la ex zona industrial.

Los informes de ensayo se presentan en el Anexo 5.2.11.1-3.

A) Río Rímac

El cuadro 5.2.11.6 presenta los resultados obtenidos en los puntos evaluados en el río Rímac, tanto en temporada templada (julio 2017) como en temporada cálida (febrero 2014), este último realizado por la Autoridad Nacional del Agua (ANA). En la temporada templada los puntos evaluados son dos; AG-01 y AG-02, ambos han sido ubicados de manera referencial aguas abajo y aguas arriba, respectivamente, del puente proyectado en el río Rímac. Así mismo, la ANA también ha evaluado el mismo tramo del río Rímac, con los puntos RRima-13 y RRima-12, ubicados comparativamente, aguas abajo y aguas arriba del puente proyectado, precisamente, es por ello que la ubicación de estos dos puntos permite utilizar eta información como secundaria para la segunda temporada.



■Walsh

Cuadro 5.2.11-6 Resultados de análisis en el río Rímac

		TEMPORA	TEMPORADA CÁLIDA Febrero 2014	TEMPORAD	TEMPORADA TEMPLADA Julio 2017	ECA-3(3) D1: Riego de vegetales	: Riego de ales	Bebida de animales
Parámetros	Unidad de medida					Agua para	Agua para	
		INFORMACIÓN	INFORMACIÓN SECUNDARIA	INFORMACI	INFORMACIÓN PRIMARIA	riego no restringido (c)	riego	Bebida de animales
		RRima-12(1)	RRima-13(1)	AG-01(2)	AG-02(2)	(2) on 6 iii ii sai	restilligido	
FISICOQUÍMICOS								
Aceites y Grasas	mg/L	3	3.5	0.31	< 0.25	5		10
Bicarbonatos	mg/L CaCO3	1	1	177	171	518		1 ;
Cianuros (WAD)	mg/L	> 0.006	> 0.006	< 0.016	< 0.016	0.1		0.1
Cloruros	mg/L	!	1	43.4	49.1	500		50
Conductividad	ms/cm	290.0	299.2	682	2007	100	0	000 5
Demanda Bioquímica de Oxígeno (DBO5)	mg/L	< 2.00	< 2.00	< 1.1	× 1.1 ×	15		15
Demanda Química de Oxígeno (DQO)	mg/L	< 10.0	< 10.0	< 8.00	< 8.00	40		40
Detergentes (SAAM)	mg/L	1	1 1	< 0.02	< 0.02	0.2	2	0.5
Fluoruros	mg/L		ı	0.21	0.2	0.5	7	5
Nitratos (NO3-N) + Nitritos (NO2-N).	mg/L	1	1	89.0	96.0	100		100
Nitritos	mg/L N-NO2	1	1	0.26	0.36	10		10
Oxígeno Disuelto (valor mínimo)	mg/L O2	7.29	7.57	8.08	8.03	∀ ∨		IN 2
Potencial de Hidrogeno (pH)	Unid. de pH	8.12	7.1	10.1	10.1	6.5 - 8.5	3.5	6.5 - 8.4
Journalina	mg/L	74.35	122.61	79L 30	163	1 00	0	000 L
INORGÁNICOS (Metales Totales)	<u>.</u>	70.12	0.42	22	4.0	21		2
Aluminio	l/om	2 83384	2 76904	8 00	9.8	ıc		ĸ
Arsénico	mg/L	0.04574	0.04597	0.17479	0.08432	0.1		0.2
Bario	mg/L	0.05957	0.05674	0.1127	0.0758	7.0		1
Berilio	mg/L	< 0.0002	< 0.0002	0.00018	0.00010	0.1		0.1
Boro	mg/L	0.18688	0.19055	0.281	0.247			5
Cadmio	mg/L	0.00275	0.00285	0.00560	0.00348	0.01		0.05
Cobalto	ma/l	0.10272	0.10211	0.00682	0.4312	2.0	. 16	L
Cromo Total	J/gm	0.0068	0.00479	0.016	0.007	0.1		
Hierro	mg/L	3.5259	3.5029	18	8.2	5		1
Litio	mg/L	0.06851	0.07014	0.0882	0.0775	2.5		2.5
Magnesio	mg/L	5.6508	5.6524	11.2	10.7	1 6		250
Margurio	mg/L mg/l	0.30101	0.29905	0.78663	0.41711	7.0 100 0	1	0.07
Níquel	mg/L	< 0.0004	> 0.0004	0.0047	0.0020	0.2		-
Plomo	mg/L	0.07	0.06737	0.05860	0.02832	0.05	5	0.05
Selenio	mg/L	< 0.003	< 0.003	0.00209	0.00122	0.05	2	0.05
Zinc	mg/L	0.78377	0.79645	1.3	0.613	2		24
UKGANICOS Bifenilos Policlorados								
Bifenilos Policlorados (PCB)	ng/L	1	-	< 2.50	< 2.50	0.04	4	0.045
PLAGUICIDAS	-	00000	00000	0040	000	36		35
raiation Aldrin	11g/L	< 0.00002	< 0.00002	< 0.300 < 0.400	< 0.400	2000	4	S C
Clordano	ng/L	< 0.00001	< 0.00001	< 2.500	< 2.50	900.0	6	7.0
Dicloro Difenil Tricloroetano (DDT).	ng/L	< 0.00001	< 0.00001	< 0.400	< 0.400	0.001	1	30
Dieldrín	ng/L	< 0.00001	< 0.00001	< 0.400	< 0.400	0.5		0.5
Endosulfán Fradiis	ng/L	< 0.00003	< 0.00003	< 0.400	< 0.400	0.01	1	0.01
Hentacloro v Hentacloro Enóxido	ng/L na/L	> 0.00001	× 0.00001	< 2.500	< 2.500	0.00	± _	0.03
Lindano	ng/L	< 0.00001	< 0.00001	< 0.400	< 0.400	4		4
Aldicarb	ng/L	1	1	< 10.0	< 10.0			11
MICROBIOLÓGICOS Y PARASITOLÓGICO		- -	-		-	-		_
Coliformes Termotolerantes	NMP/100 ml	330 000	330 000	54 000	54 000	1 000	2 000	1 000
	77.00						<	

⁽¹) Los resultados de los puntos fue extraída del "Informe del Primer Monitoreo Participativo 2014 de la calidad de agua superficial de la cuenca del río Rímac. (Oficio N° 1596-2014-ANA-AAA-CF-ALA.CHRL.- Informe de ensayo con valor oficial N° 08558-2014 – Laboratorio SERVICIOS ANALÍTICOS GENERALES S.A.C.)
(²) Fuente: Informes de Ensayo MIT-17/00392 - Laboratorio AGQ Perú S.A.C.
(³) Estándares de Calidad Ambiental CA 3 D1: Riego de vegetales y ECA 3 D2: Bebida de animales, D.S. 004-2017-MINAM.
Elaborado por Walsh Perú S.A. 2018





PARÁMETROS IN SITU

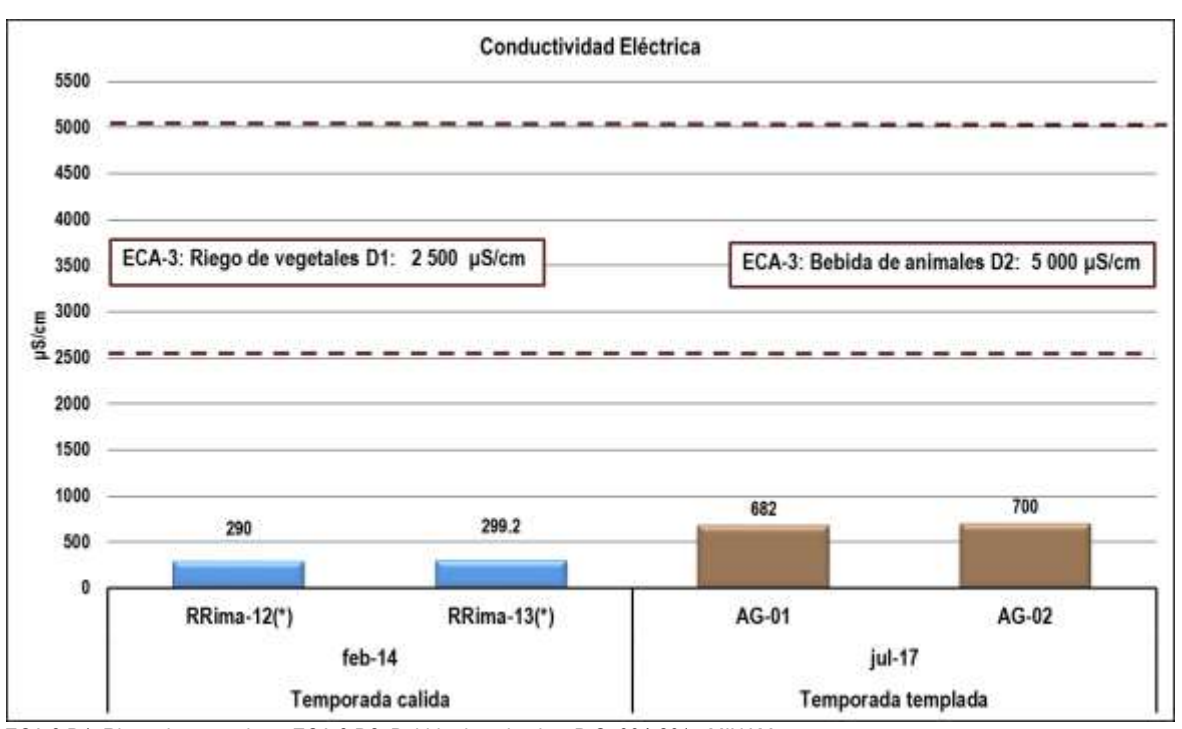
Temperatura

La temperatura es un indicador de la calidad del agua, que influye en el comportamiento de otros parámetros, tales como el pH, oxígeno disuelto, conductividad eléctrica y algunas variables físico-químicas como la solubilidad de las sales, así como procesos biológicos como la biodegradación de materia orgánica en el agua. Este parámetro es medido in situ y está relacionado con la temporalidad. En los resultados obtenidos hay una tendencia que se repite en la variabilidad de lecturas, tanto para temporada cálida como templada. En la temporada cálida la temperatura promedio en la hora de muestreo ha sido 24.6 °C. Y en temporada templada el promedio de temperaturas ha sido de 19.6 °C.

Conductividad

La conductividad es una expresión numérica que depende de la presencia y concentración de iones, de la movilidad y valencia de éstos así como de la temperatura del cuerpo de agua medido. Por ello, un cambio de este parámetro significa la alteración de la cantidad de sustancias disueltas. En la temporada templada, el valor de la conductividad, en los puntos de muestreo AG--01 (aguas abajo del puente proyectado) y AG-02 (aguas arriba del puente proyectado) registran valores de 682 y 700 μ S/cm que no superan el valor establecido en el ECA Categoría 3 D1 (Riego de vegetales; 2 500 μ S/cm) y D2 (Bebida de animales; 5 000 μ S/cm). En la temporada cálida, los registros de la ANA revelan disminución en valores de conductividad, esto puede ser debido a que el caudal es elevado en esta temporada y hay mayor dilución por tanto menor conductividad.

Figura 5.2.11-1 Resultados de Conductividad



ECA 3 D1: Riego de vegetales y ECA 3 D2: Bebida de animales, D.S. 004-2017-MINAM

(*) RRima-12 y RRima-13 códigos de la Autoridad Nacional del Agua (ANA)

Elaborado por Walsh Perú S.A. 2018





En los puntos de muestreo RRima-12 (aguas arriba del puente proyectado) y RRima-13 (aguas abajo del puente proyectado) se reportó 290 μS/cm y 299,2 μS/cm respectivamente, por tanto en la temporada cálida también se cumple con los rangos exigidos por el ECA Categoría 3 D1 (Riego de vegetales; 2 500 μS/cm) y D2 (Bebida de animales; 5 000 μS/cm). Elaboración: Walsh Perú S.A., 2017

Los códigos RRima-12 y RRima-13 son códigos del Monitoreo Participativo de la calidad de agua superficial de la cuenca del rio Rímac. (Oficio N° 1596-2014-ANA-AAA-CF-ALA.CHRL.)

pH

El pH del agua es una característica muy importante, que afecta el equilibrio entre la mayoría de las especies químicas, el potencial corrosivo del agua, la conveniencia del agua para mantener los organismos vivientes, y la mayoría de las demás características de la calidad del agua. El pH de un cuerpo de agua es un parámetro a considerar cuando queremos determinar la especiación química y solubilidad de varias substancias orgánicas e inorgánicas en agua.

En los puntos de muestreo AG-01 (aguas abajo del puente proyectado) y AG-02 (aguas arriba del puente proyectado) las mediciones de pH reportaron un valor de 10.1, en ambos puntos, estos exceden a la Categoría 3 D1 (Riego de vegetales; 6.5-8.5) y D2 (Bebida de animales; 6.5-8.4). Es probable que al no haber mucho caudal, algún tipo de efluente o discurrimiento haya influenciado en el resultado. En la temporada cálida, el pH reporto un valor mucho menor, esto puede ser debido a la influencia de la dilución producida por el mayor caudal. En los puntos de muestreo RRima-12 (aguas arriba del puente proyectado) y RRima-13 (aguas abajo del puente proyectado) se reportó 8.12 y 7.1 respectivamente, por tanto en la temporada cálida si se cumple con los rangos del ECA.

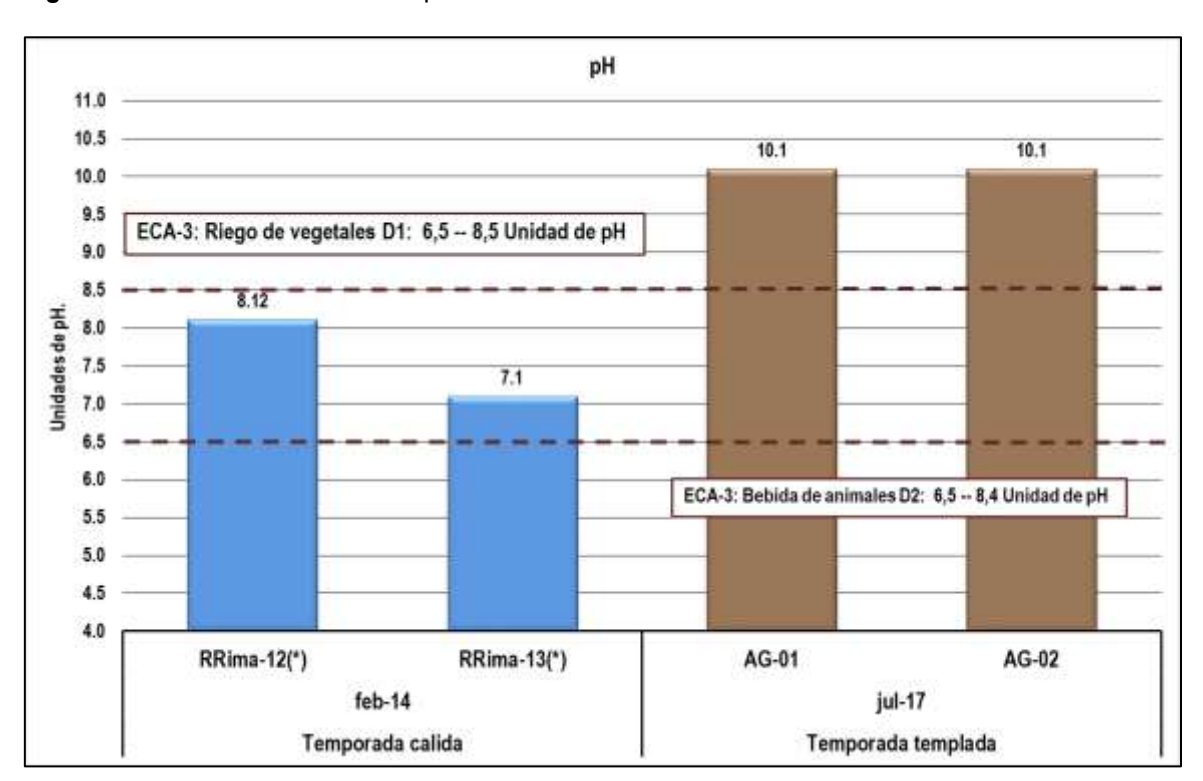


Figura 5.2.11-2 Resultados de pH

ECA 3 D1: Riego de vegetales y ECA 3 D2: Bebida de animales, D.S. 004-2017-MINAM (*) RRima-12 y RRima-13 códigos de la Autoridad Nacional del Agua (ANA) Elaborado por Walsh Perú S.A. 2018.





Oxígeno Disuelto

El oxígeno disuelto juega un papel importante en el incremento de la solubilidad o precipitación de iones que presenta alguna forma insoluble. Su presencia en el agua es vital para la vida superior y para la mayoría de los microorganismos. En aguas con mucha movilidad, es común encontrar los rangos de oxígeno disuelto obtenidos en los muestreos realizados. La mayoría del oxígeno proviene de la atmósfera y, en menor cantidad, de la acción fotosintética de las algas.

En los puntos de muestreo AG-01 (aguas abajo del puente proyectado) y AG-02 (aguas arriba del puente proyectado) las mediciones de Oxígeno disuelto registran valores de 8.08 mg/L y 8.03 mg/L, respectivamente, valores que se encuentran en el rango del ECA Categoría 3 D1 (Riego de vegetales; ≥4) y D2 (Bebida de animales; ≥5 mg/L). En los puntos muestreados por la ANA, en temporada cálida, los valores son similares. En los puntos de muestreo RRima-12 (aguas arriba del puente proyectado) y RRima-13 (aguas abajo del puente proyectado) se reportó 7.29 mg/L y 7.57 mg/L respectivamente, por tanto en la temporada cálida también se cumple con los rangos del ECA en ambas sub categorías.

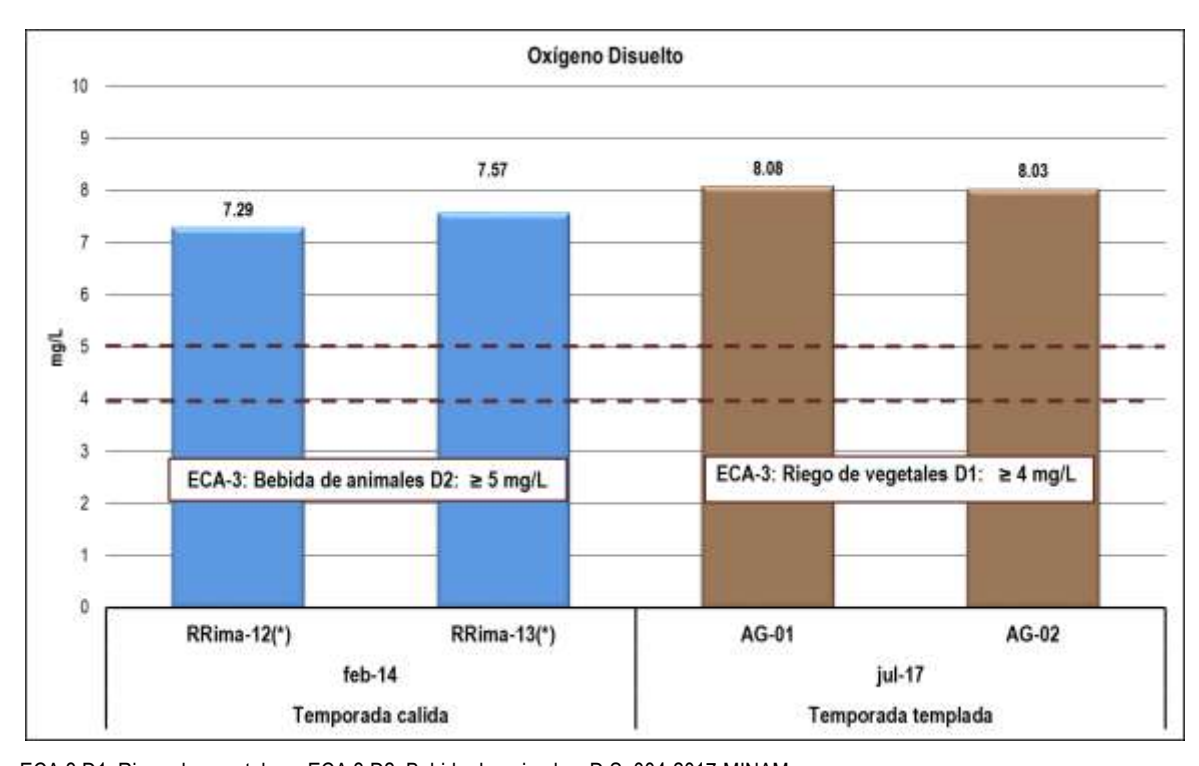


Figura 5.2.11-3 Resultados de Oxígeno Disuelto

ECA 3 D1: Riego de vegetales y ECA 3 D2: Bebida de animales, D.S. 004-2017-MINAM (*) RRima-12 y RRima-13 códigos de la Autoridad Nacional del Agua (ANA) Elaborado por Walsh Perú S.A. 2018.

PARÁMETROS FÍSICO-QUÍMICOS

Bicarbonatos

El contenido de bicarbonatos conjuntamente con los carbonatos e hidróxidos depende de la alcalinidad de aguas superficiales, la cual también podría depender de la presencia de boratos, fosfatos, silicatos y otras bases. La alcalinidad es un indicador de la calidad del agua, que si bien no constituye riesgo para la salud, es usado para controlar procesos de tratamiento.





En los puntos de muestreo AG-01 (aguas abajo del puente proyectado) y AG-02 (aguas arriba del puente proyectado) las mediciones de bicarbonatos registran valores de 177 mg/L y 171 mg/L, concentraciones que no supera el valor establecido para la Categoría 3 D1 (Riego de vegetales; 518 mg/L). La ANA no reporta valores de este parámetro en la temporada cálida, sin embargo, por los valores de pH deben tener una alcalinidad relativamente baja ya que el pH está dentro del rango que exige el estándar de calidad de agua en esta temporada.

Demanda Bioquímica y Química de Oxígeno

La demanda bioquímica de oxígeno (DBO₅) es una medida de la cantidad de oxígeno utilizado por los microorganismos durante la estabilización de la materia orgánica biodegradable, bajo condiciones aerobias, en un período de 5 días y a 20 °C. La prueba de DBO₅ es una de las más importantes en las operaciones de control de la contaminación de las corrientes; además de establecer los criterios de regulación, y para realizar estudios que evalúan la capacidad de purificación de cuerpos de agua receptores. En comparación, la demanda química de oxígeno (DQO) es la cantidad de oxígeno requerida para la oxidación química de la materia orgánica e inorgánica, sin diferenciar entre materia biodegradable y el resto. De allí se desprende que la demanda química de oxígeno sea mayor que la demanda bioquímica.

En la DBO₅ y en la DQO tanto aguas arriba (AG-02, RRima-12) como aguas abajo (AG-01 y RRima-13) se registró menor a límite de detección del método acreditado utilizado por el laboratorio, lo cual confirma que no supera el valor establecido en el ECA Categoría 3 D1 (Riego de vegetales: 40 mg/L), en agua de riego restringido y D2 (Bebida de animales: 40 mg/L). Los puntos RRima-12 y RRima-13 son puntos de monitoreo de la ANA.

• Cloruros, fluoruros, nitratos y nitritos

En puntos de muestreo AG-02 (aguas arriba del puente proyectado), la medición de Cloruros registro un valor de 49.1 mg/L, y en el punto AG-01 (aguas abajo del puente proyectado), se registró 43.4 mg/L, estos valores no superan el ECA Categoría 3 D1 (Riego de vegetales; 500 mg/L). La ANA no reporta valores de este parámetro en la temporada cálida.

En el punto de muestreo AG-02 (aguas arriba del puente proyectado), en concentración de floruros registran un valor de 0.21 mg/L y aguas abajo reporto un valor de 0.20 mg/L, este parámetro difícilmente precipita, por lo que su valor es casi constante, si no se presenta ningún afluente que incremente el caudal. Además los resultados del muestreo indican que este parámetro no supera el valor establecido en el ECA- Categoría 3-(Riego de vegetales: 1 mg/L).

En puntos de muestreo AG-02 (aguas arriba del puente proyectado), la medición de nitratos-nitritos registro un valor de 0.96 mg/L, y en el punto AG-01 (aguas abajo del puente proyectado), se registró 0.68 mg/L, estos valores no superan el ECA Categoría 3 D1 (Riego de vegetales; 500 mg/L). La ANA no reporta valores de este parámetro en la temporada cálida. Estos resultados guardan relación directa con el nitrito que reporta en AG-02 un valor de 0.36 mg/L y en AG-01 un valor de 0.26 mg/L, la tendencia se mantiene. Ninguno de estos valores superan la concentración establecida en el ECA-Categoría 3-(Riego de vegetales: 100 mg/L y bebida de animales: 10 mg/L). La ANA no reporta valores de este parámetro en la temporada cálida. Los puntos RRima-12 y RRima-13 son puntos de monitoreo de la ANA.





Sulfatos

En Sulfatos, tanto en los puntos AG-02 y RRima-12 (aguas arriba del puente proyectado) como en los puntos AG-01 y RRima-13 (aguas abajo del puente proyectado) reportaron concentraciones que no superan el valor establecido en el ECA establecido (1 000 mg/L) tanto para riego de vegetales y bebida de animales. En los puntos AG-02 y RRima-12 se reportó 163 mg/L y 124.35 mg/L, respectivamente y en los puntos AG-01 y RRima-13 se reportó 162 mg/L y 122.61 mg/L, respectivamente. Los puntos RRima-12 y RRima-13 son puntos de monitoreo de la ANA.

Aceites y Grasas, Fenoles y SAAM

Las sustancias orgánicas consideradas como relevantes para los fines de uso de la Categoría 3, riego de vegetales y bebida de animales, son los aceites y grasas; fenoles y SAAM (detergentes aniónicos).

Los aceites y grasas son compuestos orgánicos constituidos principalmente por ácidos grasos de origen animal y vegetal, además de hidrocarburos de alta densidad suelen encontrarse flotando sobre ésta. Los puntos AG-02 y RRima-12 (aguas arriba del puente proyectado) como en los puntos AG-01 y RRima-13 (aguas abajo del puente proyectado) reportaron concentraciones que no superan el valor establecido en el ECA Categoría 3 D1 (Riego de vegetales: 5 mg/L), en agua de riego restringido y D2 (Bebida de animales: 10 mg/L). En los puntos AG-02 y RRima-12 se reportó <0.25 mg/L y 3 mg/L, respectivamente y en los puntos AG-01 y RRima-13 se reportó 0.31 mg/L y 3.5 mg/L, respectivamente. Los puntos RRima-12 y RRima-13 son puntos de monitoreo de la ANA.

Los fenoles y SAAM pueden estar en el agua como resultado de contaminación industrial, al respecto de estos dos parámetros, se reportaron concentraciones menores al límite de detección del laboratorio en los puntos de muestreo AG--01 y AG-02 en la temporada templada. La ANA no ha considerado estos parámetros en su evaluación.

PARÁMETROS ORGÁNICOS

Los compuestos orgánicos Policloruros Bifenilos Totales (PCBs), Plaguicidas Organoclorados y Carbamatos, son regulados debido a sus características tóxicas y/o bioacumulativas Los resultados en parámetros orgánicos aguas arriba (AG-02, RRima-12) del puente proyectado así como aguas abajo (AG-01 y RRima-13) reporto concentraciones no significativos, es decir, menor al límite de detección del método de ensayo empleado por el laboratorio. Los puntos RRima-12 y RRima-13 son puntos de monitoreo de la ANA.

PARÁMETROS MICROBIOLÓGICOS Y PARASITOLÓGICOS

Los coliformes termo tolerantes son un subgrupo de los coliformes totales y se encuentran en grandes cantidades en los intestinos de humanos y animales y las heces.

Como es conocido el río es usado como receptor de los vertidos domestico por parte de la población y algunas industrias informales. El río Rímac reporta Coliformes Termo tolerantes en altas concentraciones en ambas temporadas. En la temporada templada los dos puntos evaluados AG-01 y AG-02 registran un valor de 54 000 NMP/100mL, y no se ha observado variación por efecto del recorrido. En el monitoreo realizado por la ANA los dos puntos RRima-12 y RRima-13 registran un valor de 330 000 NMP/100mL, este valor es mayor debido probablemente al elevado caudal que presenta el río Rímac en la temporada cálida.





Lo mismo ocurre con el *Escherichia coli*, en los puntos AG-01 y AG-02 las mediciones registran valores de 24 000 NMP/100ml y 9,200 NMP/100ml, respectivamente valores que superan ampliamente el ECA Categoría 3 D1 (Riego de vegetales), en agua de riego restringido. La ANA no reporta valores de este parámetro en la temporada cálida.

En los puntos de muestreo AG--01 y AG-02 las mediciones de *Huevos Helmintos*, no reportan presencia alguna. Se indica menor al Límite de detección (<1 Huevo/L). La no existencia de este parámetro se podría deber, a que para el tipo de volumen de agua existente el número de los huevos es muy pequeño.

METALES TOTALES

Los metales constituyen parte natural de suelos, rocas, plantas y de tejidos animales. Diversos estudios realizados por la Autoridad Nacional del Agua (ANA) y la Dirección General de Salud Ambiental (DIGESA), así como estudios de entidades privadas indican que la calidad de las aguas del río Rímac, en cuanto al contenido de metales se refiere, ha sido afectado. "La cuenca del Rímac es una zona donde la actividad minera polimetálica se ha desarrollado desde muchas décadas atrás aproximadamente desde los años 30, época en la cual no se tenían las actuales exigencias de la normativa ambiental legal. En la cuenca alta y media del río Rímac, las principales fuentes de contaminación son los depósitos de relaves mineros, bocaminas y depósitos de escombros mineros (pasivos ambientales mineros), descargas de aguas residuales domésticas y municipales procedentes de los diversos poblados. Es por esta razón que el contenido de metales tales como: arsénico, cadmio, plomo, hierro, manganeso y aluminio son muy elevados", DGCRH - ANA.

Bario, Berilio, Boro, Cadmio, Cobalto, Cromo Total, Litio, Magnesio, Mercurio, Níquel, Selenio y Zinc.

Los metales mencionados, han registrado valores menores al límite de detección, tanto en el punto de muestreo AG-01 y AG-02, y los reportados por la ANA, en ambas temporadas, y ninguna supera el ECA categoría 3: D1 (Riego de vegetales) y D2 (Bebida de animales), por tanto la concentración de estos metales no presentan riesgo para la función a la que el agua está destinado.

Arsénico, Cobre, Hierro, Manganeso y Plomo

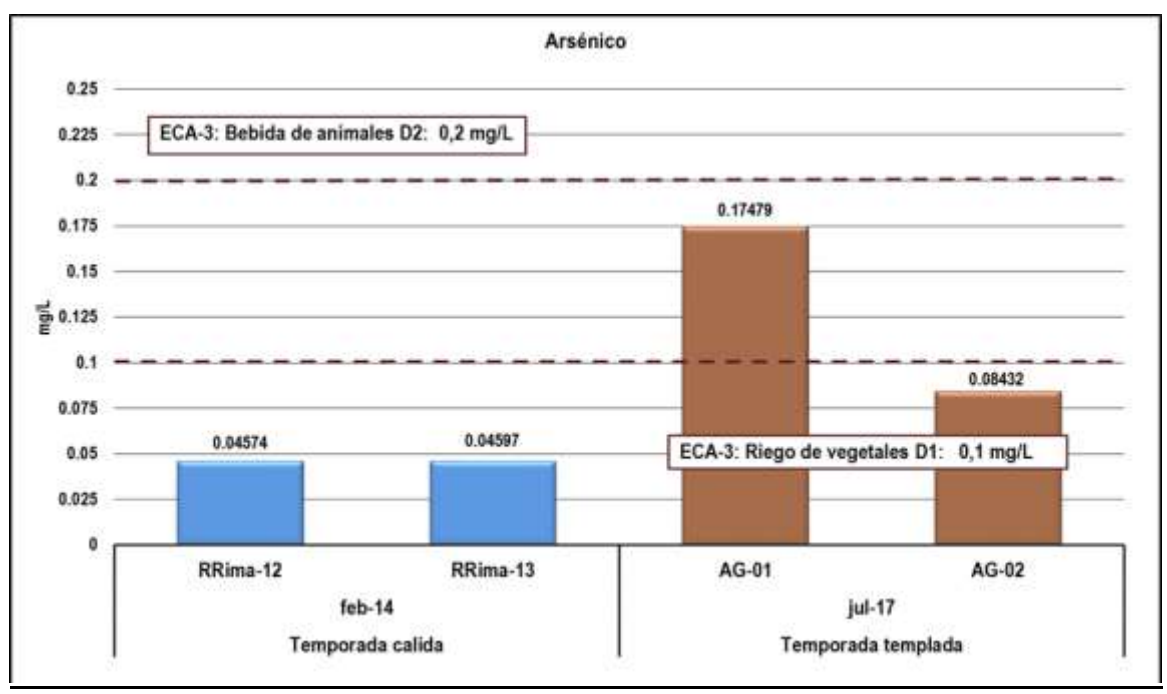
En arsénico, el monitoreo realizado por la ANA en temporada cálida, da como resultado en los puntos de monitoreo RRima-12 y RRima-13, lecturas que no sobrepasan el ECA Categoría 3 D1 y D2. En el muestreo realizado en la temporada templada las concentraciones se han incrementado, el punto AG-1 (aguas abajo del puente proyectado) si ha superado el ECA-categoría 3 subcategoría D1 (Riego de vegetales), pero no ha sobrepasado el ECA-categoría 3 subcategoría D2 (Bebida de animales). En tanto el punto AG-02 (aguas arriba del puente proyectado) no sobrepasa ambas subcategorías. Ver Figura 5.2.11-4.

En cobre, el monitoreo realizado por la ANA en temporada cálida, da como resultado (en los puntos de monitoreo RRima-12 y RRima-13) lecturas que no sobrepasan el ECA Categoría 3 D1 y D2. En el muestreo realizado en temporada templada las concentraciones se han incrementado, el punto AG-1 (aguas arriba de puente proyectado) si ha superado el ECA-categoría 3 subcategoría D1 (Riego de vegetales), pero no ha sobrepasado el ECA-categoría 3 subcategoría D2 (Bebida de animales). Ver Figura 5.2.11-5.



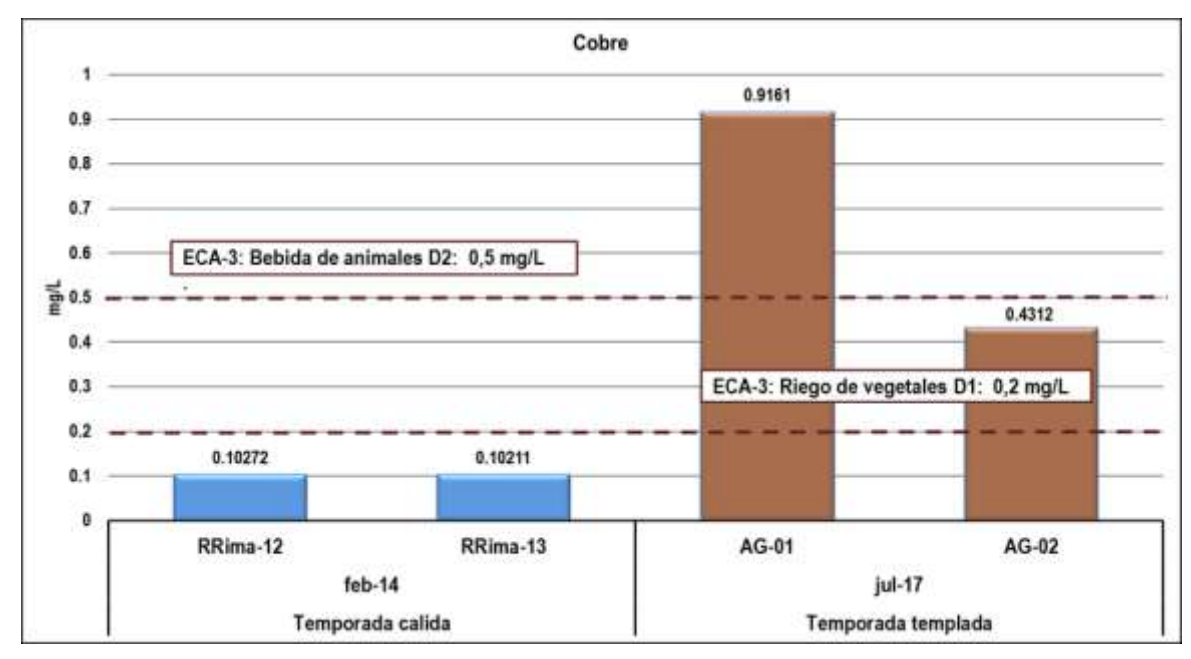


Figura 5.2.11-4 Resultados de Arsénico



ECA 3 D1: Riego de vegetales y ECA 3 D2: Bebida de animales, D.S. 004-2017-MINAM (*) RRima-12 y RRima-13 códigos de la Autoridad Nacional del Agua (ANA) Elaborado por Walsh Perú S.A. 2018.

Figura 5.2.11-5 Resultados de Cobre



ECA 3 D1: Riego de vegetales y ECA 3 D2: Bebida de animales, D.S. 004-2017-MINAM (*) RRima-12 y RRima-13 códigos de la Autoridad Nacional del Agua (ANA) Elaborado por Walsh Perú S.A. 2018

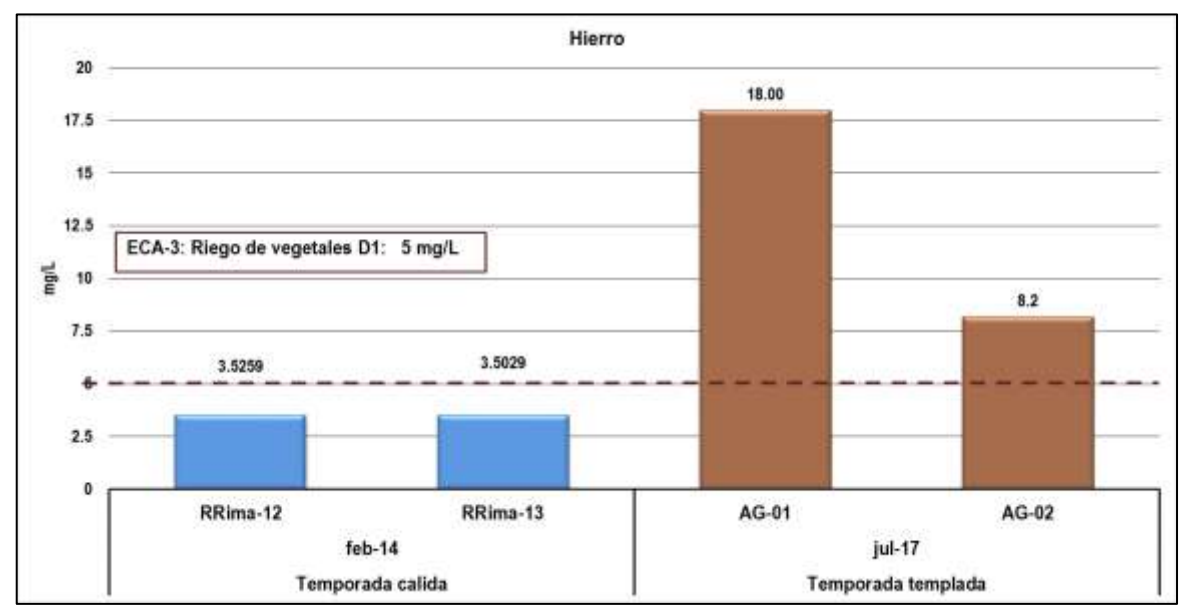
En Hierro, el monitoreo realizado por la ANA en temporada cálida, da como resultado en los puntos de monitoreo RRima-12 (aguas arriba del puente proyectado) y RRima-13 (aguas abajo del puente proyectado) lecturas que no sobrepasan el ECA Categoría 3 D1. Mientras en el muestreo realizado





en temporada templada las concentraciones se han incrementado, el punto AG-1 (aguas arriba de puente proyectado) y el punto AG-02 han superado el ECA-categoría 3 subcategoría D1 (Riego de vegetales). Ver Figura 5.2.11-6.

Figura 5.2.11-6 Resultados de Hierro



ECA 3 D1: Riego de vegetales y ECA 3 D2: Bebida de animales, D.S. 004-2017-MINAM (*) RRima-12 y RRima-13 códigos de la Autoridad Nacional del Agua (ANA) Elaborado por Walsh Perú S.A. 2018

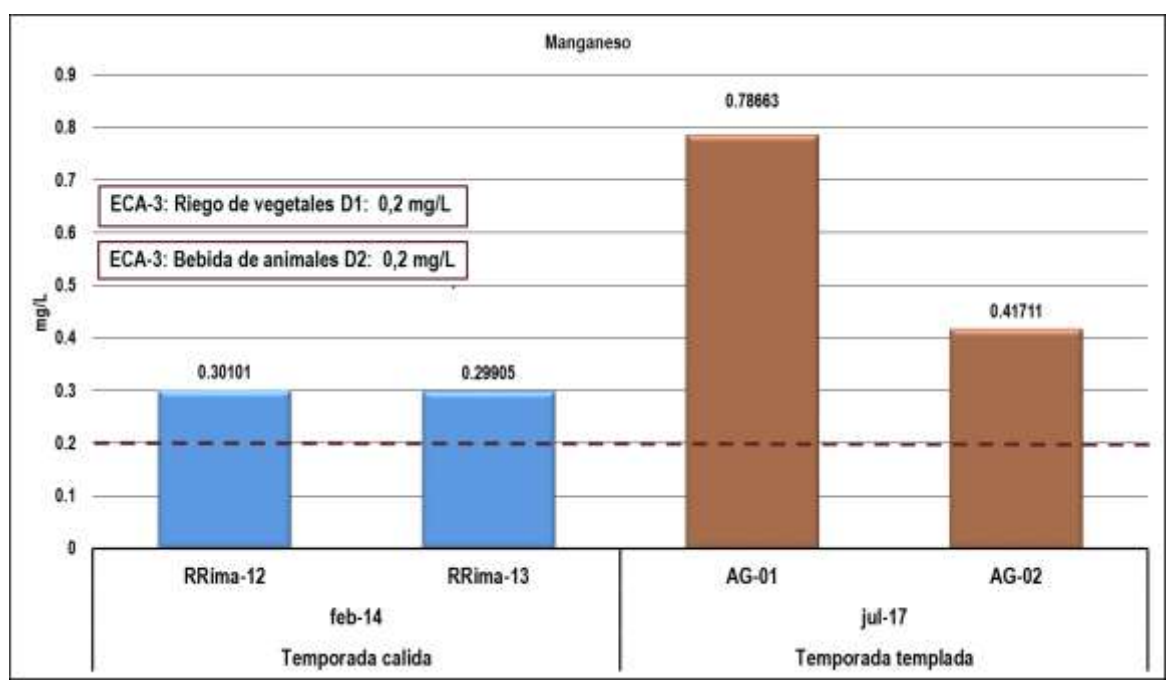
En Manganeso, los puntos monitoreados por la ANA, en la temporada cálida han registrado concentraciones que sobrepasan el ECA categoría 3 D1 y D2. De hecho, ya de por sí, la cuenca del Rímac tiene problemas de altas concentraciones de manganeso (además de otros metales) lo cual confirma la influencia de la geología en la calidad del agua. Así mismo en el muestreo realizado en temporada templada, en los puntos AG-01 (aguas abajo del puente proyectado) y AG-02 (aguas arriba del puente proyectado) sobrepasan el ECA categoría 3 D1 y D2. Ver Figura 5.2.11-7.

En Plomo, los puntos monitoreados por la ANA, en la temporada cálida han registrado concentraciones elevadas que sobrepasan el ECA categoría 3 D1 y D2. Así mismo, en el muestreo realizado en temporada templada, en el punto AG-01 (aguas abajo del puente proyectado) se sobrepasa el ECA categoría 3 D1 y D2 y en el punto AG-02 (aguas arriba del puente proyectado) el registro no sobrepasó el ECA categoría 3 D1 y D2. Ver Figura 5.2.11-8.



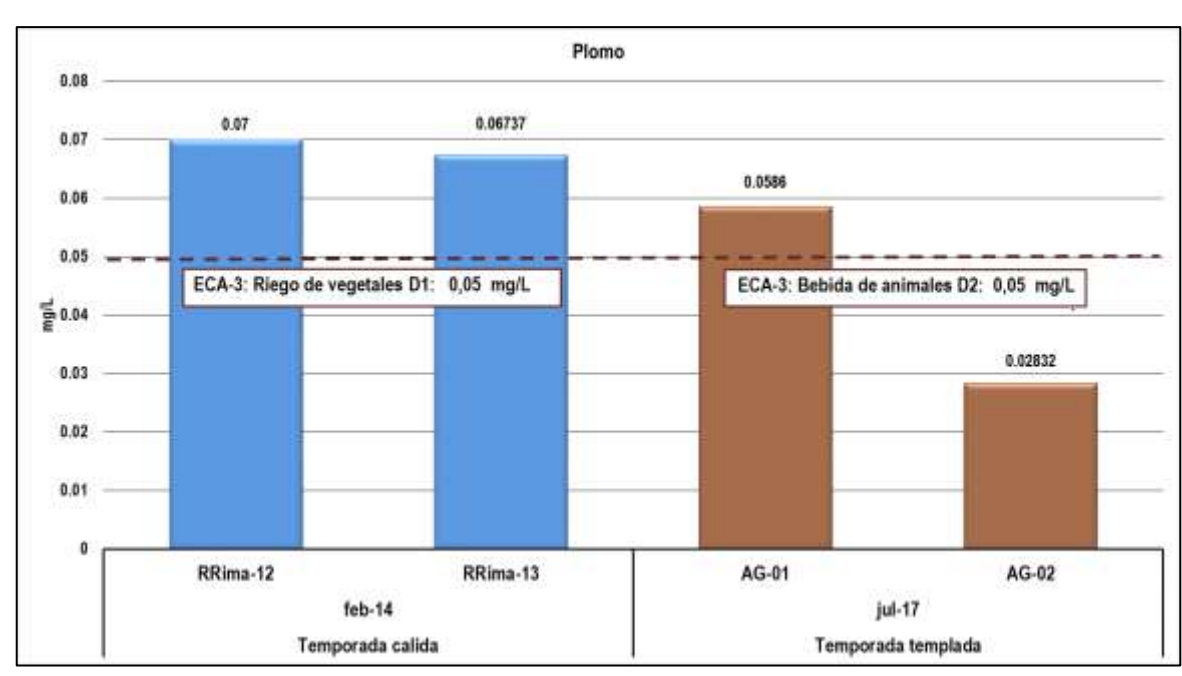


Figura 5.2.11-7 Resultados de Manganeso



ECA 3 D1: Riego de vegetales y ECA 3 D2: Bebida de animales, D.S. 004-2017-MINAM (*) RRima-12 y RRima-13 códigos de la Autoridad Nacional del Agua (ANA) Elaborado por Walsh Perú S.A. 2018

Figura 5.2.11-8 Resultados de Plomo



ECA 3 D1: Riego de vegetales y ECA 3 D2: Bebida de animales, D.S. 004-2017-MINAM (*) RRima-12 y RRima-13 códigos de la Autoridad Nacional del Agua (ANA) Elaborado por Walsh Perú S.A. 2018



■Walsh

B) Humedal

La evaluación de los humedales en el área del proyecto se ha llevado a cabo en dos temporadas. La temporada templada (meses de invierno) y temporada cálida (meses de verano).

Resultados de calidad de aguas en el Humedal de la Ex zona Industrial **Cuadro 5.2.11-7**

	7	Temporada Templada	a Templada			Temporada Cálida			D. S. N. 004-201
Parámetros	Unidad de medida		Jul-17	Ма	Mar-18		Abr-18		MINAM Categoría 4
	8000	AG-03(1)	AG-04(2)	AG-03 ⁽³⁾	AG-04(3)	AG-05 ⁽⁴⁾	AG-06 ⁽⁴⁾	AG-07 ⁽⁴⁾	Lagos
IN SITU									
Conductividad	µS/cm a 25°C	3 640	3570	3790	4220	3130	3440	3050	1000
Oxigeno Disuelto	mg/L O ₂	3.06	5.93	3.08	0.22	3.33	4./3	5.37	ξί i
Hd.	Unidades de pH	8.71	7.48	7.33	d.75	7.43	7.34	7.13	6.5-9
l emperatura Eísico-OliíMicos	ņ	20.02	23.3	77	97	24.8	75.3	78	Δ3
Aceites v Grasas	ma/L	< 0.25	< 1.0	< 0.005	< 0.005	< 0.025	< 0.025	< 0.025	5
Cianuro Libre	ma/L	< 0.002	< 0.0008	< 0.002	< 0.002	< 0.002	< 0.002	< 0.002	0.0052
Color	Color verdadero	46	00	20	24	50	34	25	20
A	escala Pt/Co	0	24	22	1.000	27	- 0	22	
Clorotila A	mg/L	< 0.005	< 0.005	< 0.005	< 0.005	\$00.0 >	< 0.005	< 0.005	0.008
DBO 5	mg/L	< 1.1	< 1.1	< 1.1	< 1.1	1.8	1.8	1.2	5
Fenoles	mg/L	< 0.001	< 0.001	< 0.001	< 0.001	< 0.001	< 0.001	< 0.001	2.56
Fósforo total	mg/L	0.142	0.145	0.111	0.188	0.307	0.335	0.041	0.035
Nitratos	mg/L N-NO3	1.1	<0.11	0.46	0.46	0.41	0.41	0.43	13
Amoniaco Nitré ages Total	mg/L	4.07	0.09	1.3	0.82	0.1	0.08	0.15	1 0 345
Sálidos Ciencadidos Totalos	mg/L mg/l	1.9.1	0.11	1.7	1.3	0.0	0.33 8 F	00.00	0.313
Solidos Suspelididos Totales	mg/L mg/l	0 0000 /	9,33	07/0	10	9.0	0.0	0 0/	C75
INORGÁNICOS	11.9/L	0.00.07	00.0	7.40	00.07	00.07	00.07	00:07	0.002
A spinopijo	// cw	0.00422	0,000,0	0 00044	0,00063	0.00044	0.00042	00000	790
Archino	mg/L mg/l	0.00133	0.00033	0.0044	0.00063	0.00014	0.00013	0.0003	0.04
Rario	mg/l	0.00400	0.00323	0.01	0.0311	0.0377	0.00741	0.0027	2.5
Cadmio Disuelto	mg/L	< 0.00001	< 0.00001	< 0.00001	< 0.00001	0.00002	0.00002	0.00001	0.00025
Cohre	1/6 //ww	0.0019	0.0007	0.0008	< 0.0003	0 0003	0 0004	0.0015	0.1
Cromo VI	T/S:::	< 0.008	< 0.008	< 0.008	< 0.008	< 0.008	< 0.008	> 0.008	0.011
Mercurio	ma/L	< 0.00007	< 0.00007	< 0.00007	< 0.00007	< 0.00007	< 0.00007	< 0.00007	0.0001
Níquel	mg/L	0.0019	0.0015	0.0017	0.0017	0.0013	0.001	< 0.0009	0.052
Plomo	mg/L	960000	0.00062	0.00106	0.00036	0.0003	0.00028	0.00229	0.0025
Selenio	mg/L	0.00249	0.00111	0.00109	0.00067	0.00085	0.00064	0.00174	0.005
Talio	mg/L	< 0.00001	< 0.00001	< 0.00001	< 0.00001	< 0.00001	< 0.00001	< 0.00001	0.0008
Zinc	mg/L	0.014	0.002	0.061	0.322	0.003	0.003	600.0	0.12
ORGÁNICOS									
COMPUESTOS ORGANICOS VOLATILES	TILES		_	-				-	
нтр	mg/L	< 0.05	< 0.1	< 0.0005	< 0.0005	< 0.05	< 0.05	< 0.05	0.5
Hexaclorobutadieno	mg/L	< 0.0005	< 0.0005	< 0.0005	< 0.0005	< 0.0005	< 0.0005	< 0.0005	0.0006
BIEX		000	0000	000	000	0 001	0000	0000	
Benceno Lipocappi poa abomaticos	mg/L	< 0.007	< 0.007	< 0.007	< 0.007	< 0.007	< 0.007	> 0.007	0.05
Renzo(a)nireno	1/00	< 250	800000 >	< 0.00008	< 0.00008	> 0 0000	> 0 0000	> 00000	10000
Antraceno	1/61	< 2.50	800000 >	000000 >	000000 >	000000 >	000000 >	000000 >	0.000
Fluoranteno	/gu	< 0.500	800000 >	> 000008	000000 >	800000 >	800000 >	800000 >	0.001
BIFENILOS POLICLORADOS	- - - -		0000	0000		00000	0000		5
PCB	l/gn	< 2.50	< 0.00008	<12.5	<12.5	<0.0125	<0.0875	<0.0025	0.000014
PLAGUICIDAS									
Malation	l/gu	< 2.50	< 2.50	<12.5	<12.5	<0.0125	<0.0875	<0.0025	0.0001
Parathion	l/gn	< 2.50	< 2.50	<12.5	<12.5	<0.0125	<0.0875	<0.0025	0.000013
Aldrin	l/gn	< 0.400	< 0.400	<2.0 .2.5	<2.0	<0.0020	<0.0140	<0.0004	0.000004
Clordano	l/gu	< 2.50	< 2.50	<12.5	<12.5	<0.0125	<0.0875	<0.0025	0.0000043
DDI	l/gr	< 0.400	< 0.400	<2:0 2:0	<2:0 2:0 2:0	<0.0020	<0.0140	<0.0004	0.000001
Dieluin	1/bu	× 0.400	× 0.400	22.0	0.55	\.\.\.\.\.\.\.\.\.\.\.\.\.\.\.\.\.\.\.	<0.0140 <0.0140	>0.0004 >0.0004	0.000036
Endosaliali	1/50	< 0.400	< 0.400	0.5>	0.5	<0.3023	<0.0140	<0.0004	0.000036
Heptacloro	/bu	< 2.50	< 2.50	<12.5	<12.5	<0.0125	<0.0875	<0.0025	0.000038
Heptacloro Epóxido	l/gn	< 2.50	< 2.50	<12.5	<12.5	<0.0125	<0.0875	<0.0025	0.0000038
Lindano	l/gn	< 0.400	< 0.400	<2.0	<2.0	<0.0020	<0.0140	<0.0004	0.00095
Pentaclorofenol	l/gu	< 0.50	< 0.50	<0.50	<0.50	<0.50	<0.50	<0.50	0.001
CARBAMATO	•								
Aldicarb	l/gu	< 10.0	< 10.0	< 10.0	< 10.0	1	1	1	0.001
MICROBIOLOGICOS Colifornes Termotolerantes NMP/100 ml 79	NIMD/100 ml	70	6	540	350	67	110	62	7000
(coliformes lermonomeranies	NMP/100 Fil	2		540	ებე	2 4	⊇. -	2	

⁽²⁾Informe de ensayo N° MIT-17/00638 Octubre 2017 Laboratorio AGQ Perú S.A.C. (3)Informe de ensayo N° MIT-18/00291 Marzo 2018 Laboratorio AGQ Perú S.A.C. (5)Informe de Monitoreo Ambiental Tramo III-B Proyecto de Mejoramiento de la AV. Néstor Gambetta – CALLAO-2016. Elaborado por Walsh Perú S.A. 2018





Temperatura

Los valores de temperatura reportados del agua son determinados por la temporalidad, característica de la zona donde se origina, normalmente en la temporada cálida es un poco mayor que en la temporada templada, aunque también depende de la hora de muestreo.

Potencial de Hidrógeno (pH)

En general, se usa para expresar la intensidad de la condición ácida o alcalina existente en un cuerpo de agua. Habitualmente, el pH en medios hidrosféricos varía entre 6,5 y 8,5 debido a la presencia de especies químicas que amortiguan el pH; sin embargo, en situaciones extremas, el pH puede sobrepasar dichos límites. Los valores de pH obtenidos en el punto de muestreo AG-03 (temporada templada) y en el punto de monitoreo CA-01 (temporada cálida), se encontraron dentro del rango establecido en los ECA-Categoría 4: "Lagunas y lagos" (pH de 6,5-9), con los valores 8,71 y 7,84, respectivamente. Ver Figura 5.2.11-9.

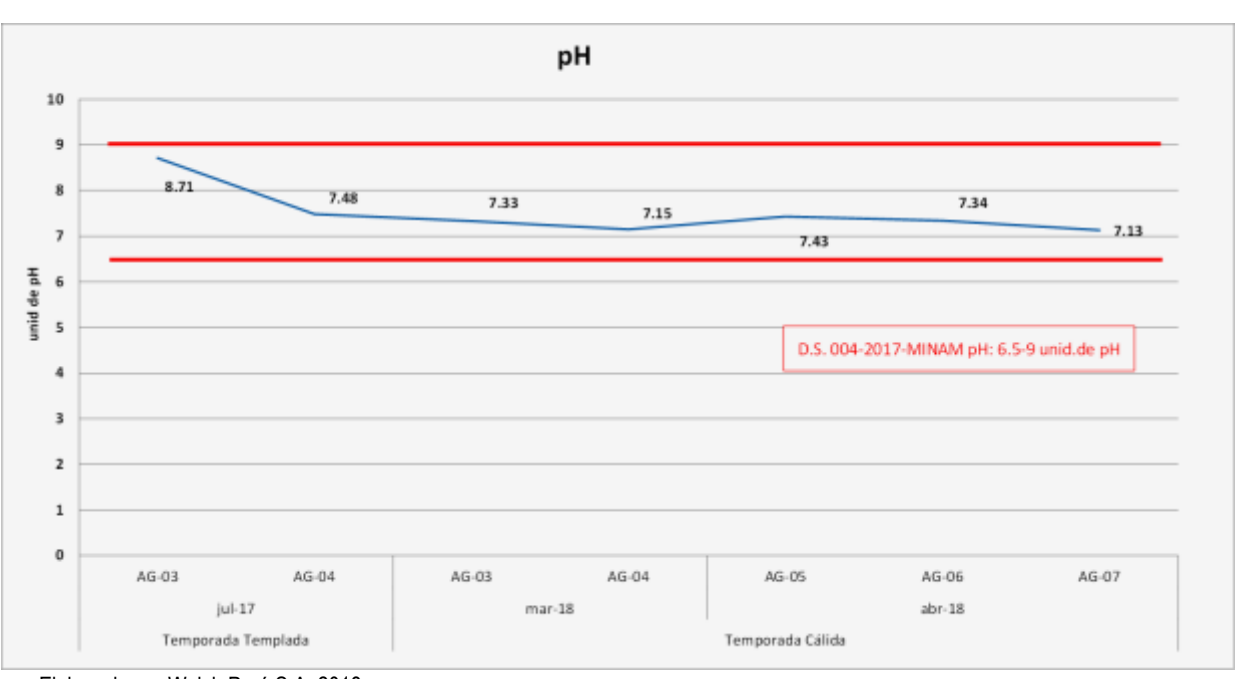


Figura 5.2.11-9 Resultados de pH

Elaborado por Walsh Perú S.A. 2018

Oxígeno disuelto (O.D.)

El reporte de oxígeno disuelto es variable, entre ellos la movilidad en el cuerpo de agua, en temporada templada se concentran más todos los componentes incluyendo la materia orgánica que debe estar consumiendo el oxígeno disuelto disponible.

En la temporada templada el punto de monitoreo AG-03 ha reportado 3.06 mg/L OD y en la temporada cálida registra el valor de 3.33 mg/L, no ha habido mucha variación. En la temporada templada el

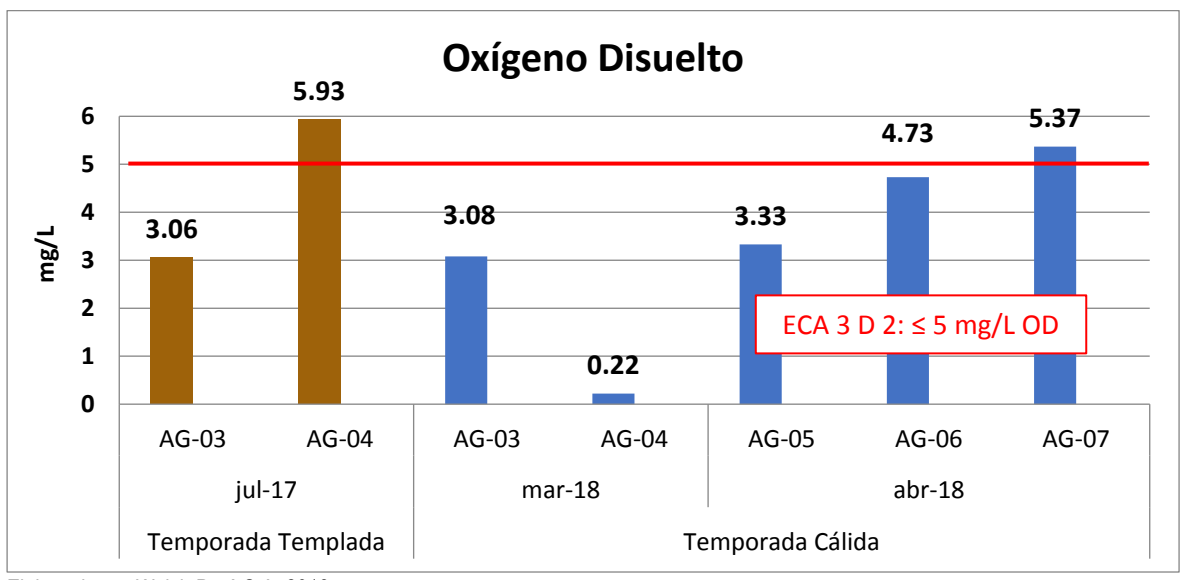




punto de monitoreo AG-04 ha reportado 5.93 mg/L OD y en la temporada cálida registra el valor de 0.22 mg/L, habiendo mucha variación por la presencia de materia orgánica que ha consumido el oxígeno disuelto en el agua superficial.

En la temporada cálida los registros en los puntos AG-05 y AG-06 no cumplen con el nivel establecido por el ECA-Categoría 4 E1: "Lagunas y lagos" (≥5 mg/L) ya que ha reportado un valor de 3.33 mg/L y 4.73 mg/L respectivamente, mientras que en el punto AG-07 ha obtenido un resultado óptimo de 5.37 mg/L OD.

Figura 5.2.11-10 Resultados de Oxígeno Disuelto



Elaborado por Walsh Perú S.A. 2018

PARÁMETROS FISICOQUÍMICOS

Aceites y Grasas

Los valores registrados de Aceites y Grasas en los puntos evaluados de ambas temporadas fueron menores al límite de detección del método de análisis empleado por el laboratorio acreditado, por tanto se cumple con las características establecidas en el ECA-Categoría 4 E1 "Lagunas y lagos" en este parámetros (5 mg/L).

Cianuro Libre

El cianuro es un producto químico ampliamente utilizado por la industria minera para la disolución o lixiviación de metales preciosos. Su alto grado de toxicidad lo convierten en un compuesto de gran peligrosidad si no es manipulado de manera adecuada. Su toxicidad depende de que el cianuro se encuentre en forma libre (gas o líquido) o compleja (acuoso o sólido).

Los valores registrados de Cianuro libre en los puntos evaluados de ambas temporadas fueron menores al límite de detección del método de análisis empleado por el laboratorio acreditado, por





tanto se cumple con las características establecidas en el ECA-Categoría 4 E1 "Lagunas y lagos" en este parámetros (0,0052 mg/L).

Color

Son una familia de pigmentos de color verde que se encuentran en las cianobacterias y en todos aquellos organismos que contienen plastos en sus células, lo que incluye a las plantas y a las diversas algas eucarióticas. La clorofila es una biomolécula extremadamente importante, crítica en la fotosíntesis, proceso que permite a las plantas y algas absorber energía a partir de la luz solar.

Los valores registrados de clorofila, en los puntos evaluados en ambas temporadas fueron menores al límite de detección del método de análisis empleado por el laboratorio acreditado, cumpliendo por lo tanto con el valor establecido en los ECA-Categoría 4 E1: "Lagunas y lagos" para este parámetro (0,008 mg/L).

Clorofila A

Son una familia de pigmentos de color verde que se encuentran en las cianobacterias y en todos aquellos organismos que contienen plastos en sus células, lo que incluye a las plantas y a las diversas algas eucarióticas. La clorofila es una biomolécula extremadamente importante, crítica en la fotosíntesis, proceso que permite a las plantas y algas absorber energía a partir de la luz solar.

Los valores registrados de clorofila, en los puntos de la temporada templada fueron menores al límite de detección del método de análisis empleado por el laboratorio acreditado, cumpliendo por lo tanto con el valor establecido en los ECA-Categoría 4 E1: "Lagunas y lagos" para este parámetro (0,008 mg/L).

Demanda Bioquímica de Oxígeno (DBO₅)

La demanda bioquímica de oxígeno es una medida de la cantidad de oxígeno utilizado por los microorganismos durante la estabilización de la materia orgánica biodegradable. Los valores de la DBO5, en los puntos evaluados, reportaron menor al límite de detección del método empleado por el laboratorio acreditado, cumpliendo por lo tanto con el valor establecido en los ECA-Categoría 4: "Lagunas y lagos": (<5 mg/L).

Fenoles

Los fenoles pueden estar en el agua como resultado de contaminación industrial y cuando reaccionan con el cloro que se añade como desinfectante, estos forman cloro fenoles que son un serio problema, al caracterizar el agua, porque dan al agua muy mal olor y sabor. Los valores de concentración registrados de fenoles en los puntos evaluados de ambas temporadas fueron menores al límite de detección del método de análisis empleado por el laboratorio acreditado, cumpliendo por lo tanto con el valor establecido en los ECA-Categoría 4 E1: "Lagunas y lagos" (2,56 mg/L).

Nitratos

El nitrógeno, es el segundo en importancia para la vida acuática, y para que exista continuidad en la vida acuática y es necesario un intercambio continuo y balanceado de los organismos residentes y su medio ambiente. Los nitratos son la forma de nitrógeno que se encuentran en mayores





concentraciones. Los nitratos actualmente constituyen la principal fuente de contaminación difusa de las aguas, debido a que a altas concentraciones se convierten en un problema que representa un riesgo para la salud.

Los registros obtenidos en ambas temporadas en todos los puntos evaluados cumplen con el ECA establecido para este parámetro Categoría 4 E1: "Lagunas y lagos" (13 mg/L).

Nitrógeno Total

El nitrógeno total refleja la cantidad total de nitrógeno en el agua analizada, siendo la suma del nitrógeno orgánico en sus diversas formas (proteínas y ácidos nucleicos en diversos estados de degradación, urea, aminas, etc.) y el ion amonio NH4+.

El valor de nitrógeno total obtenido en los puntos de muestreo AG-03 y AG-04 en la temporada templada, fueron de 1.97 mg/L y <0.11 mg/L respectivamente, el primero de ellos no cumple con el nivel establecido por el ECA-Categoría 4 E1: "Lagunas y lagos" (0.315 mg/L). Así mismo, en la temporada cálida ambos puntos AG-03 y AG-04 obtuvieron 1.7 mg/L y 1.3 mg/L respectivamente, y no cumplen con el ECA.

Por otro lado los puntos AG-05, AG-06 y AG-07 obtuvieron 0.6, 0.55 y 0.66 mg/L respectivamente sobrepasando el valor establecido para este parámetro (0.315 mg/L), esto puede deberse a la descomposición de materia orgánica presente en el aqua.

Sólidos Suspendidos Totales (TSS)

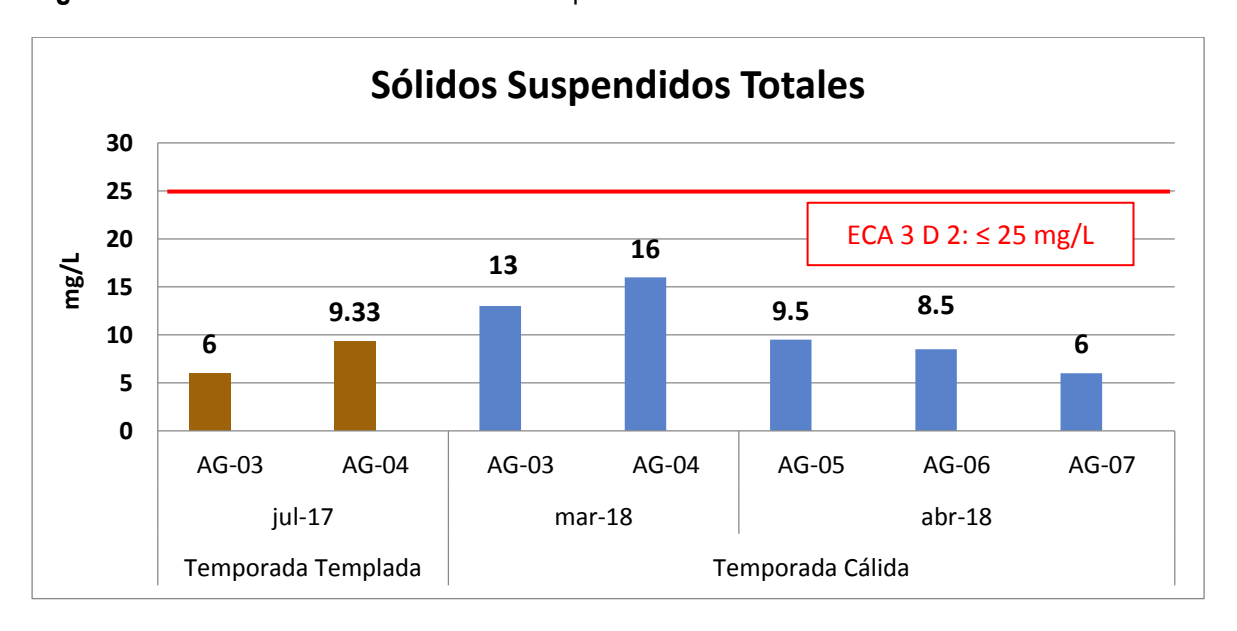
Los sólidos suspendidos se refieren a la presencia de partículas orgánicas e inorgánicas que se encuentran en suspensión en la columna de agua, proveniente de restos de animales, plantas marinas y material doméstico e industrial. La reducción de la claridad del agua se le atribuye a la presencia de sólidos suspendidos.

Los valores TSS registrados en los puntos evaluados de ambas temporadas, cumplieron con el valor establecido en los ECA-Categoría 4: "Lagunas y lagos (≤ 25 mg/L). Este resultado es de esperarse debido a que este cuerpo de agua, no experimenta movimientos de oleaje o escorrentía.





Figura 5.2.11-11 Resultados de Sólidos Suspendidos Totales



Elaborado por Walsh Perú S.A. 2018





• Sulfuro

Este compuesto es un gas con olor a huevos podridos y es altamente tóxico. Pertenece, también a la categoría de los ácidos por lo que, en disolución acuosa, se le denomina ácido sulfhídrico. En la Naturaleza, se forma en las zonas pantanosas y en el tratamiento de lodos de aguas residuales, mediante transformaciones anaeróbicas del azufre contenido en las proteínas o bien por reducción bacteriana de sulfatos. Se desprende también en las emisiones gaseosas de algunos volcanes y es asimismo un subproducto de algunos procesos industriales.

PARÁMETROS INORGÁNICOS

Los resultados de Metales Totales para los puntos de muestreo en la temporada cálida y templada se presentan en el Cuadro 5.2.11-7.

Metales

En referencia a los 12 metales que se evalúan en la categoría 4, en ambas temporadas, se puede indicar que en ningún caso se sobrepasa el ECA, Todos los demás metales registran por debajo del ECA o menor a límite de detección, en ambas temporadas.

PARÁMETROS ORGÁNICOS

Compuestos Orgánicos Volátiles (VOCs)

Los VOCs son sustancias químicas que contienen carbono y que se encuentran en todos los elementos vivos, y son liberados por quema de combustibles o disolventes. Dichos compuestos, son de importancia, debido a que son peligrosos contaminantes del aire, y se le considera uno de los principales compuestos destructores del ozono estratosférico.

Los Hidrocarburos Totales de Petróleo (TPH) se usan para describir a una gran familia de varios cientos de compuestos químicos originados de petróleo crudo, siendo una mezcla principalmente de hidrógeno y carbono. Los TPH se han dividido en grupos o fracciones para identificar su estudio, dentro de ellos, se tiene las fracciones $C_{10}-C_{40}$, en los que contienen muchos productos químicos principales que son agentes contaminantes, y que son materia de estudio en el presente informe. La concentración de hidrocarburos totales de petróleo ($C_{10}-C_{40}$), medido en la temporada cálida, y templada fueron menores al límite de detección del método de análisis empleado por el laboratorio acreditado (0.05~mg/L), cumpliendo con el ECA-Categoría 4 E1: Lagunas y Lagos (0.5~mg/L). Esto descarta la contaminación de los cuerpos de agua de la zona con hidrocarburos.

BTEX

Los BTEX, son siglas que incluyen compuestos orgánicos volátiles derivados del petróleo, como el benceno. Dicho compuesto, normalmente se encuentra en sitios de producción de petróleo y gas natural, y sus efectos es altamente nocivo para el sistema nervioso central, de allí la importancia de su estudio en el presente informe. Los valores obtenidos en el 100% de parámetros medidos fueron menores al límite de detección del método de análisis empleado por el laboratorio acreditado, por lo tanto no supera al ECA-Categoría 4 E1: Lagunas y lagos.





Bifenilos Policlorados (PCBs)

Los PCBs son una serie de compuestos organoclorados, y se forman mediante la cloración de diferentes posiciones de bifenilos. Los PCBs, en especial los coplanares tienen importancia medioambiental y analítica debido a su toxicidad. En general, se encuentran formando parte de intercambiadores eléctricos, como transformadores o estaciones rectificadoras.

No se encontró concentración de PCB, en las muestras estas fueron menores al límite de detección del método de análisis empleado por el laboratorio acreditado por lo tanto no supera al ECA Categoría 4 E1: Lagunas y lagos (0,000014 mg/L).

Pesticidas Organofosforados y Organoclorados

Ambos pesticidas son un grupo de químicos usados como plaguicidas artificiales para controlar las poblaciones plagas de insectos. La importancia de su estudio es por ser extremadamente peligrosas para el ambiente y tóxicas para los seres vivos (de acuerdo al nivel de dosis), de allí la importancia de su estudio en el presente informe. Todos los parámetros en esta clasificación considerados en la evaluación (Cuadro 4), fueron menores al límite de detección del método de análisis empleado por el laboratorio acreditado, y por lo tanto cumplen con lo establecido en los ECA Categoría 4: Lagunas y lagos.

Carbamatos

Los Carbamatos son compuestos inorgánicos derivados del ácido araquidónico. Tanto los carbamatos como los esteres de carbamato, y los ácidos carbamicos son grupos funcionales que se encuentran interrelacionados y pueden ser interconvertidos químicamente. Dentro de ellos, el presente estudio, analizó a Aldicarb, no encontrando rastros de este componente en los puntos evaluados, según se indica en los informes de ensayo.

PARÁMETROS MICROBIOLÓGICOS Y PARASITOLÓGICOS.

Coliformes Termotolerantes

Los coliformes Termotolerantes se encuentran exclusivamente en las heces de los humanos y de animales de sangre caliente. Su presencia en el agua es considerada como un índice evidente de la ocurrencia de contaminación fecal. Las muestras si reportan lecturas de este parámetro, la presencia de Coliformes es inminente, sin embargo no sobrepasan el ECA Categoría 4: Lagos y lagunas (1 000 NMP/100 ml).

5.2.11.2.5. Conclusiones

A) Río Rímac

La calidad de agua del río Rímac en el tramo que corresponde a la zona de estudio, se ha comparado con el ECA-Agua (D.S.003-2017-MINAM) que corresponde a la categoría 3 subcategoría D1 (riego de vegetales) y D2 (bebida de animales), categoría que le otorga la Autoridad Nacional del Agua, a la zona baja de la cuenca del río Rímac. Según los resultados obtenidos se ha encontrado que no es un agua de muy buena calidad porque incumple con rangos de estándares de calidad vitales. Su uso no





podrá prescindir de tratamiento previo tanto en riego de vegetales y bebida de animales, ya que tiene contenido de metales pesados como arsénico, cobre, Hierro, Manganeso y Plomo en concentraciones que hay que tomar en cuenta. Así mismo desde el punto de vista microbiológico y parasitológico también está afectado por los vertidos domésticos y de residuos sólidos de manera directa, sin tratamiento previo, que pululan en la zona.

B) Humedal

El cuerpo de agua existente en la ex zona industrial de LAP tiene regulares condiciones fisicoquímicas, el pH está dentro de los límites del ECA, los valores de conductividad indican características salobres muy comunes en cuerpos de agua con cercanía al mar. No tiene contenido de metales, en su mayoría son menores al LD o menores al ECA. No tiene contenido significativo de compuestos orgánicos volátiles; HTP, Hidrocarburos aromáticos, PCB, Plaguicidas y Carbamatos.

Los macronutrientes como nitrógeno y fósforo son una preocupación ambiental por sus roles como factores limitantes en el crecimiento de plantas acuáticas que pueden causar la degradación de la calidad del agua y la aceleración del proceso de eutroficación. En ese sentido se ha detectado en varios puntos valores que sobrepasan en ECA de fósforo total y nitrógeno total, así como la presencia de amoniaco, no así de sulfuro. Se encontró gran cantidad de plantas acuáticas y olor característico de agua estancada en ciertas partes del cuerpo de agua.

En términos generales el cuerpo de agua existente es salobre, en vías de eutrofización, no muy oxigenada, no adecuada para uso directo.





5.2.11.3. CALIDAD DE SEDIMENTOS

Los sedimentos se originan por la acumulación de sustancias solidas producto de arrastre o disolución de compuestos en el fondo de los cuerpos de agua. Los sedimentos pueden permanecer estables durante largos períodos, millones de años, hasta consolidarse en rocas. También pueden ser movidos por fuerzas naturales como el viento o escurrimiento de agua, ya sea en superficie, inmediatamente después de las lluvias, o por curso de agua, ríos y arroyos, esta movimentación de los sedimentos es conocida como erosión, erosión eólica, en el primer caso, o degradación del suelo y erosión fluvial en el segundo caso. Usualmente evaluar la calidad de los sedimentos aporta en el análisis de la calidad de agua superficial.

Para este estudio, la ubicación de los puntos de muestreo de sedimentos corresponde a la ubicación de los puntos de agua en el río Rímac y en el humedal de la ex zona industrial. Por otro lado la temporalidad será sustentada con información secundaria proveniente de los monitoreos que realiza el Organismo de Evaluación y Fiscalización Ambiental (OEFA) en la cuenca del río Rímac.

5.2.11.3.1. Estándares de Comparación

En el Perú, aún no existen estándares nacionales para calidad de sedimentos, por lo cual con fines de comparación se tendrá en cuenta los valores ISQG (valor estándar interino de la calidad de sedimento: concentración por debajo el cual no se presenta efecto biológico adverso) y PEL (concentración sobre la cual se encuentran efectos biológicos adversos con frecuencia), establecidos por la Canadian Environmental Quality Guidelines, 2003 (valores Estándares de Calidad Ambiental Canadiense – sedimentos de cuerpos de agua marinos). En base a lo indicado los sedimentos para efecto de evaluación, los resultados de los análisis realizados se comparan con la Canadian Environmental Quality Guidelines, los que se presentan a continuación:

Cuadro 5.2.11-8 Estándares de comparación de La "Canadian Environmental Quality Guidelines"

PARÁMETROS	UNIDAD	Calidad de los sedimentos p Acuática-A	para la Protección de la Vida gua Fresca
TANAMETRO	ONIDAD	Concentración (ISQG)	Concentración (PEL)
Arsénico	mg/kg PS	5.9	17.0
Cadmio	mg/kg PS	0.6	3.5
Cobre	mg/kg PS	35.7	197.0
Cromo	mg/kg PS	37.3	90.0
Mercurio	mg/kg PS	0.17	0.486
Plomo	mg/kg PS	35.0	91.3
Zinc	mg/kg PS	123.0	315.0

CEQG: Canadian Environmental Quality Guidelines, Valores guía para la protección de la vida acuática (sedimentos).

Elaborado por Walsh Perú S.A. 2018

5.2.11.3.2. Metodología

Como ya se ha mencionado, realizar análisis de la calidad del sedimento aporta en la evaluación de la calidad de agua, ya que están estrechamente relacionadas. Para tal efecto, las muestras de

ISQG: Interim Sediment Quality Guidelines, Estándar interino de la calidad de sedimento: concentración por debajo el cual no se presenta efecto biológico adverso.

PEL: Probable Effect Level, Nivel de efecto probable: concentración sobre la cual se encuentran efectos biológicos adversos con frecuencia.





sedimento se han colectado en los mismos puntos de evaluación de calidad de agua, con el propósito de obtener un valor promedio representativo de las concentraciones de los parámetros evaluados. La toma de muestras se realizó siguiendo los procedimientos normados. Las muestras (de 2 kg aproximadamente) fueron colectadas en bolsas plásticas herméticas, rotuladas para su identificación y almacenamiento; y enviadas al laboratorio AGQ Perú S.A.C. (laboratorio acreditado ante INACAL acuerdo a la Norma Técnico Peruana (NTP) - ISO/IEC 17025: 2006.) con su respectiva cadena de custodia.

Cuadro 5.2.11-9 Métodos de Análisis de laboratorio AGQ Perú S.A.C.

PARÁMETROS	UNIDADES	MÉTODO DE REFERENCIA	LIMITES DE DETECCIÓN
Arsénico	mg/kg PS	EPA 3050 B / EPA 6020 B	0.010 - 2 000 mg/kg PS
Cadmio	mg/kg PS	EPA 3050 B / EPA 6020 B	0.00080 - 1 000 mg/kg PS
Cobre	mg/kg PS	EPA 3050 B / EPA 6020 B	0.03 - 1 000 mg/kg PS
Cromo	mg/kg PS	EPA 3050 B / EPA 6020 B	0.008 - 1 000 mg/kg PS
Mercurio	mg/kg PS	EPA 3050 B / EPA 6020 B	0.010 - 1 000 mg/kg PS
Plomo	mg/kg PS	EPA 3050 B / EPA 6020 B	0.002 - 5 000 mg/kg PS
Zinc	mg/kg PS	EPA 3050 B / EPA 6020 B	0.14 - 10 000 mg/kg PS

Fuente: Informe MIT-17/00392 de AGQ Perú S.A.

Elaborado por Walsh Perú S.A. 2018

El muestreo en la temporada templada se realizó durante el mes de julio del año 2017, para tal fin se colectaron muestras en tres (03) puntos, de los cuales dos (02) puntos corresponden al río Rímac; y un (01) punto ubicado en el Humedal de la ex zona industrial.

5.2.11.3.3. Puntos de muestreo

Como se puede apreciar en el Cuadro 5.2.11-10 se ha tenido acceso a la información secundaria sobre el sedimento fluvial del río Rímac en el punto ubicado a la altura del puente Gambetta, esta evaluación es realizada periódicamente por la OEFA (2015). A continuación la ubicación de los puntos de muestreo de esta evaluación en temporada templada (julio y octubre 2017), así como de la temporada cálida (marzo 2015).

En referencia a la información primaria se presenta el Anexo 5.2.11.2-1 con las fichas de campo correspondiente a los puntos de muestreo evaluados en la temporada templada, esta evaluación reciente ha sido llevada a cabo en el río Rímac y en el humedal de la ex zona industrial.

Cuadro 5.2.11-10 Puntos de muestreo de sedimentos

Puntos	Descripción		enadas VGS 84)	
		Este	Norte	
	RÍO RÍMAC			
Información Primaria				
М	odificación del Estudio de Impacto Ambiental LAP – Julio 2017 – Temp	orada Templa	da	
SED-01	Río Rímac, altura del puente Néstor Gambetta y aguas abajo del puente proyectado	268510	8 668 434	





Descripción	Coorde (UTM-W	enadas /GS 84)		
	Este	Norte		
Río Rímac, aguas arriba del puente proyectado	270699	8 667 974		
Secundaria				
Evaluación Ambiental de la Cuenca del Rio Rímac – OEFA(*) – Marzo 2015 – Temporada Cálida				
MIN-09 Río Rímac, altura del puente Néstor Gambetta 268 517 8 668				
HUMEDAL				
Modificación del Estudio de Impacto Ambiental LAP –Temporada	Templada			
Humedal – ex Zona Industrial. A 500 m de Av. Néstor Gambetta	267676	8 671 099		
Humedal – ex Zona Industrial. A 400 m de Av. Néstor Gambetta	267 745	8 671 014		
	Río Rímac, aguas arriba del puente proyectado Secundaria vación Ambiental de la Cuenca del Rio Rímac – OEFA(*) – Marzo 2015 – Río Rímac, altura del puente Néstor Gambetta HUMEDAL Modificación del Estudio de Impacto Ambiental LAP – Temporada Humedal – ex Zona Industrial. A 500 m de Av. Néstor Gambetta	Descripción (UTM-W Este Río Rímac, aguas arriba del puente proyectado Secundaria Jación Ambiental de la Cuenca del Rio Rímac – OEFA(*) – Marzo 2015 – Temporada C Río Rímac, altura del puente Néstor Gambetta HUMEDAL Modificación del Estudio de Impacto Ambiental LAP – Temporada Templada Humedal – ex Zona Industrial. A 500 m de Av. Néstor Gambetta 267676		

⁽¹⁾ Muestreo realizado en Julio 2017

5.2.11.3.4. Evaluación de resultados

Los resultados de metales en los sedimentos se presentan en el Cuadro 5.2.11-11. Los informes de ensayo se adjuntan en el Anexo 5.2.11.2-2.

Cuadro 5.2.11-11 Resultados de análisis de sedimentos en río Rímac

		Temporada cálida	Temporad	Temporada templada		EQG
Parámetro	Unidad	Información Secundaria	Informacio	on Primaria	C	EQG
		CR-RIM-09 (1)	SED-01 (2)	SED-02 (2)	ISQG	PEL
Arsénico	mg/kg	< 0.8	0.955	1,58	5,9	17,0
Cadmio	mg/kg	0.8	0.07896	0,47082	0,6	3,5
Cobre	mg/kg	0.96	14	59	35,7	197
Cromo	mg/kg		18.6	27,1	37,3	90
Mercurio	mg/kg		< 0.010	< 0,010	0,17	0,486
Plomo	mg/kg	8.52	3.596	10,1	35	91,3
Zinc	mg/kg	< 0.2	44	54	123	315

⁽¹⁾ Informe de ensayo N° MIT-17/00392 –AGQ Perú S.A.C.

Elaborado por Walsh Perú S.A. 2018

⁽²⁾ Muestreo realizado en Octubre 2017

^(*)Información extraída de Evaluación de cuencas del río Rímac, realizado por el OEFA.

Elaborado por Walsh Perú S.A. 2018

⁽²⁾ Informe de ensayo N° 150487 – Laboratorio Environmental Testing Laboratory S.A.C.

CEQG: Canadian Environmental Quality Guidelines, Valores guía para la protección de la vida acuática (sedimentos).

ISQG: Interim Sediment Quality Guidelines, Estándar interino de la calidad de sedimento: concentración por debajo el cual no se presenta efecto biológico adverso.

PEL: Probable Effect Level, Nivel de efecto probable: concentración sobre la cual se encuentran efectos biológicos adversos con frecuencia.





Cuadro 5.2.11-12 Resultados de análisis de sedimentos en el Humedal

DADAMETRO	LINIDAD		a Templada 2017	CE	EQG
PARAMETRO	UNIDAD	Informació	ón Primaria		
		SED-03 ⁽¹⁾	SED-04 ⁽²⁾	ISQG	PEL
pН	unidad de pH	8.33	8.19		
C.I.C	Meq /100 g	11	11.1		
Arsénico	mg/kg	2.87	35	5.9	17.0
Cadmio	mg/kg	0.17654	4	0.6	3.5
Cobre	mg/kg	56	69	35.7	197
Cromo	mg/kg	31.4	15	37.3	90
Mercurio	mg/kg	< 0.010	0.009	0.17	0.486
Plomo	mg/kg	9.315	125	35	91.3
Zinc	mg/kg	65	230	123	315

⁽¹⁾ Informe de ensavo N° MIT-17/00392 -AGQ Perú S.A.C. Julio 2017

Elaborado por Walsh Perú S.A. 2018

рH

Los cambios de pH no son inusuales en un sistema acuático ya que pueden producirse por reacciones de respiración, fotosíntesis, descomposición de materia orgánica y reacciones de oxidación de hierro y azufre contenidos en los sedimentos. Generalmente la evaluación de la calidad del agua está estrechamente relacionada a la composición los sedimentos. Si el pH resulta ser ácido hay muchas probabilidades que se lixivie metales, pues hay una química oxidante que influye. Los resultados obtenidos en los puntos de muestreo SED-03 y SED-04 en temporada templada en el humedal, indican un sedimento en el rango alcalino, lo que asegura la no liberación de metales ocluidos en el sedimento del humedal.

Capacidad de Intercambio Catiónico

La capacidad de intercambio catiónico (CIC) es la capacidad que tiene un suelo para retener y liberaciones positivos, gracias a su contenido en arcillas y materia orgánica. Los sedimentos de agua dulce tienen típicamente valores de CIC de entre 20 a 30 mili equivalentes/100 g: Los sedimentos son importantes reservorios de iones metálicos que pueden intercambiarse con aguas circundantes. Además debido a su capacidad de sorber y liberar iones hidrógeno, los sedimentos tienen un importante efecto amortiguador del pH y algunas aguas. A mayor contenido de materia orgánica en un suelo aumenta su CIC.

Los resultados obtenidos en los puntos de muestreo SED-03 y SED-04 en temporada templada en el humedal, indican un sedimento con CIC de 11 y 11.1 Meg /100 g.

⁽²⁾ Informe de ensayo N° MIT-17/00639–AGQ Perú S.A.C. octubre 2017

CEQG: Canadian Environmental Quality Guidelines, Valores guía para la protección de la vida acuática (sedimentos).

ISQG: Interim Sediment Quality Guidelines, Estándar interino de la calidad de sedimento: concentración por debajo el cual no se presenta efecto biológico adverso.

PEL: Probable Effect Level, Nivel de efecto probable: concentración sobre la cual se encuentran efectos biológicos adversos con frecuencia.





Arsénico

La concentración de arsénico en sedimentos está relacionada principalmente con la geología de la zona, la erosión eólica que trae material particulado que se deposita y al lavado involuntario de las superficies por las lluvias, estando algunas formas químicas de arsénico fuertemente adheridas a los materiales limo arcilloso, limo arenoso, y materia orgánica, manteniendo bajos los niveles de arsénico natural en el agua.

Las concentraciones de arsénico obtenidas en río, en temporada templada; SED-01 (aguas abajo del puente proyectado) y SED-02 (aguas arriba del puente proyectado) fueron 0.955 mg/kg y 1.58 mg/kg respectivamente, valores que no representan peligrosidad de que se produzcan efectos biológicos adversos, ya que se encuentra por debajo de lo que se indica el ISQG (5,9 mg/kg) y el PEL (17 mg/kg). En temporada cálida el punto de monitoreo CR-RIM-09 registró en arsénico, menor al límite de detección del método estandarizado aplicado por el laboratorio acreditado.

Las concentraciones de arsénico obtenidas en Humedal; SED-03 (Humedal en ex zona industrial, muestreado en julio 2017) y SED-04 (Humedal en ex zona industrial, muestreado en octubre 2017) no son similares a pesar de que están ubicadas a una distancia de 100 metros, es decir, que son variables en el contenido metálico de arsénico. SED-03 en julio reportó 2.87 mg/kg, mientras que en SED-04 se reportó 35 mg/kg en el mes de octubre, este último sobrepasa los índices ISQG (5.9 mg/kg) y el PEL (17 mg/kg), es decir que si representa el peligro inminente de que se produzcan efectos biológicos adversos

Arsénico 35 35 PEL: 17 mg/Kg ISQG: 5,9 mg/Kg 1.58 2.87 0.955 0 SED-01 SED-02 SED-03 SED-04 CR-RIM-09 iul-17 jul-17 jul-17 oct-17 feb-15 Temporada cálida Temporada templada

Figura 5.2.11-12 Resultados de Arsénico

Elaborado por Walsh Perú S.A. 2018

Cadmio

Este metal es considerado el más móvil en el ambiente acuático y una de sus principales características es que es bioacumulativo y persistente en el ambiente. El cadmio es probablemente





el elemento más biotóxico y considerado uno de los contaminantes más importantes por los efectos que produce sobre la biota marina.

Las concentraciones de cadmio obtenidas en río, en temporada templada; SED-01 (aguas abajo del puente proyectado) y SED-02 (aguas arriba del puente proyectado) fueron 0.07896 mg/kg y 0.47082 mg/kg respectivamente, valores que no representan peligrosidad de que se produzcan efectos biológicos adversos, ya que se encuentra por debajo de lo que se indica el ISQG (0.6 mg/kg) y el PEL (3.5 mg/kg). En temporada cálida el punto de monitoreo CR-RIM-09 registró en cadmio 0.8 mg/kg, es decir cumple solo con el índice PEL (3.5 mg/kg).

Las concentraciones de cadmio obtenidas en Humedal; SED-03 (Humedal en la ex zona industrial, muestreado en julio 2017) y SED-04 (Humedal en la ex zona industrial, muestreado en octubre 2017) no son similares a pesar de que están ubicadas a una distancia de 100 metros, es decir, que son variables en el contenido metálico de cadmio. SED-03 en julio reportó 0.17654 mg/kg de cadmio, mientras que en SED-04 se reportó 4 mg/kg de cadmio. El valor de octubre sobrepasa los índices ISQG (0.6 mg/kg) y el PEL (3.5 mg/kg) es decir, que si representa el peligro inminente de que se produzcan efectos biológicos adversos.

Cadmio 5.5 PEL: 3,5 mg/Kg 3.5 ISQG: 0,6 mg/Kg 0.07896 0.47082 0.17654 8.0 0.5 SED-01 SED-02 SED-03 SED-04 CR-RIM-09 jul-17 jul-17 feb-15 jul-17 oct-17 Temporada templada Temporada cálida

Figura 5.2.11-13 Resultados de Cadmio

Elaborado por Walsh Perú S.A. 2018

Cobre

La química del cobre está influenciada por los cambios de pH y salinidad. Los procesos de disolución y precipitación del cobre son controlados por procesos de adsorción y disolución llevando desplazamiento del cobre entre el agua y el sedimento.

Las concentraciones de cobre obtenidas en río, en temporada templada; SED-01 (aguas abajo del puente proyectado) y SED-02 (aguas arriba del puente proyectado) fueron 14 mg/kg y 59 mg/kg respectivamente. El valor de SED-02 sobrepasa lo indicado por el ISQG (35.7 mg/kg), lo cual representa la posibilidad de que se produzcan efectos biológicos adversos. Mientras que el SED-01





cumple con ambos índices PEL (197 mg/kg) y con el ISQG (35.7 mg/kg). En temporada cálida el punto de monitoreo CR-RIM-09 registró en cobre 0,96 mg/kg de cobre, es decir cumple con ambos índices. SED-01 y CR-RIM-09 tiene la misma ubicación, pero evaluadas en diferentes temporadas.

Las concentraciones de cobre obtenidas en Humedal; SED-03 (Humedal en la ex zona industrial, muestreado en julio 2017) y SED-04 (Humedal en la ex zona industrial, muestreado en octubre 2017) no son similares a pesar de que están ubicadas a una distancia de 100 metros, es decir, que son variables en el contenido metálico de cobre. (El SED-02, aguas arriba del puente proyectado, el SED-03 y SED-04 en el Humedal, sobrepasaron los estándares recomendados por el ISQQ (35.7 mg/kg. El SED-03 en julio reportó 56 mg/kg de cobre, mientras que en el SED-04 se reportó 69 mg/kg de cobre, en ambos casos no se sobrepasa el PEL (197 mg/kg)

Cobre 200 ISQG: 197 mg/Kg 160 140 120 By 100 ISQG: 35,7 mg/Kg 59 60 40 20 0.96 0 SED-01 SED-02 SED-03 SED-04 CR-RIM-09 jul-17 jul-17 jul-17 oct-17 feb-15 Temporada cálida Temporada templada

Figura 5.2.11-14 Resultados de Cobre

Elaborado por Walsh Perú S.A. 2018

Cromo

Las concentraciones de cromo obtenidas en río, en temporada templada; SED-01 (aguas abajo del puente proyectado) y SED-02 (aguas arriba del puente proyectado) fueron 18.6 mg/kg y 27.1 mg/kg respectivamente, valores que no representan peligrosidad de que se produzcan efectos biológicos adversos, ya que se encuentra por debajo de lo que se indica el ISQG (37.3 mg/kg) y el PEL (90 mg/kg). En temporada cálida no hubo lectura de cromo por parte del OEFA.

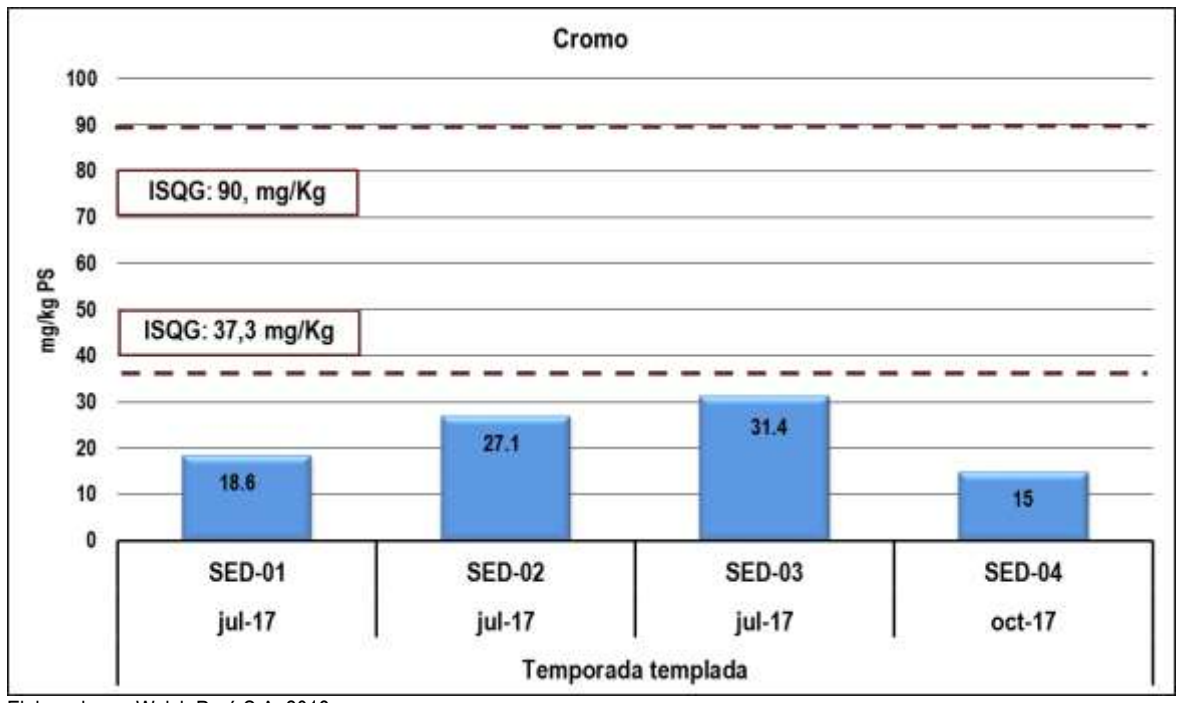
Las concentraciones de cromo obtenidas en Humedal; SED-03 (Humedal en la ex zona industrial, muestreado en julio 2017) y SED-04 (Humedal en la ex zona industrial, muestreado en octubre 2017) no son similares a pesar de que están ubicadas a una distancia de 100 metros, es decir, que son variables en el contenido metálico de cromo. SED-03 en julio reportó 31.4 mg/kg de cromo, mientras que en SED-04 se reportó 15 mg/kg de cromo, en ambos casos no se sobre pasa el PEL (90 mg/kg)





ni el índice ISQG (37.3 mg/kg). Es decir, que no representa el peligro de que se produzcan efectos biológicos adversos.

Figura 5.2.11-15 Resultados de Cromo



Elaborado por Walsh Perú S.A. 2018

Mercurio

La movilización natural del mercurio es generado por la actividad volcánica o por erosión de las rocas. Las concentraciones de mercurio halladas en los sedimentos oscilaron de valores por debajo del límite de detección del método de análisis del laboratorio.

Plomo

El transporte y movilidad del plomo en sedimentos dependen no solamente de su concentración, sino también de la especiación y solubilidad de sus compuestos. La concentración de los iones de metales pesados como el Pb transferido de la columna de agua al sedimento está determinada por procesos en los que intervienen la precipitación, la adsorción, el intercambio catiónico, la formación de complejos, la actividad microbiana y la absorción por las plantas.

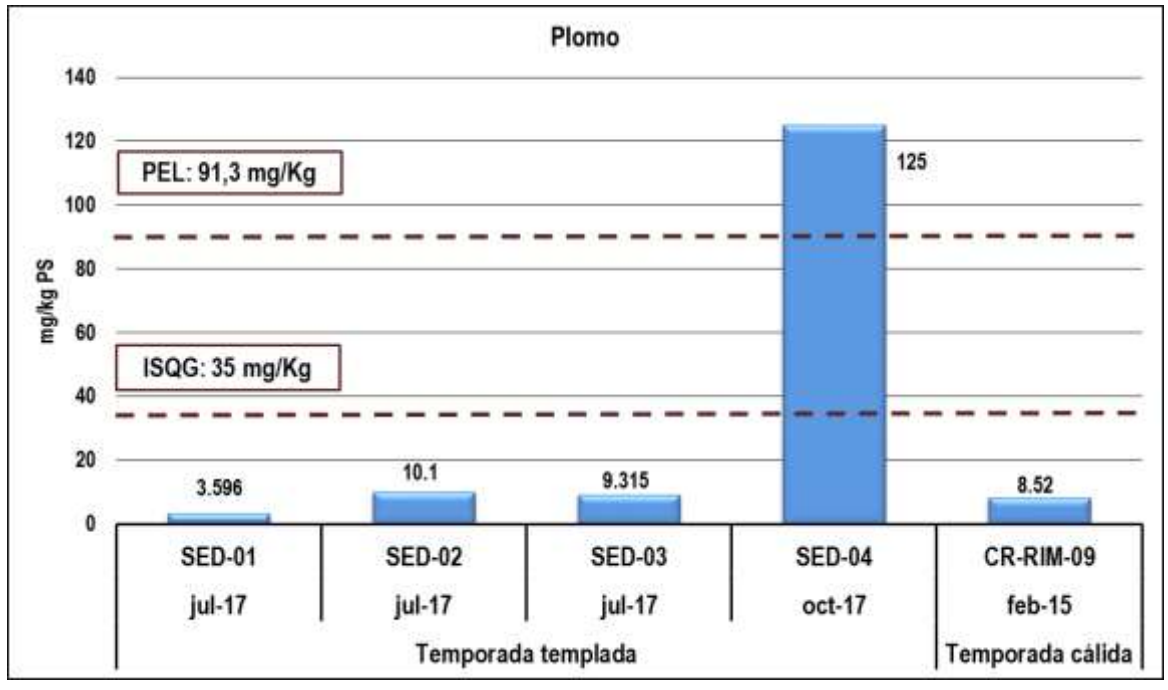
Los resultados no sobrepasan el índice ISQG (35 mg/kg) concentración por debajo el cual no se presenta efecto biológico adverso.

Las concentraciones de plomo obtenidas en río, en temporada templada; SED-01 (aguas abajo del puente proyectado) y SED-02 (aguas arriba del puente proyectado) fueron 3.596 mg/kg y 10,1 mg/kg respectivamente, valores que no representan peligrosidad de que se produzcan efectos biológicos adversos, ya que se encuentra por debajo de lo que se indica el ISQG (5.9 mg/kg) y el PEL (17 mg/kg). En temporada cálida el punto de monitoreo CR-RIM-09 registró en plomo 8.52 mg/kg, valor que no sobrepasa el ambos índices, por tanto tampoco produce efectos biológicos adversos.





Figura 5.2.11-16 Resultados de Plomo



Elaborado por Walsh Perú S.A. 2018

Las concentraciones de plomo obtenidas en Humedal; SED-03 (Humedal en la ex zona industrial, muestreado en julio 2017) y SED-04 (Humedal en la ex zona industrial, muestreado en octubre 2017) no son similares a pesar de que están ubicadas a una distancia de 100 metros, es decir, que son variables en el contenido metálico de plomo. SED-03 en julio reportó 9.315 mg/kg, mientras que en SED-04 se reportó 125 mg/kg en el mes de octubre, este último sobrepasa los índices ISQG (5.9 mg/kg) y el PEL (17 mg/kg), es decir que si representa el peligro inminente de que se produzcan efectos biológicos adversos.

Zinc

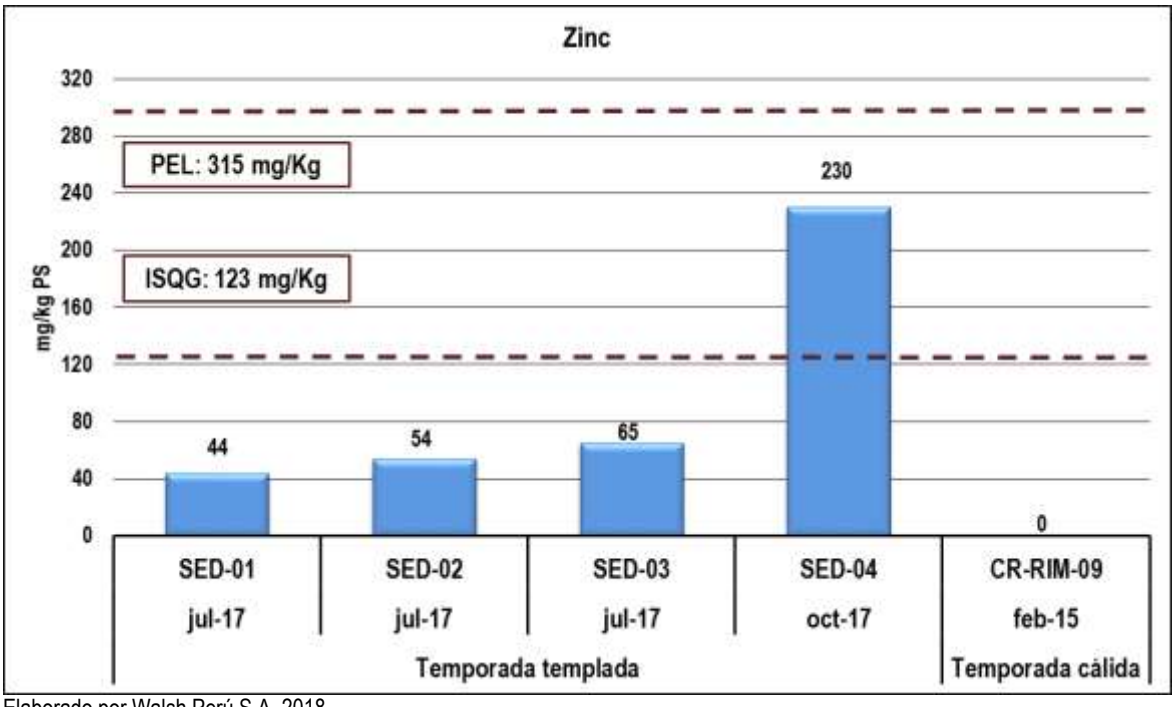
El zinc es un elemento relativamente abundante en la naturaleza y que resulta esencial para los seres vivos. Los resultados no sobrepasan el índice ISQG (123 mg/kg) concentración por debajo el cual no se presenta efecto biológico adverso.

Las concentraciones de zinc obtenidas en río, en temporada templada; SED-01 (aguas abajo del puente proyectado) y SED-02 (aguas arriba del puente proyectado) fueron 44 mg/kg y 54 mg/kg respectivamente, valores que no representan peligrosidad de que se produzcan efectos biológicos adversos, ya que se encuentra por debajo de lo que se indica el ISQG (123 mg/kg) y el PEL (315 mg/kg). En temporada cálida el punto de monitoreo CR-RIM-09 registró en zinc, menor al límite de detección (<0.2 mg/kg) del método estandarizado aplicado por el laboratorio acreditado.





Figura 5.2.11-17 Resultados de Zinc



Elaborado por Walsh Perú S.A. 2018

Las concentraciones de zinc obtenidas en Humedal; SED-03 (Humedal en la ex zona industrial, muestreado en julio 2017) y SED-04 (Humedal en la ex zona industrial, muestreado en octubre 2017) no son similares a pesar de que están ubicadas a una distancia de 100 metros, es decir, que son variables en el contenido metálico de zinc. SED-03 en julio reportó 65 mg/kg, mientras que en SED-04 se reportó 230 mg/kg en el mes de octubre, este último sobrepasa el índice ISQG (230 mg/kg), es decir que si representa el peligro de que se produzcan efectos biológicos adversos.

5.2.11.3.5. Conclusiones

El sedimento tiende a registrar la evolución guímica del cuerpo receptor que lo contiene. Los sedimentos obtenidos en el río Rímac evidencian altas concentraciones de cromo, cobre, plomo, y arsénico y aunque no sobrepasan el estándar canadiense se presentan en altas concentraciones, confirmando el contenido de metales elevado que se ha hallado en el agua superficial. Los sedimentos son importantes reservorios de iones metálicos que pueden intercambiarse con aguas circundantes. Además debido a su capacidad de sorber y liberar iones hidrógeno, los sedimentos tienen un importante efecto amortiguador del pH y algunas aguas. A mayor contenido de materia orgánica en un suelo aumenta su CIC.





5.2.11.4. CALIDAD DE AGUA SUBTERRÁNEA

La presente sección tiene como objetivo describir las condiciones actuales de la calidad de los cuerpos de agua subterránea, caracterizados por estar en una zona de afloramientos naturales identificados dentro del área de influencia. El nivel freático en el área es bastante superficial, encontrándose en sectores a profundidades incluso inferiores a 1.0 m, lo que constituye una característica particular de la zona en que se encuentra, puesto que en el resto de la planicie aluvial, tanto del Rímac como del Chillón, los niveles freáticos son significativamente más profundos.

La información que se utilizó en este capítulo es de procedencia primaria y secundaria, y se complementan en referencia a la temporalidad. La información primaria corresponde a la temporada templada (julio 2017), realizado por Walsh y la información secundaria corresponde a la temporada cálida que procede de dos fuentes; la primera fuente es el programa de monitoreo ambiental del Túnel Gambetta y la segunda fuente son los monitoreos de control que ejecuta periódicamente el Servicio de Agua Potable y Alcantarillado de Lima (Sedapal S.A.) en los pozos en reserva que tiene en la zona. Los análisis que ejecuta Sedapal son regulados, supervisados y fiscalizados por la Superintendencia Nacional de Servicios de saneamiento (SUNASS), lo cual asegura su validez.

5.2.11.4.1. Estándares de Referencia

En base a lo indicado por el Reglamento de la Ley de Recursos Hídricos (Ley N° 29338), que establece en el Titulo IX, Capítulo I, Articulo N° 226, que "los pozos como puntos o áreas aflorantes de las aguas subterráneas serán considerados como aguas superficiales para efectos de evaluación". Los resultados de los análisis realizados a las muestras de agua subterránea (piezómetros y pozos), fueron comparados con los Estándares de Calidad Ambiental para Agua en la Categoría 3 – Riego de vegetales y bebida de animales (D.S. N° 004-2017-MINAM), que es la categoría que corresponde al a cuenca baja del río Rímac, acorde a lo señalado la Resolución Jefatural N° 202-2010-ANA para uso asignado a los cuerpos de agua del país.

5.2.11.4.2. Metodología

Los procedimientos de muestreo y equipos empleados para la caracterización de las aguas subterráneas siguieron los lineamientos Protocolo Nacional de Monitoreo de la Calidad de los Cuerpos Naturales de Agua Superficial aprobado por la Autoridad Nacional del Agua (ANA) Resolución Jefatural Nº 010-2016-ANA, el Protocolo de monitoreo para calidad de agua de la DGAA-MEM, así como, los protocolos establecidos por la Agencia para la Protección Ambiental de los EE.UU. (EPA, 1992) y el "Standard Methods of Water and Wastewater 21th Edition 2005". Estos documentos proporcionan pautas para la preservación de muestras, procedimientos y recomendaciones sobre los materiales y recipientes para el muestreo de los parámetros que posteriormente serán analizados.

Las muestras recogidas para cada parámetro fueron recolectadas y preservadas según el procedimiento del laboratorio acreditado ante el Instituto Nacional de Calidad (INACAL), AGQ Perú S.A.C. encargado del análisis químico de las muestras. Ver Anexo 5.2.11.3-1 donde se presentan los certificados de calibración de los equipos utilizados por AGQ Perú S.A.C.





Cuadro 5.2.11-13 Metodología de análisis y límites de detección empleados por el Laboratorio AGQ.

Parámetro	Unidades	Método de referencia	Límites de detección
pH (Campo)	mg/l	SMEWW 4500-H+ B. 22nd Ed. 2012	2.01 - 12.0 Unidades de pH
Temperatura de la Muestra (Campo)	mg/l	SM 2550 B Ed 22.	4.00 - 50.0 °C
Conductividad (Campo)	μS/cm	SMEWW 2510B. 22nd Ed. 2012.	0.100 - 400 000 μS/cm a 25°C
Oxígeno Disuelto (Campo)	mg/l	EPA Method 360.1	0.030 - 20.0 mg/L O2
Aceites y Grasas	mg/l	PP-226 (BASED ASTM D7066-04).	0.25
Color	mg/l	SMEWW 2120 C. 22nd. Ed. 2012	3
DBO ₅	μg/l	EPA METHOD 8270 D, Rev. 5 2017 (Validado)	1.1
Detergentes Aniónicos	mg/l	SMEWW 5540 C. 22nd Ed. 2012	0.02
DQO	mg/l	SMEWW 5220D. 22nd Ed. 2012	8.00
Nitratos (NO3-N) + Nitritos (NO2-N)	mg/l	PE-2090	0.11
Bicarbonatos	mg/l	SMEWW 2320B. 22nd Ed. 2012	0.0008
Cianuros (WAD)	mg/L	SMEWW 4500-CN- F, I. 22nd Ed. 2012	5.00
Fenoles	mg/L	SMEWW 5530 B,C. 22nd Ed. 2012	0.001
Cloruros	mg/l		0.15
Fluoruros	mg/l		0.10
Sulfatos	mg/l	PE-2090	0.75
Nitratos	mg/l		0.11
Nitritos (como N)	mg/L		0.15
Aluminio	mg/l		0.002
Arsénico	mg/l		0.00003
Bario	mg/l		0.0001
Berilio	mg/l		0.00002
Bismuto	mg/l		0.00002
Boro	mg/l		0.002
Cadmio	mg/l		0.00001
Calcio	mg/l		0.10
Cobalto	mg/l		0.00001
Cobre	mg/l		0.00003
Cromo	mg/l		0.0001
Estaño	mg/l	EPA Method 200.8 Rev.5.4 (1994)	0.0001
Estroncio	mg/l	((0.0001
Fósforo	mg/l		0.015
Hierro	mg/l		0.0004
Litio	mg/l		0.0001
Magnesio	mg/l		0.003
Manganeso	mg/l		0.00003
Mercurio	mg/l		0.00003
Molibdeno	mg/l		0.00002
Níquel	mg/l		0.00020
Plata	mg/l		0.00023
Plomo	mg/l		0.00020
1 IOIIIO	1119/1		0.00020





Parámetro	Unidades	Método de referencia	Límites de detección	
Potasio	mg/l		0.04	
Selenio	mg/l		0.0004	
Silicio	mg/l		0.2	
Sodio	mg/l		0.006	
Talio	mg/l		0.00002	
Titanio	mg/l		0.001	
Uranio	mg/l		0.000003	
Vanadio	mg/l		0.0001	
Zinc	mg/l		0.01	
Coliformes Fecales	NMP/100 ml	SMEWW 9221 E.1. 22nd. Ed. 2012	1.8	
Coliformes Totales	NMP/100 ml	SMEWW 9221B 2, 3,4a (1, 3, 4), 4b. 22nd Ed. 2012	1.8	
Escherichia Coli	NMP/100 ml	SMEWW 9221 F. 22nd Ed. 2012.	1.8	
Huevos de Helmintos	Huevos/I	PP-301	1.0	
Enterococos Fecales	NMP/100 ml	SM 9230B Ed.22	1.8	

Fuente: Informes de Ensayo MIT-17/00392 Elaborado por Walsh Perú S.A. 2018

5.2.11.4.3. Puntos de muestreo

El Cuadro 5.2.11-14 presenta la ubicación de los puntos de muestreo y en el Volumen III Mapa LBF-11 se muestra la distribución espacial de los puntos de muestreo realizados en el área de influencia. Así mismo las fichas de campo se encuentran en el Anexo 5.2.11.3-2.

Cuadro 5.2.11-14 Ubicación de los puntos de muestreo de agua subterránea

Puntos de Muestreo	Fechas	Descripción	Coordenadas UTM DATUM WGS 84				
					Muestreo		
INFORMACIÓN PRIMARIA							
Línea Base MEIA AIJCH – 2017 – Temporada Templada							
Cabecera 33	Jul-17	Zona cabecera 33, lado Sur del Aeropuerto.	270 933	8 668 348			
Pozo 90	Sep-17	Pozo ubicado en la zona agrícola	269 712	8 668 814			
INFORMACIÓN SECUNDARIA							
PMA del EVAP Túnel Gambetta – 2016 – Temporada Templada							
CA-03	Jul-16	Ubicado en el Pozo 58, en la Ex zona Sur dentro de Obra	268 211	8 670 343			
CA-04	Jul-16	Ubicado en el Pozo 35, en la Ex zona Norte dentro de Obra	268 314	8 670 927			
Pozos Muestreados por Sedapal. 2014 y 2016 – Temporada Cálida							
P-537	Mar-14	Pozo en reserva de Sedapal, ubicado a 35 m de la Av. Vicente Morales Duarez	271 582	8 668 141			
P-550	Dic-16	Pozo en reserva de Sedapal, ubicado a 500 m de la Av. Elmer Faucett	271 653	8 669 196			
P-568	Ene-16	Pozo en reserva de Sedapal, ubicado a 150 m de la Av. Vicente Morales Duarez	270 545	8 667 781			

Elaborado por Walsh Perú S.A. 2018





5.2.11.4.4. Evaluación de resultados

El Cuadro 5.2.11-15 presenta los resultados obtenidos en las fuentes de agua subterránea que han sido evaluadas para la realización de este capítulo. Como se puede apreciar se ha realizado la toma de muestra en temporada templada y para la temporada cálida se ha tomado información secundaria. La evaluación de los resultados de la calidad de aguas subterráneas, se realizó comparando referencialmente los resultados obtenidos con los valores establecidos en los Estándares de Calidad Ambiental para Agua (ECA) Categoría 3, aprobados por el D.S. Nº 004-2017-MINAM. Los informes de ensayo se encuentran en el Anexo 5.2.11.3-3.

PARÁMETROS IN SITU

pН

El pH es la medición cuantitativa de la acidez o la basicidad (alcalinidad). La medición de este parámetro en aguas es importante debido a que gran parte de la vida sólo es posible dentro de los estrechos límites de variación de ese parámetro.

En la temporada templada, recientemente evaluada los valores de pH registraron un valor mínimo de 6,86 en el punto CA-04 y un máximo de 9,08 en el punto Cabecera 33 (sobrepasa ECA, agua de tendencia alcalina). Todos los demás valores están dentro del rango indicado en el ECA para la Categoría 3, Subcategoría D1: Riego de vegetales y D2: Bebida de animales.



■Walsh

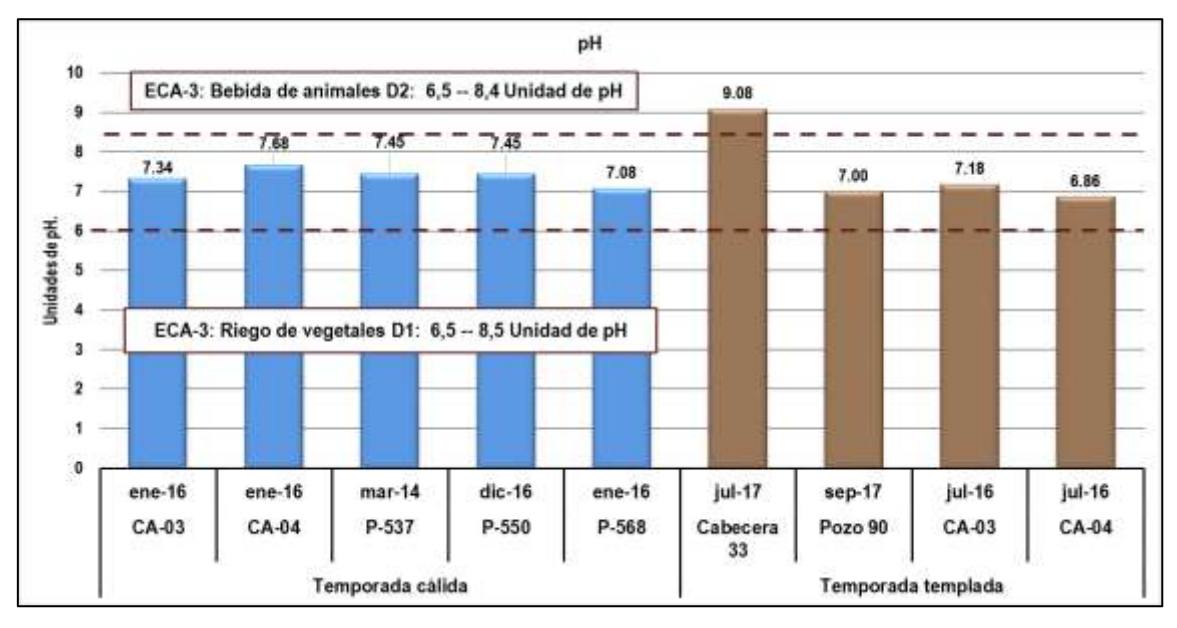
Cuadro 5.2.11-15 Resultados de análisis de agua subterránea

			TEM	TEMPORADA CALIDA	⊓DA		_	TEMPORADA TEMPLADA	TEMPLAD#	_	D1: Riego de vegetales	
PARAMETRO	UNIDAD		INFORM	INFORMACIÓN SECU	CUNDARIA		INFORMACIÓN PRIMARIA	1ACIÓN ARIA	INFORI	INFORMACIÓN SECUNDARIA		
		CA-03 ⁽¹⁾	CA-04(1)	P-537 ⁽²⁾	P-550 ⁽²⁾	P-568 ⁽²⁾	Cabecera 33 ⁽³⁾	Pozo 90 ⁽³⁾	CA-03 ⁽⁴⁾	CA-04(4)		ra animales
		Ene-16	Ene-16	Mar-14	Dic-16	Ene-16	Jul-17	Sep-17	Jul-16	Jul-16	Restringido restringido	- B
FISICOS-QUIMICO											-	
Conductividad Eléctrica	mS/cm	1286	1160	629	644	929	586	657	1287	1588	2 500	2 000
Oxígeno Disuelto	mg/L O ₂	8.67	8.59	i	1	-	4.9	5.59	4.5	4	≥4	V 5
Hd	Unidades de pH.	7.34	7.68	7.45	7.45	7.08	90.6	7.00	7.18	98.9	6.5 - 8.5	6.5 - 8.4
Temperatura	ွ	21.53	21.48	i	1	1	22.6	22.3	22	22.2	Δ3	Δ3
Aceites y Grasas	mg/L	< 0.5	< 0.5	i	ŀ	1	< 0.25	< 0.25	4.0>	<0.4	S	10
Color	೧೨	1	1	l	I	1	< 3	< 3	!	1	100	100
DBO5	mg/L	< 2.00	< 2.00	1	1	1	< 1.1	< 1.1	<2.00	<2.00	15	15
Detergentes (SAAM)	mg/L	< 0.025	< 0.025		1		< 0.02	< 0.02	<0.020	<0.020	0,2	0.5
Fenoles	mg/L	< 0.001	< 0.001	1	1	1	< 0.001	< 0.001	<0.001	<0.001	0.002	0.01
DQO	mg/L	< 10.0	< 10.0			-	< 8.00	< 8.00	<10.0	<10.0	40	40
Nitratos (NO3-N) + Nitritos (NO2-N).	mg/L	ŀ	-	-	!	!	< 0.11	1.59	-	ı	100	100
Bicarbonatos	mg/L CaCO ₃	:	:	i	1	1	176	145	!	i	518	A
Cianuros (WAD)	mg/L	<0.005	<0.005	i	!	1	< 0.016	< 0.016	<0.005	<0.005	0.1	0.1
Cloruros	mg/L	130.4	186.4	l	l	!	25.4	29.6	22	09	200	NA
Fluoruros	mg/L	1	!	-	-	-	< 0.10	< 0.10	!	1	1	NA
Nitratos	mg/L	14.231	17.571	17	12	14	< 0.11	1.59	12.448	4.162	NA	NA
Nitritos	mg/L N-NO ₂	<0.003	<0.003	1	!		< 0.15	< 0.15	<0.02	<0.02	10	10
Sulfatos	mg/L	411.67	568.33	136	120	162	123	141	800	1000	1 000	1 000
INORGANICOS												
METALES TOTALES												
Aluminio	mg/L	ŀ	ŀ	i	ŀ	ı	0.035	0.121	!	i	5	2
Arsénico	mg/L	<0.001	<0.001	0.0003	0.0024	0.0045	0.0035	0.00309	<0.001	<0.001	0.1	0.2
Bario	mg/L	0.038	0.031	-	-	1	0.0717	0.0397	0.035	0.032	0.7	AN
Berilio	mg/L	1	-	i	!	1	< 0.00001	< 0.00001		1	0.1	0.1
Boro	mg/L	1	1	I	1	!	0.235	0.362	!	1	-	5
Cadmio	mg/L	<0.0004	<0.0004	0.0001	1	1	< 0.00001	< 0.00001	<0.0004	<0.0004	0.01	0.05
Cobre	mg/L	<0.0004	0.0008	i	1	1	< 0.0003	0.0013	<0.0007	<0.0007	0.2	0.5
Cobalto	mg/L	:	:	-	1	1	< 0.00003	< 0.00003	1	1	0.05	-
Cromo Total	mg/L	:	:	1	!	1	< 0.001	< 0.001	<0.0004	<0.0004	0.1	-
Hierro	mg/L	:	:	0.016	0.022	0.016	0.14	0.15		I	S	N N
Litio	mg/L	:	:	1	1	!	0.0819	0.0773	1	1	2.5	2.5
Magnesio	mg/L	:	-	-	!	1	11.7	8.93	!	i	NA	250
Manganeso	mg/L	:	:	i	0.003	0.005	0.00983	0.01074	!	i	0.2	0.2
Mercurio	mg/L	:	:	1	!	!	< 0.00007	< 0.00007	!	i	0.001	0.01
Níquel	mg/L	<0.0005	<0.0005	i	!	-	< 0.0009	< 0.0009	<0.0006	<0.0006	0.2	-
Plomo	mg/L	<0.0004	<0.004	1	0.0001	1	> 0.00006	0.00143	<0.0004	<0.0004	0.05	0.05
Selenio	mg/L	:	:	i	!	!	< 0.00004	0.00037	!	i	0.05	0.05
Zinc	ma/l	0.004	0.05	i	0.013	0.028	< 0.002	0.010	0.004	0.035	c	

^{(1) (4)} Informe de Monitoreo Ambiental Tramo II B-Proyecto de Mejoramiento de la Av. Néstor Gambetta – Callao. (2) Resultados extraídos del Informe de ensayo incluido en el Memorando N° 722-2017-EGLA-SEDAPAL. (3) Fuente: Informe MIT-17/00392, A-17/054065 de AGQ Perú S.A.



Figura 5.2.11-18 Resultados de pH



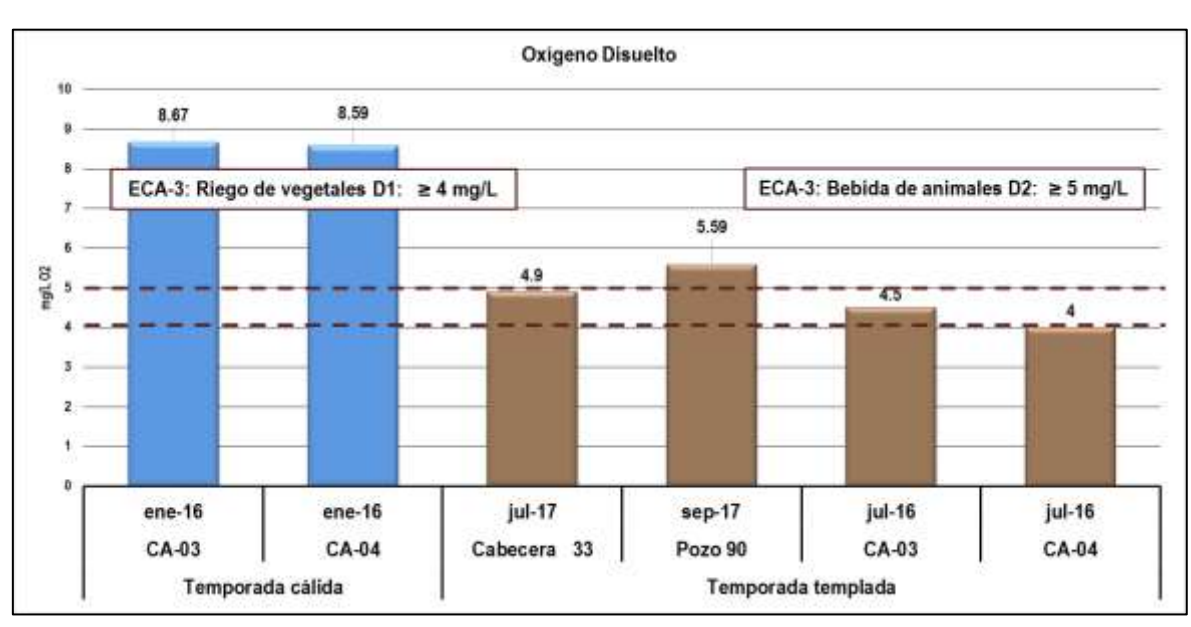
Elaborado por Walsh Perú S.A. 2018

Oxígeno Disuelto

Los organismos acuáticos requieren de oxígeno para sobrevivir al igual que los animales terrestres. El oxígeno disuelto es considerado el factor ambiental más importante para la sobrevivencia, crecimiento y reproducción de los organismos acuáticos. Un nivel más alto de oxígeno disuelto indica agua de mejor calidad.

Todas las concentraciones de oxígeno disuelto cumplen con el ECA para la Categoría 3, Subcategoría D1: Riego de vegetales. D2: Bebida de animales, si cumplen.

Figura 5.2.11-19 Resultados de Oxígeno Disuelto



Elaborado por Walsh Perú S.A. 2018





Temperatura

Es uno de los parámetros físicos más importantes en el agua, y a pesar de no contar con valores de comparación para este parámetro en los estándares de calidad ambiental para agua, su medición es importante porque indirectamente está relacionada con la vida acuática ya que influye en la disolución del oxígeno disuelto, así como la solubilidad de las sales en los cuerpos de agua.

Conductividad Eléctrica

La conductividad eléctrica está directamente relacionada con la concentración de sales disueltas en el agua, las cuales indican la presencia de materia ionizable en el cuerpo de agua. El agua pura prácticamente no conduce la electricidad; por lo que los valores de conductividad que se obtiene en las mediciones realizadas son consecuencia de las impurezas presentes en el agua.

Los resultados de conductividad mostraron niveles que cumplen con el ECA-Agua para la Categoría 3, Subcategoría D1: Riego de vegetales. D2: Bebida de animales.

Conductividad Electrica 2000 ECA-3: Bebida de animales D2: 5 000 µS/cm 1588 1400 1286 1287 1160 1200 1000 644 629 570 ECA-3: Riego de vegetales D1: 2 500 µS/cm ene-16 ene-16 mar-14 dic-16 ene-16 jul-17 sep-17 jul-16 jul-16 P-568 CA-04 P-537 P-550 Cabecera Pozo 90 CA-03 CA-04 **CA-03** 33 Temporada cálida Temporada templada

Figura 5.2.11-20 Resultados de Conductividad

Elaborado por Walsh Perú S.A. 2018

PARÁMETROS FISICOQUÍMICOS

Aceites y Grasas

Las sustancias aceitosas pueden generarse como resultado de causas naturales o antropogénicas. La vegetación en descomposición (terrestre o acuática) en estado avanzado liberará grasa y subproductos aceitosos que producirán un brillo aceitoso en el aqua.

Las concentraciones de aceites y grasas en todos los puntos de muestreo, presentaron concentraciones por debajo del límite de detección establecido por el laboratorio de ensayo





(0.5 mg/L). En ese sentido, al ser el límite del laboratorio menor a los ECA-Agua para la Categoría 3, Subcategoría D1: Riego de vegetales. D2: Bebida de animales.

Cloruros

El ion cloruro se encuentra con frecuencia en algunas aguas naturales, en concentraciones que varían desde unos pocos ppm hasta varios gramos por litro. Este ion ingresa al agua en forma natural mediante el lavado que las aguas de lluvia realizan sobre el suelo.

Los valores reportados de cloruros en cada uno de los puntos de muestreo, cumplen con el ECA-Agua para la Categoría 3, Subcategoría D1: Riego de vegetales. D2: Bebida de animales.

Cloruros ECA-3: Riego de vegetales D1: 500 mg/L 186.4 130.4 60 55.0 29.6 25.4 ene-16 ene-16 jul-17 sep-17 jul-16 jul-16 CA-03 CA-04 Cabecera 33 Pozo 90 CA-03 CA-04 Temporada cálida Temporada templada

Figura 5.2.11-21 Resultados de Cloruros

Elaborado por Walsh Perú S.A. 2018

Cianuro Wad

Los complejos débiles de cianuro, con frecuencia denominados cianuros "disociables en ácidos débiles" o cianuros (WAD), pueden disociarse en solución y producir concentraciones ambientalmente significativas de cianuro libre. Los complejos débiles incluyen complejos de cianuro de cadmio, cobre, níquel, plata y zinc. El grado al cual se disocian estos complejos depende en gran medida del pH de la solución.

Por otra parte, los complejos fuertes de cianuro se degradan mucho más lentamente que el cianuro WAD en condiciones químicas y físicas normales. Se utilizan en minería porque reaccionan con el oro y facilitan su separación y también reaccionan con otros metales.

Las concentraciones de cianuro wad en todos los puntos, presentaron concentraciones por debajo del límite de detección establecido por el laboratorio de ensayo (0.001 mg/L). En ese sentido, al ser el límite del laboratorio menor a los ECA-Agua para la ECA-Agua para la Categoría 3, Subcategoría D1: Riego de vegetales. D2: Bebida de animales.





Demanda Bioquímica de Oxígeno (DBO₅)

La DBO₅ es una prueba que mide la cantidad de oxígeno consumido en la degradación bioquímica de la materia orgánica mediante procesos biológicos aerobios. El aumento de la DBO₅ ocasiona disminución del oxígeno disuelto afectando la vida acuática.

Los niveles de DBO₅ obtenidos en todos los puntos de muestreo realizados están por debajo del límite de detección establecido por el laboratorio de ensayo (2.0 mg/L), por lo que cumple con el ECA-Agua para la Categoría 3, subcategoría D1: Riego de vegetales y D2: Bebida de animales.

Fenoles

Las concentraciones naturales de compuestos fenólicos son usualmente inferiores a 1 μ g/L y los más frecuentemente identificados son fenol, cresol y los ácidos siríngico, vainíllico y hidroxibenzoico. En aguas contaminadas es posible detectar otros tipos, como los clorofenoles, fenilfenol y alquilfenol. En rellenos sanitarios, su concentración total puede llegar a los 20 mg/l.

Las concentraciones de fenoles en todos los puntos, presentaron concentraciones por debajo del límite de detección del método de análisis empleado por laboratorio (0.001mg/l). Estas concentraciones se encuentran por debajo de los niveles permisibles establecidos para este parámetro por el D.S. Nº 004-2017-MINAM.

Nitratos

El nitrógeno puede aparecer en forma de NH₃ y NH⁺₄; por oxidación estas formas reducidas pueden transformarse en N (gas) y finalmente en NO₃; que es la forma más usual y estable en que el nitrógeno se presenta en las aguas subterráneas. Los procesos de oxidación-reducción de las especies nitrogenadas en el agua están influenciados por fenómenos biológicos y en consecuencia los productos finales dependerán del número y tipo de organismos que intervengan en ellos.

Las concentraciones de nitratos obtenidas en los puntos de muestreo no excedieron el valor establecido por el ECA para la Categoría 3, Subcategoría D1: Riego de vegetales. D2: Bebida de animales.

El NO₃- que se forma de restos orgánicos por los procesos de mineralización y nitrificación del N orgánico puede contaminar el agua subterránea al lavarse con las lluvias, especialmente cuando estos restos se acumulan a la intemperie. Estas aguas pueden infiltrarse rápidamente por las averías de las paredes de los pozos o lentamente cuando en su movimiento descendente alcanzan la napa. Debido a que el movimiento lateral del agua subterránea generalmente es lento, la contaminación por fuentes localizadas provoca picos con valores altos de NO₃- solamente en los puntos cercanos a la fuente de contaminación, y la polución no se extiende a toda la napa.

Sulfatos

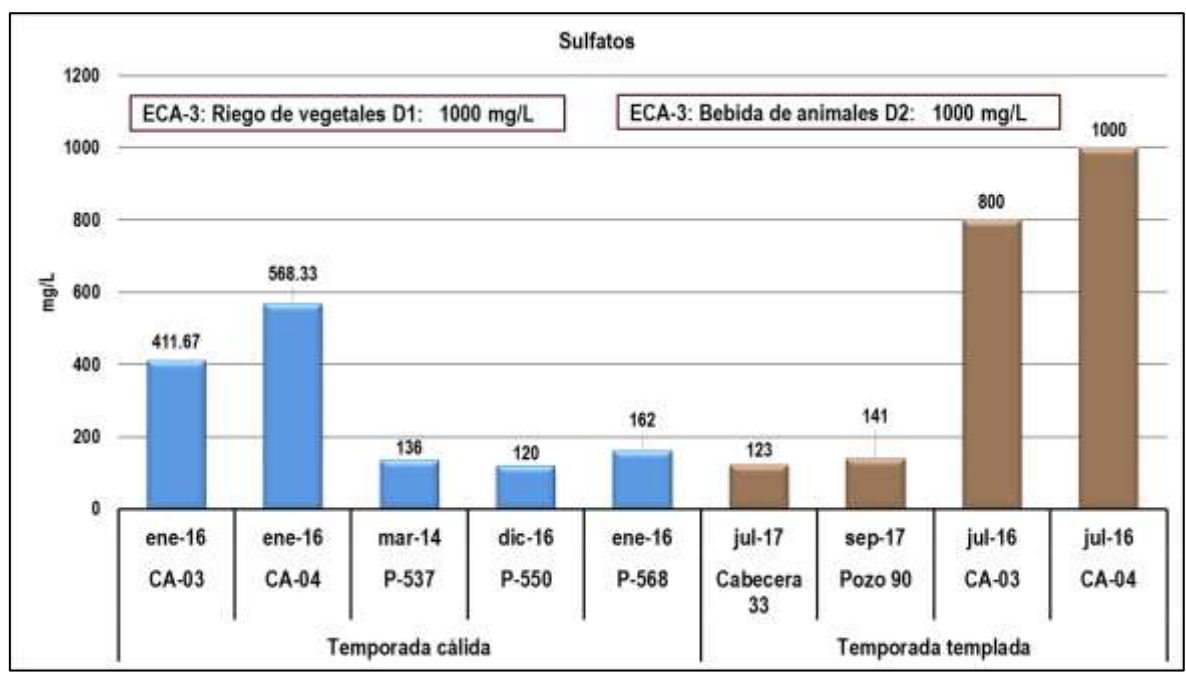
Los sulfatos están presentes en casi todas las aguas naturales, y con mucha más razón estando el acuífero en la costa La mayor parte de los compuestos sulfatados se originan a partir de la oxidación de las menas de sulfato, la presencia de esquistos y la existencia de residuos industriales.

Los niveles reportados de contenido de sulfato están por debajo del ECA categoría 3, salvo en la temporada templada en el punto CA-04 (Av. Néstor Gambetta) indica valores al límite.





Figura 5.2.11-22 Resultados de Sulfatos



Elaborado por Walsh Perú S.A. 2018

METALES

Los resultados analíticos de metales son presentados en el Cuadro 5.2.11-15. Estos resultados fueron determinados por el método de espectrometría de emisión óptica, ICP Óptico. Las concentraciones de los once (11) metales evaluados en los puntos donde se ha registrado, presentaron lecturas por debajo del límite de detección del método de análisis empleado por laboratorio, o menor al valor de estándar de calidad que corresponde, por tanto desde el punto de vista de contenido metálico cumple con el ECA-Agua para la Categoría 3, subcategoría D1: Riego de vegetales y D2: Bebida de animales que nos ha servido de manera referencial.





5.2.12. RIESGOS NATURALES

Este capítulo identifica y evalúa los peligros naturales (físicos) significativos y el riesgo que representan para el proyecto y el área de influencia directa e indirecta (en adelante área de estudio). Se entiende como peligro natural a todo proceso o fenómeno de origen natural que puede afectar a la población e infraestructura, en términos de afectación a la salud y bienestar, pérdida de vidas humanas y daños materiales. Se excluyen en este capítulo los procesos o fenómenos de origen biológico. Se entiende como riesgo al daño o afectación que ocurriría, para el peligro de que se trate, si se produjese el evento más intenso previsible, al estado de conocimiento actual.

El riesgo es dependiente también de la vulnerabilidad, es decir, de la exposición y sensibilidad a ser afectados por el peligro que presente cualquier elemento que sea de interés evaluar. En este caso, a nivel de línea base del área de influencia, interesa evaluar la vulnerabilidad de la población que vive en esta área.

Los procesos o fenómenos que se han identificado como significativamente peligrosos en el área de influencia son: la sismicidad regional, los tsunamis y las crecidas extraordinarias del río Rímac. La evaluación de estos peligros, así como de la vulnerabilidad y los riesgos que enfrenta, en relación con ellos, la población e infraestructura existente en el área de influencia, ha sido tomada de fuentes secundarias, principalmente informes del Instituto Nacional de Defensa Civil (INDECI), Gobierno Regional del Callao y de los estudios de ingeniería del proyecto.

5.2.12.1. PELIGRO SÍSMICO

A. Sismicidad Regional

Es bien conocido que la costa peruana presenta una elevada actividad sísmica. La historia reporta una sucesión de terremotos catastróficos y los monitoreos continuos que se efectúan desde la segunda mitad del siglo pasado evidencian esta intensa actividad. Factores de naturaleza tectónica y, en menor medida, relacionadas con la geología estructural regional la explican.

 Proceso de Subducción. - Es originado por la convergencia o colisión de las placas de Nazca (oceánica) y Sudamericana (continental). Consiste en el hundimiento de la primera placa bajo la segunda, hasta la fusión de aquella con el manto. La convergencia tiene su expresión topográfica en la denominada "fosa peruano-chilena", profunda depresión situada frente al litoral peruano y que señala el contacto entre las dos placas. Este proceso tectónico viene produciéndose desde tiempos paleozoicos y ha sido responsable de la formación de la cordillera de los Andes desde finales del Mesozoico. Sin embargo, no se manifiesta de modo uniforme: a lo largo de la costa peruana, desde el extremo norte hasta la prolongación de la dorsal de Nazca frente a las costas de Ica, ocurre un tipo de subducción sub-horizontal, es decir, de poco ángulo, mientras que más hacia el sur, la subducción es de tipo normal o de gran ángulo. Tal diferenciación, que viene desarrollándose por lo menos desde hace unos 10 millones de años, es la responsable de que el vulcanismo moderno solo ocurra en el sur del territorio peruano. En cambio, no se conocen bien todavía sus efectos en el modo de distribución de la intensidad sísmica regional, aunque es claro que esta es menor en la costa norte. A los eventos sísmicos asociados con el proceso de subducción se les denomina sismos de subducción y son en su mayor parte sismos profundos.





• Fallas Activas Regionales. – Las fallas regionales son el resultado del continuo proceso de deformación de las placas, en este caso de la placa Sudamericana, como resultado del proceso de subducción. Muchas de estas fallas se encuentran actualmente inactivas, en el sentido de que no se ha identificado ninguna actividad sísmica reciente, o efecto de esta actividad, asociada a ellas. En cambio, otras sí han estado asociadas con actividad sísmica reciente, en la forma de sismos continentales, por lo general superficiales. Con respecto al área de influencia, se ha identificado un sistema de fallas activas en la provincia de Huarochirí, el cual ha provocado frecuentes sismos de magnitud menor en los últimos años, muchos de ellos sentidos en la ciudad de Lima, incluyendo un "enjambre sísmico", o sucesión en corto tiempo de pequeños sismos, ocurrido en setiembre pasado.

B. Sismicidad Histórica e Instrumental

De acuerdo con los datos históricos, en los últimos 500 años se han producido grandes sismos de intensidades entre VIII y IX en la escala de Mercalli Modificada (MM), que provocaron severos daños en el área de la ciudad de Lima y el Callao. Se estima que por lo menos dos de estos sismos, el de 1586 y 1746, superaron el grado 8.5 de magnitud en la escala de Richter (Ms).

Se tienen registros instrumentales de sismos en el área de Lima Metropolitana y el Callao desde 1940. A continuación, en el Cuadro 5.2.12-1, se presenta información sobre los sismos más importantes registrados instrumentalmente que afectaron el área de influencia.

Cuadro 5.2.12-1 Mayores sismos registrados instrumentalmente que afectaron el área de estudio

Fecha	Hora GMT	Latitud Sur	Longitud Oeste	Profundidad (km)	Magnitud (Ms)	Intensidad Máxima (MM)
24/05/1940	16:33	-10.5	-77.6	60	8.0	VII – VIII
17/10/1966	21:41	-10.7	-78.6	38	7.8	VII
31/05/1970	20:23	-9.2	-78.8	43	7.7	VI
03/10/1974	14:21	-12.2	-77.8	27	7.5	VII – VIII

Fuente: RS&H-Cosapi – Lima Airport Partners (2017)

Elaboración: Walsh Perú S.A, 2017.

C. Peligro Sísmico en el Área de Estudio

De acuerdo con los mapas de isoaceleraciones espectrales generados por Gamarra y Aguilar (2009), en el área de influencia, para un período de retorno de 475 años y para suelo firme (roca), se proyectan las aceleraciones sísmicas mostradas en el Cuadro 5.2.12-2.





Cuadro 5.2.12-2 Aceleraciones sísmicas previstas en el área de estudio

Período estructural	Aceleración sísmica (g)
0.00 s (PGA)	0.52
0.20 s	1.20
1.00 s	0.48

PGA: aceleración sísmica máxima g: aceleración de la gravedad Elaboración: Walsh Perú S.A, 2017.

En el cuadro mostrado, PGA se refiere a la aceleración máxima que experimentará el suelo rocoso o firme; el período estructural 0.20 s se refiere a construcciones bajas (casas); el período estructural 1.00 s se refiere a construcciones altas (edificios).

Los valores de aceleración señalados para los tres períodos estructurales se encuentran entre los más altos del país, correspondiendo, por tanto, en términos cualitativos, a un peligro sísmico elevado.

D. Microzonificación Sísmica del Área de influencia

Los suelos existentes en el área de influencia se describen en el Cuadro 5.2.12-3.

Cuadro 5.2.12-3 Características geotécnicas y sísmicas de los suelos del área de estudio

Estrato de suelo	Descripción	sucs	Profundidad Distribución Espesor	Comportamiento sísmico
Relleno antrópico	Mezcla de suelos con restos de demolición, residuos de materiales de construcción y basura doméstica.	-	Superficial Discontinua 0 – 1 m	Suelo blando
Suelo de cultivo	Suelos de granulometría fina con raíces.	CL, ML	Superficial Continua 0 – 1 m	Suelo blando
Limo y arena	Limos inorgánicos no plásticos y arena.	ML, SM, SC-SM, SP- SM	> 0.2 m Continua 1 – 4 m	Suelo blando
Arcilla	Arcilla de mediana plasticidad.	CH, CL, CL-ML	> 0.2 m Discontinua 1 – 5 m	Suelo blando
Grava	Grava pobremente gradada con arena y bolonería, con finos de baja a nula plasticidad.	GW, GP, GP-GM, GP-GC, GM	> 0.2 m Continua > 10 m	Suelo firme

Adaptado de: RS&H-Cosapi – Lima Airport Partners (2017)

Elaboración: Walsh Perú S.A, 2017. Elaboración: WALSH PERÜ





Los perfiles geotécnicos generados para el proyecto (RS&H-Cosapi – Lima Airport Partners, 2017) muestran que la estratificación del suelo es bastante irregular, como se evidencia en los datos de profundidad y espesor señalados en el cuadro. El nivel freático se encuentra a menos de 1.0 m de profundidad en algunos sectores al oeste de la Av. Gambetta, profundizándose en dirección al este. En casi todos los casos este nivel freático se encuentra dentro del estrato gravoso, por lo que no existen condiciones para la ocurrencia de licuefacción de suelos.

De acuerdo a lo que señala la zonificación sísmico-geotécnica del distrito del Callao (INDECI, 2011), el área de influencia se encuentra sobre dos zonas:

- Zona II. Corresponde a las planicies aluvionales situadas al interior de la faja litoral, al este de la Av. Gambetta, cuyos suelos presentan una estratigrafía bastante similar a la descrita en el Cuadro 3. Los períodos predominantes del terreno, determinados por las mediciones de vibración ambiental, varían entre 0.3 y 0.5 s.
- Zona IV. Corresponde a la faja litoral, al oeste de la Av. Gambetta. Si bien los perfiles geotécnicos generados para el proyecto no muestran una mayor diferenciación estratigráfica entre los suelos de esta zona y los de la zona II, es claro que en este caso los suelos son más complejos, como resultado de la interacción de depósitos aluviales con marinos, la presencia de un nivel freático alto y de depósitos de relleno. Los períodos predominantes del terreno presentan valores ≥ 0.8 s, que pueden ser amplificados hasta 6 veces más.

5.2.12.2. PELIGRO DE TSUNAMIS

Un tsunami consiste en una serie de olas de extremadamente larga longitud de onda y período, generadas por un súbito desplazamiento del fondo marino u oceánico casi siempre provocado por terremotos de gran magnitud. En alta mar, las perturbaciones provocadas en superficie por estos eventos son casi imperceptibles, debido a las elevadas longitudes y pequeñas alturas de onda que presentan. No obstante, dado que la velocidad de estas olas es inicialmente elevada, generalmente por encima de los 900 km/h, cuando ingresan a aguas costeras poco profundas, su ralentización provoca el acortamiento de sus longitudes de onda y el incremento de sus alturas, al punto que, en el momento en que arriban al litoral pueden alcanzar varios metros de alto.

El peligro de tsunami se evalúa mediante la delimitación de áreas de afectación o inundación en la zona costera, considerando el mayor evento sísmico marino posible. Para evaluar este peligro debe conocerse no solamente la física de propagación del tren de olas provocado por el sismo, que dependerá básicamente de su magnitud, profundidad y distancia a la costa, sino también de las condiciones físicas de la costa local: configuración de la línea costera, presencia de islas, batimetría del mar somero adyacente y topografía de la zona litoral. Todo ello configura un fenómeno complejo que en la actualidad solo puede ser modelizado mediante métodos numéricos procesados computacionalmente.

Para la evaluación del peligro de tsunamis en el área de influencia, el estudio más reciente que aplicó modelización numérica (Jiménez et al, 2010) consideró dos escenarios, con base en los eventos históricos o regionales de mayor intensidad que han ocurrido:

 Primer escenario. – Corresponde a la ocurrencia de un sismo de magnitud 8.5 Mw con una longitud de ruptura máxima paralela a la costa de 350 km, similar a las dimensiones del sismo de Arequipa del 2001, que produjo un tsunami con olas de 8 m de altura e inundó hasta 200 m de playa y de 1.5 km del cauce del río Camaná.





Segundo escenario. – Corresponde a la ocurrencia de un sismo de magnitud 9.0 Mw, similar al ocurrido en Chile en 2010, y posiblemente parecido al ocurrido en Lima en 1746. Se considera una longitud de ruptura máxima paralela a la costa de 500 km que se extendería a lo largo de las costas de los departamentos de Ica, Lima y Ancash.

En base a estos dos escenarios, se han elaborado cartas de inundación por tsunamis para Lima y Callao. En el Mapa LBF-15 (Ver Anexo III Mapas) se reproducen estas cartas para el área de influencia. En términos de peligrosidad, INDECI ha considerado únicamente en peligro significativo al área de inundación correspondiente al primer escenario.

5.2.12.3. PELIGRO DE INUNDACIÓN FLUVIAL

El 3 de marzo de 1994 se produjo un desborde y consiguiente inundación del río Rímac en el área de influencia, afectando principalmente los asentamientos humanos situados al sur del río (Gambetta Baja, Ramón Castilla, Cáceres, Dulanto). El balance de daños fue: 10 754 personas damnificadas y 427 viviendas colapsadas. Si bien el evento ocurrió en un año particularmente lluvioso en la vertiente andina occidental, el hecho de que solo se haya afectado el tramo final, donde no existe ningún afluente ni recarga natural del río, ha permitido concluir que tanto la ocurrencia del evento como la magnitud del daño causado fueron el resultado de las condiciones de elevada vulnerabilidad en que se encontraba el área en ese momento: cauce ocupado con abundantes desmontes, ausencia de defensas ribereñas, predominio de construcciones ilegales o que no cumplían con normas técnicas y falta de preparación de la población para afrontar un desastre de este tipo (Ferradas, 1994).

En la actualidad, todas estas condiciones que determinaban una elevada vulnerabilidad han mejorado significativamente. De hecho, se han producido importantes crecidas del río en los años 1998 y 2017, con caudales superiores a los de 1994, y tal evento no ha vuelto a repetirse.

5.2.12.4. ESTIMACIÓN DEL PELIGRO DE DESASTRES NATURALES

De acuerdo al mapa de peligros naturales del distrito del Callao (INDECI, 2011), en el área de influencia se presentan zonas de peligro muy alto, alto y medio. De estas tres zonas, predomina ampliamente la zona de peligro medio, como se puede visualizar en el Mapa LBF-16 (ver Anexo III Mapas). Hay que tomar en cuenta que este mapa de peligros naturales no incluye el peligro de inundación fluvial, que, como se señaló, no es significativo en la actualidad, ni tampoco el escenario de tsunami para un sismo de magnitud 9.0 Mw, que INDECI no considera actualmente en sus planes operativos.

Los criterios para establecer la zonificación señalada son las siguientes:

- **Zona de Peligro Muy Alto.** Corresponde al área de inundación prevista para un sismo de magnitud 8.5 Mw y terrenos susceptibles a la licuefacción de suelos.
- **Zona de Peligro Alto.** Corresponde a áreas con suelos de mayor susceptibilidad (presencia de un nivel freático alto y de depósitos de relleno).
- Zona de Peligro Medio. Corresponde a áreas con suelos aluviales de baja susceptibilidad.





5.2.12.5. ESTIMACIÓN DE LA VULNERABILIDAD DE LA POBLACIÓN E INFRAESTRUCTURA

De acuerdo al mapa de vulnerabilidad total del distrito del Callao (INDECI, 2011), que se generó al superponer los mapas de vulnerabilidad físico-estructural y socio-económica, en el entorno del proyecto se presentan tres condiciones:

- En los asentamientos humanos situados al oeste del proyecto (Juan Pablo II, Sarita Colonia, Acapulco, Tiwinza, Francisco Bolognesi y Daniel Alcides Carrión), los niveles de vulnerabilidad son altos a muy altos, siendo los tres últimos asentamientos señalados los más vulnerables.
- En los asentamientos humanos situados al sur del proyecto (José Olaya, Todos Unidos, Dulanto, Santa Rosa, Gambetta Baja, Ramón Castilla), el nivel de vulnerabilidad predominante es el moderado y solo en unos pocos predios se presentan niveles altos.
- En los asentamientos humanos situados al este del proyecto (Bocanegra, Aeropuerto, Las Fresas y otros menores), el nivel de vulnerabilidad predominante también es el moderado, con unos pocos predios presentando niveles altos.

5.2.12.6. ESTIMACIÓN DEL RIESGO ANTE DESASTRES NATURALES

De acuerdo a los escenarios de riesgo del distrito del Callao (INDECI, 2011), en el área de influencia se presentan los siguientes niveles de riesgo: muy alto, alto y medio. De estos niveles, predomina el riesgo medio, como se puede visualizar en el Mapa LBF-17 (Ver Anexo III Mapas). Debe considerarse que la estimación del riesgo se realiza para la población y la infraestructura expuesta a los peligros naturales, por lo que existen espacios en blanco que representan la ausencia de población e infraestructura.

Los niveles de riesgo estimados representan las siguientes magnitudes de daños materiales y pérdidas en vidas humanas:

- Riesgo Muy Alto. Un elevado porcentaje de edificaciones colapsan, casi la totalidad de inmuebles se vuelven inhabitables, las pérdidas de vidas humanas podrían alcanzar el 75% de la población.
- Riesgo Alto. Un porcentaje significativo de edificaciones colapsan, la mayor parte de los inmuebles se vuelven inhabitables, las pérdidas de vidas humanas podrían alcanzar el 50% de la población.
- Riesgo Medio. Un pequeño porcentaje de edificaciones colapsan, un porcentaje significativo de inmuebles se vuelven inhabitables, las pérdidas de vidas humanas podrían alcanzar el 25% de la población.

5.2.12.7. RIESGOS EN EL ESCENARIO DE CAMBIO CLIMÁTICO

Para establecer el escenario de cambio climático que enfrenta el área de influencia en las próximas décadas, y poder evaluar los riesgos que dicho escenario implica, se ha revisado la documentación oficial y técnica disponible, la que se lista a continuación:

- Escenarios Climáticos en el Perú para el Año 2030. Segunda Comunicación Nacional de Cambio Climático. Resumen Técnico. Servicio Nacional de Meteorología e Hidrología del Perú (SENAMHI).
- 2. Climate Change 2013: The Physical Science Basis. Annex I: Atlas of Global and Regional Climate Projections. Grupo Intergubernamental de Expertos sobre el Cambio Climático (IPCC).





- 3. Estrategia de Adaptación y Acciones de Mitigación de la Provincia de Lima al Cambio Climático. Municipalidad Metropolitana de Lima. Gerencia del Ambiente.
- **4.** Climatología Urbana y el Cambio Climático en Lima Metropolitana. Presentación de Wilmer Pulache y Lourdes Menis. Servicio Nacional de Meteorología e Hidrología del Perú (SENAMHI).

De acuerdo a esta documentación, en relación a los escenarios futuros de cambio climático tanto a nivel nacional como de Lima Metropolitana, se puede establecer como conclusión principal que aun domina la incertidumbre, es decir, que no se tiene suficiente claridad acerca de la manera en que se modificará el clima los próximos años, tanto en términos de magnitud de los principales parámetros (temperatura y precipitación), como en relación a la frecuencia y recurrencia de los eventos o anomalías climáticas (ENSO, años muy lluviosos, sequías). En este marco de incertidumbre, se pueden establecer algunas bases del escenario climático futuro en Lima Metropolitana y, particularmente, en el área de influencia:

- En cuanto a la temperatura, tanto los valores mínimos como los máximos anuales se incrementarán en las próximas décadas, en una magnitud que no superaría 0.8°C. Estos incrementos también se producirían en las cuencas húmedas de los ríos Rímac, Chillón y Lurín, lo que elevaría la tasa de evapotranspiración potencial en estas cuencas.
- El incremento de la temperatura provocará una mayor extensión y frecuencia de las islas de calor urbanas, la más extensa de las cuales, que abarca las partes céntricas de la ciudad y distritos adyacentes incluyendo el Callao, alcanza al área de influencia, aunque eso es discutible.
- Para la precipitación, los valores se mantendrán similares o ligeramente inferiores a los actuales, lo cual no es significativo, considerado que la precipitación media anual no supera los 10 mm. En cambio, para las cuencas húmedas de los ríos Rímac, Chillón y Lurín, se mantiene la incertidumbre, pues hay modelos que señalan un leve incremento y otros un leve decremento de los volúmenes anuales.
- En relación a los caudales, dado que lo único que parece seguro es que aumentará la tasa de evapotranspiración potencial, es posible que los volúmenes anuales experimenten una pequeña reducción, lo que afectará la oferta hídrica e incrementará el estrés hídrico en la ciudad.

La información revisada no presenta ningún tipo de predicción en relación a la frecuencia y recurrencia de eventos climáticos o hidroclimáticos extremos (inundaciones, deslaves, sequías, olas de calor). Tampoco analiza modificaciones en la periodicidad del fenómeno El Niño / La Niña (ENSO). Sin embargo, el IPCC considera que el incremento sostenido de la temperatura provocaría que estos eventos se vuelvan más frecuentes. Por ejemplo, favorecería una concentración de las precipitaciones anuales en un menor número de tormentas, cuya duración también sería menor, haciendo que sean más intensas y, por consiguiente, tengan una mayor capacidad de producir avenidas.

Las consecuencias plausibles de estas condiciones serían, para el área de influencia, las siguientes:

Un incremento leve o moderado de la temperatura media, diurna (máxima) y nocturna (mínima).
 Sin embargo, este incremento, en relación a las temperaturas medias actuales, sería menos significativo en relación al entorno, debido a la proximidad del mar, la menor densidad poblacional y de edificaciones, y la presencia de un nivel freático alto. No se prevé la ocurrencia de olas de calor.





- Una leve reducción en los caudales anuales del río Rímac. Esta reducción estaría relacionada principalmente con el incremento del consumo hídrico a nivel de cuenca, como consecuencia de un mayor estrés hídrico, consumo que, sin embargo, no sería de gran magnitud, por la disponibilidad de otras fuentes (como las obras de trasvase).
- Un descenso del nivel freático, de magnitud leve o moderada, como respuesta a una reducción del caudal de los ríos Rímac y Chillón, pero también debido a la reducción de la superficie irrigada en los valles de estos ríos, así como a las mejoras tecnológicas en los sistemas de riego. Este descenso podría ser más acusado si, por efecto del estrés hídrico mal administrado, se reinicie la explotación sistemática del agua subterránea local.

No se puede establecer, en base al conocimiento actual, si las avenidas del río Rímac se incrementarán en intensidad y frecuencia, al punto de provocar desbordes en el área de influencia. Se asume que es poco probable que eso ocurra, en el horizonte de las siguientes décadas, debido a que este río tiene bastante regulación y obras de derivación. Además, las fuentes históricas no señalan la ocurrencia de un evento de esta naturaleza en mucho tiempo; el único caso conocido, la inundación de la zona de Gambetta, en 1994, se debió más que todo a deficiencias en la limpieza y canalización del cauce, aspectos que se han superado.

5.2.12.8. VULNERABILIDAD DE LA POBLACIÓN A LOS EFECTOS DEL CAMBIO CLIMÁTICO

Tomando en cuenta el escenario de cambio climático descrito, se puede establecer que la población del área de influencia, distribuida en más de veinte asentamientos humanos, asociaciones y agrupaciones de vivienda situados alrededor del Aeropuerto Internacional Jorge Chávez y su área de expansión, por sus condiciones socioeconómicas, será vulnerable principalmente al incremento de la temperatura media, diurna y nocturna. Este incremento térmico puede estar asociado a una mayor ocurrencia de enfermedades de la piel, enfermedades oftálmicas, enfermedades transmitidas por vectores e infecciones diversas.

Si no se gestiona bien el estrés hídrico que se generaría en caso se reduzcan los volúmenes de precipitación actuales en las cuencas húmedas de los ríos, podría provocarse un desabastecimiento de agua potable, que afectaría sobre todo a las poblaciones de menos recursos y asentadas en las periferias de la ciudad, como es el caso de las que viven en el área de influencia. En este escenario, se incrementaría la presión sobre el acuífero local, que podría quedar afectado en caso no se asegure su sostenibilidad.





5.2.13. SÍNTESIS DE LA LÍNEA BASE FÍSICA

El área de influencia se encuentra en la parte más baja de la planicie aluvial del Rímac-Chillón, conformada por la yuxtaposición de las planicies aluviales de los ríos Rímac y Chillón. El litoral marítimo se encuentra a pocos metros del borde occidental de esta área. Este litoral es bajo, originalmente conformado por amplias playas que se continuaban al interior por terrenos de poca elevación, a diferencia del litoral situado al sur del río Rímac, que se eleva rápidamente en los acantilados de la Costa Verde. Actualmente, buena parte de estas playas y terrenos bajos contiguos han desaparecido sepultados por grandes desmontes.

El área de influencia se eleva entre 4 y 52 m s.n.m.; más específicamente, el área del proyecto se eleva entre 5 y 30 m s.n.m. Si bien de aspecto llano, el terreno presenta leves inclinaciones en dos direcciones principales: E – O y SE – NO; en el primer caso, la pendiente media es de 0,72 %, en el segundo caso, de 0,75 %. De esta manera, se presentan en el extremo occidental terrenos más bajos que corresponden a una franja paralela al litoral, de 1 a 1,5 km de ancho, que se prolonga hacia el norte más allá del área de influencia, la cual no se eleva más de 10 msnm y se caracteriza por su propensión a anegarse, debido a la elevada napa freática existente.

La planicie aluvial es la expresión superficial de un potente paquete de materiales aluviales que depositaron los ríos Rímac y Chillón desde fines del Terciario. De acuerdo a las exploraciones geofísicas realizadas en el área de influencia, el depósito aluvial tiene una profundidad de 100 m como máximo, pudiéndose distinguir tres estratos principales, el superior, conformado por conglomerados envueltos en una matriz predominantemente arenosa, el intermedio, que se diferencia del anterior por una matriz más fina, y el inferior, de granulometría predominantemente fina (limo-arcillosa), que se asienta sobre una superficie rocosa irregular (basamento mesozoico).

Los estratos aluviales superior e intermedio, de naturaleza conglomerádica, albergan un acuífero que constituye la parte más distal del acuífero de Lima, el cual se extiende por los valles costeros de los ríos Rímac y Chillón. A causa de la topografía baja del área de influencia y la franja litoral adyacente, el nivel freático alcanza allí los valores más superficiales, situándose a profundidades inferiores a los 10 m. Estos valores han experimentado cierto incremento en los últimos años, debido a que muchos pozos dejaron de operar desde el año 2003. Las aguas subterráneas presentan características hidroquímicas que la hacen inapta para el consumo humano directo, presentando valores de conductividad eléctrica que hacen inferir una mínima influencia marina.

El río Rímac, en su tramo final, atraviesa el extremo sur del área de influencia. En este tramo, su cauce se encuentra canalizado, presentando anchos de entre 30 y 70 m. En ambos márgenes se han construido defensas ribereñas, las que son más elevadas en el lado sur, para proteger de un eventual desborde a los asentamientos humanos situados allí (Gambetta Baja, Ramón Castilla, etc.). Si bien este río está bastante regulado en su cuenca alta y presenta numerosas obras de derivación en su curso medio e inferior, no deja de representar una amenaza para las poblaciones de las zonas más bajas del valle durante la época de lluvias, en que suele desarrollar grandes avenidas. Debe recordarse el desborde de 1994, que inundó una franja de 200 m en cada margen, el cual, sin embargo, se produjo más por obstrucción del cauce generado por el vertido incontrolado de desmontes.





Por otro lado la calidad fisicoquímica del agua del río Rímac indica afectación por los residuos sólidos colindantes, tanto en agua superficial como en los sedimentos fluviales, además de compuestos inorgánicos, sales, ciertos metales y coliformes. No presenta presencia de plaguicidas.

Acerca del humedal ubicado en la ex zona industrial, la calidad fisicoquímica presencia de aniones diversos y nutrientes como el fosforo y los nitrógeno total y alta conductividad (indicador de sales disueltas). No tiene presencia de metales disueltos, compuestos orgánicos volátiles, plaguicidas e hidrocarburos.

El clima del área de influencia es el de la costa central del Perú, definido como híper-árido por lo reducido de las precipitaciones (inferior a los 10 mm anuales), y como templado-cálido por los valores medios de temperatura y su comportamiento estacional (16 °C en el mes más frío del invierno y 23 °C en el más cálido del verano). Otros rasgos característicos de este clima son una humedad relativa bastante alta (entre 79 y 83 % de media mensual) y la presencia de una cubierta continua de nubes bajas estratiformes, más frecuente entre mayo y noviembre, asociado a neblinas y finas precipitaciones (garúa). Estas características del clima costero son particularmente acusadas en las proximidades del litoral, incluyendo al área de influencia. En referencia a la calidad de aire, no se sobrepasa el estándar de calidad vigente en material particulado (PM₁₀ y PM _{2.5}), gases y benceno. Por otro lado otro aspecto importante de mencionar son los niveles de ruido ambiental que se registra y que están sobrepasando el estándar vigente en zona residencial tanto en horario diurno y nocturno.

Hasta hace poco más de 5 años gran parte del área de influencia era un área agrícola (El Ayllu), rezago de la amplia zona agrícola que pre-existió a la construcción del aeropuerto Jorge Chávez, a mediados del siglo XX. Esta área agrícola se encontraba al momento de su abandono, en 2011, casi completamente rodeada de infraestructura urbana, incluyendo el aeropuerto. En la actualidad, los terrenos han pasado a ser eriazos, en espera de una nueva ocupación. La pérdida de la cobertura agrícola ha permitido distinguir dos tipos de suelos, uno afectado por hidromorfismo y el otro libre de este. Los suelos hidromórficos evidencian la elevada napa freática presente, que constituye un problema geotécnico significativo para futuras construcciones. Al oeste de la avenida Gambetta, en la franja litoral, los suelos hidromórficos ceden su lugar a verdaderos pantanos o áreas anegadas, los cuales, sin embargo, llegan a secarse por temporadas debido a que la napa freática presenta un comportamiento fluctuante. Parte de estos pantanos están cubiertos de desmontes.

En referencia a la calidad del suelo, han existido dos zonas de evaluación que serán utilizadas para el proyecto y se refiere al área agrícola y la ex zona industrial, en ambos sitios hemos realizado la evaluación de metales y de hidrocarburos. En la zona agrícola no se ha encontrado indicios de estas especies químicas, a diferencia de la ex zona industrial (zona de pasivos) donde se han encontrado altas concentraciones de metales pesados e hidrocarburos.

Además del peligro de desborde del río Rímac, ya señalado, el área de influencia está afectada por un elevado peligro sísmico y por el peligro de tsunamis. De acuerdo al Atlas de Peligros del Perú (INDECI, 2010), se presentan dos zonas con diferente peligrosidad sísmica: una zona de peligro sísmico "relativamente bajo", conformada por los terrenos donde la napa freática es suficientemente profunda, situados predominantemente en el lado este, y una zona de peligro "muy alto", conformada por terrenos con napa freática elevada, o anegados, situados en el lado oeste del área de influencia. El sector situado al oeste de la avenida Gambetta también está afectado por el peligro que representa un tsunami de 8 metros de alto.